

دانشگاه صنعتی شاہروود  
دانشکده مهندسی معدن و ژئوفیزیک

گروه اکتشاف

پایان نامه کارشناسی ارشد

عنوان:

تلفیق مدلسازی ریاضی و مطالعات ژئوفیزیکی زیست محیطی مواد حاصل از شستشوی  
کارخانه زغالشویی البرز شرقی

دانشجو:

بهشاد جدیری شکری

اساتید راهنما:

دکتر فرامرز دولتی اردیه جانی  
دکتر علی مرادزاده

استاد مشاور:

دکتر مجید انصاری جعفری

بِسْمِ اللّٰهِ الرَّحْمٰنِ الرَّحِيْمِ

## تقدیم :

به خانواده مهربان و عزیزم

که با تشویق، دلگرمی‌ها و سعه صدر خویش رنج حاصل از کار طولانی مدت و دور بودن از کانون گرم خانواده را بر من هموار کردند.

## تشکر و قدردانی:

سپاس یزدان پاک را که قلم را آفرید و به آن سوگند یاد فرمود. حق تعالی را بسی شکر گذاریم که توفیقمان داد تا در وادی بزرگترین معرفت بشری - علم - گامی هر چند ناچیز برداریم و در این مسیر از محضر انسانهایی عارف و عاشق پیشه فیض بریم که تمام زندگی خویش را عاشقانه صرف علم نموده‌اند.

برخود لازم می‌دانم از زحمات اساتید بزرگوارم جناب آقایان دکتر فرامرز دولتی ارده جانی و دکتر علی مرادزاده که مسئولیت راهنمایی پایان‌نامه را به عهده داشتند و در طول اجرای این پژوهش با دانش و بینش عمیق خویش، بنده را یاری نمودند قدردانی کنم و معترف باشم که ایشان با صبر، معنویت و خلوصشان، مرا تحمل نمودند.

جا دارد از آقای دکتر مجید انصاری جعفری نیز کمال قدردانی و تشکر را بعمل آورم که به عنوان مشاور در همه مراحل کار صمیمانه مرا یاری نمودند. از جناب آقای دکتر کاکائی ریاست محترم دانشکده معدن و ژئوفیزیک دانشگاه صنعتی شاهروд تشکر می‌کنم که با حمایتهای همه جانبی خویش موجبات دلگرمی بیشتر اینجانب را برای ادامه کار فراهم نمودند.

از اساتید محترم جناب آقایان دکتر ایرج پیروز و دکتر اسماعیل سلیمانی که علی‌رغم مشغله‌های فراوان خویش، زحمت داوری پایان‌نامه را قبول کردند کمال تشکر را دارم.

از جناب آقای مهندس جهانگیری مدیر عامل شرکت زغالسنگ البرز‌شرقی که با حمایت‌های علمی مرا در اجرای هرچه بهتر پایان نامه یاری نمودند کمال سپاسگزاری می‌نمایم. از سازمان فضایی ایران که در پشتیبانی داده‌های ماهواره‌ای مساعدت لازم را نمودند، تشکر می‌نمایم. از پژوهشکده

رنگ که در استفاده از نرم افزار همکاری لازم را به عمل آوردن، تشکر و سپاسگزاری می نمایم. از آقایان مهندس عباسی رئیس زغالشویی البرز شرقی، مهندس صالحی مسئول آزمایشگاه کیفیت زغال قدردانی و تشکر می نمایم. از جناب آقای دکتر کرمی که در انجام آزمایش نفوذ پذیری مساعدت لازم را به عمل آوردن تشکر می نمایم. از کمکهای جناب آقای دکتر منصور ضیائی در تصحیح داده های ماهواره ای و خانم دکتر آرزو عابدی در تهیه مقاطع صیقلی سپاسگزاری می نمایم.

همچنین از آقایان مهندس کبیریان مسئول آزمایشگاه کانه آرایی و مهندس حمید سرخیل مسئول آزمایشگاه ژئوفیزیک و مهندس نادر زیاری مسئول سایت کارشناسی ارشد دانشکده معدن و ژئوفیزیک دانشگاه صنعتی شاهرود، بخاطر زحمات بی شائبه این عزیزان کمال سپاسگزاری به عمل می آورم.

در پایان لازم می دانم از دوستان گرامیم آقایان مهندس مهرداد سلیمانی، مهندس فرشاسب جمشاسب و مهندس علی تبریزی و کلیه عزیزانی که در مراحل انجام عملیات صحرایی ژئوفیزیکی با اینجانب همکاری نموده اند مراتب سپاسگزاری خود را ابراز نمایم.

## چکیده

استفاده از منابع و معادن به منظور کسب انرژی بیشتر سبب بروز مشکلات عدیده زیست محیطی گردیده است. زغال یکی از مواد معدنی است که از آن بطور گسترده در تولید انرژی استفاده می‌گردد. برای کسب انرژی بیشتر نیاز به استفاده از زغال با کیفیت بالاتر است که ضرورت انجام مرحله فرآوری را ایجاد می‌کند. باطله های ایجاد شده از فرآوری سبب بروز مشکلات جدی زیست محیطی می‌گردد. قرارگیری محل انباشت باطله‌ها در مجاورت عواملی از قبیل هوای دستگاهی و ریزش‌های جوی سبب ایجاد پساب‌های اسیدی می‌گردد که در صورت راهیابی آنها به آب زیرزمینی خطرات زیست محیطی زیادی را به همراه خواهند داشت. در مطالعه حاضر آلودگی زیست محیطی ناشی از باطله های کارخانه البرز شرقی با استفاده از روش‌های ژئوفیزیکی و مدلسازی ریاضی مورد بررسی قرارگرفته است. منطقه مورد مطالعه در ۱۱ کیلومتری منطقه رزمند و در مسیر مهماندوست - طرره و با فاصله‌ای در حدود ۴۵ کیلومتری از جاده اصلی تهران - مشهد واقع شده است. پس از بازدید مقدماتی از منطقه و انتخاب دمپ باطله مناسب، برداشت‌های ژئوفیزیکی به کمک روش VLF روی ۶ پروفیل در پائین دست دمپ باطله انجام شد تا زون‌های آلوده احتمالی را مورد شناسایی قرار دهد. نتایج برداشت‌ها توسط نرم افزار RAMAG مورد تفسیر قرار گرفته و دو زون آلوده احتمالی مورد شناسایی قرار گرفت. در مرحله بعد به منظور بررسی آهنگ گسترش و انتقال تابع زمان آلودگی، روش ژئوالکتریک با آرایش دو قطبی - دوقطبی و به صورت Time Laps در یک پریود زمانی بالغ بر ۶ ماه مورد استفاده قرار گرفت.

نتایج داده های حاصل از برداشت ژئوالکتریک توسط نرم افزار RES2DINV مورد تحلیل و تفسیر قرار گرفت. نتایج به دست آمده حاکی از انتقال آلودگی و گسترش تابع زمان آن در محدوده مورد بررسی می باشد. همزمان با مطالعات ژئوفیزیکی، به منظور مطالعه فرآیند اکسیداسیون پیریت و تولید آلودگی در سه نقطه متفاوت روی دمپ، در راستای قائم و در اعمق مختلف از باطله های دمپ نمونه برداری شد. جهت تعیین درصد پیریت باقیمانده در نمونه ها از روش تجزیه ای جذب اتمی استفاده شد. بعلاوه جهت مطالعات کیفی نمونه های برداشت شده، مقاطع صیقلی نیز از آنها تهیه شد. به کمک نرم افزار PHOENICS یک مدل عددی المان حجمی محدود ارائه شد تا فرآیند اکسیداسیون پیریت و تولید آلودگی را در دمپ باطله شبیه سازی نماید. در این مدل، اکسیداسیون پیریت توسط مفهوم مغزه انقباضی تشریح گردید. بعلاوه، فرآیند نفوذ یا پخش، مکانیزم اصلی برای تأمین اکسیژن در اعماق مختلف دمپ به منظور انجام واکنش های اکسیداسیون در نظر گرفته شد. نتایج مدلسازی ریاضی در تطابق مناسبی با نتایج آنالیز داده های صحرایی می باشند. همچنین جهت تأیید نتایج ژئوفیزیکی Time Laps مبنی بر انتقال آلودگی در پائین دست دمپ، از یک مدل ریاضی شامل فرآیندهای پراکندگی هیدرودینامیکی (نفوذ مولکولی بعلاوه پراکندگی مکانیکی) و پهنه رفت (انتقال تابع سرعت جریان آب) استفاده شد و نتایج مشابه بین روش های مذکور به دست آمد. اگرچه فرآیند اکسیداسیون پیریت و تولید آلودگی در ارتباط با دمپ باطله کارخانه زغالشویی امری اجتناب ناپذیر است ولی نتایج حاصل از چنین مطالعاتی می تواند در ارائه یک برنامه مدیریت زیست محیطی مناسب جهت کنترل آلودگی متمرث ثمر واقع گردد.

## فهرست مطالب

صفحه

عنوان

### فصل اول: کلیات

۱-۱- مقدمه.....	۲
۱-۲- مروری بر کارهای انجام شده.....	۳
۱-۲-۱- استفاده از روش های ژئوفیزیکی به منظور شناسایی زونهای آلودگی.....	۳
۱-۲-۲- مروری بر کارهای انجام شده در مدل سازی ریاضی آلودگی های پساب اسیدی.....	۵
۱-۲-۳- بررسی نقش پیریت در ایجاد پساب های اسیدی در ایران.....	۹
۱-۳- اهداف پایان نامه و ضرورت انجام آن.....	۱۰
۱-۴- سازماندهی پایان نامه.....	۱۲

### فصل دوم: زغال و مشکلات زیست محیطی ناشی از باطله های آن

۲-۱- مقدمه.....	۱۵
۲-۲- منابع و ذخائر زغال سنگ در جهان.....	۱۵
۲-۲-۱- منابع و ذخایر زغال سنگ در ایران.....	۱۶
۲-۲-۲- ذخائر زغالی ناحیه البرز شرقی.....	۱۷
۲-۳- ترکیب زغال.....	۱۷
۳-۱- کربن و هیدروژن.....	۱۸

## فهرست مطالب

<u>صفحه</u>	<u>عنوان</u>
۱۸	۲-۳-۲- نیتروژن.....
۱۸	۳-۳-۲- اکسیژن.....
۱۸	۴-۳-۲- سولفور.....
۱۹	۱-۴-۳-۲- انواع سولفور در زغال.....
۲۰	۲-۴-۳-۲- منشاء سولفور.....
۲۱	۴-۲- نقش سولفور در آلودگی های زیست محیطی معادن زغال.....
	۱-۴-۲- بررسی مشکلات زیست محیطی ناشی از تولید پساب اسیدی
۲۲	در معادن.....
۲۳	۱-۴-۲- تأثیر پساب اسیدی بر حیات آبزیان.....
۲۵	۲-۱-۴-۲- تأثیر پساب اسیدی بر روی آب زیر زمینی و سطحی.....
۲۵	۳-۱-۴-۲- مهاجرت.....
۲۷	۲-۴-۲- چگونگی تولید پساب اسیدی معدن.....
۲۸	۱-۲-۴-۲- منابع و محل های تولید پساب اسیدی.....
	۲-۲-۴-۲- تشکیل پساب اسیدی و نقش کانی های سولفیدی آهن
۳۰	و بررسی کانی های خنثی کننده.....

## فهرست مطالب

صفحه

عنوان

---

۴-۲-۳-۲-۳-۲-۴-۲	اکسیداسیون کانی های سولفیدی فلزی و فرآیند های شیمیایی تولید کننده پساب اسیدی
۴۲	فصل سوم: موقعیت جغرافیایی، زمین‌شناسی منطقه و مشاهدات صحرایی
۴۴	۳-۱- موقعیت جغرافیایی منطقه
۴۵	۳-۲- تاریخچه اکتشاف زغال در منطقه
۴۸	۳-۳- زمین‌شناسی منطقه
۴۹	۳-۴- تکتونیک منطقه
۵۰	۳-۵- کارخانه زغالشویی البرز شرقی
۵۲	۳-۶- مشاهدات صحرایی
۵۲	۳-۷- نوع، محل انباست باطله ها در کارخانه زغالشویی البرز شرقی
۵۳	۳-۸- روش انباست باطله ها
۵۳	۳-۸-۱- نحوه انباست باطله های جیگ ماشین
۵۴	۳-۸-۲- نحوه انباست باطله های فلوتوسیون
۵۵	۳-۹- انتخاب محل انباست باطله مورد نظر
۵۹	۴-۱- مقدمه
	فصل چهارم: مطالعات ژئوفیزیکی در اکتشاف آلدگی باطله ها

## فهرست مطالب

<u>صفحه</u>	<u>عنوان</u>
۵۹	۲-۴- روش VLF
۶۰	۴-۲-۱- اساس اندازه گیری با استفاده از روش الکترومغناطیس
۶۰	۴-۲-۱-۱- روابط فاز و دامنه
۶۳	۴-۲-۱-۲- زاویه شیب
۶۴	۴-۲-۲- مشخصات و موقعیت ایستگاه های فرستنده VLF
۶۶	۴-۲-۳- گیرنده های VLF
۶۷	۴-۳-۱- دستگاه WADI
۶۸	۴-۴- تفسیر
۶۸	۴-۴-۱- تفسیر عمومی
۷۰	۴-۵- روش های فیلتر کردن
۷۱	۴-۶- منطقه مورد مطالعه و موقعیت پروفیلهای برداشت شده VLF
۷۱	۴-۷- برداشت داده های VLF
۷۲	۴-۸- برداشت پروفیل ها
۷۴	۴-۹-۲- تفسیر داده های VLF و ارائه مدل ها
۷۴	۴-۱۰- تفسیر پروفیل ۱
۷۶	۴-۱۱- تفسیر پروفیل ۲

## فهرست مطالب

صفحه

عنوان

۷۸	۱۲-۲-۴- تفسیر پروفیل ۳
۸۰	۱۳-۲-۴- تفسیر پروفیل ۴
۸۲	۱۴-۲-۴- تفسیر پروفیل ۵
۸۴	۱۵-۲-۴- تفسیر پروفیل ۶
۸۶	۱۶-۲-۴- نتیجه گیری
۸۷	۱۳-۳- روش مقاومت ویژه و پلاریزاسیون القایی (IP)
۸۹	۱۳-۳-۱- روش دو قطبی - دوقطبی
۹۰	۱۴-۴- انواع روش های مدل سازی در ژئوفیزیک
	۱۴-۴-۱- معکوس سازی داده های مقاومت ویژه با استفاده از
۹۲	روش Time-Laps
۹۳	۱۵-۵- برداشت داده ها
۹۵	۱۵-۱- مشخصات دستگاه اندازه گیری
۹۵	۱۶-۴- معکوس سازی دو بعدی داده ها مقاومت ویژه ظاهری و IP
۹۶	۱۷-۷-۴- تفسیر و ارائه مدل ها
۹۶	۱۷-۱- پروفیل ۱، برداشت ۱
۹۷	۱۷-۲- پروفیل ۱، برداشت دوم

## فهرست مطالب

<u>صفحه</u>	<u>عنوان</u>
۹۹	۳-۷-۴- پروفیل ۱، برداشت سوم
۱۰۰	۴-۷-۴- پروفیل ۱، برداشت چهارم
	۵-۷-۴- معکوس سازی داده های مقاومت ویژه پروفیل ۱ با استفاده از
۱۰۱	روش Time-Laps
۱۰۶	۸-۴- تفسیر و ارائه مدل های پروفیل ۲
۱۰۶	۱-۸-۴- پروفیل ۲ برداشت اول
۱۰۷	۲-۸-۴- پروفیل ۲ برداشت دوم
	۳-۸-۴- معکوس سازی داده های مقاومت ویژه پروفیل ۲ با استفاده از
۱۰۸	روش Time-Laps
	فصل پنجم: نمونه برداری و تعیین درصد پیریت باقیمانده در باطله
۱۱۱	۱-۵- نمونه برداری
۱۱۲	۱-۱-۵- آماده سازی نمونه ها
۱۱۲	۱-۱-۱-۵- خشک کردن نمونه ها
۱۱۴	۱-۱-۱-۵- تقسیم نمونه ها
۱۱۴	۱-۱-۳- خردایش
۱۱۴	۱-۱-۴- تجزیه سوندی

## فهرست مطالب

<u>عنوان</u>		<u>صفحه</u>
۱-۱-۵- انتخاب نمونه جهت تعیین میزان پیریت با قیمانده.....	۱۱۶	
۲-۵- روش‌های تعیین میزان پیریت.....	۱۱۶	
۲-۱- تعیین نوع سولفور.....	۱۱۶	
۲-۲-۱- نحوه انجام آنالیز.....	۱۱۹	
۲-۲-۲-۱- انتخاب نمونه.....	۱۱۹	
۲-۲-۲-۲- آماده سازی محلولها.....	۱۱۹	
۲-۳-۲-۲-۵- اندازه گیری میزان آهن با استفاده از دستگاه جذب اتمی.....	۱۲۰	
۲-۴-۲-۲-۵- انجام آنالیز جذب اتمی.....	۱۲۱	
۲-۴-۲-۳-۵- تعیین میزان پیریت با استفاده از میزان آهن موجود در فاز گوگردی.....	۱۲۲	
۳-۵- تهیه مقاطع صیقلی و مشاهده پیریت در زیر نور انعکاسی.....	۱۲۶	
۴-۵- تعیین نفوذپذیری محل انباشت باطله.....	۱۲۸	
۴-۱-۴-۵- نفوذپذیری.....	۱۲۸	
۴-۲-۴-۵- بیان توصیفی نفوذپذیری.....	۱۳۰	
۴-۳-۴-۵- محل انجام آزمایش نفوذپذیری.....	۱۳۱	
۴-۳-۳-۴-۵- روش انجام آزمایش نفوذپذیری.....	۱۳۱	

## فهرست مطالب

<u>صفحه</u>	<u>عنوان</u>
۱۳۳	۴-۳-۲-۲- انجام محاسبات برای تعیین نفوذپذیری
۱۳۶	۵-۵- میزان بارندگی
	فصل ششم: مدلسازی ریاضی جهت بررسی اکسیداسیون پیریت و تولید آلودگی
۱۳۹	۶-۱- مقدمه
۱۳۹	۶-۲- انواع مدل‌ها
۱۴۰	۶-۲-۱- مدل‌های مفهومی
۱۴۱	۶-۲-۲- مدل‌های فیزیکی
۱۴۱	۶-۲-۳- مدل‌های ریاضی
۱۴۱	۶-۲-۴- روش‌های عددی
	۶-۳- مراحل کلی در آنالیز‌های (CFD) و مدول‌های استفاده شده
۱۴۲	۶-۴- در نرم افزار PHOENICS
۱۴۵	۶-۴-۱- معادله نفوذ اکسیژن در باطله‌های زغال
۱۴۶	۶-۴-۲- معادله ریاضی مدل نفوذ اکسیژن در باطله‌ها
۱۴۷	۶-۵- مدل معادله اکسیداسیون پیریت در باطله‌های زغال
۱۵۰	۶-۶- پارامترهای ورودی مدل
۱۵۱	۶-۷- شرایط مرزی

## فهرست مطالب

صفحه

عنوان

۱۵۱	۶-۷-۱- شرایط مرزی برای مدل اکسیژن.....
۱۵۲	۶-۷-۲- شرایط مرزی و اولیه برای مدل اکسیداسیون پیریت.....
۱۵۳	۶-۸- نتایج مدلسازی نفوذ اکسیژن در باطله.....
۱۵۴	۶-۹- نتایج به دست آمده مدلسازی اکسیداسیون پیریت باطله ها.....
۱۵۴	۶-۹-۱- نتایج مدلسازی اکسیداسیون پیریت در نمونه ۱.....
۱۵۶	۶-۹-۲- نتایج مدلسازی اکسیداسیون پیریت در نمونه ۲.....
۱۵۹	۶-۹-۳- نتایج مدلسازی اکسیداسیون پیریت در نمونه ۳.....
۱۶۰	۶-۱۰- تعیین میزان و غلظت سولفات تولید شده در دمپ باطله.....
۱۶۳	۶-۱۱- تعیین PH دمپ باطله.....
۱۶۴	۶-۱۲- تلفیق نتایج مدل های ژئو الکتریک و مدل سازی ریاضی.....
فصل هفتم: نتیجه گیری و پیشنهادات	
۱۶۸	۷-۱- جمع بندی و نتیجه گیری.....
۱۷۴	۷-۲- پیشنهادات.....
منابع و مراجع	
۱۷۹	منابع و مراجع فارسی.....
۱۸۱	منابع و مراجع انگلیسی.....

## فهرست مطالب

صفحة

عنوان

### پیوست‌ها

۱۸۶	پیوست الف
۱۹۷	پیوست ب
۲۰۸	پیوست ج
۲۱۳	پیوست د
۲۱۶	پیوست ه
۲۱۹	پیوست و

## فهرست اشکال

صفحه

عنوان

### فصل اول

۱-۱- فلوچارت روش انجام کار و مراحل مختلف پروژه ..... ۱۲

### فصل دوم

۱-۲- اثر پساب اسیدی بر روی آبهای سطحی ..... ۲۶

### فصل سوم

۱-۳- موقعیت منطقه مورد مطالعه و راههای دسترسی به آن ..... ۴۶

۲-۳- نمایی شماتیک از کروکی منطقه و موقعیت آن نسبت به جاده اصلی

..... شاهروド - دامغان ..... ۴۶

۳-۳- عکس ماهواره ای منطقه مورد مطالعه ..... ۴۷

۴-۳- بخشی از نقشه زمین شناسی شاهروド با مقیاس ۱:۱۰۰۰۰ ..... ۴۸

۵-۳- نمایی از محل انباشت باطله های قدیمی جیگ ماشین ..... ۵۴

۶-۳- نمایی از کپه های انباشت باطله جدید جیگ ماشین ..... ۵۵

۷-۳- نمایی از رویش گیاهان در اطراف انباشت باطله های فلوتاسیون ..... ۵۶

۸-۳- نمایی از آلودگی در اطراف محل انباشت باطله ها ..... ۵۷

### فصل چهارم

۱-۴- روابط فاز و اندازه میدان اولیه و ثانویه و بردار منتج آنها ..... ۶۲

(ک)

## فهرست اشکال

### صفحه

### عنوان

۶۳	۴-۲- نحوه اندازه گیری متند زاویه تیلت.....
۶۴	۴-۳- موقعیت فرستنده های مهم جهان.....
۶۸	۴-۴- نمایی از دستگاه WADI.....
	۴-۵- پاسخ زون خرد شده به میدان VLF.....
۶۹	الف) نمودار خام. ب) نمودار فیلتر شده.....
۶۹	۴-۶- مقایسه آنومالی دو زون عمیق و کم عمق.....
۷۰	۴-۷- آنومالی یک زون مقاوم.....
۷۰	۴-۸- آنومالی یک زون هادی.....
۷۱	۴-۹- کروکی شماتیک محل و نحوه برداشت داده های VLF.....
	۴-۱۰- پروفیل داده خام، پروفیل داده فیلتر شده و مقطع عرضی چگالی جریان، پروفیل .....
۷۵	۴-۱۱- پروفیل داده خام، پروفیل داده فیلتر شده و مقطع عرضی چگالی جریان،پروفیل ۲.....
۷۷	۴-۱۲- پروفیل داده خام، پروفیل داده فیلتر شده و مقطع عرضی چگالی جریان،پروفیل ۲.....
۷۹	۴-۱۳- پروفیل داده خام، پروفیل داده فیلتر شده و مقطع عرضی چگالی جریان،پروفیل ۱.....
۸۴	(ج)

## فهرست اشکال

عنوان	صفحة
۱۴-۴- پروفیل داده خام، پروفیل داده فیلتر شده و مقطع عرضی	
چگالی جریان، پروفیل <sup>۳</sup>	۸۵
۱۵-۴- پروفیل داده خام، پروفیل داده فیلتر شده و مقطع عرضی	
چگالی جریان، پروفیل <sup>۶</sup>	۸۵
۱۶-۴- نمودار مولفه هم فاز فیلتر شده پروفیل ها در منطقه مورد بررسی	۸۶
۱۷-۴- ترتیب قرار گیری الکتروودها در روش دو قطبی - دو قطبی	۸۹
۱۸-۴- نمایش شماتیکی از محل برداشت پروفیل های ژئوالکتریک و VLF	۹۴
۱۹-۴- تصویر دستگاه ABEM SAS 1000 C	۹۵
۲۰-۴-: شبه مقطع مقاومت ویژه ظاهری اندازه گیری شده، شبه مقطع مقاومت ویژه ظاهری محاسبه شده و مدل معکوس پروفیل ۱ مربوط به برداشت اول	۹۷
۲۱-۴-: شبه مقطع مقاومت ویژه ظاهری اندازه گیری شده، شبه مقطع مقاومت ویژه ظاهری محاسبه شده و مدل معکوس پروفیل ۱ مربوط به برداشت دوم	۹۹
۲۲-۴-: شبه مقطع مقاومت ویژه ظاهری اندازه گیری شده، شبه مقطع مقاومت ویژه ظاهری محاسبه شده و مدل معکوس پروفیل ۱ مربوط به برداشت سوم	۱۰۰
۲۳-۴-: شبه مقطع مقاومت ویژه ظاهری اندازه گیری شده، شبه مقطع مقاومت ویژه ظاهری محاسبه شده و مدل معکوس پروفیل ۱ مربوط به برداشت چهارم	۱۰۱
۲۴-۴- مدل های معکوس مقاومت ویژه مربوط به زمان های مختلف در پروفیل شماره ۱	۱۰۲
۲۵-۴- مدل های تغییرات مقاومت ویژه در برداشت های مختلف نسبت به برداشت اول مربوط به پروفیل ۱	۱۰۵

## فهرست اشکال

عنوان		صفحة
۲۶-۴: شبه مقطع مقاومت ویژه ظاهری اندازه گیری شده، شبه مقطع مقاومت ویژه ظاهری محاسبه شده و مدل معکوس پروفیل ۲ مربوط به برداشت اول	۱۰۷	
۲۷-۴: شبه مقطع مقاومت ویژه ظاهری اندازه گیری شده، شبه مقطع مقاومت ویژه ظاهری محاسبه شده و مدل معکوس پروفیل ۲ مربوط به برداشت اول	۱۰۸	
۲۸-۴: مدل‌های معکوس مقاومت ویژه و درصد تغییرات مقاومت ویژه در مدل دوم نسبت به برداشت اول	۱۰۹	

## فصل پنجم

۱-۵- فلوچارت مراحل آماده سازی نمونه ها و آنالیز پیریت موجود در آنها	۱۱۳
۲-۵- نمودار خطی غلظت - جذب آهن جهت تجزیه پیریت با دستگاه جذب اتمی	۱۲۱
۳-۵- تغییرات درصد پیریت باقیمانده نسبت به عمق در نمونه ۱	۱۲۳
۴-۵- تغییرات درصد پیریت باقیمانده نسبت به عمق در نمونه ۲	۱۲۴
۵-۵- تغییرات درصد پیریت باقیمانده نسبت به عمق در نمونه ۳	۱۲۴
۶-۵- تصویر مقطع صیقلی مربوط به نمونه ۳ که از سطح تهیه شده است	۱۲۶
۷-۵- تصویر مقطع صیقلی مربوط به نمونه ۳ که از عمق ۵/۰ متر تهیه شده است	۱۲۷
۸-۵- تصویر مقطع صیقلی مربوط به نمونه ۳ که از عمق ۱/۵ متر تهیه شده است	۱۲۷
۹-۵- نمایی از استوانه مضاعف	۱۳۲
۱۰-۵- تغییرات نفوذ تجمیعی نسبت به زمان جهت آزمایش نفوذپذیری دمپ باطله در نقطه ۱	۱۳۳

## فهرست اشکال

<u>عنوان</u>	<u>صفحه</u>
--------------	-------------

۱۱-۵- تغییرات نفوذ تجمعی نسبت به زمان جهت آزمایش نفوذپذیری خاک در

۱۳۵	محدوده بررسی ژئوفیزیک
-----	-----------------------

## فصل ششم

۶-۱- مدل مفهومی برای فرآیند اکسیداسیون پیریت و تولید پساب اسیدی معدن و انتقال

۱۴۰	آلودگی در معادن نواری بکفیل شده استرالیا
-----	--

۱۴۳	۶-۲- فلوچارت انجام مراحل اصلی در آنالیزهای CFD
-----	--

۱۴۴	۶-۳- مراحل حل مسئله توسط نرم افزار PHOENICS
-----	---

۱۴۷	۶-۴- تصویر شماتیک از اکسیداسیون پیریت و نشت آلانینده در باطله های معادن روباز
-----	---

۱۵۱	۶-۵- نمایی از مدل یک بعدی باطله های زغال
-----	--

۱۵۴	۶-۶- تغییرات درصد اکسیژن در طول مدل با ضرایب نفوذ مؤثر مختلف
-----	--

۱۵۵	۶-۷- مقایسه داده های صحرایی و نتایج مدل برای تعیین درصد پیریت باقیمانده نسبت
-----	--

۱۵۵	به عمق باطله در نمونه اول
-----	---------------------------

۱۵۶	۶-۸- مقایسه داده های صحرایی و نتایج مدل عددی برای تعیین درصد پیریت باقیمانده
-----	--

۱۵۶	نسبت به عمق باطله در زمانهای متفاوت مربوط به نمونه اول
-----	--

۱۵۸	۶-۹- مقایسه داده های صحرایی و پیش‌بینی مدل برای تعیین درصد پیریت باقیمانده
-----	--

۱۵۸	نسبت به عمق باطله مربوط به نمونه دوم
-----	--------------------------------------

## فهرست اشکال

صفحه

عنوان

۱۰-۶ مقایسه داده های صحرایی و پیش بینی های مدل برای تعیین درصد پیریت باقیمانده	
۱۵۸.....	نسبت به عمق باطله در زمانهای مختلف مربوط به نمونه دوم
۱۱-۶ مقایسه داده های صحرایی و پیش بینی های مدل برای تعیین درصد پیریت باقیمانده	
	نسبت به عمق باطله ها به صورت تابعی از ضریب نفوذ مؤثر اکسیژن در باطله ها، مربوط
۱۵۹.....	به نمونه دوم
۱۲-۶ مقایسه مقادیر اندازه گیری شده و مدل به دست آمده از درصد بخش پیریت باقیمانده	
۱۵۹.....	در نمونه سوم
۱۳-۶ مدل تغییرات مقاومت ویژه برداشت سوم نسبت به برداشت اول در پروفیل اول	۱۶۵.....

**فصل اول**

**کلیات**

## ۱-۱- مقدمه

نیاز روزافزون بشر به انرژی سبب پیدایش دانش های مرتبط با دستیابی به منابع از قبیل معدنکاری شده است. منابع متداول انرژی شامل سوختهای فسیلی، انرژی اتمی و انرژی های نو (انرژی خورشیدی، هیدرولیکی و بادی) می باشند، که از این میان سوختهای فسیلی حجم عمدۀ ای از مصرف انرژی جهان را تشکیل می دهند. سوختهای فسیلی بطور عمدۀ شامل فرآورده های نفت، گاز و زغالسنگ هستند. به دلیل قیمت بالای جهانی نفت و گاز و همچنین محدودیت و رو به اتمام بودن ذخائر آنها، استفاده از زغالسنگ در برخی از صنایع زیرساختی کشور از قبیل کارخانجات تولید فولاد و ذوب آهن اهمیّت بیشتری پیدا می کند. ایران کشوری است که بدلیل داشتن ذخائر و معادن زغالسنگ زیاد از قبیل معادن البرزشرقی، شمال، زرند کرمان و طبس می تواند سوخت لازم در برخی از صنایع زیر ساختی کشور را به راحتی تأمین نماید. برای دستیابی به انرژی بیشتر نیاز به زغالی مرغوب تر است که همین امر ضرورت انجام مرحله ای تحت عنوان فرآوری و شستشوی آن را ایجاب می کند. انجام این پروسه می تواند زمینه ساز آلودگی های زیست محیطی گردد. یکی از مهمترین محصول فرعی در معدنکاری و فرآوری

زغال، تشکیل پساب های اسیدی<sup>۱</sup> معدن است. تولید پساب های اسیدی در معادن زغال به خاطر وجود کانی پیریت همراه زغال است. اکسیداسیون پیریت در مجاورت هوا و رطوبت و تشکیل پساب اسیدی می تواند اثرات زیان آور و مخربی در زندگی موجودات زنده، آبهای سطحی و زیرزمینی ایجاد نماید. به همین جهت شناسایی و نحوه گسترش چنین زونهای آلوده کننده با بهره‌گیری روش‌های گوناگون از اهمیت وافری برخوردار است که در ادامه به شرح کارهای انجام شده در این زمینه پرداخته می شود.

## ۱-۲- مروری بر کارهای انجام شده

**۱-۲-۱- استفاده از روش‌های ژئوفیزیکی به منظور شناسایی زونهای آلوده**

سالیان متمادی است که روش‌های مقاومت ویژه جریان مستقیم (DC<sup>۲</sup>) به منظور تعیین و شناسایی آلودگی‌های ناشی از محل‌های دفن زباله و اسیدهای معدنی مورد استفاده قرار گرفته است. افرادی همچون استالر<sup>۳</sup> و رونکس<sup>۴</sup> در سال ۱۹۷۵، کلی<sup>۵</sup> ۱۹۷۶، اوریش<sup>۶</sup> ۱۹۸۳، کارپنتر<sup>۷</sup> در ۱۹۹۰ با استفاده از روش فوق آلودگی ناشی از محل‌های دفن زباله و مرکل<sup>۸</sup> ۱۹۷۲ و ابراهیم<sup>۹</sup> ۱۹۹۰ آلودگی ناشی از اسیدهای معدنی را مورد بررسی قرار داده اند [یوآل<sup>۱۰</sup> و الدنبرگ<sup>۱۱</sup>]. در اکثر موارد با استفاده از

1- Acid mine drainage

2 -Direct Current

3- Stollar

4- Ronx

5- Kelly

6- Urich

7- Carpenter

8- Merkel

9- Ebraheem

10 - Yuval

11 - Oldenburg

روش پروفیل زنی برای تعیین گسترش جانبی آلودگی و از روش سونداز زنی قائم به منظور کسب اطلاعات راجع به نفوذ عمقی آلودگی استفاده شده است. تفسیر داده ها، معمولاً به صورت مستقیم از نقشه های هدایت ظاهری و با استفاده از تکنیکهای متفاوت امکان پذیر است. کارپنتر در سال ۱۹۹۰ با استفاده از روش معکوس سازی، منحنی های به دست آمده را با داده های سونداز الکتریکی مطابقت داده است ولی مدل ارائه شده دارای نقاط ضعف زیادی بوده است که از جمله آن موارد می توان به یک بعدی بودن مدل و مورد بررسی قرار دادن تعداد محدودی از لایه ها اشاره نمود [کارپنتر و همکاران، ۱۹۹۰]. در سال ۱۹۹۴ فرانگوس<sup>۱</sup>، آندرزیل<sup>۲</sup> و دراسکونتس<sup>۳</sup> با اندازه گیری قطبش القایی (IP) آلودگی ناشی از دمپ های باطله درشت دانه مس شرق اروپا را مورد بررسی قرار داده اند [یوآل و الدنبرگ، ۱۹۹۵]. همان سال با بکارگیری روشی مشابه، واگنر<sup>۴</sup> و ردلاو<sup>۵</sup> در شمال آمریکا، گسترش آلودگی قسمت های زیرین محل انباست باطله مس را مورد مطالعه قرار دادند [یوآل و الدنبرگ، ۱۹۹۵]. آنها درنهایت نشان دادند که با استفاده از اندازه گیری مقاومت ویژه و قطبش القایی می توان آلودگی ناشی از محل های انباست باطله را به خوبی نشان داد. یوال و الدنبرگ در ۱۹۹۵ با تلفیق مدلهای حاصل از اندازه گیری مقاومت ویژه و قطبش القایی و مقایسه آنها با اطلاعات کیفی آب مانند میزان ذرات جامد معلق (TDS)<sup>۶</sup> آلودگی ناشی از دمپ های باطله مس را در شمال آمریکا به خوبی نشان دادند [یوآل و الدنبرگ، ۱۹۹۵]. بنсон<sup>۷</sup>، با

1- Frangones

2- Andrezal

3- Draskonts

4- Wagner

5- Wradlaw

6- Total dissolved solids

7- Benson

بکارگیری و تلفیق نتایج به دست آمده از روش های مقاومت ویژه و VLF آلودگی ناشی از نشت فرآورده های نفتی را در شمال آمریکا مورد بررسی قراردادند [بنسون و همکاران، ۱۹۹۷]. در سال ۲۰۰۱ کامکار روحانی، آلودگی های ناشی از باطله های تر کارخانه بوکسیت را با استفاده از روش های پروفیل زنی دوقطبی - دوقطبی با فواصل مختلف در ایالت استرالیای غربی مورد بررسی قرار داده است [کامکار روحانی، ۲۰۰۱]. فارینگر<sup>۱</sup> در سال ۲۰۰۲ با استفاده از روش الکترومغناطیس کم عمق<sup>۲</sup>، آلودگی ناشی از تشکیل پساب های اسیدی معدن (AMD) در لایه های زیرین معدن زغال زیرزمینی در ایالت ویرجینیا را مورد بررسی قرار داده است [فارینگر، ۲۰۰۲]. اگرچه ریاحی و همکاران در سال ۱۳۷۵ آلودگی نفتی و گسترش آن در منطقه ده شیخ کهریزک را با استفاده از روش ژئوالکتریک مورد بررسی قرار دادند [زارع و همکار، ۱۳۸۲] ولی متأسفانه در ایران کارهای زیادی در زمینه بررسی های آلودگی زیست محیطی با استفاده از روش های ژئوفیزیکی انجام نشده است.

## ۱-۲-۲- مروری بر کارهای انجام شده در مدل سازی ریاضی آلودگی های پساب اسیدی

پساب های اسیدی شاید به عنوان بدترین مشکل زیست محیطی شناخته شده است و به صورت جدی تأثیرات نامطلوبی ببروی محیط پیرامون خود می گذارد [گری<sup>۳</sup> و همکار، ۱۹۷۴]. تولید اسید از معادن متروکه و دمپ های باطله زغال سبب نگرانی زیادی در انگلستان شده است و نشت اسید حاصل از

---

1- Fahringer  
2 -Shallow EM  
3- Gray

آنها به عنوان مهمترین دلیل آلودگی منابع آبها در مرکز اسکاتلند به شمار می‌رود [والتر<sup>۱</sup> و همکاران، ۱۹۹۴]. همچنین پساب اسیدی سبب ایجاد مشکلات اساسی در قسمت‌های مرکزی، غربی و شمال غربی استرالیا، در مناطقی از Tasmania در بخش Hunter نیوسالت ولز و جنگل Rum در سرزمین‌های شمالی استرالیا به شمار می‌رود [دیویس<sup>۲</sup>، ۱۹۸۳].

در ایران نیز با توجه به تعداد زیاد معادن، تشکیل پساب‌های اسیدی در آینده مشکلات زیست محیطی زیادی را به همراه خواهد داشت. یکی از مهمترین مشکلات این پساب‌ها به دلیل وجود معادن زغالی می‌باشد و از آنجایی که زغال یکی از مهمترین منابع تأمین انرژی بعد از نفت می‌باشد، ممکن است در آینده نزدیک متروکه شدن معادن و همچنین محل انباشت باطله‌های آنها سبب بروز مشکلات زیست محیطی زیادی در محیط پیرامون خود گردد.

همانطور که قبلًاً اشاره گردید، مهمترین دلیل آلودگی ناشی از پساب‌های اسیدی، اکسیداسیون پیریت و حمل و نقل آلاینده‌های ناشی از آنها به محیط اطراف دمپ‌های ذخیره باطله‌های حاوی پیریت می‌باشد. استفاده از شبیه سازی و مدل سازی‌های ریاضی مکانیزم‌های مؤثر در اکسیداسیون پیریت و تولید آلودگی می‌تواند اطلاعات مطلوبی در راستای طراحی راهکارهای مؤثر در مقابله با آلودگی را فراهم نماید.

تلاش‌های زیادی در ارائه مدل مناسب برای اکسیداسیون پیریت و کانی‌های سولفیدی دیگر

---

1- Walter  
2- Davis

توسط اشخاصی نظری روگونسکی<sup>۱</sup>، جینز<sup>۲</sup> ۱۹۷۷، ۱۹۸۴ صورت گرفته است [روگونسکی و همکاران، ۱۹۷۷ و جینز و همکاران، ۱۹۸۴]. در این مدل‌ها اکسیداسیون پیریت و لیچینگ اسید در دمپهای باطله مورد بررسی قرار گرفته است. از نتایج این مدل‌ها می‌توان به این نکته اشاره کرد که به فرآیندهای فیزیکی و شیمیایی حمل آلاینده‌های ناشی از اکسیداسیون پیریت کمتر پرداخته شده است. بعلاوه اینکه این مدل‌ها تنها در ارتباط با بکفیل<sup>۳</sup>‌های معادن روباز نواری می‌باشند. باید توجه کرد که کارهای بسیار کمی به منظور کنترل مکانیزم‌های نرخ اکسیداسیون پیریت و نشت فراورده‌های واکنشی حاصل از معادن زغال انجام شده است. کاتلس<sup>۴</sup> و آپس<sup>۵</sup> در سال ۱۹۷۵ مدل یک بعدی از فرآیندهای اکسیداسیون و لیچینگ را با در نظر گرفتن دما، توازن اکسیژن و انتقال هوا ارائه نمودند [کاتلس و آپس، ۱۹۷۵]. این مدل از پدیده همرفت هوا به عنوان مهمترین مکانیزم حمل و نقل اکسیژن در اکسید کردن آهن دو ظرفیتی در حضور باکتری‌های اکسید کننده تیوباسیلوس فرو اکسیدان در دمپ‌ها به شمار می‌رود. جینز در سال ۱۹۸۳ مدلی برای اکسیداسیون پیریت و لیچینگ بعدی فراورده‌های اکسیداسیون آن در معادن زغال روباز نواری ارائه نموده است [جینز، ۱۹۸۳]. در این مدل عامل‌های اکسید کننده اکسیژن و آهن سه ظرفیتی می‌باشند. مدل با این فرض ارائه گشته است که اکسیداسیون پیریت توسط میزان نفوذ<sup>۶</sup>(پخش) عامل اکسید کننده در ذرات واکنشی کنترل می‌گردد. یون فریک (آهن سه ظرفیتی

1- Rogowski

2- Jaynes

۳- باطله‌های بر کننده حفره‌های نواری

4- Cathles

5- Apps

6- Diffusion

فریک) نیز با فرض اینکه حاصل از اکسیداسیون شیمیایی و فعالیت باکتریها بر روی یون آهن دو ظرفیتی می باشد، در مدل وارد شده است. دیویس و ریچی<sup>۱</sup> در سال ۱۹۸۶ مدل یک بعدی اکسیداسیون پیریت در دمپ های سنگ باطله درشت دانه<sup>۲</sup> مس را با درنظر گرفتن نفوذ اکسیژن ارائه نموده اند. مدل ارائه شده از دو بخش اصلی تشکیل شده است [دیویس و همکار، ۱۹۸۶]:

#### ۱- نفوذ اکسیژن در فضاهای خالی دمپ

۲- مدل مغزه منقبض شده برای توصیف نفوذ اکسیژن در ذرات حاوی پیریت جدا که در آن زون اکسید شده به صورت پوشش یا کیک در اطراف مغزه ذرات واکنش نداده، قرار گرفته اند.

این مدل که اولین بار توسط لونسپیل ارائه شده بسیار مورد توجه قرار گرفته شده و دارای کارآئی بالای می باشد. در این مدل، نقش باکتریها در اکسیداسیون پیریت و حمل بعدی فرآورده های اکسیژن در نظر گرفته نشده است. در سالهای اخیر استفاده از نرم افزارهای دینامیک سیالات محاسباتی<sup>۳</sup> (CFD)، تبدیل به ابزار مهمی در مطالعات زیست محیطی ناشی از فعالیت های معدنی شده است. اخیراً با استفاده از نرم افزار تجاری PHOENICS که در زمرة نرم افزارهای CFD مهم می باشد، پیش‌بینی فرآیندهای اکسیداسیون و تولید آلودگی معادن امکان‌پذیر شده است و حساسیت تعدادی از پارامترهای اصلی برروی میزان آلودگی مورد آنالیز قرار گرفته اند [دولتی و سینگ<sup>۴</sup>، ۲۰۰۴، سینگ و دولتی، ۲۰۰۴، دولتی و

---

1- Ritchie  
2- Waste Rock  
3- Shrinking Core  
2- Computational Fluid Dynamic  
5- Singh

همکاران، ۲۰۰۲، دولتی و همکاران، ۲۰۰۴ و سینگ و دولتی ۲۰۰۳]. در ایران روش های مدل سازی ریاضی جهت تشریح فرآیندهای اکسیداسیون پیریت و گسترش آلودگی ها در ارتباط با معادن زغال چندان مورد توجه قرار نگرفته است و برای اولین بار در این پایان نامه سعی شده است تا با استفاده از نرم افزار PHOENICS (چم<sup>۱</sup>، ۲۰۰۲) نحوه انتشار آلودگی در اطراف سد باطله حاصل از جیگ ماشین کارخانه زغالشویی مورد بررسی قرار گیرد.

### ۱-۲-۳- بررسی نقش پیریت در ایجاد پساب های اسیدی در ایران

متأسفانه در ایران کارهای زیادی در جهت اندازه گیری پیریت و نقش آن در ایجاد پساب های اسیدی انجام نشده است. اصانلو و همکاران در سال ۱۳۸۳ نقش پیریت در ایجاد آلودگی دمپ های باطله معدن مس سرچشممه را با استفاده از روش ذره شماری به منظور تعیین عیار پیریت مطالعه کردند و نقش هوازدگی و بارندگی را در ایجاد اسید در سد باطله مورد بررسی قرار دادند [اصانلو و همکاران، ۱۳۸۳]. سهرابی و همکاران در سال ۱۳۸۲ با استفاده از آزمایشهای استاتیکی<sup>۲</sup> ABA اصلاح شده پتانسیل تولید پساب های اسیدی حاصل از کارخانه زغالشویی البرز شرقی را مورد مطالعه و آزمایش قرار داده اند. آنها نشان داده اند که باطله های قدیمی جیگ ماشین در محل کارخانه زغالشویی البرز شرقی دارای قابلیت تولید پساب اسیدی بوده و باطله های دیگر از لحاظ تولید اسید وضعیت نامشخصی دارند [سهرابی و همکاران، ۱۳۸۳]. به تازگی به بررسی میزان پیریت در زغال سنگ طبس پرداخته شده است و استفاده از

1- Cham

2- Static test

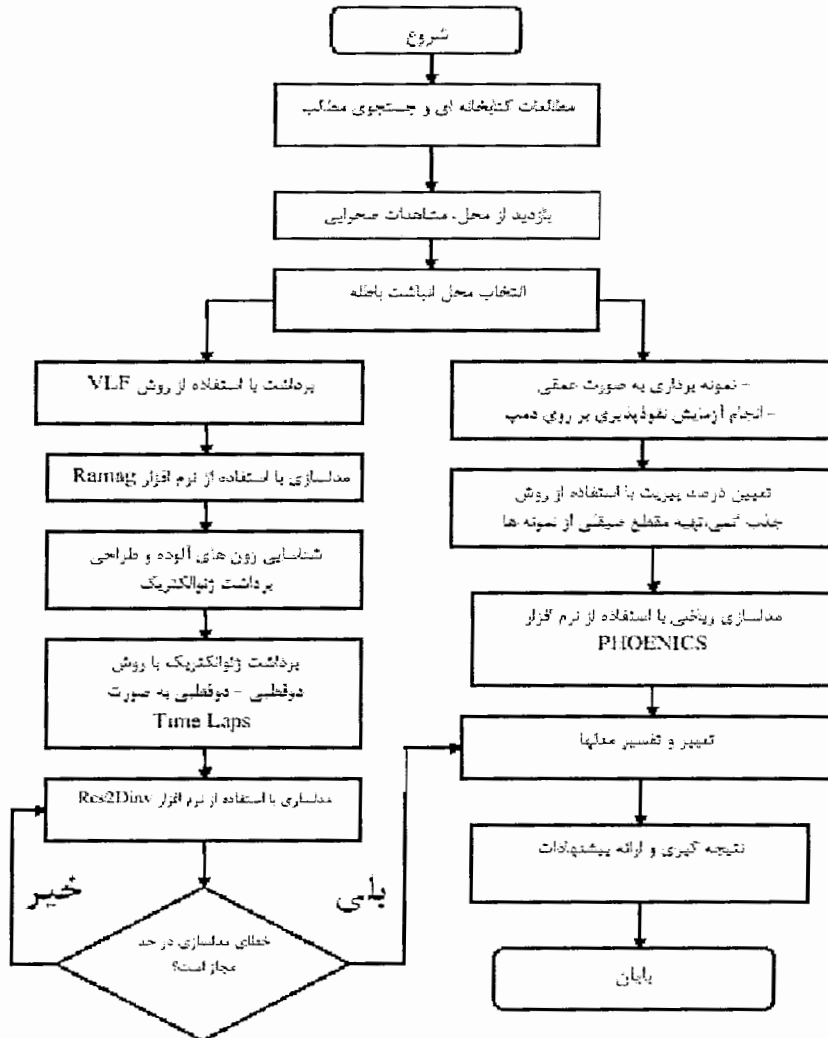
روش‌های جدایش مغناطیسی‌تر و خشک برای حذف پیریت پیشنهاد گردیده است [عبدالهی و همکاران، ۱۳۸۳].

### ۱-۳- اهداف پایان نامه و ضرورت انجام آن

با انجام فرآیند فرآوری، مقداری از مواد معدنی باعیار و کیفیت پایین تر به صورت باطله جدا می‌گرددند. معمولاً محل‌های انباشت باطله‌ها در مجاورت کارخانجات فرآوری و کانه آرایی می‌باشد. قرار گرفتن باطله‌های انباشت شده در برابر عواملی نظیر بارندگی‌های جوئی و هوازدگی باعث تغییر ترکیبات آنها و راه پیدا کردن مواد سمی و خطرناک موجود در باطله‌ها به محیط پیرامون خود می‌گرددند. همانطور که اشاره گردید، یکی از مهمترین مشکلات زیست محیطی ناشی از محل انباشت باطله‌ها تولید پساب‌های اسیدی می‌باشد از این رو مطالعه و شناسایی زونهای با پتانسیل آلودگی بالا و نحوه انتشار آلاینده‌ها و پساب‌های اسیدی حاصل از آنها می‌تواند در ارائه راهکارهای مؤثر برای جلوگیری از انتشار و کنترل آنها مفید واقع گردد. در این پایان نامه سعی شده است تا با بهره گیری از اندازه گیری‌های رئوفیزیکی و انجام مدل سازی‌های لازم زونهای آلوده کننده و آهنگ گسترش آنها در پائین دست دپوهای معدنی مورد شناسایی قرار گیرند و همچنین با بکارگیری روش‌های مدلسازی ریاضی فرآیندهای اکسیداسیون پیریت و تولید آلودگی در پیرامون سدهای باطله کارخانه زغالشویی البرز شرقی مورد مطالعه قرار گیرند.

فرآیندهای فرآوری زغال با ایجاد حجم زیادی از باطله‌های حاوی کانی‌های سولفیدی همراه

است. این مواد باطله نه تنها سبب اشغال فضاهای اطراف کارخانه فرآوری و از بین رفتن مناظر طبیعی زمین ها می گردند، موجب تخریب زیستگاه های طبیعی شده و مهمتر از همه سبب آلودگی منابع آب زیرزمینی با تخلیه اجسام و جامدات محلول شامل فلزات سنگین به داخل آنها می گردند. آلودگی منابع آبی برای مناطق مسکونی همچووار در پایین دست ممکن است سبب مشکلات عدیده ای گردد. لذا انجام تحقیقاتی از این دست می تواند در کم کردن و کنترل آلودگی، مؤثر واقع گردد. البته باید توجه داشت که مشابه این تحقیق کم و بیش بصورت پراکنده در دنیا انجام شده ولی سابقه چنین مطالعات در کشورمان زیاد نمی باشد. لذا ضرورت انجام مطالعات و طرحهایی از این دست احساس می گردد. ضمناً از نتایج چنین بررسی هایی می توان برای سایر موارد مشابه و توسعه یک استراتژی کنترل زیست محیطی استفاده کرد. شکل ۱-۱ روش انجام کار و مراحل مختلف تحقیق حاضر را بصورت یک فلوچارت نشان می دهد.



شکل ۱-۱- فلوچارت روش انجام کار و مراحل مختلف پژوهش

#### ۴-۱- سازماندهی پایان نامه

پایان نامه حاضر مشتمل بر هفت فصل می باشد. فصل اول شامل: مقدمه، مروری بر کارهای

انجام شده، اهداف پایان نامه، ضرورت انجام طرح و سازماندهی پایان نامه می باشد. در فصل دوم مطالبی

در مورد زغال و ترکیبات آن، مشکلات زیست محیطی ناشی از زغال، واکنشهای اکسیداسیون پیریت و

آثار مخرب پساب های اسیدی مورد بررسی قرار گرفته است. فصل سوم به تشریح موقعیت جغرافیایی منطقه، راههای دسترسی، مشاهدات صحرایی، زمین شناسی و تکتونیک منطقه می پردازد. فصل چهارم بررسی های ژئوفیزیکی با روشهای VLF و ژئوالکتریک را همراه با چگونگی مدل سازی و تفسیر داده های حاصل در بر می گیرد. فصل پنجم ابتدا چگونگی نمونه برداری از باطله ها و آنالیز آنها را برای تعیین درصد پیریت موجود همراه با تعیین نفوذپذیری تشریح می کند و سپس به مطالعات میکروسکوپی مقاطع تهیه شده می پردازد. در فصل ششم با توجه به نمونه های آنالیز شده، یک مدل ریاضی یک بعدی جهت تشریح فرآیندهای اکسیداسیون پیریت، نفوذ اکسیژن و تولید آلودگی در محل دمپ باطله ارائه می شود. در فصل هفتم نتایج بدست آمده مورد بررسی دقیقتر قرار گرفته و با توجه به نتایج حاصله پیشنهاداتی برای جلوگیری از آلودگی از محل انباشت باطله و مواردی برای انجام مطالعه و بررسی بیشتر ارائه شده است.

## فصل دوم

نگار و مشکلات زیست محیطی ناشی از باطله های آن

**۱-۲ - مقدمه**

در این فصل به معرفی زغال، منابع و ذخائر آن در ایران، ترکیبات و عوامل تأثیر گذار موجود در ترکیبات زغال بر روی آلودگی های زیست محیطی پرداخته شده است. همچنین در ادامه چگونگی تولید پساب اسیدی، نقش کانیهای سولفیدی آهن در شکل گیری پساب اسیدی، بررسی اکسیداسیون کانی های سولفیدی فلزی و تأثیر مخرب پساب اسیدی بر روی محیط پیرامون آن به تفضیل مورد بررسی قرار گرفته است.

**۲-۲ - منابع و ذخائر زغال سنگ در جهان**

کل منابع زغال سنگ در جهان ۱۰۱۳۰ بیلیون تن تخمین زده است که بر اساس مطالعات انجام شده در سال ۱۹۹۷ مقدار ذخائر قطعی زغال سنگ ۱۰۳/۶۱۱ بیلیون تن می باشد تشکیل می دهد [اصانلو، ۱۳۷۸]. عمدت ترین کشورهای تولید کننده زغال سنگ، آمریکا با ۲۲/۷ درصد، شوروی سابق ۸/۸ درصد، کشورهای اروپائی که عضو سازمان همکاریهای اقتصادی و توسعه ای<sup>۱</sup> (OECD) هستند

۱- Organizatiopn of Economic Coopration and Development

مقدار ۵۱۰/۲۱۴ میلیون تن ذخیره قطعی، ۱۸۳/۵۴ میلیون تن ذخیره احتمالی و حدود ۱۲۴ میلیون تن ذخیره ممکن اعلام شده است. بر اساس این مطالعات، مناطق زغال خیز ایران شامل پنج منطقه و به ترتیب اهمیت از نظر کمیت عبارتند از: منطقه طبس، البرز مرکزی، کرمان، البرز شرقی و البرز غربی که کل ذخیره آنها ۱۶۹۳/۵۲۶۹ میلیون تن می باشد [اصانلو، ۱۳۷۸].

### ۲-۲-۲- ذخائر زغالی ناحیه البرز شرقی

میزان ذخائر و نوع زغال سنگ در البرز شرقی در جدول ذیل آمده است:

جدول ۲-۲- میزان ذخیره و نوع زغال سنگ در البرز شرقی تا سال ۱۳۷۴ [اصانلو، ۱۳۷۸]

نام ناحیه	نام اکتشافی	نوع زغال براساس استاندارد شوروی سابق	میزان ذخیره (میلیون تن)	مرحله عملیات
البرز شرقی	معدن مددویه	چرب	-	در حال بهره برداری
	معدن گرجه	کک شو چرب	-	
	رزمجا	کک شو-کک شو	۱۱/۱۱۲	
	پشکلات	کک شو-گازی چرب و لاغر	۱۴/۳	
	فرگس چاه	کک شو-گازی چرب	-	
	کلاریز	کک شو-گازی چرب	۵/۱۵۱	
	کلات	گازی چرب	۰/۵۱۸	
	وطن	گازی چرب	۰/۰۰۰۲	
	رضی	کک شو-گازی چرب	۲/۰۴۷	
	ملج آرام بالائی	کک شو-گازی چرب	۰/۸۶	
میزان کل زغال در البرز شرقی (میلیون تن)				۳۸/۹۸۸۲

### ۳-۲- ترکیب زغال

عناصری که به طور معمول در ترکیب همه زغال سنگ ها مشخص می شود، عبارتند از:

کربن (C)، هیدروژن (H)، نیتروژن (N)، اکسیژن (O) و سولفور.

**۱-۳-۲- کربن و هیدروژن**

کربن و هیدروژن عناصر اصلی زغال سنگ ها می باشند. مقدار کربن و هیدروژن موجود در زغال سنگ به درجه متامورفیسم (تکامل) و نوع زغال سنگ بستگی دارد. هرچقدر درجه متامورفیسم (تکامل) زغال زیاد و نوع زغال مرغوبتر گردد، درصد کربن افزایش و درصد هیدروژن کاهش خواهد یافت.

**۲-۳-۲- نیتروژن**

نیتروژن به مقدار بسیار کم در زغال سنگ ها وجود دارد و مقدار آن بین ۰/۵ تا حداقل ۲ درصد وزن کل زغال را تشکیل می دهد.

**۳-۳-۲- اکسیژن**

میزان اکسیژن در زغال سنگ ها دارای طیف گسترده ای است. بر حسب درجه تکامل زغال می تواند تا ۳۰ درصد وزن آنها را به خود اختصاص دهد. هر چقدر زغال از تکامل کمتری برخوردار باشد به همان نسبت میزان اکسیژن بیشتری در آن وجود دارد.

**۴-۳-۲- سولفور**

سولفور همواره به عنوان عنصری مزاحم در زغال شناخته شده است. مهمترین مشکلاتی که می تواند ایجاد نماید به قرار زیر است:

- ۱- باعث کاهش ارزش حرارتی زغال سنگ می گردد.
- ۲- باعث تاثیر منفی در کیفیت و افزایش هزینه می گردد.

۳- با توجه به اینکه زغال مصرفی عمدها در صنایع تولید الکتریسیته، صنعت فولاد به منظور تولید کک و تولید نفت و گاز به کار می‌رود از این رو سولفور موجود در آن ممکن است حجم زیادی گازهای  $H_2S$  و  $SO_2$  تولید نماید که سبب بروز آلودگی هوا و محیط زیست گردد.

#### ۱-۴-۳-۲- انواع سولفور در زغال

سولفور در زغال به سه شکل می‌تواند وجود داشته باشد:

۱- به صورت ارگانیکی

۲- به صورت پیریت ( $FeS_2$ ) و مارکاسیت

۳- به صورت سولفات مانند سولفات کلسیم ( $CaSO_4 \cdot 2H_2O$ )

سولفورهای ارگانیکی ۳۰ تا ۶۰ درصد سولفورهای زغال را تشکیل می‌دهند. از نظر کمی غالباً مقدارشان از ۳ درصد وزن زغال تجاوز نمی‌کند.

پیریت و مارکاسیت دو کانی مختلف از ( $FeS_2$ ) هستند با این تفاوت که کانی های پیریت مکعبی

شكل و مارکاسیت به صورت ارتورومبیک<sup>۱</sup> است. عموماً تشخیص و تفکیک این دو از یکدیگر مشکل می‌باشد و غالباً هر دو را به عنوان پیریت می‌شناسند. در مقیاس ماکروسکوپی پیریت به چهار شکل در

زغال پدید می‌آید:

۱- رگه ای<sup>۲</sup>، در این حالت پیریت عموماً نازک و به صورت فیلم مانند در داخل درزه های عمودی

1- Orthorhombic  
2 - Veins

که ممکن است پهنهای آن به چند سانتیمتر برسد، پدید آید.

۲- به صورت عدسی<sup>۱</sup>، در این حالت پیریت از نظر شکل و اندازه بسیار متغیر است.

۳- ندول مانند<sup>۲</sup>، در این حالت کم و بیش پیریت شکلی کروی دارد.

۴- پیریت با منشاء گیاهی، در این حالت شامل کانی های کربناته می باشد و گیاه به طور کامل مراحل زغالی زائی را طی نکرده است.

سولفور که به شکل سولفات کلسیم قرار دارد معمولاً از اهمیت کمی برخوردار است. این شکل از سولفور معمولاً به همراه آهن در زغال مشاهده می شود و مقدار آن بسیار ناچیز و در حد چند صدم درصد آن هم در زغال های به شدت هوازده یا اکسید شده است [اصانلو، ۱۳۷۸].

#### ۲-۴-۳-۲- منشاء سولفور

منشاء سولفور در زغال، گیاهانی هستند که ترکیب اولیه زغال را تشکیل می دهند و معمولاً  $\frac{1}{2}$  تا  $\frac{5}{5}$  درصد سولفور دارند. بعدها در اثر فعالیت میکرو ارگانیسم ها خصوصاً باکتری ها در گیاهان بر مقدار سولفور افزوده می گردد. در اثر بالا آمدن سطح دریا و پیشروی، این مواد به قعر دریا منتقل می شوند. در قعر دریا و اقیانوس ها مقدار کمی سولفور به صورت سولفات کلسیم ( $\text{CaSO}_4$ ) وجود دارد که میکرو ارگانیسم ها از اکسیژن سولفات کلسیم به عنوان منبع اکسیژن خود استفاده می کنند. با توجه به حضور سولفور و آهن در دریاها و فعالیت موجودات تک سلولی به تدریج شرایط برای تشکیل پیریت

1 - Lenses

2 - Nodoules

در چرخه زندگی جانداران قرار گرفته و موجبات مسمومیت و یا حتی مرگ آنها می شود [سین ماوس<sup>۱</sup>، ۲۰۰۶]. در آمریکا پساب اسیدی و دیگر مواد سمی حاصل از معادن متروک ۱۸۰۰۰ جریب زمین و دریاچه و ۱۲۰۰۰ مایل از رودخانه ها و جریانهای آبی را آلوده کرده است. در کشور کانادا بطور تقریبی ۳۵۱ میلیون تن سنگ باطله، ۵۱۰ میلیون تن باطله های سولفیدی و بیش از ۵۵ میلیون تن دیگر منابع معدنکاری وجود دارد که دارای پتانسیل تولید اسید هستند. برای مثال خنثی کردن پساب اسیدی در کشور آمریکا هزینه‌ای بین ۳۲ تا ۷۲ بیلیون دلار و در کانادا هزینه ای بین ۲ تا ۵ بیلیون دلار داشته است [دیز، ۱۹۹۸].

#### ۱-۴-۲- بررسی مشکلات زیست محیطی ناشی از تولید پساب اسیدی در معادن

عملیات معدنکاری محیط اطراف خود را دچار یکسری تغییرات می کند که در نوع خود آلودگی محسوب می شود. جابجایی افقی لایه بالایی خاک و یا دفع باطله ها در رودخانه ها، دریاچه ها و ایجاد سر و صدا توسط تجهیزات و ماشین آلات معدنی و پدیده نشست زمین، انواع مختلف آلودگی می باشند. آلودگی آب از خروج پسابهای معدنی و راهیابی آن به آبهای جاری منطقه و یا نفوذ آن به درون زمین و راه یافتن آن به چشمها و سفره های آبی زیرزمینی ناشی می شود.

چهار شکل مختلف آلودگی در ارتباط با فعالیت‌های معدنی که تأثیر زیادی بر روی کیفیت آب منطقه معدنی دارند، به شرح زیر می باشند:

**۱- پساب اسیدی معدن (AMD) یا پساب اسیدی سنگ<sup>۱</sup> (ARD)**

این پساب ها بعلت اسیدی بودن باعث پایین رفتن pH آب می شوند و در عین حال فلزات را در خود حل کرده و با انتقال فلزات بصورت محلول باعث تجمعات غیر طبیعی آنها در محیط زیست می گردند.

**۲- آلودگی ناشی از فلزات سنگین**

در این حالت سنگ های محتوی فلزات آرسنیک، کبالت، مس، کادمیوم، سرب، نقره و روی پس از استخراج و در تماس با آب و با انجام لیچینگ توسط آب و احلال این فلزات، به منابع آبی منطقه راه می یابند.

**۳- آلودگی حاصل از فرآیندهای شیمیایی**

این نوع آلودگی زمانی رخ می دهد که مواد شیمیایی مانند سیانید یا اسید سولفوریک برای شستشو و لیچینگ ماده معدنی بکار رود.

**۴- فرسایش و رسوبگذاری**

در این حالت بعلت نبودن کنترل کافی، جاده ها و معادن روباز تحت عمل فرسایش قرار می گیرند و مقداری مواد را به دریاچه ها، رودخانه ها و جریان های آبی اطراف وارد می کنند [سین مؤس، ۲۰۰۶].

**۴-۱-۱-۲- تأثیر پساب اسیدی بر حیات آبزیان**

پساب اسیدی دارای اجزای مختلفی است که اثرات متفاوتی بر زندگی آبزیان می گذارد و تفکیک جداگانه این اثرات مشکل می باشد. میزان سمی بودن پساب اسیدی به نرخ جریان، pH، خاصیت اسیدی و

۱- Acid Rock Drainage

تمرکز عناصر غیر محلول بستگی دارد. مهمترین عامل مؤثر pH می باشد. هرچه pH کمتر باشد، تاثیرات خطرناکتری در زندگی آبزیان دارد. البته تاثیرات عمومی پساب اسیدی علاوه بر موارد بالا به نرخ جریان و میزان قلیایی بودن رودخانه دریافت کننده نیز وابسته است. هرچه میزان یونهای کربنات و بی کربنات در رودخانه دریافت کننده بیشتر باشد، ظرفیت خنثی سازی رودخانه بیشتر بوده و محافظت بیشتری از زندگی آبزیان در مقابل اثرات مخرب پساب اسیدی به عمل می آید.

پسابهایی که دارای غلظت بالای فلزات هستند و به آبها و رودخانه هایی با قابلیت خنثی سازی کم وارد می شوند، به احتمال زیاد آبزیان را از بین خواهند برد. بیشتر آبزیان در محدوده ای خاص از pH زنده هستند و خارج از این محدوده جان خود را از دست خواهند داد. pH کم باعث اختلال در موازنی یونهای کلر و سدیم در خون موجودات آبزی می گردد. در pH های کم یونهای هیدروژن درون سلول قرار می گیرند و یونهای سدیم به خارج سلول رانده می شوند و باعث مرگ آبزیان می شوند.

فلزات سنگین خاصیت سمی پساب اسیدی را افزایش می دهند و به عنوان سم متابولیک عمل می کنند. آهن، آلومینیم و منگنز مهمترین فلزاتی هستند که ترکیبات آنها اثرات مخربی را بوجود می آورد. همچنین فلزات دیگری مثل روی، کادمیم و مس که در پساب اسیدی وجود دارند، در مقادیر بسیار کم نیز سمی هستند. آهن در pH های بیشتر از ۳/۵ رسوب می کند. بنابراین تأثیر مخرب آهن بیشتر در pH های پایین بوده که در این حالت زندگی موجودات آبزی به خطر افتاده و نابود می شود

[جدیری، ۱۳۸۵]

### ۲-۱-۴-۲- تأثیر پساب اسیدی بر روی آب زیرزمینی و سطحی

پساب های معدنی شامل یک سیستم آبی ناپایدار هستند که پیوسته تغییر می کنند. ترکیب پساب اسیدی فقط بواسطه منشاء نیست، بلکه مسیری که پساب اسیدی از آن عبور می کند یا سیستمهای خنثی سازی که بر آن اثر می کنند نیز در ترکیب آن مؤثر هستند. در مناطقی که آبهای سطحی و زیرزمینی بوسیله پساب اسیدی آلوده شده باشد، خنثی سازی آب جهت مصارف آشامیدنی و صنعتی بسیار مشکل و پرهزینه است. در اثر پساب اسیدی عوامل زیر در آبهای زیرزمینی تغییر می کنند:

آهن، pH، سولفات، ذرات ریز معلق و منگنز. اگر مقدار آهن از  $1/0$  میلیگرم بر لیتر(با منشاء سولفات) و  $2/0$  میلی گرم (با منشاء کلرید) بیشتر شود، مزه آب را تغییر می دهد. آهن فرو با غلظت  $1/0$  میلیگرم بر لیتر و آهن فریک با غلظت  $2/0$  میلیگرم بر لیتر مزه آب را تغییر می دهد. pH نیز می تواند مزه آب را تغییر دهد. اگر pH آب پایین بیاید، آب ترش مزه می شود. اگر pH خیلی پایین باشد، باکتریهای موثر در خنثی سازی پساب اسیدی از بین خواهند رفت. آبهایی که pH زیر  $7$  دارند دارای خاصیت خوردگی بوده و می توانند بخشهايی از لوله ها و شيرها را که از جنس مس، روی، کادمیم و سرب هستند، بسرعت در خود حل کنند. غلظت بالای سولفات مزه و بوی آب را تغییر می دهد. ذرات جامد معلق در آب آشامیدنی نیز ناخوشایند بوده و مزه آب را تغییر می دهد. در تصویر ۱-۲ اثر پساب اسیدی بر روی آبهای سطحی آورده شده است. همانطور که دیده می شود، تغییر رنگ در آب وجود آلودگی را تأیید می نماید.



شکل ۲-۱- اثر پساب اسیدی بر روی آبهای سطحی [دنسیس<sup>۱</sup>، ۲۰۰۱]

### ۳-۱-۴-۲- مهاجرت<sup>۲</sup>

مهاجرت و جابجایی یونهای فلزی نیز مشکل دیگر ایجاد پساب اسیدی می باشد. با توجه به پایین بودن pH پساب (معمولًاً کمتر از ۳ می باشد)، حلالیت فلزاتی مثل مس، سرب، آرسنیک، جیوه، نیکل و کادمیوم افزایش می یابد. همه این فلزات برای رشد گیاهان و حیات حیوانات مضر می باشند. عوامل مؤثر در رسوب گونه های آهن شامل غلظت آهن، پتانسیل Eh-pH، غلظت آنیونهای کمپلکس کننده (مانند کربنات، سولفات و سولفید) و فشار جزیی  $CO_2$  و  $O_2$  می باشد. برای مثال،  $Fe^{3+}$  حتی در یک pH نسبتاً پایین بسرعت هیدرولیز می شوند و باعث تشکیل هیدروکسید آهن می گردند. بطور مشابه هیدرو اکسید آلومینیوم، در جذب و رسوبگذاری دیگر فلزات نقش مهمی را بازی می کند. در محیط های نسبتاً خشک، سولفاتهای آهن، سولفاتهای فلزات پایه و هیدروکسیدها، تشکیل می شوند. در محیط هایی با غلظت سولفات بالا و pH پایین، جاروسیت<sup>۳</sup> ( $KFe_3(SO_4)_2(OH)_6$ ) تشکیل می شود، در

1- Dennis

2- Migration

3 - Jarosite

حالیکه در pH های بالاتر و غلظتهاهای پایین تر سولفات، رکیباتی مثل گوتیت، اکسیدهای آهن و هیدرو اکسیدها، رسوب می کنند. البته در مسئله مهاجرت یونهای فلزی نقش کانی های خنثی کننده مانند کربناتها، سیلیکاتها و گاهی اوقات اکسیدها از اهمیت ویژه ای برخوردار است. نرخ خنثی سازی کانی های خنثی کننده به  $\text{pH}$ , فشار جزیی  $\text{CO}_2$ , دما، ترکیب و ساختمان کانی شرایط اکسیداسیون احیاء و وجود ناخالصی های در شبکه کانی خنثی ساز بستگی دارد [میشل<sup>۱</sup>، ۲۰۰۰].

فلزاتی که در باطله های معدن وجود دارند با توجه به عوامل زمین شناسی شامل موارد زیر می باشند: آرسنیک، کبالت، مس، کادمیوم، کرومیوم، طلا، آهن، سرب، نقره و روی.

اگرچه غلظت فلزات در مقادیر خیلی کم<sup>۲</sup> برای زندگی ممکن است مهم باشد ولی در غلظت های بالا می تواند حالت سمی پیدا کند. بنابراین انحلال بعضی از آنها در پساب و سپس تجمع پیدا کردن آنها در نقطه ای دیگر از جنبه زیست محیطی بسیار بالاهمیت می باشد.

#### ۲-۴-۲- چگونگی تولید پساب اسیدی معدن

با توجه به آلودگی های زیست محیطی ناشی از تولید پساب اسیدی در معدن و هزینه های زیاد جهت خنثی سازی آن، بررسی شرایط و چگونگی تولید آن اهمیت ویژه ای می یابد که در موارد بعدی به آن پرداخته می شود.

1- Mitchell  
2-Trace

### ۱-۲-۴-۲- منابع و محل های تولید پساب اسیدی

این منابع و محل ها شامل موارد زیر در معادن می باشد:

- ۱- سولفیدهای موجود در گانگ یا کانسنگ های ناشی از عملیات معنکاری و یا سایر عملیات غیر معنی مانند راه سازی و سد سازی، که از حالت برجا و طبیعی خارج می گردند در معرض هوازدگی و اکسیداسیون قرار می گیرند. در معنکاری زیر زمینی نیز مسئله آلودگی می تواند جدی تلقی گردد. متروک شدن این معادن منجر به رها شدن مقادیر زیادی از نمکهای فلزی و سولفیدها می شود که در معرض اکسیژن و رطوبت قرار می گیرند و چون در زیر زمین قرار دارد آب به راحتی به درون آنها جریان پیدا می کند. در مورد معن کاری روباز نواحی خیلی وسیعی از سنگهای محتوی سولفید در معرض هوا و آب قرار می گیرد که همزمان با اکسیداسیون سولفیدها، خرد شدن سنگ های حاوی آنها، سولفیدهای جدیدی را در معرض آب و هوا قرار می دهد که تولید پساب اسیدی را استمرار می بخشد.
- ۲- در محل آسیا کردن و کارخانه فرآوری، با توجه به کاهش ابعاد ذرات در این محل و بالا رفتن فعالیت کانی ها (به علت افزایش سطح) و همچنین استفاده از مواد شیمیایی مختلف (مانند مواد مورد استفاده در فلوتاسیون) که باعث اکسیداسیون مواد می گردد، این نواحی هم از جهت تولید پساب اسیدی اهمیت پیدا می کند.
- ۳- محل دمپ های باطله حاصل از فرآوری<sup>۱</sup> یا باطله<sup>۲</sup> حاصل از عملیات استخراج و معنکاری، که این

1- Tailings  
2- Waste

محل بیشترین امکان را جهت تولید پساب اسیدی دارد و مسئله مدیریت باطله<sup>۱</sup> در این مورد اهمیت بسیار دارد. در مورد دمپهای باطله چون سنگهای باطله درشت هستند (از ۱۰ تا بیش از ۲۰ سانتیمتر)، کپه های سنگ باطله اغلب خیلی نفوذپذیر هستند و اکسیداسیون سولفیدها بسرعت رخ می دهد. دمپ های باطله فرآوری، اغلب حاوی غلظت های بالای سولفیدی می باشد که عمدتاً بشکل پیریت، مارکازیت و پیروتیت می باشند و بسیار ریزتر از سنگ باطله هستند (برای مثال کوچکتر از ۰/۲ میلیمتر) و دارای سطوح ویژه خیلی زیادی است، اما بعلت یک شکل بودن ذرات و اندازه ریز آنها نسبت به سنگهای باطله نفوذپذیری (در ارتباط با نفوذ آب و اکسیژن) آن خیلی کم می باشد. بنابراین میزان تولید پساب اسیدی در باطله های فرآوری نسبت به باطله های معدنی عموماً آرام تر می باشد [میشل، ۲۰۰۰]. در جدول ۳-۲ مقایسه ای بین فاکتورهای مؤثر در تولید اسید در باطله های حاصل از معدنکاری و باطله های فرآوری صورت گرفته که در زیر به آن اشاره شده است.

## زغال و مشکلات زیست محیطی ناشی از باطله های آن

جدول ۲-۳-۲- مقایسه فاکتورهای مؤثر در تولید ARD در باطله های حاصل از معدنکاری و حوضچه های باطله فرآوری [انجمن حمایت از محیط زیست آمریکا(EPA)، ۱۹۹۴]

فاکتورهای موثر در تولید اسید	کپه های سنگ باطله معدنکاری	سد های باطله فرآوری
منبع سولفید	غلظتهای متفاوت از کانی سولفیدی	محتوی سولفید آنها بالا است
اندازه قطعات	بطور متوسط بزرگتر از ۲۰ سانتی متر	۱۰۰ درصد کمتر از ۲۰ سانتی متر
تغییرات pH	با توجه به فاصله، فرق می کند	در سطوح افقی بصورت یکنواخت تغییر می کند
آغاز اکسیداسیون	معمولًا "بلافاصله بعد از جابجاگری سنگ رخ می دهد	معمولًا "بعد از جابجاگری باطله ها و در انتهای عمر معدن شروع می شود
نفوذ اکسیژن	بعثت وجود خلل و فرج نفوذ اکسیژن زیاد است	چون بین ذرات خلل و فرج نیست، نفوذ اکسیژن اندک است
آزاد شدن پساب اسیدی سنگ	میزان نفوذ ARD به آبهای زیرزمینی یا مکانهای اطراف زیاد است	میزان نفوذ ARD به محیطهای اطراف، کم است

## ۲-۴-۲- تشكيل پساب اسیدي و نقش کانی های سولفیدی آهن و بررسی کانی های

## خنثی کننده

تشکيل پساب اسیدي در مورد معادنی مطرح می باشد که بنحوی با کانیهای سولفیدی و بالاخص پیریت ( $FeS_2$ ) در ارتباط هستند و فرقی ندارد که معدن زغالی و یا فلزی باشد. زمانیکه کانی های سولفیدی بعلت انجام عملیات معدنکاری در معرض آب و اکسیژن قرار می گیرند، سولفیدها توسط اکسیژن هوا اکسید می شوند و در تماس با آب باعث ایجاد پساب اسیدی می شوند. در این میان باکتریها نقش تسريع کننده را ایفا می کنند و نرخ واکنش اکسیداسیون را تا چندین ده برابر تسريع می نمایند. رنگ پساب معمولًا قرمز و یا نارنجی رنگ می باشد که علت آن وجود  $Fe(OH)_3$  می باشد. در

واقع رنگ پساب اسیدی ناشی از رسوبات تشکیل شده، می باشد [مک گینس، ۱۹۹۹]. در جدول ۴-۲

تأثیر گذاری عوامل موجود در پساب اسیدی بر خواصی که پساب ها از خود نشان می دهند به اختصار مورد بررسی قرار گرفته است.

جدول ۴-۲- تأثیر عوامل موجود در پساب اسیدی بر خواص پساب [سالمون<sup>۱</sup>، ۲۰۰۱]

عامل	ترکیبات شیمیایی همراه	دامنه تغییرات	تأثیر
اسیدیته	$H_2SO_4$ , $Fe^{+2}$ , $Fe^{+3}$ اکسیدها	۴ تا ۲ pH	متحرک کردن یون های فلزی
آهن	هیدروکسید فریک، چاروسیت	۱۰۰ تا ۳۰۰ میلی گرم در لیتر	ایجاد تغییر رنگ و دادن حالت گل آلودی به آب
فلزات سنگین	Pb, Hg, Cu, Cd, Mg, Zn, As	۱ تا ۲۰۰ میلی گرم در لیتر	سمی شدن اکوسیستم و کاهش دادن کیفیت آب
نمک های محلول	Mg, Al, $SO_4^{2-}$ , $Ca^{+2}$	۱۰۰ تا ۳۰۰۰ میلی گرم در لیتر	کاهش دادن کیفیت آب

بطور کلی تولید پساب های اسیدی و رها سازی آلینده ها به محیط زیست توسط یک معدن، به عوامل و شرایط فیزیکی - شیمیایی متعددی بستگی دارد فرگوسن و اریکسون<sup>۲</sup> عواملی که باعث تولید پساب های اسیدی در معادن می شوند را بر اساس نوع رخداد فرآیند های فیزیکی - شیمیایی به سه عامل طبقه بندی کرده و معتقد هستند که این عوامل در کنترل پساب اسیدی، نقش مهمی دارد [سالمون، ۲۰۰۱]. این عوامل عبارتند از:

۱- فرآیندهایی که باعث تولید اسید می شوند، مانند واکنشهای اکسیداسیون.

1-Salmone

2-Ferguson and Erickson

۲- عواملی که به عنوان کننده های محصولات واکنشهای اکسیداسیون معرفی می شوند

مانند واکنشهای سایر کانی ها با پساب که باعث خنثی سازی پساب اسیدی می شود.

۳- عواملی که به جنبه های فیزیکی مدیریت باطله برمی گردد (مانند دیواره های پیت، کپه های

سنگ باطله، حوضچه های باطله فرآوری) که بر واکنش اکسیداسیون، مهاجرت اسید و

خنثی سازی اسید اثر می گذارد.

عوامل دسته اول که سبب تولید اسید می گردند شامل کانیهای سولفیدی آهن، آب، اکسیژن برای تولید

پساب و یون فریک ( $Fe^{3+}$ ), باکتری جهت تسریع واکنش اکسیداسیون و گرمای تولید شده می باشند.

بعضی کانیهای سولفیدی براحتی اکسید می شوند (برای مثال پیریت، مارکازیت و پیروتیت) و بنابراین

نسبت به دیگر سولفیدهای فلزی اثر مهمتری در تولید پساب اسیدی دارند. کانی های شکل دار<sup>۱</sup> ناحیه

سطحی کوچکتری دارند که در معرض اکسیژن هوا و آب قرار دهند و در نتیجه اکسیداسیون آنها آرام تر

می باشد. از سوی دیگر آب و اکسیژن برای تولید اسید لازم هستند. آب هم یک واکنشگر و هم یک

واسطه برای فرآیند اکسیداسیون (توسط باکتری) است. در ضمن، محصولات اکسیداسیون توسط آن

منتقل می شوند. اکسیژن برای انجام اکسیداسیون لازم است، مخصوصاً برای واکنشهایی که در pH زیر

۳/۵ توسط باکتری تسریع می شوند. باکتریهای مختلف با توجه به میزان pH و شرایط دمایی مختلف در

فرآیند اکسیداسیون نقش دارند. در جدول ۵-۲ برخی از باکتریهای تسریع کننده واکنش اکسیداسیون و

شرایط رشد آنها نشان داده شده است [سالمون، ۲۰۰۱].

۱ - Euhedral

جدول ۵-۲- بعضی از باکتری های تسریع کننده فرآیند اکسیداسیون و شرایط مورد نیاز برای رشد آنها  
[انجمن حمایت از محیط زیست آمریکا (EPA)، ۱۹۹۴]

میکروارگانیسم	pH	دما(درجه سانتیگراد)	هوایی	نحوه تغذیه
<i>Thiobacillus</i>	۴/۵-۱۰	۱۰-۳۷	+	Autotrophic
<i>T.ferrooxidans</i>	۰/۵-۶	۱۵-۲۵	+	"
<i>T.thiooxidans</i>	۰/۵-۶	۱۰-۳۷	+	"
<i>T.neapolitanus</i>	۳-۸/۵	۸-۳۷	+	"
<i>T.denitrificant</i>	۴-۹/۵	۱۰-۳۷	-/+	"
<i>T.intermedius</i>	۱/۹-۷	۲۵-۳۵	+	"
<i>T.perometabolis</i>	۲/۸-۶/۸	۲۵-۳۵	+	"
<i>Sulfolobus acidocalderius</i>	۲-۵	۵۵-۸۵	+	"

عوامل دسته دوم به دو صورت عمل می نمایند: یا خنثی کننده اسید هستند و یا با اضافه کردن

یونهای فلزی محلول، مشخصه پساب خروجی را تغییر می دهند. مهم ترین کانیهای خنثی کننده اسید،

کلسیت، دولومیت، آنکریت ( $\text{Ca}(\text{Fe},\text{Mg})(\text{CO}_3)_2$ ), سیدریت منگنزدار ( $(\text{Fe},\text{Mn})\text{CO}_3$ ) و سیدریت

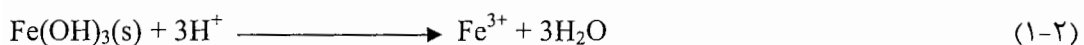
$(\text{FeCO}_3)$  می باشد. کلسیت بیشترین قابلیت خنثی سازی را دارد. این کانی ها در واکنش با اسید حاصل

از اکسیداسیون سولفیدها، باعث خنثی شدن حالت اسیدی پساب و ایجاد رسوبات مختلف و حتی تغییر

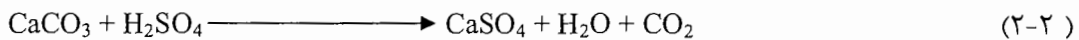
رنگ پساب می گردند. محصولات واکنش اکسیداسیون (یونهای هیدروژن، یونهای فلزی و غیره)

می توانند با دیگر کانیها که خنثی کننده نیستند، هم واکنش دهند. این واکنش ها شامل تبادل یونی<sup>۱</sup> در ذرات رس، رسوب گذاری ژیپس و انحلال سایر کانی ها می باشند [میلز<sup>۲</sup>، ۲۰۰۲]. در زیر برخی از واکنشهای کانی های مختلف خنثی کننده با اسید آمده است.

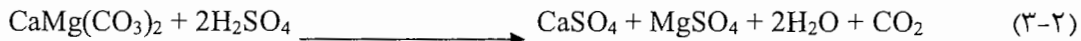
#### ۱- واکنش هیدروکسید آهن با اسید



#### ۲- واکنش کلسیت با اسید



#### ۳- واکنش دولومیت با اسید



انحلال کانی ها باعث آلوده شدن پساب اسیدی به فلزاتی مانند آلومینیوم، منگنز، مس، سرب و روی می گردد [میلز، ۲۰۰۲].

عوامل دسته سوم که بر روی پساب اسیدی اثر می گذارد، مشخصات فیزیکی مواد، چگونگی تولید اسید، مشخصات باطله و رژیم هیدرولوژی منطقه می باشد. مشخصات فیزیکی مواد مثل اندازه ذرات، نفوذپذیری و مشخصات فیزیکی هوازدگی، در پتانسیل تولید اسید با اهمیت هستند. اندازه ذرات بدین جهت خیلی مهم است که بر میزان سطحی که در معرض هوازدگی و اکسیداسیون قرار می گیرد،

1 - Ion – exchange reaction  
2- Mills

اثر می گذارند.

### ۴-۲-۳-۲-۴-۲- اکسیداسیون کانی های سولفیدی فلزی و فرآیند های شیمیایی تولید کننده

#### پساب اسیدی

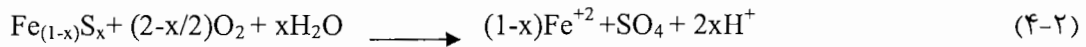
اکسیداسیون کانی های سولفید فلزی که با سنگ میزبان همراه می باشند، موجب تولید اسید در مناطقمعدنی می گردد. اکسیداسیون کانی ها و تولید اسید سولفوریک، قبل از متأثر شدن از فعالیت معدنی، تابعی از فرآیندهای طبیعی هوازدگی می باشد. عملیات استخراج و فرآوری نرخ واکنشهای شیمیایی را افزایش می دهد که علت آن قرار گرفتن مواد سولفیدی در مجاورت هوا، آب و افزایش سطح ویژه آن کانیها می باشد. فرآیند اکسیداسیون، شامل چندین واکنش است که هر کانی سولفیدی نرخ اکسیداسیون مربوط به خود را دارد. برای مثال مارکاسیت و پیریت فرامبوئیدال سریعاً اکسید می گردد، در حالی که پیریت کریستالی به آرامی اکسید می شود. در جدول ۶-۲ لیستی از کانیهای سولفید فلزی ارائه شده است [انجمن حمایت از محیط زیست آمریکا (EPA)، ۱۹۹۴].

جدول ۲-۶- بعضی کانی های سولفید فلزی که می توانند پساب اسید را ایجاد نمایند  
[انجمن حمایت از محیط زیست آمریکا (EPA)، ۱۹۹۴]

کانی	ترکیب
پیریت	$\text{FeS}_2$
مارکازیت	$\text{FeS}_2$
کالکوپیریت	$\text{CuFeS}_2$
کالکوسیت	$\text{Cu}_2\text{S}$
اسفالریت	$\text{ZnS}$
گالن	$\text{PbS}$
میلریت	$\text{NiS}$
پیروتیت	$\text{Fe}_{1-x}\text{S}$
آرسنوبیریت	$\text{FeAsS}$
سینابر	$\text{HgS}$

کانی های سولفیدی مهم در امر تولید پساب اسیدی، پیریت ( $\text{FeS}_2$ )، مارکاسیت ( $\text{FeS}_2$ ) و پیروتیت ( $\text{FeS}_{1-x}$ ) می باشند. مارکاسیت شکل اورتورومبیک پیریت می باشد که فرمولی مشابه با پیریت دارد ولی نرخ تولید اسید و اکسیداسیون آن نسبت به پیریت سریع تر است که این امر مربوط به مورفولوزی گرد شده این کانی و اندازه ابعادی کوچک آن می باشد، نرخ اکسیداسیون اولیه پیروتیت ۲۰ تا ۱۰۰ برابر بیشتر از پیریت است و استیکیومتری پیروتیت تاثیر نسبی بر تولید اسید دارد. در فرمول پیروتیت مقدار  $x$  بین صفر تا ۰/۲۵ می باشد، زمانی که مقدار  $x$  صفر است یعنی فرمول پیروتیت ( $\text{FeS}$ ) می باشد، اسید تولید نمی شود [کتاب جامع پاکسازی و تعیین مشخصه مناطقمعدنی متروک، ۲۰۰۱]. اگر کانی مورد نظر پیروتیت باشد طبق رابطه ۴-۲ در فرآیند اکسیداسیون و تولید اسید

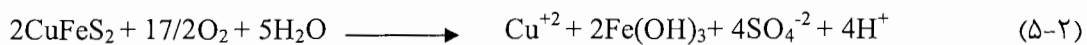
حاصل از پساب ها شرکت می کند.



کانی های کالکوپیریت و مولیبدنیت، مقاوم ترین کانیهای سولفیدی در مقابل اکسیداسیون می باشند.

البته اکسیداسیون کالکوپیریت، اسید تولید نمی کند و اکسیداسیون آهن دو ظرفیتی و هیدرولیز

هیدراتهای آهن سه ظرفیتی در ادامه منجر به تولید اسید خواهد شد.



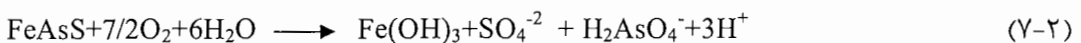
اکسیداسیون کالکوپیریت



در فرآیند اکسیداسیون آرسنوبیریت اگر آهن سه ظرفیتی اکسید کننده باشد، نرخ اکسیداسیون مانند

نرخ اکسیداسیون پیریت می شود و اگر اکسیژن اکسید کننده باشد، نرخ اکسیداسیون آرسنوبیریت تا

اندازه ای کمتر از پیریت است [کلینمن<sup>۱</sup>، ۲۰۰۱].



اکسیداسیون آرسنوبیریت



در جدول ۷-۲ کانی های سولفیدی و تعداد مولهای  $\text{H}^+$  آورده شده است.

1- Kleinmann

جدول ۷-۲- لیست کانی های سولفیدی و تعداد مولهای  $H^+$  حاصل از اکسیداسیون آنها [برهارد، ۲۰۰۰]

کانی	ترکیب	تعداد مولهای $H^+$ بر مول کانی
پیریت	$FeS_2$	۴
مارکازیت	$FeS_2$	۴
کالکوپیریت	$CuFeS_2$	۲
اسفالریت	$ZnS$	-
گالن	$PbS$	-
میلریت	$NiS$	-
پیروتیت	$Fe_{1-x} S$	۰ تا ۲
آرسنوبیریت	$FeAsS$	۲

اکسیداسیون پیریت و مارکاسیت شامل واکنش ها و فرآیندهایی می باشند که در ذیل مورد بررسی قرار می گیرند.



در واکنش بالا که بیانگر اکسیداسیون پیریت می باشد، به ازاء هر مول پیریت، دو مول اسید تولید

می شود. یون  $S_2^{2-}$  به یونهای هیدروژن و سولفات اکسید می شود. برای ادامه واکنش اکسیژن مصرف

شده باید جایگزین شود که گاهی این اکسیژن از آبهای سطحی یا زیرزمینی تأمین می شود. البته گاهی

یون فریک  $Fe^{3+}$  نقش اکسید کننده را بازی می کند و کانی پیریت را طبق واکنش زیر اکسید می کند:



این واکنش نسبت به واکنش اکسید شدن پیریت توسط اکسیژن، اسید بیشتری تولید می کند.

یون فریک  $\text{Fe}^{3+}$  از واکنش زیر حاصل شده است:



در اینجا یون آهن دو ظرفیتی ( $\text{Fe}^{2+}$ ) حاصل از اکسیداسیون پیریت توسط اکسیژن، بوسیله اکسیداسیون

مجدد به  $\text{Fe}^{3+}$  تبدیل می شود. این واکنش بوسیله باکتری تسریع می شود [میشل، ۲۰۰۰].

اکسیداسیون پیریت توسط یون  $\text{Fe}^{3+}$  در شرایط عادی به آرامی انجام می گیرد، اما در حضور باکتریهای

اکسید کننده یون  $\text{Fe}^{2+}$ ، بویژه باکتری *تیوباسیلیوس فرواکسیدان*<sup>۱</sup> (که یون  $\text{Fe}^{2+}$  را به  $\text{Fe}^{3+}$  اکسید

می کند)، نرخ واکنش اکسیداسیون ۵ تا ۲۰ برابر افزایش می یابد [میشل، ۲۰۰۰]. بهترین دما و pH

برای فعالیت باکتری *تیوباسیلیوس فرواکسیدان*، دمای حدود ۳۰ درجه سانتیگراد و pH حدود ۳/۲

می باشد. مشخصات باکتری *تیوباسیلیوس فرواکسیدان* به قرار زیر است:

۱- هوازی است

۲- لیتوتروپیک است (یعنی انرژی مورد نیاز خود را با اکسیداسیون یک ماده غیر ارگانیکی که در این

حالت  $\text{Fe}^{2+}$  می باشد، به دست می آورد).

۳- اتوتروپیک است (یعنی  $\text{CO}_2$  را به عنوان منبع کربن استفاده می کند).

۴- در pH کمتر از ۳/۵ رشد می نماید.

۱-*Thiobacillus Ferrooxidans*

فرآیند شیمیایی بعدی رسوب‌گذاری هیدروکسید فریک موسوم به پسرزرد<sup>۱</sup> طبق واکنش زیر می باشد [میشل، ۲۰۰۰]:



در اینجا به ازاء رسوب یک مول هیدروکسید، سه مول اسید تولید می شود.  $\text{Fe(OH)}_3$  آمورفی شکل و به رنگ زرد، نارنجی و قرمز می باشد.

آخرین فرآیند، بی آب شدن هیدروکسید فریک می باشد.



مشخصات انجام این واکنش ایجاد پوشش اکسید آهن نارنجی رنگ یا لجن نارنجی رنگ می باشد [میشل، ۲۰۰۰].

نرخ انجام واکنش اکسیداسیون پیریت توسط اکسیژن به صورت زیر می باشد<sup>۲</sup> [گزارش تکنیکی دفن باطله های فراوری زیردریا، ۲۰۰۳]:



که در رابطه بالا:

$m$ : جرم سنگ باطله یا ماده مورد نظر به گرم

$K(T)$ : ثابت نرخ واکنش

1-Yellow boy

2 - Submarine tailing disposal

T: دما

$$(m^2/g^2) A_{s,pyr}$$

این رابطه نشان می دهد، نرخ واکنش با غلظت اکسیژن رابطه مستقیم و با سطح مواد رابطه عکس دارد.

$O_2$  و  $Fe^{3+}$  در اکسیداسیون پیریت نقش واسطه را دارند. واکنشهای انجام شده در سطح پیریت، با توجه

به سطح ذرات کنترل می شوند. طبق قانون Herin، رابطه بین نرخ اکسیداسیون پیریت و غلظت اکسیژن

بصورت زیر می باشد [گزارش تکنیکی دفن باطله های فرآوری زیردریا، ۲۰۰۳]:

:

$$Rate = 10^{-6.77} [O_2]^{0.5} \quad (15-2)$$

نرخ اکسیداسیون پیریت در غیاب اکسیژن و توسط یون فریک بصورت زیر می باشد [گزارش تکنیکی -

دفن باطله های فرآوری زیردریا، ۲۰۰۳]:

$$Rate = 10^{-9.74} \frac{[Fe^{3+}]^{0.5}}{[H^+]^{0.5}} \quad (16-2)$$

که  $[Fe^{3+}]$  و  $[H^+]$  بصورت غلظت مولی می باشند. نرخ اکسیداسیون به مقدار زیاد به غلظت

$Fe^{3+}$  نسبت به  $O_2$ ، پیریت را سریعتر اکسید می کند، زیرا بطور شیمیایی به سطح پیریت

می پیوندد. در غیاب باکتری، نرخ اکسیداسیون پیریت با افزایش غلظت  $CO_3^{2-}$ ، افزایش می یابد، زیرا

تشکیل کمپلکس بی کربنات آهن بر روی سطح پیریت موجب اکسیداسیون سریع  $Fe^{2+}$  می شود

[سالمون، ۲۰۰۱]

مسئله مهم در مدیریت باطله جلوگیری از انجام واکنشهای اکسیداسیون مجدد می باشد. واکنش مجدد پیریت به کانی شناسی کانسنگ وابسته می باشد که آنهم به اثرات ناشی از وجود ناخالصی های سولفیدی همراه پیریت، بر می گردد. وجود سولفیدهای دیگر در تماس با پیریت، در شروع فرآیند هوازدگی، مهمترین پارامتری است که بر فعالیت مجدد پیریت اثر می گذارد. کمی ناخالصی های همراه با پیریت معمولاً، باعث افزایش فعالیت مجدد پیریت می شود. پیریت به این علت که بیشترین میزان ناخالصی را دارد، کمترین فعالیت مجدد را دارا می باشد [کروز<sup>۱</sup> و همکاران، ۲۰۰۰].

## فصل سوم

موقعيت حفاری‌ایلی، زمین‌شناسی منطقه و مشاهدات صحرائی

### ۱-۳- موقعیت جغرافیایی منطقه

منطقه زغالی البرز شرقی بخش از ناحیه البرز است که حدفاصل بین جاده‌های سمنان- ساری و شاهرود - آزاد شهر را در بر می‌گیرد و دارای دو حوضه زغالی مهم شاهرود- دامغان و قشلاق می‌باشد. فاصله این محدوده از جاده اصلی تهران - مشهد در حدود ۴۵ کیلومتر است. محدوده البرز شرقی دارای چهار بخش اصلی زغالی کلاریز، پشکلات، رزمجا و ممدویه است که در شمال منطقه مهماندوست قرار دارند. مهماندوست و طزره نزدیکترین روستاهای به این مناطق زغالی هستند. مهماندوست پایگاه صنعتی البرزشرقی بوده که تعمیرگاه، انبار و نیروگاه اصلی برق مجتمع البرزشرقی در آن قرار دارد. مهماندوست در ۱۰ کیلومتری جنوب شرقی منطقه زغالی رزمجا واقع شده است. کارخانه زغالشوئی البرزشرقی در مسیر روستای مهماندوست - طزره، بعد از روستای مهماندوست و در حدود ۱۱ کیلومتری منطقه رزمجا قرار دارد. شکل ۱-۳ نقشه موقعیت منطقه مورد مطالعه و راههای دسترسی به منطقه را نشان می‌دهد.

شکل ۲-۳ نیز کروکی منطقه و موقعیت آنرا نسبت به جاده اصلی شاهرود به دامغان را نشان می‌دهد (بدون مقیاس). در شکل ۳-۳ نیز وضعیت مورفولوژی محدوده مورد مطالعه، کارخانه زغالشویی،

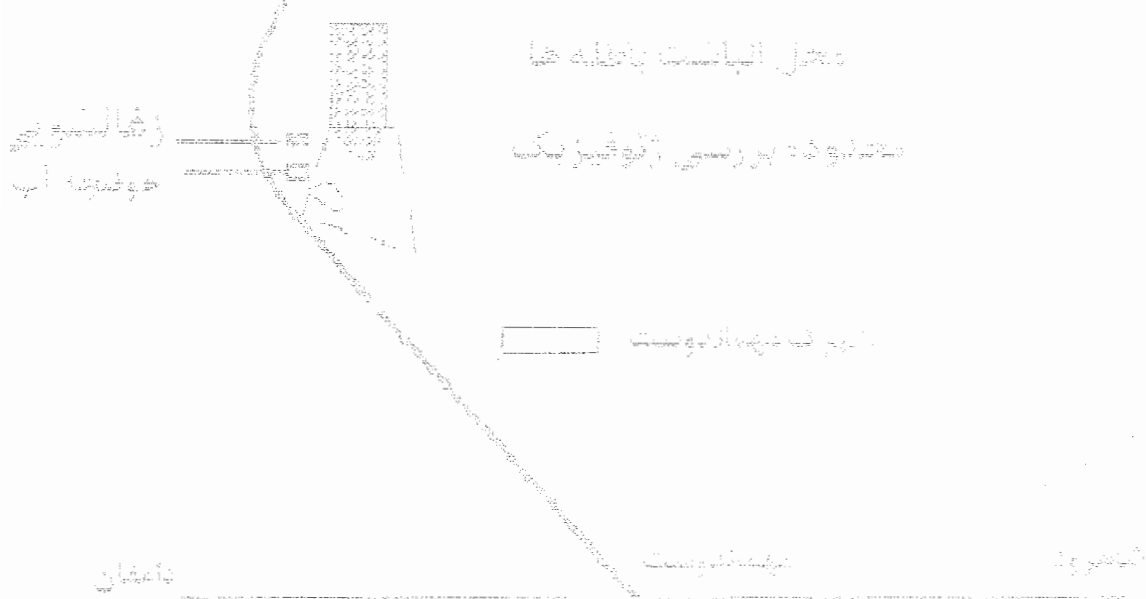
دپوی باطله و پروفیل های ژئوفیزیک که در عکس ماهواره ای منطقه مشخص شده اند را نشان می دهد. این منطقه دارای آب و هوای کوهستانی و حداکثر ارتفاع ۲۶۰۰ متر است که دارای زمستانی سرد و تابستانی معتدل و گرم است. متوسط بارندگی در ۱۰ سال گذشته ۲۵۳ میلیمتر بوده است [سالنامه آماری اداره هواشناسی، ۱۳۸۵].

### ۲-۳ تاریخچه اکتشاف زغال در منطقه

مطالعات پی جویی رسوبات زغالدار در منطقه سال ۱۳۴۹ شروع شد و اکتشاف تفضیلی در سال ۱۳۵۵ به اتمام رسید. عملیات بهره برداری برای اولین بار در سال ۱۳۵۱ در منطقه پشكلات از تونل ۶ روی لایه  $P_{10}$  آغاز گردید و در سال ۱۳۵۳ پروژه استخراج از تونل بزرگ انجام شد. رسوبات زغالی مربوط به دوره تریاس بالایی و ژوراسیک پایینی می باشند و این سری رسوبات بین دو طبقه آهکی دولومیتی الیکا در قسمت تحتانی و آهکهای ضخیم لار در قسمت فوقانی قرار گرفته است. سنگهایی که در این رسوبات یافت می شود شامل دولومیت، آهکهای تریاس و ژوراسیک فوقانی و سری گچ دار که در نزدیکی دره رزمجا دیده می شود [اکتشاف تفضیلی رزمجا، ۱۳۶۰].



نمایش داده نمی‌شوند



نمایش داده نمی‌شوند



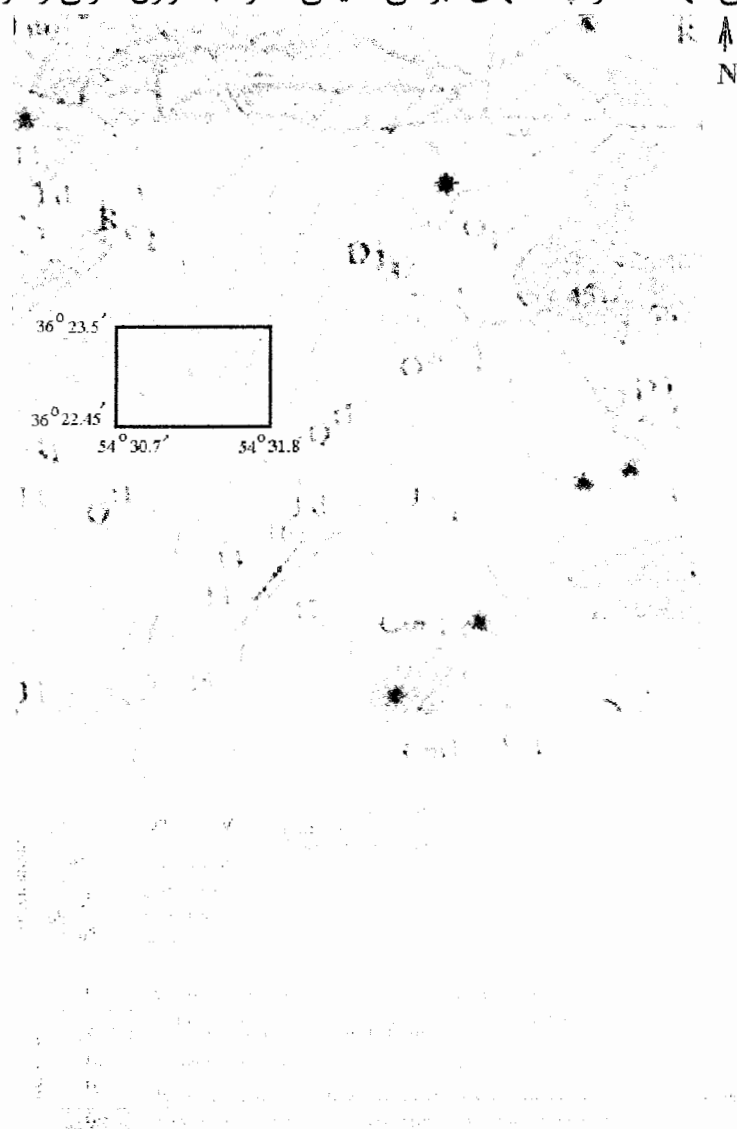
شکل ۳-۳- عکس ماهواره ای منطقه مطالعه که در آن دپوی زغال و پروفیل های زئوفیزیک مشخص شده است [از سازمان فضایی ایران، ۱۳۸۵].

## ۳-۳-زمین شناسی منطقه

از نظر موقعیت زمین شناسی منطقه زغال خیز طرره در نقشه زمین شناسی ۱/۱۰۰۰۰۰ شاهروд

قرار می گیرد. سنگهای رخنمون یافته در منطقه شامل ماسه سنگ و شیلهای زغال دار مربوط به سازند

شممشک، رسوبات آبرفتی عهد حاضر، پادگانهای آبرفتی قدیمی همراه با گراول مارنی و کوارتز می باشند.



شکل ۳-۴-بخشی از نقشه زمین شناسی شاهرود با مقیاس ۱:۱۰۰۰۰۰، ناحیه محدوده مورد مطالعه بصورت کادر مستطیلی مشخص شده است [سازمان زمین شناسی، ۱۳۸۰]

شکل ۴-۳ نقشه زمین شناسی منطقه را نشان می دهد. مهمترین و فراوان ترین ماده معدنی منطقه زغال سنگ می باشد که در تنابهای شیلی سازند شمشک در سرتاسر منطقه بصورت رگه ها و عدسیهای گسترش دارد. این زغالسنگ ها از انواع چرب و کک شو بوده که توسط شرکت زغالسنگ البرز شرقی مورد بهره برداری قرار می گیرد.

#### ۴-۳- تکتونیک منطقه

مجتمع زغالدار طزره قسمت جنوبی یال ناویدیس میاناب را تشکیل می دهد و منطقه رزمجا در قسمت مرکزی این مجتمع قرار گرفته است. ساختمان کلی مجتمع زغالدار طزره به صورت منوکلینال می باشد. شب رسبات در شمال و شمال شرقی از ۲۰-۲۵ درجه و گاهی به ۵۵ درجه افزایش می یابد. جهت شب طبقات از ۳۴۰ درجه در غرب منطقه تا ۲۰ درجه در شرق منطقه تغییر می کند. ساختمان منطقه در اکثر جاهای اثر عملکرد گسلهای متعدد خرد شده و بصورت فرسایش یافته مشاهده می گردد و جابجایی این گسلها متغیر بوده و از ۱ تا دهها متر تغییر می نماید.

بطور کلی نیروها و فشارهای تکتونیکی چین خوردگیهای اصلی و عوارض بسیار دیگری از جمله چین های فرعی، گسلها و درزه هایی در این منطقه ایجاد نموده اند و همچنین در کنار این اتفاقات این روراندگی ها و فروریختگیهای زیادی در لایه های سست و لغزنه ایجاد شده است.

در این منطقه اکثر گسلها نرمال بوده و همچنین چند گسل رورانده در ضمن مرحله بوجود آمدن گسلهای نرمال در یک زون گسلی قابل مشاهده است ولی میزان جابجایی آن کم است. در منطقه ۱۸

گسل اصلی با جابجایی و شکستگی زیاد قابل مشاهده می باشد [اکتشاف تفضیلی رزمجا، ۱۳۶۰].

### ۳-۵- کارخانه زغالشویی البرزشرقی

کارخانه زغالشویی البرز شرقی دارای قدمتی در حدود ۳۰ سال می باشد. کارخانه زغالشویی در مسیر جاده مهماندوست - دامغان و در حدود ۱۱ کیلومتری منطقه رزمجا قرار دارد. فرآیند مورد استفاده در این کارخانه، تغليظ زغال‌های استخراج شده از معدن زغال طزره، قشلاق و در واقع البرزشرقی و حتی در برخی موارد معدن زغال طبس می باشد. این کارخانه سوخت مورد نیاز کارخانه ذوب آهن اصفهان را تأمین می کند. خوراک ورودی کارخانه در حدود ۶۰۰ هزار تن در سال می باشد و بازیابی میزان زغال در آن حدود ۵۰ درصد است، یعنی چیزی در حدود نیمی از خوراک ورودی که حدود ۳۰۰ هزار تن می باشد شسته شده و بقیه خوراک به باطله تبدیل می شود [آرشیو البرز شرقی، ۱۳۸۵]. این خوراک قبل از ورود به کارخانه، بایستی توسط آزمایشگاه کیفیت زغال مورد بررسی قرار گرفته تا پس از تأیید و در زمان مناسب به کارخانه فرستاده شود. البته قبل از ورود به کارخانه در محوطه آن دپو می گردد، تا در زمان مناسب به کارخانه فرستاده شود. در کارخانه زغالشویی هیچگونه خردایشی برروی زغال انجام نمی شود، بلکه زغال‌های ورودی دسته بندی شده و وارد جیگ می شود. پس از ورود خوراک به درون جیگ، زغال درشت تا ابعاد ۱۰ میلیمتر از باطله جدا شده و باطله‌های درشت توسط الواتور به بیرون کارخانه حمل شده و سپس توسط کامیون‌های در نظر گرفته شده برای انباشت منتقل می گرددند. بخش زیر ۱ میلیمتر (اسلامی جیگ ماشین) به کلاسیفایر منتقل شده، دانه بندی گشته و سپس فلوتاسیون می شود.

در تانک‌های آماده سازی فلوتاسیون، مواد بوسیله روغن کاج و گازوئیل آماده سازی شده و پس از آن وارد سلول‌های فلوتاسیون می‌گردد. در سلول‌های فلوتاسیون زغال دانه ریز از خاکستر جدا شده و باطله پس از آبگیری در تیکنر بوسیله کانالهایی به سد باطله فرستاده می‌شود.

بنابراین فرآیند مورد استفاده شده در کارخانه دو نوع باطله‌های تولید می‌شود:

۱- باطله تولید شده از جیگ ماشین

۲- باطله‌های تولید شده از فرآیند فلوتاسیون

همانطور که اشاره شد بازیابی زغال، ۵۰ درصد می‌باشد، یعنی در حدود نیمی از خوراک ایجاد باطله می‌کند که از این مقدار باطله تولید شده ۸۰ درصد مربوط به جیگ ماشین و ۲۰ درصد مربوط به فلوتاسیون می‌باشد. با توجه به مدت زمان طولانی از انجام فعالیت کارخانه زغالشویی طرزه در حدود ۳ میلیون باطله در اطراف کارخانه انباشت شده است [آرشیو البرز شرقی، ۱۳۸۵].

باید توجه کرد که جیگ با روش ثقلی کار تغليظ زغال را انجام می‌دهد. البته به علت اینکه معمولاً زغال دارای چگالی پایینی نسبت به مواد بی ارزش همراه (باطله) است، از این رو موادی با چگالی

بالاتر همانند پیریت با چگالی ۵۴۰۰ کیلوگرم بر متر مکعب به جیگ وارد می‌شوند. از طرفی به دلیل اینکه سختی پیریت در مقایسه با کانیهای موجود در باطله بیشتر است و به سبب عدم وجود سیستم خردایش در کارخانه، ابعاد باطله‌های پیریت درشت‌تر بوده و بخش اعظم آن در باطله جیگ قرار می‌گیرد.

### ۳-۶- مشاهدات صحرایی

همانطور که در فصل قبل اشاره شد، مهمترین آلودگی زغال ایجاد پساب اسیدی می‌باشد. اثرات زیست محیطی پساب اسیدی ناشی از زغال به گونه‌ای است که اغلب به صورت بصری قابل درک و مشاهده است. به همین دلیل در مطالعات پیش‌بینی و بررسی قابلیت تولید پساب اسیدی، مشاهدات صحرایی یکی از پارامترهای مهم به شمار می‌رود. در صورتی که معدن بدون پیش‌بینی قابلیت تولید پساب اسیدی ایجاد شده باشد و اکنون تصمیم به انجام مطالعات پیش‌بینی، جلوگیری و یا کنترل پساب اسیدی اتخاذ گردد، بازدید از منطقه و ثبت مشاهدات یکی از بهترین راههای بررسی قابلیت تولید پساب اسیدی و اثرات آن در طول زمان است. از آنجا که حدود ۳۰ سال از افتتاح اولین معدن و همچنین کارخانه زغالشویی البرزشرقی می‌گذرد، بدیهی است که در صورت وجود پساب اسیدی، اثرات تشکیل آن بایستی قابل مشاهده و شناسایی باشد. شکل در حقیقت از مطالعات صحرایی به عنوان مقدمه‌ای جهت شناسایی منابع آلودگی، ثبت اثرات احتمالی و در نهایت نمونه برداری صحیح و برداشت‌های ژئوفیزیکی پس از تشخیص منابع آلودگی استفاده شده است.

### ۳-۷- نوع، محل انباشت باطله‌ها در کارخانه زغالشویی البرزشرقی

همانطور که اشاره گردید دو نوع باطله در اطراف کارخانه شناسایی شده است:

۱- باطله‌های جیگ ماشین

۲- باطله‌های فلوتاسیون

باطله ها در ۵ منطقه اصلی در اطراف کارخانه زغالشویی انباشت شده اند. باطله های انباشت شده، هر کدام مربوط به نوع و قدمت خاصی هستند. در جدول ۱-۳ محل، نوع و مدت زمان انباشت آورده شده است.

جدول ۱-۳ - محل، نوع و مدت زمان انباشت باطله ها در کارخانه زغالشویی البرزشرقی

[اصلاح شده از سهرابی و همکاران، ۱۳۸۳]

موقعیت انباشت نسبت به کارخانه	زمان انباشت(سال)	نوع باطله
شمال شرقی	۰ تا ۲	جیگ جدید
شمال شرقی	۰ تا ۱۰	جیگ قدیمی
سد باطله فلوتاسیون	۰ تا ۲	فلوتاسیون
جنوب شرقی	۴ تا ۱۰	فلوتاسیون با عمر متوسط
جنوب غربی	بیشتر از ۱۰	فلوتاسیون قدیمی

### ۸-۳- روش انباشت باطله ها

روش انباشت باطله ها در احتمال تولید اسید آنها موثر می باشد. در حقیقت روش انباشت، میزان

دستری ب رطوبت و اکسیژن که عوامل اصلی جهت تشکیل پساب اسیدی هستند را تحت تأثیر قرار می دهند.

### ۳-۸-۱- نحوه انباشت باطله های جیگ ماشین

در منطقه البرزشرقی باطله های جیگ پس از خروج از کارخانه توسط کامیون ها به محل دپو

حمل و به صورت کپه هایی انباشته می شوند. پس از زیاد شدن و تجمع کپه ها و کاهش رطوبت، باطله ها بوسیله بلدوزر پخش و سپس به کمک گریدر مسطح می شوند و دوباره باطله های جدید با همان شیوه

قبلی روی آنها انباشت می شود. در محل انباشت باطله ای جیگ هیچ گیاهی رشد نکرده است و منطقه عاری از پوشش گیاهی است. البته لازم به ذکر است که در نزدیکی مکان انباشت باطله های قدیمی جیگ درخت دیده می شود. همانطور که ذکر شد، وجود کانی های سولفیدی پیریت مهمترین عامل تولید اسید است و غالباً به دلیل چگالی زیاد در باطله های جیگ قرار می گیرد. به همین سبب پیریت هایی به رنگ برنجی در چنین باطله هایی مشاهده شد. شکل ۳-۵ محل قرارگیری دپوی باطله های قدیمی جیگ ماشین را نشان می دهد. در شکل ۳-۶ نمایی از کپه های باطله جدید جیگ ماشین نشان داده شده است.



شکل ۳-۵- نمایی از محل انباشت باطله های قدیمی جیگ ماشین



شکل ۳-۶- نمایی از کپه های انباشت باطله جدید جیگ ماشین

### ۳-۸-۲- نحوه انباشت باطله های فلوتاسیون

باطله های فلوتاسیون ابتدا بوسیله کاناهایی از کارخانه به سد باطله ای که در جنوب کارخانه احداث شده، منتقل می گردد. در این منطقه دو سد باطله وجود دارد که همواره یکی فعال و دیگری در حال خشک اندازی و سپس تخلیه است. نکته قابل ذکر این است که سد های باطله در محل های انباشت باطله دارای زیر سازی نمی باشند و به راحتی می توانند آب زیر زمینی را آلوده کنند. حجم هر یک از سد ها در حدود ۱۰۰ هزار تن است [آرشیو البرز شرقی، ۱۳۸۵]. البته سد شماره ۱ کمی از سد شماره ۲ بزرگتر است. همانگونه که ذکر شد پس از پر شدن سد ۱ جریان پالپ باطله به سد ۲ هدایت و سد باطله پرشده، خشک اندازی می گردد. پس از گذشت چندین ماه و کاهش رطوبت باطله های سد، این باطله ها بوسیله کامیون به محل های انباشت دائمی که در شرق و جنوب شرقی کارخانه قرار دارند، منتقل می گردند.

در محل انباشت باطله های فلوتاسیون گیاه رشد نموده که به نظر می رسد حاکی از آلودگی کمتر خاک در آن محل باشد. شکل ۷-۳ تصویری از رویش گیاهان را در اطراف سد فلوتاسیون نشان می دهد. آب مورد استفاده در فرآیند کارخانه و آب موجود در سد باطله تنها آب های قابل مشاهده منطقه هستند.  $pH$  آب در ورود به کارخانه و آب سد باطله فلوتاسیون خنثی می باشند [اداره آبهای زیرزمینی - دامغان، ۱۳۸۵]، در نتیجه نرخ نفوذ اکسیژن در این باطله ها کمتر بوده که این امر به نوبه خود سرعت اکسیداسیون پیریت و نرخ تولید اسید کمتری را به همراه خواهد داشت.



شکل ۷-۳- نمایی از رویش گیاهان در اطراف انباشت باطله های فلوتاسیون

### ۹-۳- انتخاب محل انباشت باطله مورد نظر

با توجه به بازدید صحرایی از محل و همچنین جمع آوری اطلاعات موجود و از آنجایی که در آزمایشات اولیه دپوی جیگ قدیمی به عنوان مولد تولید پساب اسیدی شناخته شده است

# فصل چهارم

مطالعات ژئوفیزیکی در اکتشاف آبودگی

باطله ها

**۱-۴- مقدمه**

در این فصل به بررسی مشکلات ناشی از آبودگی‌های باطله‌های فرآوری زغال طزره با استفاده از روش‌های ژئوفیزیک پرداخته می‌شود. به دلیل سرعت و کارآیی بالا ابتدا با استفاده از روش<sup>۱</sup> VLF زونهای آبوده ناشی از باطله‌ها در منطقه مورد بررسی شناسایی گردید و سپس در مرحله بعد با استفاده از نتایج به دست آمده از مرحله قبل موقعیت پروفیل‌های ژئوالکتریک مشخص شدند تا با بکارگیری روش ژئوالکتریک در مراحل زمانی مختلف نحوه گسترش جانبی و عمقی زونهای آبوده مشخص شود.

**۲-۴- روش VLF**

روش VLF یکی از انواع روش‌های الکترومغناطیسی<sup>۲</sup> است. امواج به کار برده شده در این روش دارای فرکانس بیشتری نسبت به سایر روش‌های ژئوفیزیکی می‌باشد، که امکان انجام برداشت‌های EM را بدون استفاده از فرستنده‌های محلی فراهم می‌نماید. در این روش از فرستنده‌های رادیویی که برای مصارف نظامی تحت فرکانس‌های با باند ۲۵-۵ کیلو هرتز، که در سراسر جهان پراکنده‌اند، استفاده

---

1- Very low frequency  
2 - Electromagnetic (EM)

می شود [تلفورد و همکاران، ۱۹۹۸]. گیرنده‌های این روش زاویه شبیب، فاز یا مؤلفه‌های حقیقی و مجازی میدان‌های ثانویه القاء شده از امواج رادیویی، در اثر رسانه‌های زیرزمینی را ثبت می کنند. با وجود پاره‌ای از محدودیت‌ها، روش VLF به علت آسان، سریع و کم هزینه بودن، کاربرد وسیعی برای اکتشاف کانسارهای فلزی و آب‌های زیرزمینی و به تازگی شناسایی آلودگی‌های زیست محیطی پیدا کرده است و اطلاعات مفیدی از موارد فوق را می توان به کمک این روش به دست آورد [میلسون، ۲۰۰۲].

#### ۴-۲-۱- اساس اندازه گیری با استفاده از روش الکترومغناطیس

میدان الکترومغناطیسی در برخورد با یک زون که قابلیت هدایت الکتریکی را دارد، تغییر فاز می دهد و به عنوان یک چشم میدان ثانویه عمل می کند که در مقایسه با میدان اولیه دارای همان فرکانس ولی با فاز متفاوت می باشد. در چنین مواردی با یک گیرنده میدان‌های اولیه و ثانویه ثبت می گردد و با توجه به اختلاف فاز و دامنه این دو میدان می توان به وجود میدان ثانویه و در نتیجه وجود یک زون هادی پی برد.

#### ۴-۲-۱-۱- روابط فاز و دامنه

اگر جریان متناوبی با فرکانس  $f$  و شدت  $I_p$  در اثر عبور از سیم پیچ فرستنده یک میدان مغناطیسی اولیه ( $H_p$ ) ایجاد کند، این میدان با  $I_p$  متناسب و هم فاز بوده و رابطه زیر بین آنها برقرار می باشد:

$$H_p = K I_p \sin(\omega t) \quad (1-4)$$

که در رابطه بالا :

$K$ : پارامتری است که به شکل هندسی، تعداد دور و سطح سیم پیج بستگی دارد.

$\omega$ : میزان فرکانس زاویه ای است که مقدار آن از طریق رابطه ۲-۴ محاسبه می‌گردد:

$$\omega = 2\pi f \quad (2-4)$$

حال اگر این میدان روی یک ساختار هادی اعمال شود یک جریان القایی در داخل جسم هادی ایجاد می‌گردد. این جریان به نوبه خود یک میدان الکترومغناطیسی ثانویه  $H_s$  در اطراف آن ایجاد می‌نماید که با  $H_p$  متناسب بوده و به اندازه ۹۰ درجه با آن اختلاف فاز دارد. وجود قابلیت هدایت الکتریکی جسم موجود در زیر سطح زمین نیز باعث اختلاف فازی برابر با  $\phi$  نسبت به اختلاف پتانسیل القایی می‌شود.

بنابراین اختلاف فاز بین میدان‌های اولیه و ثانویه عبارت خواهد بود :

$$\theta_p - \theta_s = (90 + \phi) \quad (3-4)$$

$$\phi = Arc \tan\left(\frac{\omega L}{R}\right) \quad (4-4)$$

که در رابطه بالا:

$R$  : مقاومت الکتریکی جسم هادی

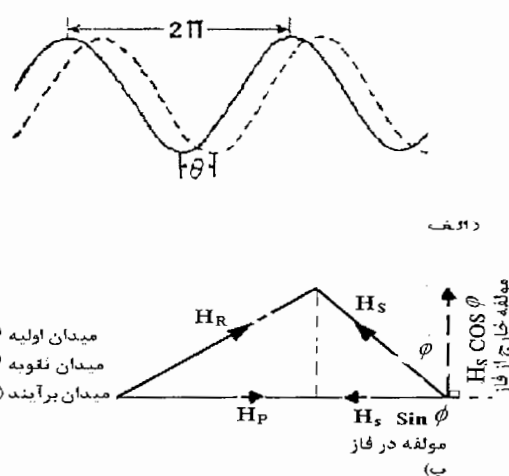
$H_p$  : فرکانس میدان  $f$

$L$  : القاء جسم هادی

$\phi$ : تأخیر فاز اضافی است که توسط ویژگیهای رسانا تعیین می‌گردد.

مقدار  $\omega$  نیز از رابطه ۲-۴ محاسبه می‌گردد.

شکل (۱-۴) این تغییر فاز را به خوبی نشان می‌دهد.



شکل ۱-۴- روابط فاز و اندازه میدان اولیه و ثانویه و بردار منتج آنها را نشان می‌دهد.  
[تلفورد و همکاران، ۱۹۹۸]

از شکل ۱-۴ و معادله ۳-۴ این نتیجه حاصل می‌شود که برای یک جسم هادی خوب مقدار  $\phi$

به ۹۰ درجه نزدیک خواهد شد، در حالیکه برای اجسام نارسانا مقدار  $\phi$  تقریباً به صفر میل می‌کند. در

شکل (۱-۴- ب) تصویر  $H_s$  روی محور افقی ( $H_p$ ) برابر با  $H_s \sin \phi$  بوده که به اندازه  $\pi$  با  $H_p$  اختلاف

فاز داشته که در این حالت به آن مؤلفه هم فاز<sup>۱</sup> یا حقیقی<sup>۲</sup> می‌گویند. تصویر قائم  $H_s$  برابر با  $H_s \cos \phi$

بوده که به اندازه ۹۰ درجه با  $H_p$  اختلاف فاز دارد، در این حالت به آن مؤلفه غیر هم فاز<sup>۳</sup> یا مجازی<sup>۴</sup>

1 -in phase component

2 - Real

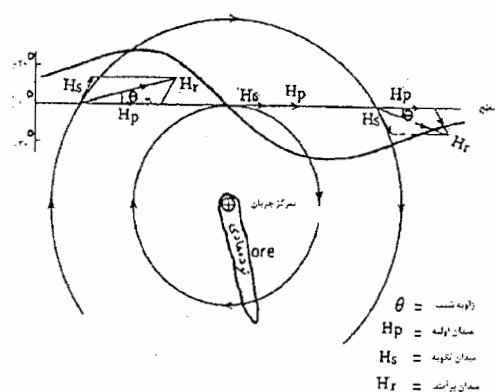
3 -Out of phase component

4 - Imaginary

می‌گویند [تلغورد و همکاران، ۱۹۹۸].

#### ۱-۲-۱-۲-۴- زاویه شیب<sup>۱</sup>

با توجه به شکل ۱-۴ زاویه بردار  $H_R$  با سطح افق زاویه شیب یا زاویه تیلت ( $\theta$ ) میدان  $H_R$  می‌گویند. در روش زاویه تیلت، اندازه گیری تغییرات این زاویه ( $\theta$ ) مدنظر می‌باشد. زمانی که از یک حلقه قائم و با یک سیم عمودی بلند (آنن) به عنوان فرستنده در عملیات صحرایی استفاده می‌شود، میدان  $H_p$  افقی خواهد بود و میدان ثانویه  $H_s$  مطابق شکل ۲-۴ در اطراف توده‌های زیر سطحی به صورت دوازیر متحدم مرکز منتشر می‌شود. در اطراف فرستنده میدان منتج  $H_R$  به سمت بالا شیب دارد که این شیب رفته که حلقه گیرنده به سمت زون هادی نزدیک می‌شود کم شده و در روی توده مقدار شیب (تیلت) به صفر می‌رسد. موقعی که حلقه گیرنده از روی زون هادی دور می‌شود، دوباره زاویه شیب افزایش یافته ولی این بار در جهت مخالف و به سمت پایین قرار دارد [کلاگری، ۱۳۷۱].



شکل ۲-۴- نحوه اندازه گیری متذ زاویه تیلت [کلاگری، ۱۳۷۱]

<sup>۱</sup> Tilt angle

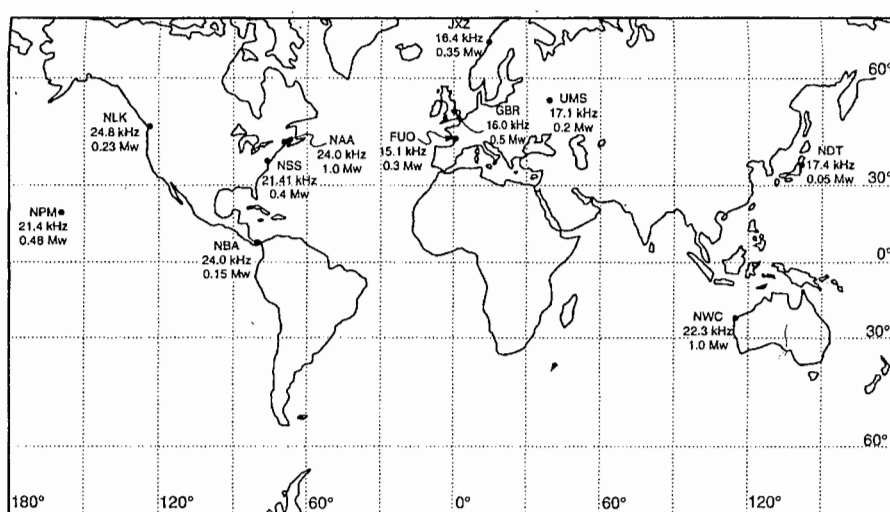
## ۲-۲-۴- مشخصات و موقعیت ایستگاه‌های فرستنده VLF

فرستنده‌های VLF در مکانهایی در سراسر جهان در حال نشر امواج رادیویی می‌باشند و تقریباً

سراسر جهان را پوشش می‌دهند. توان این فرستندها بین ۵۰-۱۰۰۰ کیلو وات می‌باشد.

شکل ۳-۴ مکان فرستنده‌های VLF مهم را در سراسر جهان نشان می‌دهد و در جدول ۴-۱ مشخصات

کامل چند ایستگاه VLF مهم در جهان آورده شده است.



شکل ۳-۴- موقعیت فرستنده‌های مهم جهان [میلسون، ۲۰۰۲]

جدول ۴-۱- مشخصات فرستنده‌های مهم [مک نیل و لابسون، ۱۹۷۵]

توان تقریبی (کیلو وات)	مختصات	مکان	فرکانس (کیلو هرتز)	ایستگاه
۱۰۰	۶۷W۱۷-۴۴N۳۹	کاتلر ایالت ماین ایالات متحده	۲۴/۰	NAA
۱۲۵	۱۲۱W۵۵-۴۸N۱۲	سیاتل، ایالت واشنگتن ایالات متحده	۲۴/۸	NLK
۴۰۰	۷۶W۲۷-۳۸N۵۷	آنپلیس، ایالت ماریلند ایالات متحده	۲۱/۴	NSS
۱۰۰	۶۷W۱۱-۱۸N۲۳	پورتوريکو	۲۸/۵	NAU
۶۰۰	۱۵۸W۰۹-۲۱N۲۵	لوآلوآلی، هاوایی	۲۳/۴	NPM
۷۵۰	۰۱W۱۱-۵۲N۲۲	راغبی، انگلستان	۱۶/۰	BGR
۱۰۰۰	۳۷E۰۱-۵۵N۴۹	مسکو، روسیه	۱۷/۱	UMS
۳۵۰	۱۳E۰۱-۶۶N۲۵	هلگنلن، نروژ	۱۶/۴	JXZ
۵۰۰	۰۰W۴۸-۴۴W۶۵	بوردو، فرانسه	۱۵/۱	FUO
۱۰۰۰	۱۱۴E۰۹-۲۱S۴۷	واقع در استرالیا North west Cape	۲۲/۳	NWC
۵۰	۱۳۷E۰۱-۳۴N۵۸	یوسامی، ژاپن	۱۷/۴	NDT

۳-۲-۴- گیرنده‌های<sup>۱</sup> VLF

تعدادی از انواع گیرنده دستگاه‌های VLF در جدول ۲-۴ آورده شده‌اند.

جدول ۲-۴- مشخصات دستگاه‌های VLF [مک نیل و لابسون ۱۹۷۵]

دستگاه گیرنده	نوع کاربرد	فاکتور اندازه گیری	تعداد سیم پیچ‌ها	توضیحات
Geonics EM16	زمینی	T,E	۲	دو فرکانس
Geonics EM18	هوایی	$H_z(I,Q)$	۲	
Crone Radem	زمینی	$T, H_y $	۲	چند فرکانسی
GeonicsEM16R	زمینی	$E_x(I,Q)$		چند فرکانسی
Barringer Radiophase	هوایی	$H_x(I,Q)$ $H_y(I,Q)$ $H_z(I,Q)$	۳	
Barringer EPhase	هوایی	$E_x(Q)$		سه فرکانس به طور همزمان
Herz Totem 2A	هوایی	$H_z(Q), H_y $	۳	دو فرکانس به طور همزمان
Scintex VLF3	زمینی	$H_z(I,Q)$	۲	سه فرکانس
Scintex VLF4	زمینی	$H_z(I,Q)$		
Phoenix VLF2	زمینی	$T,E$ $E_x(I,Q)$	۲	دارای قابلیت تنظیم پیوسته
ABEM WADI	زمینی	$H_z(I,Q)$	۲	دارای قابلیت تنظیم پیوسته
BRGM VLF2	زمینی	$E_x(I,Q)$ $E_y(I,Q)$	۳	دو فرکانس به طور همزمان
Eda OmniPlus	زمینی	$T,H_z(I,Q), H $ $E_x(I,Q)$	۳	سه فرکانس به طور همزمان

۱- VLF receiver

از آنجایی که در مطالعه حاضر از گیرنده WADI ساخت شرکت ABEM سوئد استفاده شده است به توصیف مختصر آن می‌پردازیم.

#### WADI - ۱-۳-۲-۴ دستگاه

در سال ۱۹۸۷ شرکت ABEM سوئد دستگاه اندازه گیری VLF جدید خود به نام WADI را معرفی کرد که نمونه کاملی از یک گیرنده VLF بود، زیرا به همراه خود یک میکرو کامپیوتر و یک حافظه داخلی را به همراه داشت. دستگاه قادر به تشخیص قویترین سیگنال امواج ارسالی می‌باشد (با ترسیم یک دیاگرام از شدت سیگنال‌ها بر روی مانیتور دستگاه). این دستگاه زاویه شبیب و مؤلفه‌های حقیقی و مجازی میدان ثانویه را ثبت می‌کند. در طراحی دستگاه، توانایی فیلتر کردن داده‌ها به طور همزمان توسط نرم افزار همراه آن، در نظر گرفته شده است (فیلتر کاروس هجلت<sup>۱</sup>) و به سادگی پروفیل‌های برداشت شده در فواصل مختلف را می‌توان فیلتر کرده و چگالی جریان میدان را برای عمق‌های مختلف به دست آورد. پروفیل برداشت شده توسط دستگاه WADI نسبت به فاصله‌های مختلف بین ایستگاه‌ها می‌تواند فیلتر شود، این بدان معناست که چگالی جریان‌های هم ارز برای اعماق مختلف را به آسانی می‌توان محاسبه کرد، برای اینکار نیازی به برداشت داده‌های جدید نمی‌باشد و کافیست فقط فاصله بین ایستگاه‌ها را تغییر داد تا آنومالی برای عمق‌های مختلف به دست آید.

دستگاه WADI از قسمت‌های زیر تشکیل شده است [راهنمای تفسیر ABEM، ۱۹۸۹]:

✓ قسمت کنترل کننده دستی

<sup>۱</sup> - Karous- E.Hjelt

✓ بخش انجام محاسبات به همراه محفظه باتری

✓ قسمت آنتن، که در پشت دستگاه قرار می‌گیرد.

شکل ۴-۴ تصویر دستگاه WADI متعلق به دانشگاه صنعتی شاهرود را که در مطالعه حاضر از آن استفاده شده است را نشان می‌دهد.



شکل ۴-۴- نمایی از دستگاه WADI [راهنمای تفسیر ABEM، ۱۹۸۹]

#### ۴-۲-۴- تفسیر

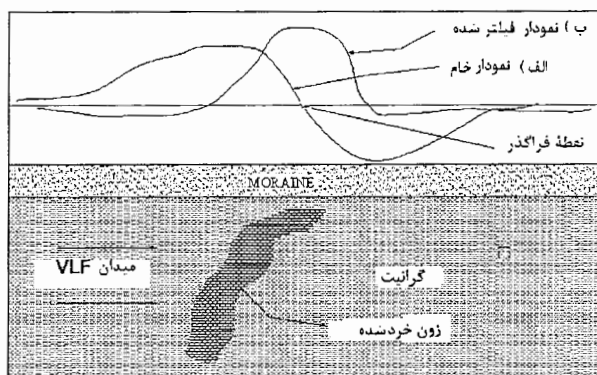
داده‌های VLF غالباً به صورت کیفی و یا نیمه کمی تفسیر می‌شوند. بدین ترتیب که نقطه‌ای که زاویه شیب برای عبور از قطبیت مثبت به قطبیت منفی از صفر می‌گذرد، دقیقاً در بالای زون رسانا قرار دارد. این نقطه به نقطه فرآگذر<sup>۱</sup> نیز معروف می‌باشد. به کمک فرآیند فیلتر کردن، تفسیر آسانتر می‌شود، بدین صورت که در داده‌های فیلترشده مکان پیک آنومالی، مکان زون رسانا می‌باشد.

#### ۴-۲-۱- تفسیر عمومی

در تفسیر عمومی به کمک شکل‌های نمونه به تفسیر آنومالی‌ها می‌پردازیم. شکل ۴-۵-۱ یک

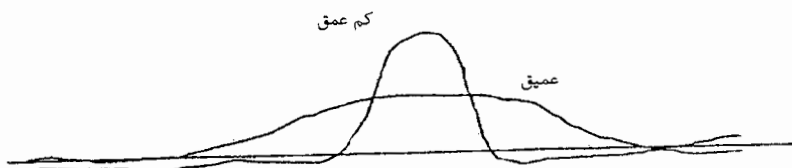
1 Cross over

نمودار شماتیک از یک زون تیپیک را نشان می‌دهد. همانطور که مشاهده می‌شود زون هادی در زیر نقطه فرآیندر نمودار خام<sup>۱</sup> شکل ۴-۵-الف و زیر پیک نمودار فیلتر شده<sup>۲</sup> شکل ۴-۵-ب قرار دارد.



شکل ۴-۵-پاسخ زون خرد شده به میدان VLF. الف) نمودار خام. ب) نمودار فیلتر شده [راهنمای تفسیر ABEM، ۱۹۸۹]

شکل ۴-۶ اختلاف بین آنومالی حاصل از یک زون هادی واقع در عمق زیاد و زون هادی نزدیک به سطح را نشان می‌دهد. اختلاف این دو منحنی اساساً متوجه پهنا و اندازه آنومالی هاست، بدین ترتیب که آنومالی زون عمیق پنهان‌تر ولی دامنه آن کمتر است. باید توجه داشت که دامنه کم ممکن است نشانه رسانایی پایین باشد [راهنمای تفسیر ABEM، ۱۹۸۹].

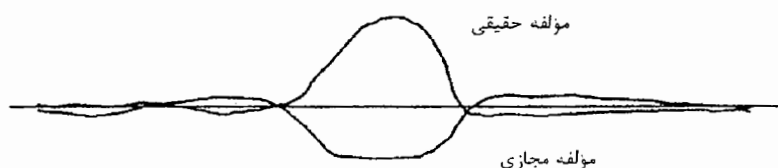


شکل ۴-۶- مقایسه آنومالی دو زون عمیق و کم عمق [راهنمای تفسیر ABEM، ۱۹۸۹]

در شکل‌های ۴-۵ و ۴-۶ فقط به مؤلفه حقیقی اشاره شده است. ولی باید بخاطر داشت که آنومالی حاصل از گیرنده‌های VLF یک مؤلفه دیگر به نام مؤلفه مجازی را نیز نشان می‌دهند. در هنگام تفسیر

1- Raw indicator  
2- Filter indicator

باید به هر دو مؤلفه فوق الذکر توجه داشت. هر چند که مؤلفه حقیقی در تفسیر ارجحیت دارد. شکل ۴-۷ آنومالی مربوط به یک زون با مقاومت ویژه بالا را نشان می‌دهد (مانند زون شکسته حاوی آب شیرین).



شکل ۴-۷- آنومالی یک زون مقاوم [راهنمای تفسیر ABEM، ۱۹۸۹]

شکل ۴-۸ آنومالی فیلتر شده یک زون رسانای خوب را نشان می‌دهد (مانند زون حاوی آب شور).



شکل ۴-۸- آنومالی یک زون هادی [راهنمای تفسیر ABEM، ۱۹۸۹]

#### ۴-۲-۵- روش‌های فیلتر کردن<sup>۱</sup>

معمولًاً برای فیلتر کردن داده های VLF از دو روش معمول زیر استفاده می‌گردد

[میلسون، ۲۰۰۲]:

۱- روش فیلتر فریزر<sup>۲</sup>

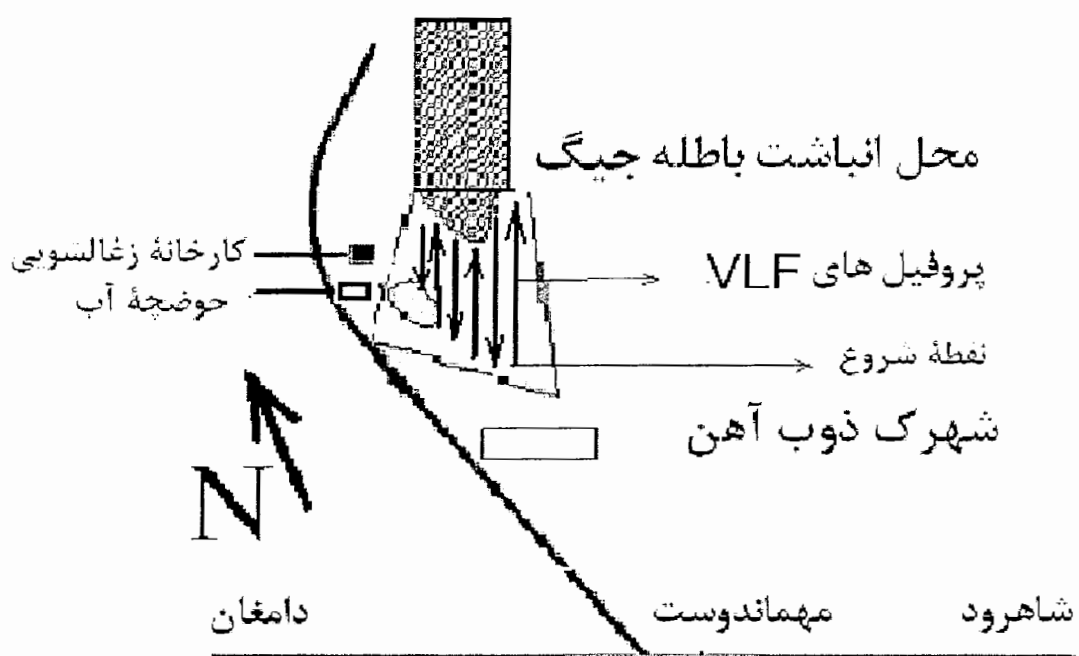
۲- روش فیلتر کاروس - هجلت

1- Filtering methods  
2-Fraser filtering method

اگرچه این دو روش از فرمولهای متفاوتی برای محاسبات استفاده می‌کنند ولی نتیجه هر دو روش بسیار به هم نزدیک می‌باشند. در این مطالعه از روش کاروس - هجلت برای فیلتر نمودن داده‌های VLF اندازه‌گیری شده، استفاده شده است. شرح چگونگی فیلتر نمودن روش‌های فوق در پیوست الف می‌آید.

#### ۴-۲-۶- منطقه مورد مطالعه و موقعیت پروفیلهای برداشت شده

منطقه برداشت شده در پایین دست محل انباشت باطله‌ها می‌باشد. شکل ۹-۴ نمایی شماتیک از محدوده مورد نظر را همراه با شش پروفیل نشان می‌دهد.



شکل ۹-۴- کروکی شماتیک محل و نحوه برداشت داده‌های VLF

#### ۴-۲-۷- برداشت داده‌های VLF

بدیهی است برای در اختیار داشتن یک تفسیر خوب و قابل اعتماد نیاز به اندازه‌گیری‌های

دقیق و کافی می‌باشد. در طول پیمایش پروفیل باید در نظر داشت که راستای پروفیل در طول حرکت حفظ شود (به کمک کمپاس) و همچنین طول پروفیل به اندازه کافی طولانی باشد. قبل از شروع برداشت بر روی پروفیل انتخابی باید مناسب‌ترین ایستگاه فرستنده امواج رادیویی VLF انتخاب شود. با توجه به اینکه دستگاه این قابلیت را دارد تا تمام فرستنده‌ها را اسکن نموده و فرستنده‌هایی را که دارای شدت کافی هستند در محل معرفی نماید. در مرحله بعد باید فرستنده مناسب برداشت انتخاب گردد. با در نظر گرفتن توضیحات بالا، دستگاه دو ایستگاه فرستنده (NPM) با توان ۶۰۰ کیلو هرتز و فرستنده (NSS) با توان ۴۰۰ کیلو وات پیدا نمود که با توجه به مقادیر شدت دریافتی، فرستنده (NPM) در لوآلوای<sup>۱</sup> واقع دره‌هایی<sup>۲</sup> در کشور ایالات متحده آمریکا با قدرت ۶۰۰ کیلووات و فرکانس  $\frac{23}{4}$  کیلو هرتز در مختصات جغرافیایی N25° ۲۱' - W09° ۱۵' انتخاب شد. پس از انتخاب فرستنده مناسب باید مختصات نقطه شروع، فاصله بین نقاط برداشت و فاصله بین پروفیلهای ABEM داد. فاصله نقاط برداشت روی پروفیل‌ها ۵ متر و فاصله پروفیل‌ها از یکدیگر ۱۰ متر انتخاب گردید. نقطه شروع دارای مختصات (۱۴۹۶، ۵۱۹۵، ۷۸۸۵) در سیستم UTM می‌باشد.

#### ۸-۲-۴- برداشت پروفیل‌ها

همانطور که اشاره گردید، در این تحقیق برداشتهای VLF با استفاده از دستگاه WADI صورت گرفت. پس از پیدا کردن فرستنده مناسب و انتخاب نقطه شروع پیمایش، برداشت بروی پروفیل‌ها آغاز

1--Lualuuaei  
2 -Hawaii

گردید. ابتدا با حرکت روی پروفیل با آزمیوت ۳۰ درجه و با متر و کمپاس مکان نقطه دوم را پیدا کرده و در آن نقطه قرائت صورت گرفت و به همین منوال بر روی خط پروفیل حرکت کرده تا اینکه پروفیل ابتدایی به اتمام برسد. سپس به میزان ۱۰ متر عمود بر خط پروفیل حرکت کرده و پروفیل دوم با آزمیوت معکوس (۲۱۰ درجه) پروفیل اول انتخاب می‌گردد و پروفیل دوم نیز همانند پروفیل اول برداشت می‌شود. در انتهای پروفیل دوم، به میزان ۱۰ متر عمود بر پروفیل دوم حرکت کرده و پروفیل سوم با آزمیوت معکوس پروفیل دوم با همان آزمیوت پروفیل اول (۳۰ درجه) برداشت می‌گردد. پروفیلهای بعدی نیز به طریق بالا برداشت می‌گردد. در منطقه مورد مطالعه تعداد ۶ پروفیل برداشت گردید. که با توجه به وضعیت منطقه پروفیل اول بیشترین طول ۵۲۰ متر را داشته و طول کوچکترین پروفیل (پروفیل انتهایی) ۱۶۵ متر پیاده گردید.

جدول ۴-۳- طول پروفیلهای برداشت شده

شماره پروفیل	۱	۲	۳	۴	۵	۶
طول پروفیل(متر)	۵۲۰	۴۸۰	۳۴۵	۲۸۵	۲۹۰	۱۶۵

شکل ۹-۴ نحوه حرکت بر روی پروفیل‌ها را نشان می‌دهد. در تمام این مدت بایستی فاصله بین نقاط و پروفیل‌ها و آزمیوت پروفیل را با متر و کمپاس چک نمود و دستگاه به طور اتوماتیک با توجه به مقادیر اولیه که در دستگاه وارد شده است فاصله نقاط روی پروفیل‌ها را ۵ متر و فاصله بین پروفیل‌ها ۱۰ متر در نظر می‌گیرد.

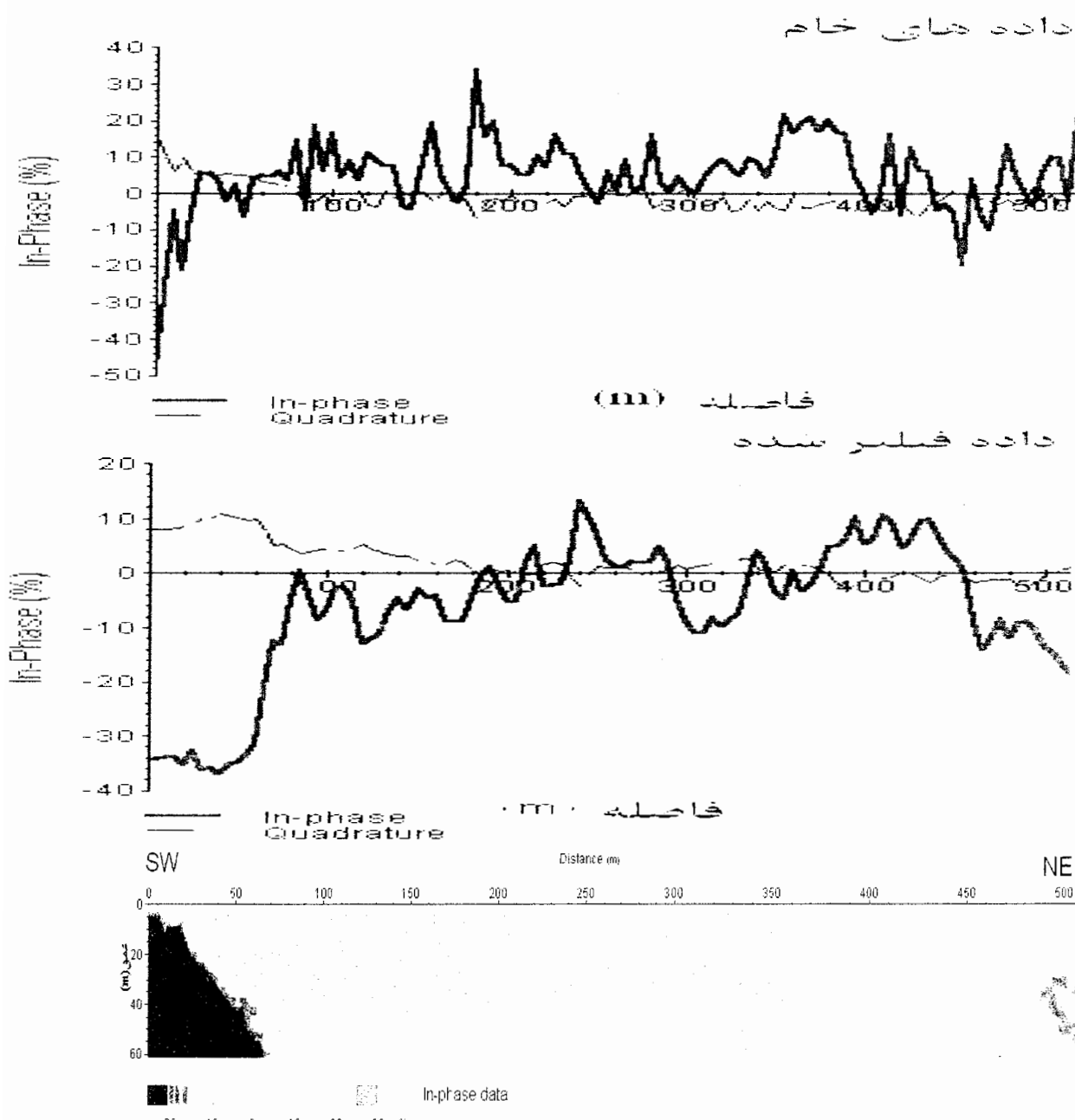
#### ۴-۲-۹- تفسیر داده‌های VLF و ارائه مدل‌ها

داده‌های برداشت شده از پیمایش پروفیل‌ها در پیوست الف آورده شده است. پس از اتمام برداشت، داده‌ها، به کمک نرم افزار RAMAG که نرم افزار اختصاصی دستگاه WADI می‌باشد [راهنمای استفاده از نرم افزار RAMAG، ۲۰۰۲]، مورد پردازش قرار گرفتند. لازم به ذکر است این نرم افزار از فیلتر کاروس - هجلت برای فیلتر داده‌ها استفاده می‌کند. به کمک نرم افزار فوق نمودارهای خام، فیلتر شده و همچنین مقاطع عرضی چگالی جریان برای ۶ پروفیل به طور مجزا تهیه شد و برای تفسیر ارائه می‌شوند. لازم به ذکر است که در تفسیر پروفیل‌ها ذیل بر روی مؤلفه حقیقی تأکید شده است.

#### ۱۰-۲-۴- تفسیر پروفیل ۱

در شکل ۱۰-۴ پروفیل داده‌های خام و فیلتر شده مربوط به مؤلفه حقیقی و مجازی و همچنین مقاطع چگالی جریان برای مؤلفه حقیقی در طول پروفیل نشان داده شده است. با توجه به مدل به دست آمده از مقاطع عرضی و نمودار فیلتر داده‌ها ۲ زون هادی در فواصل ۳۸۰ تا ۴۵۰ متر و ۲۰۰ تا ۲۵۰ مترکه احتمالاً حاکی از آلودگی موجود در منطقه می‌باشد، مشاهده می‌گردد. به نظر می‌رسد که زون موجود در فاصله ۳۸۰ تا ۴۵۰ متر بزرگتر و دارای گسترشی از سطح زمین به عمق می‌باشد. در مقابل زون آلودگی دیده شده در فاصله ۲۰۰-۲۵۰ m کوچکتر بوده و گسترشی از عمق ۲۰m تا اعماق پایین تر را دارد. باید توجه کرد که این زون دارای شب تقریباً ۵۰ درجه به سمت NE می‌باشد. عمق در

نظر گرفته شده در فیلتر کردن داده ها ۶۰ متر می باشد.

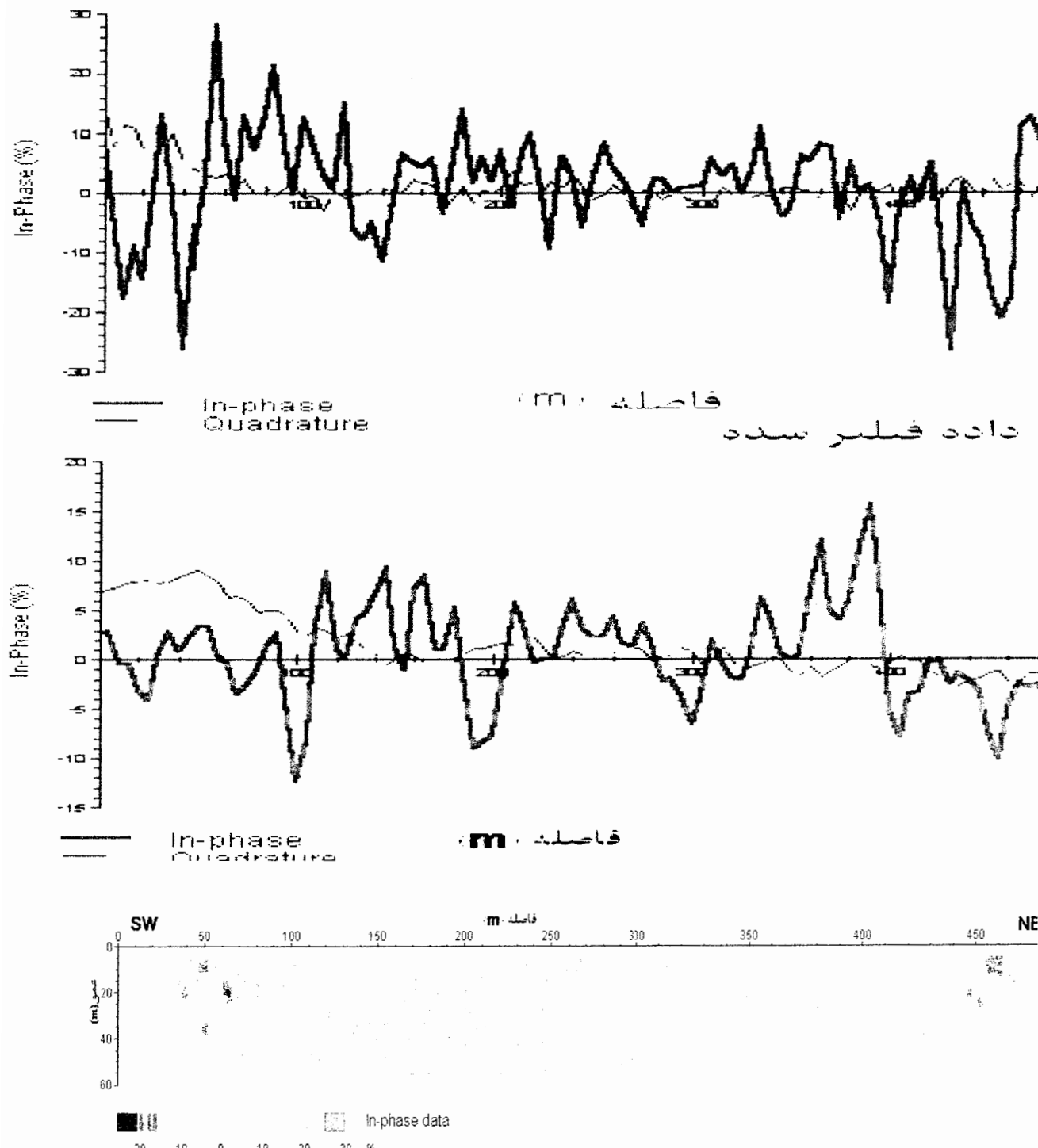


شکل ۴-۱۰- پروفیل ۱، شکل ها از بالا به پایین عبارتند از: پروفیل داده خام (مؤلفه حقیقی و مجازی)، پروفیل داده فیلتر شده (مؤلفه حقیقی و مجازی) و مقطع عرضی چگالی جریان(مؤلفه حقیقی)

## ۱۱-۲-۴- تفسیر پروفیل ۲

با توجه به مقطع عرضی چگالی جریان و پروفیل داده‌های فیلتر شده (شکل ۱۱-۴) سه زون هادی که در فواصل ۱۰۵ تا ۱۸۰ متری، ۲۱۰ تا ۲۸۰ متری و ۳۳۰ تا ۴۰۰ متری بر روی پروفیل ۲ که احتمالاً حاکی از آلودگی موجود در منطقه است، مشاهده می‌شود. زون هادی موجود در فاصله ۲۱۰ تا ۲۸۰ متری نسبت به دو آنومالی دیگر ضعیف‌تر بوده که شاید به دلیل قرار گیری آنومالی در عمق بیشتر باشد. بر روی مقطع عرضی نیز سه زون آلودگی مشخص شده‌اند. زون اول در فاصله ۰ تا ۵۰ متری بر روی پروفیل و با عمق قرار گیری از سطح تا عمق ۵۰ متری، زون دوم در حدفاصل ۹۰ تا ۱۳۰ متری بر روی پروفیل و با عمق قرار گیری ۳۰ تا ۴۵ متری، زون سوم در فاصله ۳۶۰ تا ۴۴۰ متری و با عمق تقریبی ۵۵ متری مشاهده می‌شود.

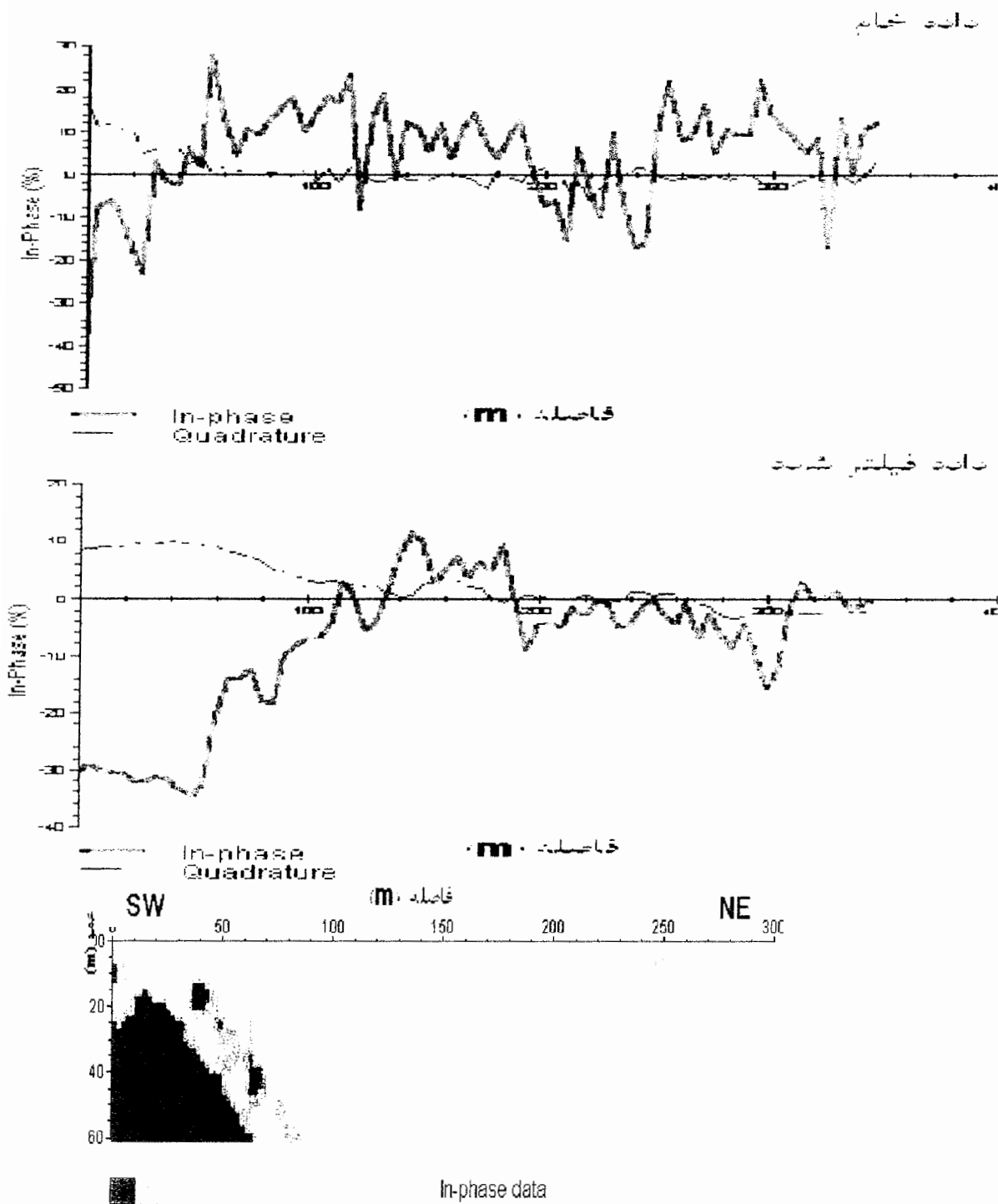
## داده خام



شکل ۱۱-۴- شکل ها از بالا به پایین عبارتند از: پروفیل داده خام (مؤلفه حقیقی و مجازی)، پروفیل داده فیلتر شده (مؤلفه حقیقی و مجازی) و مقطع عرضی چگالی جریان (مؤلفه حقیقی) پروفیل ۲

**۱۲-۲-۴ - تفسیر پروفیل ۳**

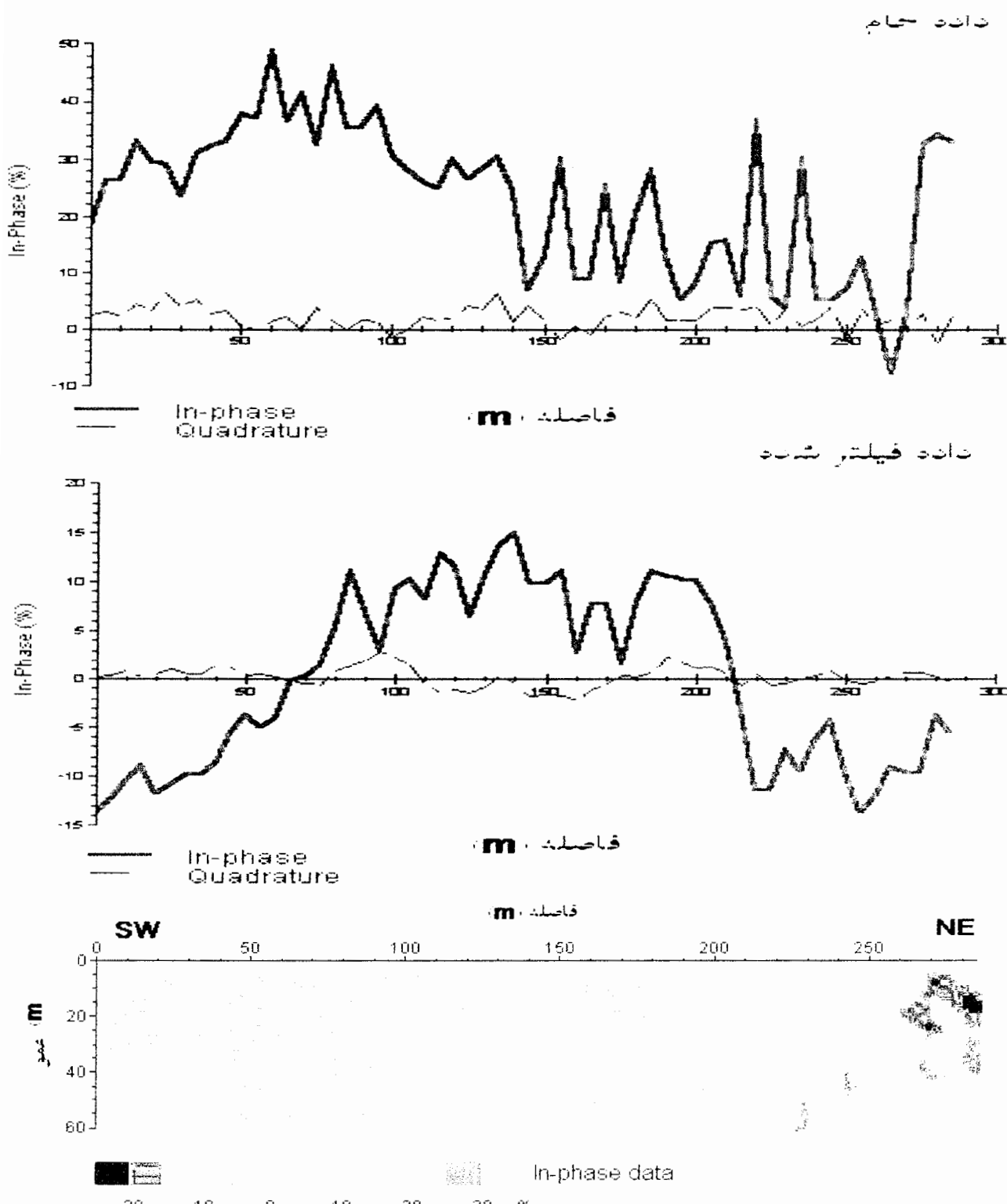
از روی مدل به دست آمده از مقطع عرضی چگالی جریان و نمودار فیلترشده این پروفیل (شکل ۱۲-۴) یک زون هادی که احتمالاً گویای آبودگی موجود در منطقه است در فاصله ۱۳۵ تا ۱۹۰ متری بر روی پروفیل مشاهده می شود. به نظر می رسد که زون آبوده فوق بین اعمق ۵۸ تا ۲۲ متری و با شیب ۶ درجه به سمت جنوب شرقی گسترده شده باشد.



شکل ۱۲-۴- پروفیل ۳ شکل ها از بالا به پایین عبارتند از: پروفیل داده خام (مؤلفه حقیقی و مجازی)، پروفیل داده فیلتر شده (مؤلفه حقیقی و مجازی) و مقطع عرضی چگالی جریان(مؤلفه حقیقی)

۱۳-۲-۴ - تفسیر پروفیل ۴

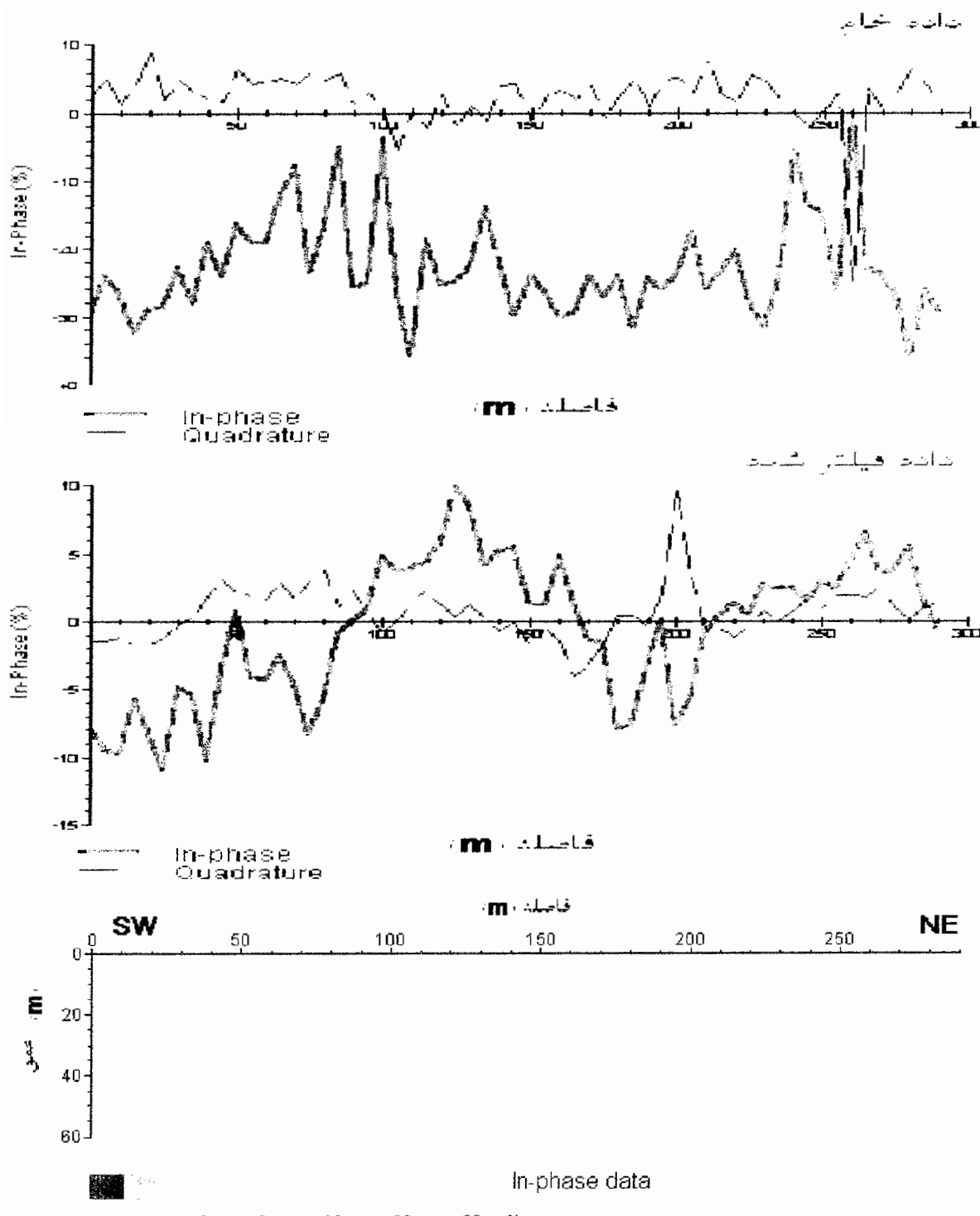
با توجه به مدل به مقطع عرضی چگالی جریان و نمودارهای فیلتر شده این پروفیل که در شکل ۱۳-۴ آمده است تنها یک زون هادی که احتمالاً ناشی از آلودگی موجود در منطقه می‌باشد، در فاصله ۸۰ تا ۲۱۰ متری بزروی پروفیل مشاهده می‌شود. با توجه به مقطع عرضی چگالی جریان این زون از سطح به عمق گسترش یافته و مرکز آن در عمق ۴۵ تا ۵۰ متری باشد.



شکل ۱۳-۴- پروفیل ۴، شکل ها از بالا به پایین عبارتند از: پروفیل داده خام (مؤلفه حقیقی و مجازی)، پروفیل داده فیلتر شده (مؤلفه حقیقی و مجازی) و مقطع عرضی چگالی جریان (مؤلفه حقیقی)

## ۱۴-۲-۴- تفسیر پروفیل ۵

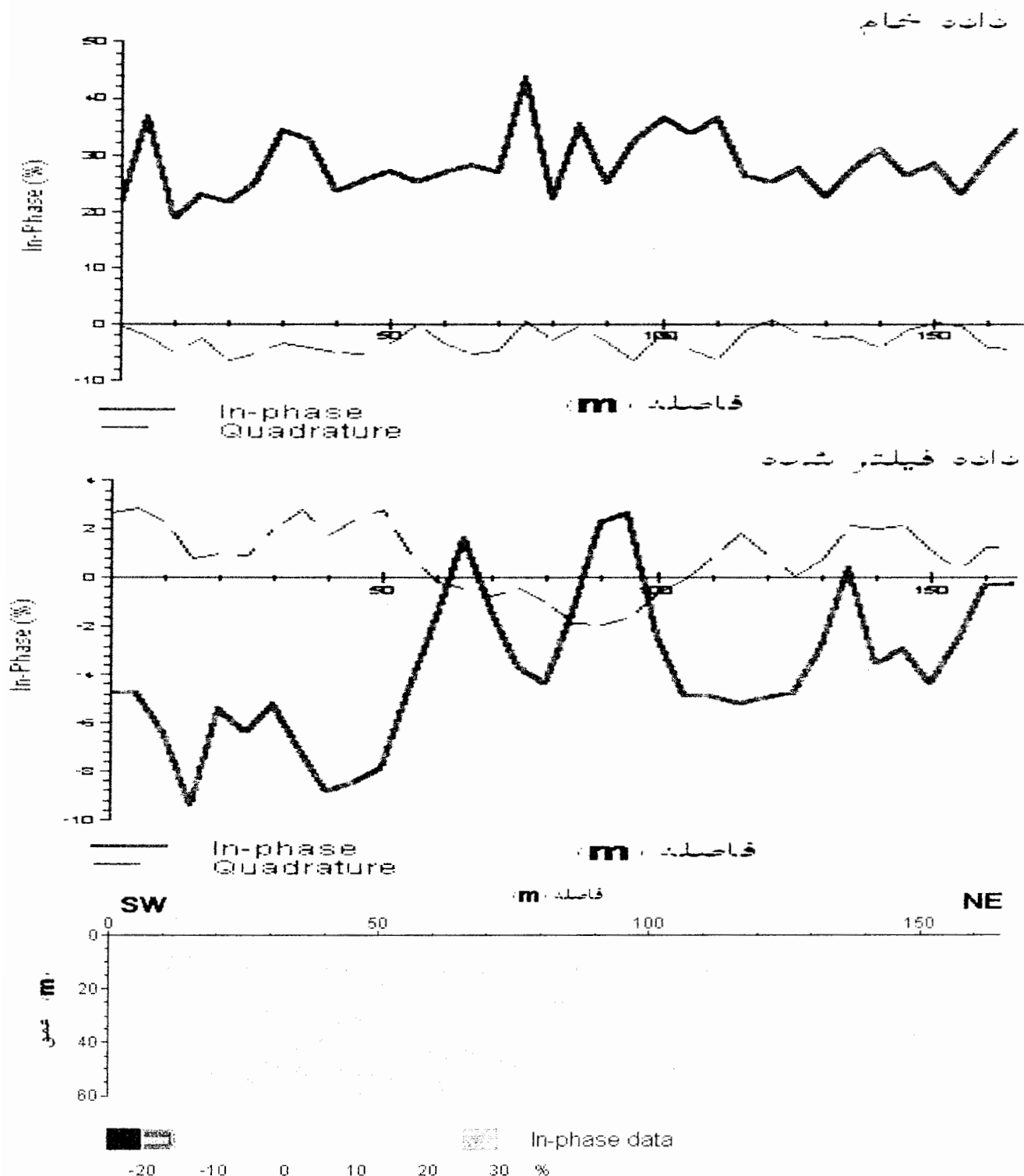
با توجه به مدل به دست آمده از مقطع عرضی چگالی جریان و نمودار داده‌های فیلتر شده ۱۴-۴ دو زون ضعیف و هادی که احتمالاً آلودگی موجود در منطقه می‌باشد، در فواصل ۹۰ تا ۱۶۵ متری و ۲۲۰ تا ۲۸۰ متری دیده می‌شوند. زون انتهایی پروفیل با گسترش به سمت شمال شرقی مشاهده می‌شود. زون دیده ۹۰ تا ۱۶۵ متری دارای گسترشی از سطح به عمق می‌باشد.



شکل ۱۴-۵- پروفیل ۵، شکل ها از بالا به پایین عبارتند از: پروفیل داده خام (مؤلفه حقیقی و مجازی)، پروفیل داده فیلتر شده (مؤلفه حقیقی و مجازی) و مقطع عرضی چگالی جریان(مؤلفه حقیقی)

## ۱۵-۲-۴- تفسیر پروفیل ۶

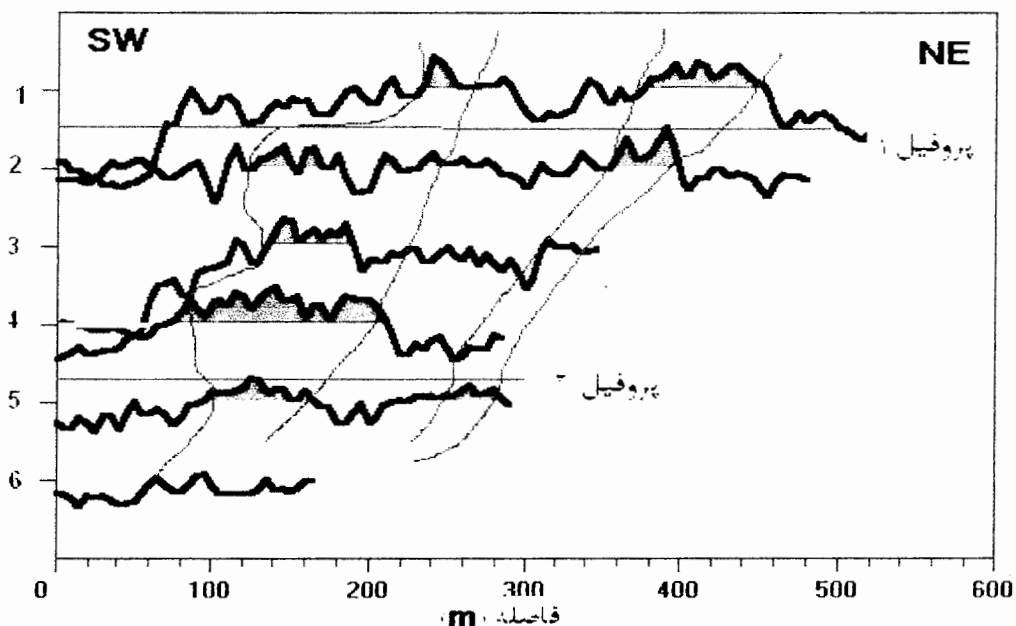
با توجه به مقطع عرضی چگالی جریان نمودار داده‌های فیلتر شده شکل ۱۵-۴ تنها یک زون کوچک هادی ناشی از آلودگی‌های احتمالی در فواصل ۱۰۰-۱۵۰ m و با عمق قرار گیری ۰ تا ۲۵ متری دیده می‌شود.



شکل ۴-۱۵- پروفیل ع، شکل ها از بالا به پایین عبارتند از: پروفیل داده خام (مؤلفه حقیقی و مجازی)، پروفیل داده فیلتر شده (مؤلفه حقیقی و مجازی) و مقطع عرضی چگالی جریان(مؤلفه حقیقی)

#### ۱۶-۲-۴- نتیجه گیری

در شکل ۱۶-۴ نمودار تغییرات مؤلفه هم فاز تمامی پروفیل‌ها به صورت فیلتر شده تا عمق ۶۰ متر آورده شده است. نقاط قرمز رنگ روی پروفیل‌ها، نشان دهنده آلودگی‌های احتمالی ناشی از باطله‌ها می‌باشند. گسترش آلودگی با خطوط آبی رنگ نشان داده شده است. همانطور که دیده می‌شود، محدوده مورد نظر دارای دو زون آلوده است، که هر دو دارای روند شمال شرق-جنوب غرب می‌باشند. حال که محدوده گسترش زونهای آلوده ناشی از باطله‌ها تا حدودی مشخص گردید با برداشت داده‌های ژئوالکتریک در زمانهای مختلف روی دو پروفیل چگونگی گسترش این آلودگی را مورد بررسی قرار می‌دهیم.



شکل ۱۶-۴- نمودار مؤلفه هم فاز فیلتر شده پروفیل‌ها در منطقه مورد بررسی که زون‌های آلوده را بصورت دو نوار موازی با رنگ آبی همراه با دو پروفیل برداشت ژئوالکتریک با رنگ قهوه‌ای نشان می‌دهد.

### ۴-۳- روش مقاومت ویژه و پلاریزاسیون القایی (IP)<sup>۱</sup>

علاوه بر روش VLF از روش مقاومت ویژه و IP در حوزه زمان نیز در مشخص نمودن زونهای آلوده در منطقه مورد بررسی، استفاده گردید. روش های فوق برای مقاصدی چون، مسائل هیدرولوژیکی، اکتشاف معدن، بررسی های ژئوتکنیکی و به تازگی در مسائل زیست محیطی نیز بکار گرفته می شود [مونی، ۱۹۸۰]. هدف از اندازه گیری های مقاومت ویژه تعیین توزیع مقاومت ویژه زیر سطح زمین است و با کمک این اندازه گیری ها می توان توزیع مقاومت ویژه واقعی زمین را تخمین زد. مقاومت ویژه زمین به پارامتر های مختلفی چون، نوع مواد تشکیل دهنده محیط اندازه گیری، میزان خلل و فرج و فضاهای خالی سنگ، سیال موجود در بین خلل و فرج ها و ... بستگی دارد.

مقاومت ویژه برخی سنگ‌ها، مواد معدنی و شیمیایی در جدول ۶-۴ نشان داده شده است.

سنگ‌های آذرین و دگرگونی معمولاً مقاومت ویژه بالایی دارند. مقاومت ویژه این سنگ‌ها به میزان شکستگی و آب موجود در آنها بستگی دارد. سنگ‌های رسوبی که معمولاً تخلخل بالایی دارند و آب موجود در آنها بیشتر است، از مقاومت ویژه کمتری نسبت به سنگ‌های آذرین و دگرگونی برخوردار هستند. مقاومت ویژه این نوع سنگ‌ها بین ۱۰ تا ۱۰۰۰ اهم متر متغیر است. مقاومت ویژه آبهای زیرزمینی بین ۱۰ تا ۱۰۰ اهم متر تغییر می‌کند و مقدار آن به میزان درجه شوری آب بستگی دارد. بطوريکه مقاومت ویژه آب دریا حدود ۰/۲ اهم متر است. مقاومت ویژه شیرابه‌های محل دفن زباله‌ها<sup>۲</sup> در

1 - Induced polarization

2 - Landfill leachates

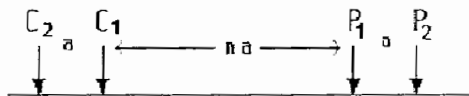
دامنه ۵۰ تا کمتر از ۱۰ اهم متر قرار می‌گیرد. پساب اسیدی معدن از مقاومت ویژه کمتر از ۱۰ اهم متر برخوردار است [رینولدز، ۱۹۹۷]. پس از انجام برداشت‌های ژئوالکتریک با کمک جدول ۴-۴ تا حدودی می‌توان به صورت کیفی جنس لایه‌ها، آلودگی ناشی از پساب اسیدی در منطقه مورد مطالعه را مشخص کرد.

جدول ۴-۴- مقاومت ویژه و رسانندگی برخی سنگ‌ها و مواد معدنی و شیمیایی [مونی، ۱۹۸۱ و رینولدز، ۱۹۹۷]

مقاومت ویژه بر حسب اهم متر	برخی سنگ‌ها، رسوبات و آب
۱ - ۱۰۰	آب سفره‌های آبرفتی
۳۰ - ۱۰۰۰	آب باران
از مرتبه ۰/۲	آب دریا
$۲۰ - ۲ \times 10^3$	شیل
$2 \times 10^3 - 10^4$	کنگلو مرا
۱ - ۱۰۰	رس
۸۰ - ۱۰۵۰	شن و ماسه خشک
۵۰ - ۵۰۰	شن و ماسه اشباع از آب شیرین
۰/۵ - ۵	شن و ماسه اشباع از آب شور
۵۰ - ۳۰۰	MASSE سنگ آرژیل دار
۳۰۰ - ۱۰۰۰	MASSE سنگ - کوارتزیت
۳ - ۷۰	مارن
$6 \times 10^2 - 4 \times 10^7$	سیلت
۱۰ - ۱۰۰۰	رسوبات یکپارچه
۱ - ۱۰۰	رسوبات غیر یک پارچه
$10^4 - 10^5$	گرانیت
$10^4 - 10^5$	دیوریت
۱۰۰-۱۰۰۰	سنگ‌های آذرین و دگرگونی
$20 - 10^4$	شیست
$1/2 \times 10^{-5} - 3 \times 10^{-1}$	سولفیدها:
$2/9 \times 10^{-5} - 1/5$	کالکوپیریت
$7/5 \times 10^{-6} - 5 \times 10^{-2}$	پیریت
$< 10^{-5}$	پیروتیت
$< 10^{-10}$	شیرابه‌های محل دفن زباله
	آبهای اسیدی معدن

۴-۳-۱- روش دو قطبی - دوقطبی<sup>۱</sup>

در مطالعه حاضر از آرایش دو قطبی - دوقطبی استفاده گردید. این آرایش از نوع آرایش های چهار الکترودی محسوب می شود. جریان از طریق دو الکترود جریان  $C_1$  و  $C_2$  به درون زمین تزریق می شود و اختلاف پتانسیل ناشی از آن توسط دو الکترود  $P_1$  و  $P_2$  اندازه گیری می شود (شکل ۱۷-۴).



[۱۷-۴] - ترتیب قرار گیری الکترودها در روش دو قطبی - دوقطبی (لوک، ۲۰۰۳)

به الکترود های پتانسیل که نزدیک یکدیگر قرار دارند دوقطبی پتانسیل و به الکترود های جریان که آنها نیز به یکدیگر نزدیک می باشند و در فاصله دور از الکترود های پتانسیل قرار دارند، دو قطبی جریان می گویند. داده اندازه گیری شده به نقطه مرکزی (وسط  $P_1P_2$ ) نسبت داده می شود. از آنجا که نحوه توزیع جریان وارد شده به زمین تحت تأثیر لایه های مختلف می باشد، مقاومت ویژه اندازه گیری شده را مقاومت ویژه ظاهری می نامیم و به صورت زیر بیان می شود [تلفورد و همکاران ۱۹۹۱] :

$$\rho_o = k \frac{\Delta V}{I} \quad (13-4)$$

که در رابطه بالا:

$K$ : ضریب هندسی نامیده می شود و به آرایش الکترود ها بستگی دارد. برای آرایش دو قطبی-دو قطبی

<sup>۱</sup>- Dipole – Dipole method

مقدار آن بصورت زیر داده می‌شود [میلسون، ۲۰۰۲]:

$$K = 2n\pi(n+1)a \quad (14-4)$$

که در رابطه بالا:

$a$ : فاصله الکتروودها از یکدیگر می‌باشد.

در پایان نامه حاضر برای برداشت داده‌ها از روش مقاومت ویژه و IP استفاده گردیده است که در پیوست

ج روش IP به اختصار توضیح داده شده است.

#### ۴-۴- انواع روش‌های مدل‌سازی در ژئوفیزیک

مدل‌سازی‌های ژئوفیزیکی بطور عمده به دو دسته مدل‌سازی فیزیکی و مدل‌سازی عددی

تقسیم بندی می‌شود. مدل‌سازی فیزیکی، شبیه‌سازی ساختار زمینی در مقیاس آزمایشگاهی است

[آپارو<sup>۱</sup>، ۱۹۹۷]. مدل‌سازی عددی به دو شیوه ذیل انجام می‌پذیرد:

مستقیم یا پیشرو<sup>۲</sup> ✓

مدل‌سازی معکوس<sup>۳</sup> ✓

روابط و معادلاتی که رابطه بین خواص فیزیکی زمین و داده‌های مشاهده‌ای را بیان می‌کند، تئوری

پیشرو یا مستقیم و استنباط خواص فیزیکی از داده‌های مشاهده‌ای، توسط برخی ابزارهای کمی را

تئوری معکوس‌سازی گویند. در واقع تئوری معکوس سازی مجموعه‌ای از محاسبات ریاضی و تکنیک‌های

1 - Apparo

2 Forward Modeling

3 Inverse Modeling

آماری است که برای تعیین خواص فیزیکی و هندسی محیط، از داده‌های مشاهده‌ای بکار می‌رود [تلفورد و همکاران، ۱۹۹۱]. با توضیحات بالا مدل‌سازی پیشرو به دست آوردن مدل واقعی بدون استفاده از داده‌های مشاهده‌ای است. معکوس سازی داده‌های مقاومت ویژه، شامل تخمین نحوه توزیع مقاومت ویژه واقعی و ضخامت لایه‌ها با توجه به مقادیر مقاومت ویژه ظاهری اندازه گیری می‌باشد. بطورکلی روند مسائل معکوس سازی را می‌توان به صورت زیر خلاصه نمود [تلفورد و همکاران، ۱۹۹۱]:

- ✓ پارامتری نمودن مدل
  - ✓ خطی سازی و فرمولاسیون مسئله با استفاده از قضیه بسط تیلور توابع
  - ✓ فرمول بندی کردن مسئله به شکل ماتریسی
  - ✓ یافتن پاسخ موثر در مدل سازی پیشرو
  - ✓ کنترل روند معکوس سازی و انتخاب مدل نهایی
- فرآیند معکوس سازی یکتا نمی‌باشد [تلفورد و همکاران، ۱۹۹۱]. یعنی مدل‌های زیادی وجود دارند، که منحنی حاصل از پاسخ آنها، با منحنی حاصل از داده‌های مشاهده‌ای یکسان می‌باشد. مفسر از میان این مدل‌ها باید مدل واقعی و منطبق با زمین را انتخاب کند. لذا برای انجام مدل سازی نیاز به اطلاعات زمین‌شناسی و گمانه‌های اکتشافی است و در میان مدل‌های بدست آمده، مدلی انتخاب می‌گردد که بیشترین همخوانی را با اطلاعات زمین‌شناسی و چاه‌های اکتشافی داشته باشد.

#### ۴-۱-۴-۱- معکوس سازی داده‌های مقاومت ویژه با استفاده از روش Time-Laps

به منظور بررسی تغییرات مقاومت ویژه در طول زمان، بایستی برداشت‌های دو بعدی بر روی خطوط برداشت مشخص و در زمان‌های مختلف انجام گیرد که به این روش اندازه گیری مقاومت ویژه Time-Laps می‌گویند. مطالعات انجام شده با این روش شامل بررسی تغییرات در سطح سفره آب زیرزمینی بعد از استخراج آب، آلودگی‌های شیمیایی و نشت پساب اسیدی ناشی از عملیات معدنکاری به سیستم جریان آب زیرزمینی و یا زمین‌های پیرامون آن می‌باشند [لوک، ۱۹۹۹]. در حالت عادی، معکوس سازی داده‌های برداشت شده در زمان‌های مختلف به صورت مستقل از یکدیگر با استفاده از روش کمترین مربعات هموار مقید شده<sup>۱</sup> انجام می‌گردد. در سال ۱۹۹۰ کنستابل<sup>۲</sup> و گروت هدلین<sup>۳</sup>، نشان دادند که تغییرات مقادیر مقاومت زیر سطحی با استفاده از مقایسه مقادیر مقاومت ویژه به دست آمده از معکوس سازی مجموعه داده‌های اولیه و مجموعه داده‌های بعدی در اکثر موارد نشان داده است که این روش نتایج رضایت‌بخشی به همراه داشته‌است. اگرچه از نظر تئوری، زمانی که معکوس سازی داده‌ها به صورت مستقل انجام می‌پذیرد، تضمینی برای اینکه تفاوت در مقادیر مقاومت ویژه تنها ناشی از تغییرات واقعی در مقادیر مقاومت ویژه زیر سطحی باشد وجود ندارد. در تمامی معکوس سازی‌ها تلاش‌های صورت گرفته به منظور کم کردن تفاوت بین مقادیر مقاومت ویژه مشاهده شده و مقادیر محاسبه شده برای هر یک از مجموعه داده‌ها بدون توجه به مدل حاصل از مجموعه داده ابتدایی می‌باشد [لوک، ۱۹۹۹]. در این پایان

1 - Smoothness-constrained least-squares inversion method

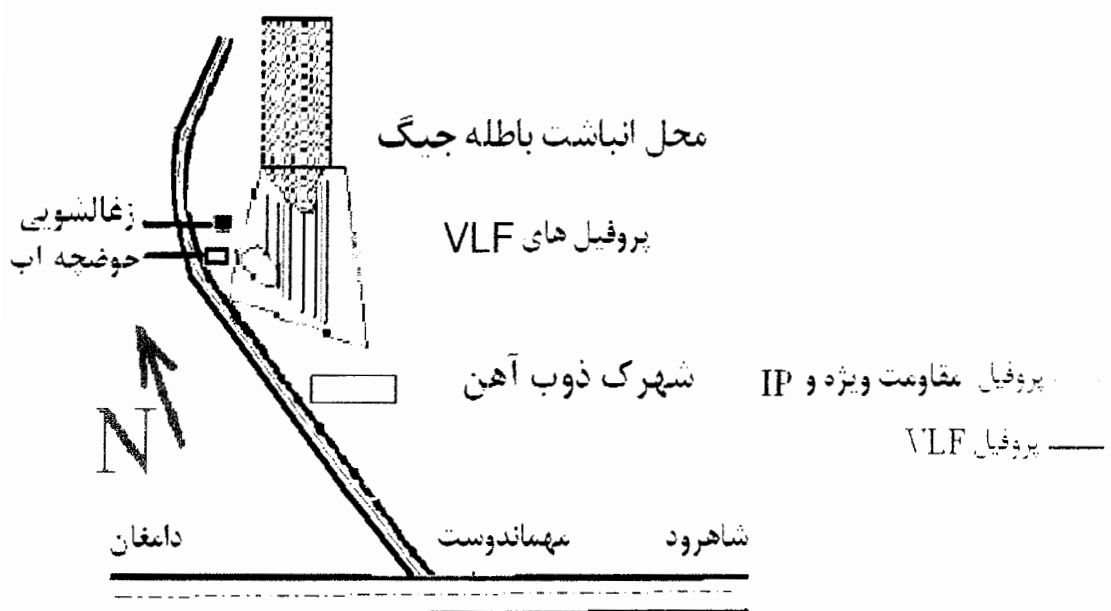
2 - Constable

3 - Groot-Hedlin

نامه، داده‌ها با استفاده از روش دو قطبی – دو قطبی برداشت شدند و جهت بررسی تغییرات زمانی، برداشت‌ها مدل سازی معکوس داده‌ها با استفاده از روش Time Laps انجام گرفته است. دقّت نتایج بستگی به دقّت اندازه‌گیری دارد. معکوس سازی داده‌ها در روش Time Laps معمولاً به این صورت انجام می‌پذیرد که میزان تغییرات در مقادیر مقاومت ویژه، با استفاده از مقایسه مدل مقاومت ویژه به دست آمده از اولین سری داده‌ها و مجموعه داده‌های مربوط به برداشت‌های بعدی صورت می‌پذیرد. در اکثر مواقع این روش نتایج مطلوبی به همراه دارد [لوک، ۲۰۰۲]. متأسفانه نرم افزار قابلیت معکوس سازی مقادیر شارژabilite را ندارد.

#### ۴-۵- برداشت داده‌ها

پس از انجام برداشت‌های VLF و شناسایی زونهای آلوده، از روش ژئوالکتریک برای شناسایی نحوه انتشار آلودگی در لایه‌های زیرسطحی استفاده گردید. آرایه مورد استفاده در برداشت داده‌ها همانطور که قبل‌اشاره گردید آرایه دوقطبی - دوقطبی با استفاده از روش Time-Laps می‌باشد. کروکی محل برداشت داده‌ها در شکل ۱۸-۴ و اطلاعات زمانی مربوط به برداشت داده‌ها در جدول ۵-۴ آورده شده است.



شکل ۱۸-۴- نمایش شماتیکی از محل برداشت پروفیل‌های ژئوکتریک و VLF

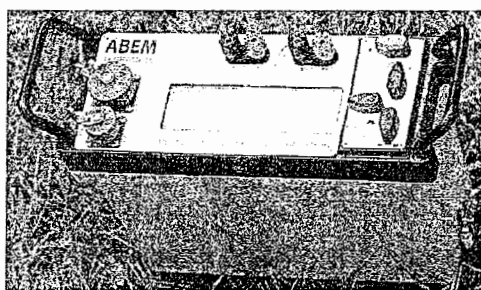
جدول ۱۸-۵- تاریخ انجام برداشت ژئوکتریک

پروفیل	برداشت ۱	برداشت ۲	برداشت ۳	برداشت ۴
پروفیل شماره ۱	۸۴/۹/۲۰	۸۴/۱۰/۱۲	۸۴/۱۲/۱۷	۸۵/۳/۳
پروفیل شماره ۲	۸۴/۹/۲۰	۸۴/۱۰/۱۲	-	-

همانطور که در جدول ۱۸-۵ نیز دیده می‌شود، متأسفانه به دلیل انباشت باطله‌های جدید در محل پروفیل دوم امکان ادامه برداشت وجود نداشت. طول پروفیل اول ۵۰۰ متر و طول پروفیل دوم ۳۶۰ متر در نظر گرفته شد. فاصله الکترودها در پروفیل اول ۵۰ متر و در پروفیل دوم ۴۰ متر انتخاب شد. جهت برداشت داده‌های مقاومت ویژه از دستگاه ABEM SAS1000C آزمایشگاه ژئوفیزیک اکتشافی دانشگاه صنعتی شاهرود استفاده شده است.

**۴-۵-۱- مشخصات دستگاه اندازه گیری**

همانطور که اشاره شد در مطالعه حاضر، برداشت داده‌های ژئوالکتریک ( مقاومت ویژه و IP) در منطقه مورد مطالعه به کمک دستگاه C ABEM SAS 1000 (شکل ۴-۱) صورت گرفته است. دستگاه فوق ساخت کشور سوئد می‌باشد و قابلیت سنجش مقاومت ویژه و پلاریزاسیون القائی در حوزه زمان را دارد. دستگاه در نوع خود بسیار حساس و دقیق می‌باشد. بطورکلی برای انجام قرائت کمیت‌های مورد نظر، این دستگاه از قابلیت تنظیم‌های مختلفی برخوردار است [ مرادزاده، ۱۳۸۳]. جهت برداشت داده‌های تحقیق حاضر با تنظیم دستگاه تعداد چهار قرائت انجام شد. سپس متوسط قرائتها به عنوان قرائت مورد قبول در هر وضعیت الکترودی ثبت شد. با این عمل دقت اندازه گیری‌ها به طور قابل ملاحظه‌ای افزایش یافت. انحراف معیار پایین داده‌های قرائت شده که توسط دستگاه محاسبه می‌گردد، تأیید کننده دقّت کار و کیفیت خوب داده‌های اندازه گیری شده است.



شکل ۴-۱- تصویر دستگاه C ABEM SAS 1000 [راهنمای ABEM، ۱۹۹۱]

**۴-۶- معکوس سازی دو بعدی داده‌ها مقاومت ویژه ظاهری و IP**

در این پایان نامه معکوس سازی دو بعدی داده‌ها توسط نرم افزار RES2DINV [لوک، ۲۰۰۲] انجام شده است. در پیوست ب نرم افزار RES2DINV به تفضیل توضیح داده شده است.

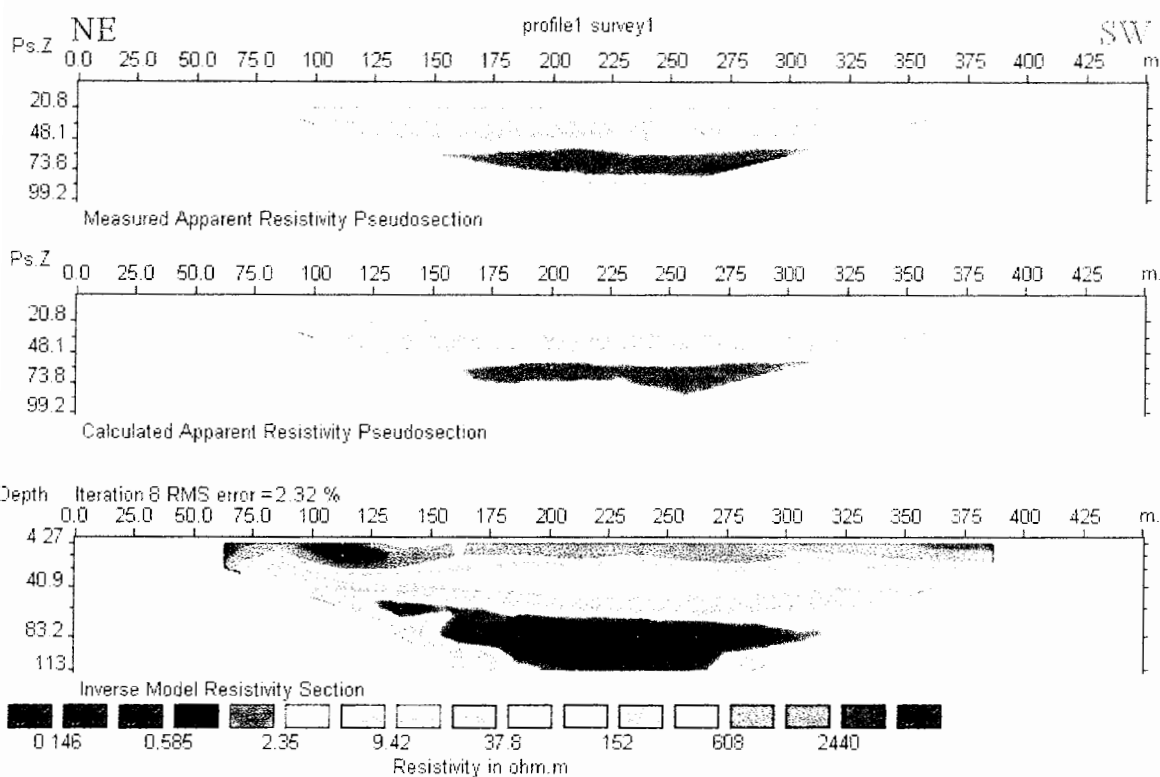
#### ۷-۴- تفسیر و ارائه مدل‌ها

پروفیل اول با استفاده از آرایه دوقطبی- دوقطبی برداشت گردید. فاصله الکترودها در این پروفیل ۵۰ متر در نظر گرفته شد. برداشت داده‌ها در ۴ مرحله زمانی و طی مدت بیش از ۶ ماه انجام شده است. در این قسمت ابتدا مدل‌های مقاومت ویژه که با استفاده از نرم افزار RES2DINV تهیه شده است همراه با تفسیرهای هریک از آنها ارائه می‌شود و سپس مدل‌های به دست آمده از پروفیل‌ها با روش Time Laps آورده شده است. در انتها نیز مدل‌های مربوط به مقادیر IP و تفسیرهای مربوط به آن در پیوست ج ارائه گردیده است.

#### ۱-۷-۴- پروفیل ۱، برداشت ۱

نتایج مدل سازی معکوس داده‌های مقاومت ویژه در شکل ۲۰-۴ نشان داده شده است. باید توجه کرد که به دلیل مسطح بودن منطقه مورد مطالعه، تصحیحات مربوط به توپوگرافی در مدل وارد نشده است. میزان خطای پایین مدل معکوس سازی شده ( $RMS=2/32\%$ )، نشان دهنده تطابق خوب داده‌های صحرایی با مدل به دست آمده است. با توجه به شکل‌ها می‌توان اینگونه استنباط کرد که ابتدا لایه‌های سطحی با مقاومت ویژه بالا با رنگ‌های قهوه‌ای، قرمز تا سبز روشن دیده می‌شود. این امر منطبق بر شواهد زمین‌شناسی منطقه می‌باشد. در فاصله ۱۰۰ تا ۱۲۵ متری افزایش مقاومت ویژه می‌تواند به دلیل افزایش ضخامت روباره در آن قسمت از منطقه و یا کم بودن نفوذ پذیری باشد. مدل ارائه شده نشان دهنده کاهش مقاومت ویژه با افزایش عمق می‌باشد، که این امر می‌تواند احتمالاً بیانگر آلودگی در منطقه مورد نظر باشد. آنمالی مربوط به آلودگی احتمالی که با رنگ آبی پر رنگ نشان داده شده است دارای تغییرات

مقاومت ویژه کمتر از ۲ اهم متر می‌باشد. دامنه مقادیر مقاومت ویژه با داده‌های مقاومتی مندرج در جدول ۴-۴ مطابقت دارد. عمق تقریبی مرکز آلودگی ۸۲ متری از سطح و دارای گسترشی از فاصله ۱۶۵ متری تا ۲۷۵ متری می‌باشد. با توجه به عمق آلودگی این امر حاکی از راه یافتن احتمالی آلودگی به آب زیرزمینی است که دارای عمق ۴۰ متر می‌باشد.

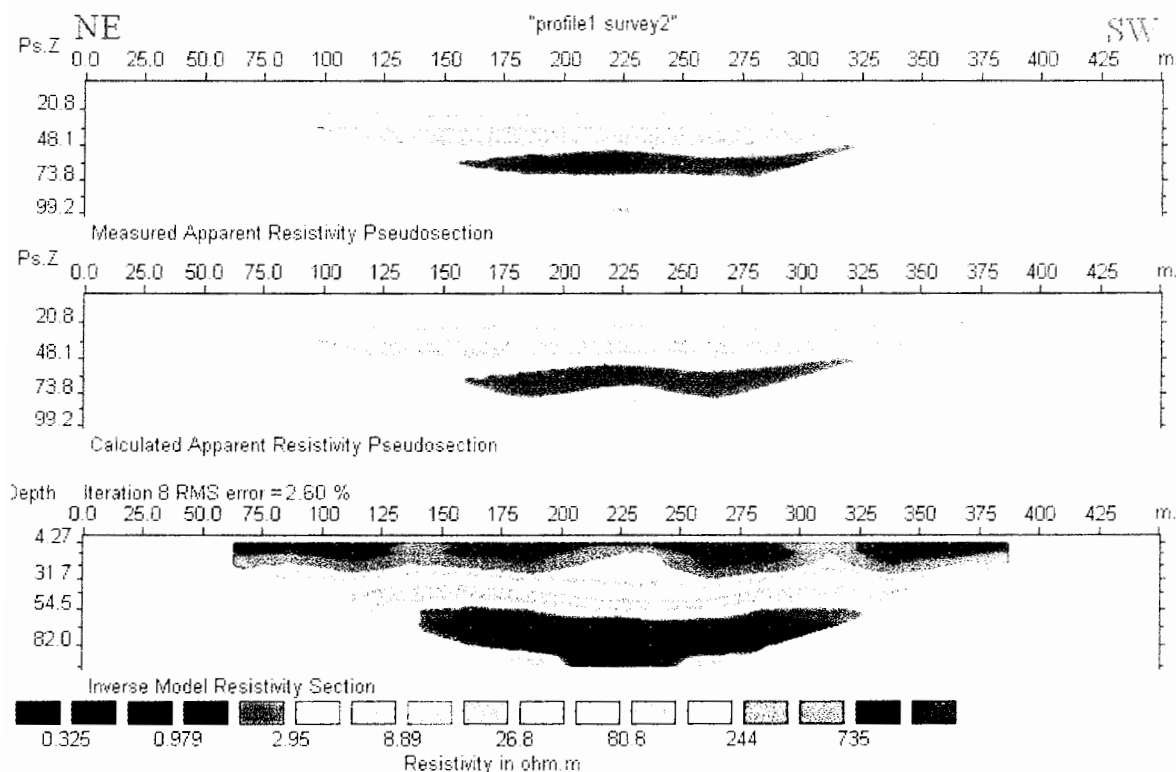


شکل ۴-۲۰- مقاطع از بالا به پایین عبارتند از: شبه مقطع مقاومت ویژه ظاهری اندازه گیری شده، شبه مقطع مقاومت ویژه ظاهری محاسبه شده و مدل معکوس پروفیل ۱مربوط به برداشت اول

#### ۴-۷-۱- پروفیل ۱، برداشت دوم

برداشت دوم روی پروفیل ۱ به فاصله ۲۲ روز بعد از برداشت اول انجام گرفته است. فاصله الکترودها ۵۰ متر و محل قرارگیری الکترودها در همان مکان اولیه آنها انتخاب گردید. نتایج مدل سازی

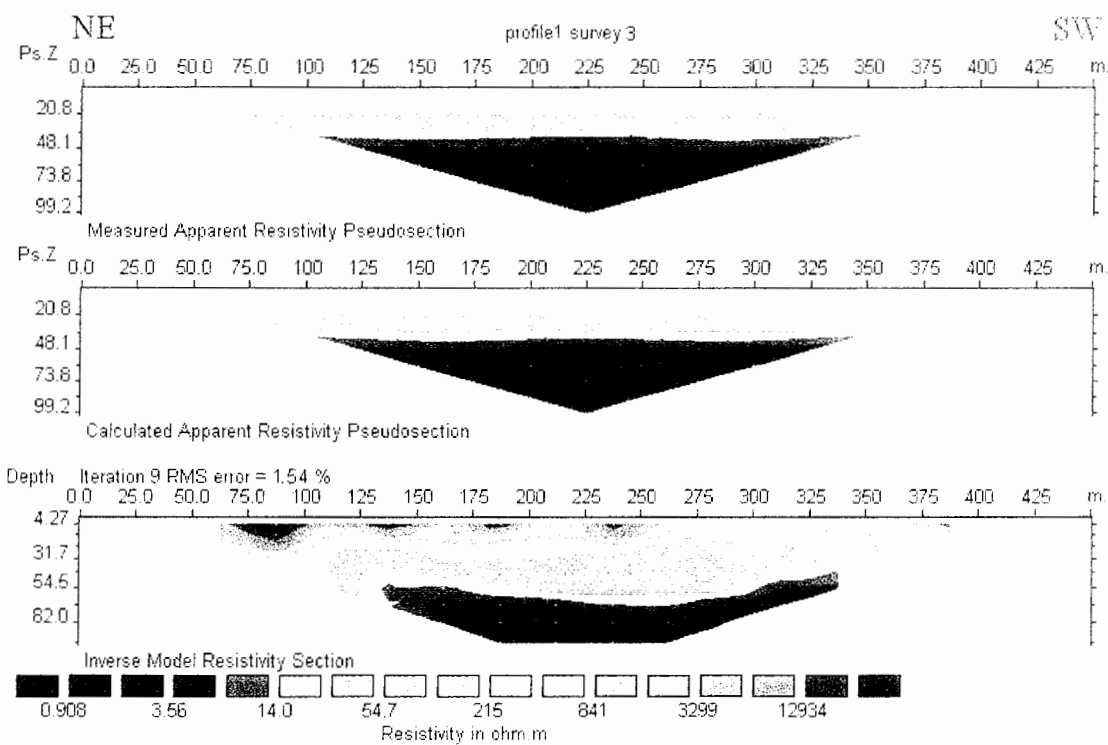
این برداشت در شکل ۲۱-۴ آمده است. میزان خطای پایین مدل ( $RMS=2/6\%$ ) معکوس سازی شده، نشان دهنده تطابق خوب داده‌های صحرایی با مدل به دست آمده است. این مدل نیز نشان دهنده کاهش مقاومت ویژه با افزایش عمق می‌باشد، که این امر می‌تواند احتمالاً بیانگر آلودگی در منطقه مورد نظر باشد. آنومالی آلودگی احتمالی که با رنگ آبی مشخص شده است، دارای تغییرات مقاومت ویژه کمتر از ۲۰ متر بوده که مطابق با داده‌های مقاومتی مربوط به مواد مختلف مندرج در جدول ۴-۴ می‌باشد. عمق تقریبی مرکز آلودگی ۶۵ متری از سطح و دارای گسترشی از فاصله ۱۳۰ تا ۲۷۵ متری می‌باشد. به نظر می‌رسد که زون آلوده در این مدل ارائه شده نسبت به برداشت اول گسترش جانبی بیشتر پیدا کرده است و مرکز آلودگی به سمت اعمق بیشتر حرکت کرده است. با توجه به مدل می‌توان اینگونه استنباط کرد که ابتدا لایه‌های سطحی با مقاومت ویژه بالا با رنگهای قهوه‌ای، قرمز تا سبز روشن دیده می‌شوند. که این امر تطابق کامل با شواهد زمین‌شناسی منطقه دارد



شکل ۲۱-۴- مقاطع از بالا به پایین عبارتند از: شبه مقطع مقاومت ویژه ظاهری اندازه گیری شده، شبه مقطع مقاومت ویژه ظاهری محاسبه شده و مدل معکوس پروفیل ۱ مربوط به برداشت دوم

### ۳-۷-۴- پروفیل ۱، برداشت سوم

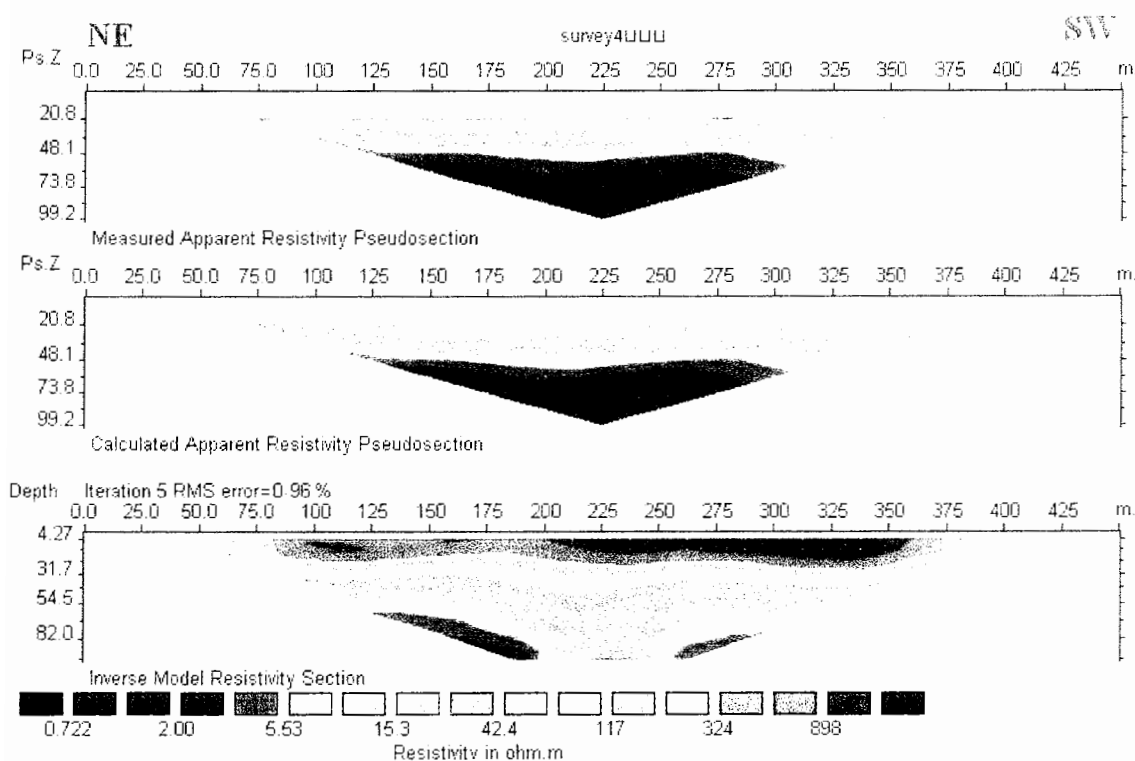
برداشت سوم به فاصله ۸۷ روز از برداشت دوم انجام گرفته است. در این برداشت نیز فاصله الکترودها ۵ متر و محل قرارگیری الکترودها در همان مکان اولیه آنها انتخاب گردید. نتایج مدل سازی داده های این مرحله از برداشت در شکل ۲۲-۴ آمده است. میزان خطای کم ( $RMS=1/5\%$ ) نشان دهنده هماهنگی خوب مدل های به دست آمده با داده های صحرایی می باشد. به نظر می رسد با توجه به اینکه عمق آلدگی تقریباً در ۹۰ متری واقع شده است زون آلدگی نسبت به حالت های قبلی به اعمق بیشتر راه پیدا کرده است که این امر حاکی از حرکت آلدگی می باشد.



شکل ۲۲-۴- مقاطع از بالا به پایین عبارتند از: شبه مقطع مقاومت ویژه ظاهری اندازه گیری شده، شبه مقطع مقاومت ویژه ظاهری محاسبه شده و مدل معکوس پروفیل ۱ مربوط به برداشت سوم

#### ۴-۷-۴- پروفیل ۱، برداشت چهارم

برداشت چهارم به فاصله ۱۶۳ روز از اولین برداشت انجام گرفته است. نتایج مدل سازی داده های این مرحله از برداشت در شکل ۲۳-۴ آمده است. فرآیند مدلسازی معکوس خطای RMS حدود ۹۶/۰ درصد را به همراه داشته است. در مدل ارائه شده به نظر می رسد که کاملاً آلودگی از منطقه مورد نظر حرکت کرده است و تنها آثاری از آنها در اعمق زیاد و در طرفین مدل دیده می شود.

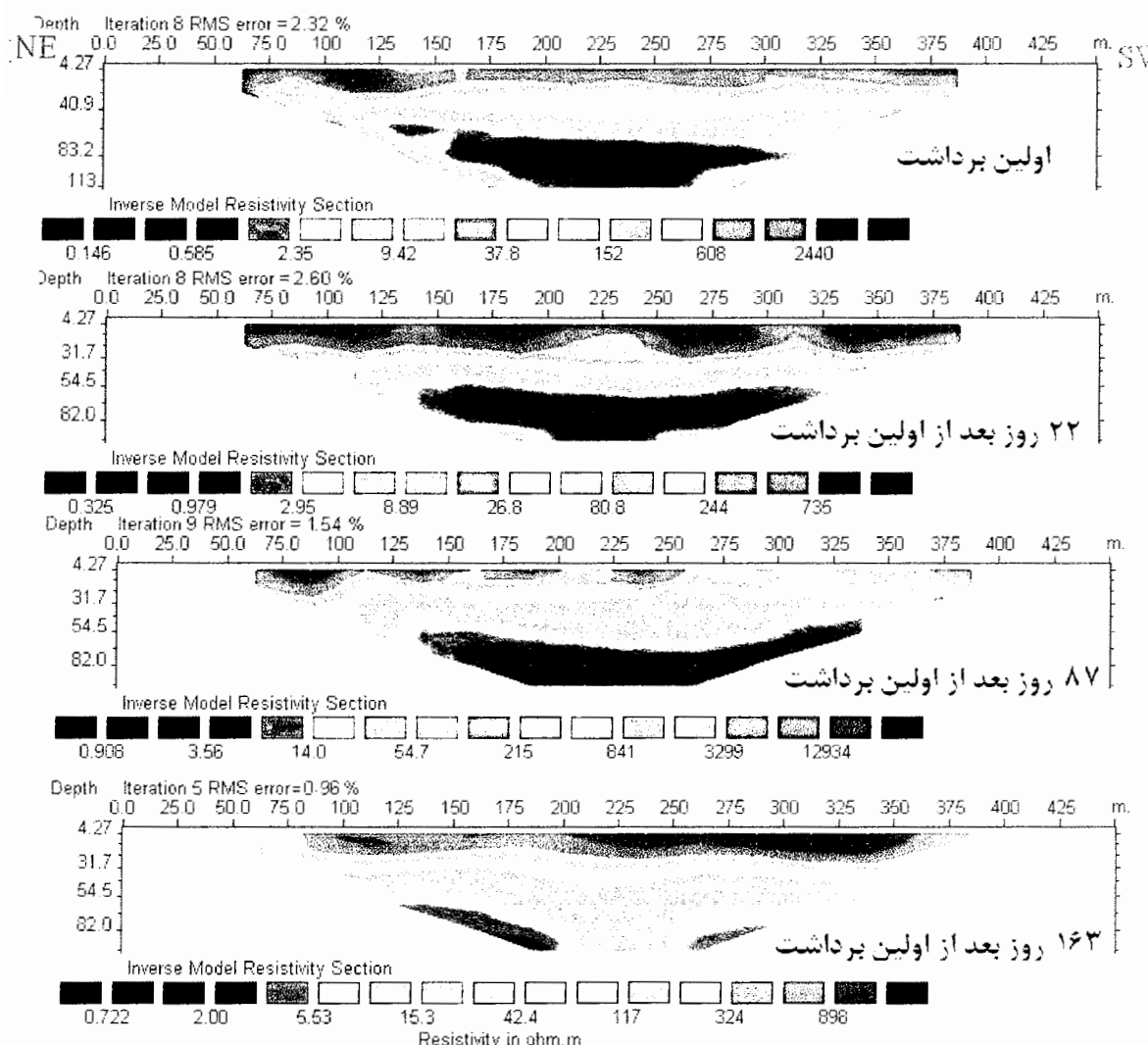


شکل ۴-۲۳-۴- مقاطع از بالا به پایین عبارتند از: شبه مقطع مقاومت ویژه ظاهری اندازه گیری شده، شبه مقطع مقاومت ویژه ظاهری محاسبه شده و مدل معکوس پروفیل ۱مربوط به برداشت چهارم

#### ۴-۵-۷-۴- معکوس سازی داده های مقاومت ویژه پروفیل ۱ با استفاده از روش Time- Laps

در شکل ۴-۴ سعی شده است تا روند تغییر مدلها در زمانهای مختلف برداشت داده ها نشان داده شود تا مقایسه بین آنها میسر شود. همانطورکه در شکل ۴-۴ ۴-۴ دیده می شود در اولین برداشت مرکز آلوگی احتمالی در عمق کمتر و با گسترش مرکزی زیادی مشخص شده است. ولی در دومین برداشت انجام شده زون آلوگه به عمق بیشتری رفته و گسترش جانبی آن نیز بیشتر شده است. در برداشت سوم ظاهراً زون آلوگه دارای گسترش بیشتر شده و به اعمق پایین تر (نسبت به مدل قبلی) گسترش یافته

است. در برداشت چهارم آبودگی از منطقه مورد نظر حرکت کرده است و احتمالاً با گسترش به اعمق پایین تر فقط آثار آن در حواشی اعمق زیاد دیده می شود.

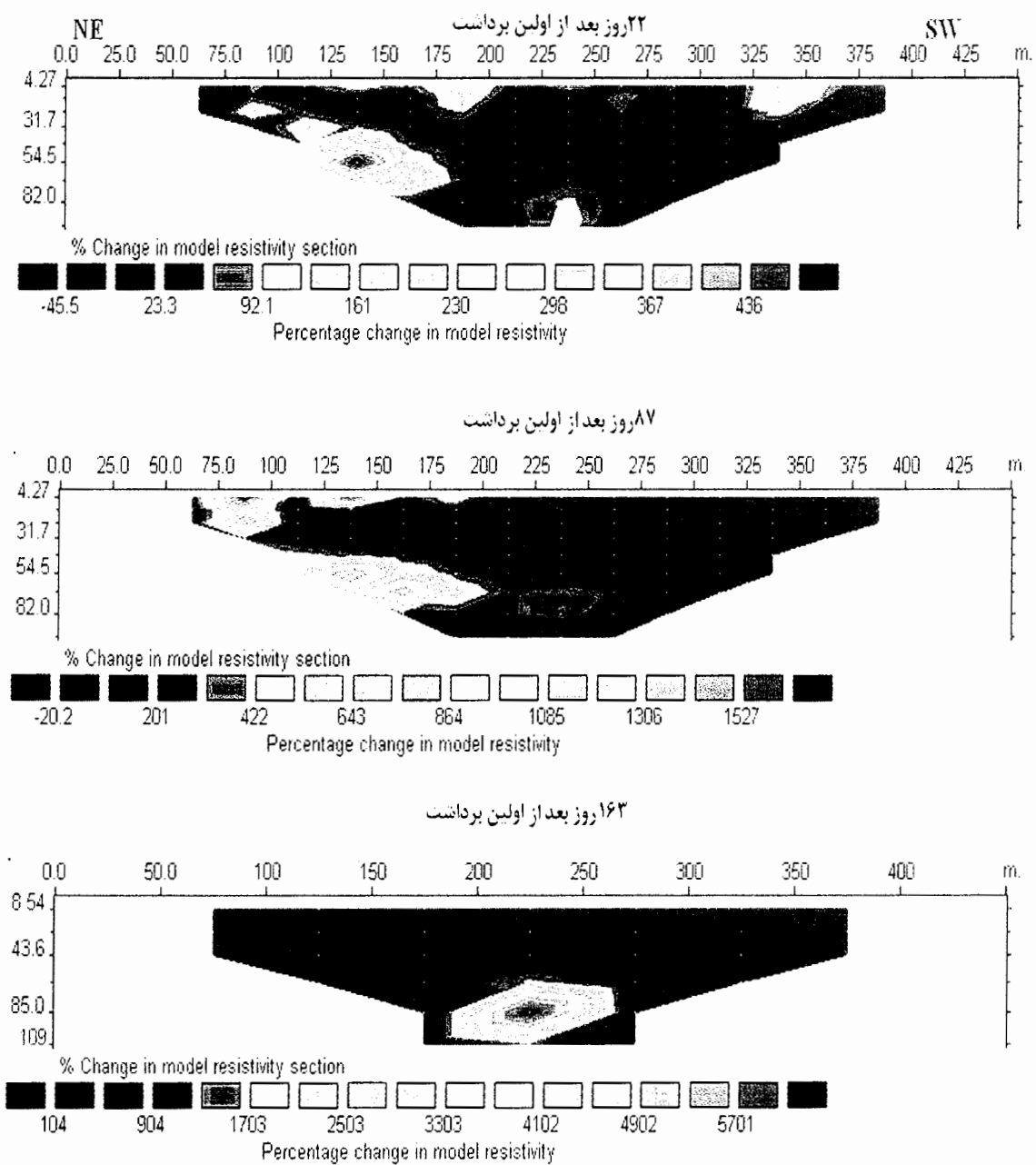


شکل ۲۴-۴- مدل‌های معکوس مقاومت ویژه مربوط به زمانهای مختلف در بروفیل شماره ۱

با استفاده از روش Time Laps می توان درصد تغییرات مقاومت ویژه را پیدا کرد. شکل ۲۵-۴ نیز درصد تغییرات مدل‌های مقاومت ویژه در برداشت های مختلف را نسبت به مدل مربوط به برداشت اول

نشان می‌دهد. در برداشت دوم در سه قسمت تغییرات مقاومت مشاهده می‌شود. این تغییرات در فاصله ۱۱۲/۵ متری تا ۱۷۵ متری روی مدل در عمق ۴۱/۵ متری تا ۸۰ متری ایجاد شده است و بیشترین تغییر ایجاد شده در این مدل در فاصله ۱۱۲/۵ متری تا ۱۵۰ متری می‌باشد. بازه عمقی تقریبی بین ۴۳ تا ۵۳ متر می‌باشد. با در نظر گرفتن مدل ۲۴-۴ بخوبی می‌توان دید که آلودگی در برداشت دوم در قسمت فوق بیشتر شده است (مقدار مقاومت ویژه ظاهری کمتر شده است). دو قسمت دیگر که در نواحی سطحی شکل مربوط به این برداشت قرار دارند با توجه به مدل در نظر گرفته، دارای افزایش مقاومت ویژه می‌باشند که شاید بخاطر خشک بودن این نواحی نسبت به مدل قبلی باشد و این نواحی در فواصل ۱۷۵ تا ۲۰۰ متری و در فاصله ۳۶۵ تا ۳۲۵ متری دیده می‌شوند. در هر دو ناحیه تغییرات ایجاد شده بالای ۱۵۰ درصد می‌باشد و دارای عمق ۲۷ متر می‌باشد. مدل دوم در شکل ۲۵-۴ که تغییرات نشان داده شده در برداشت سوم را نسبت به برداشت اول به نمایش می‌گذارد، نشان دهنده یک زون با تغییرات زیاد مقاومت ویژه است. این زون که دارای تغییرات بیشتری نیز می‌باشد، در فاصله ۱۱۲/۵ متری تا ۲۰۰ متری روی پروفیل قرار دارد. این زون بین عمق‌های ۴۰ متری تا ۶۰ متری قابل رویت است. درصد تغییرات مقاومت ویژه در این قسمت بسیار زیاد و در حدود ۱۲۰۰ درصد می‌باشد. با استفاده از مدل به دست آمده در شکل ۲۵-۴ می‌توان دید که آلودگی ایجاد شده در برداشت سوم نسبت به مدل ارائه شده در برداشت اول دارای گسترش جانبی بیشتر بطرف راست و مرکز پروفیل و عمق قرارگیری بیشتری می‌باشد.

در شکل ۲۵-۴ تغییرات ایجاد شده در برداشت چهارم را نسبت به برداشت اول به نمایش می‌گذارد. مدل نشان دهنده یک زون با تغییر مقاومتی خیلی زیاد در فاصله ۱۷۵ متری تا ۲۷۵ متری می‌باشد. عمق آغازی این تغییرات چیزی در حدود ۴۵ متر و زون آلوده در حد فاصل بازه عمقی ۶۵ تا ۱۱۰ متری قرار گرفته است. با در نظر گرفتن شکل ۴-۴ بخوبی می‌توان دید که آلودگی در نظر گرفته شده در مدل اول کاملاً از ناحیه مورد نظر حرکت کرده است و به اعمق بیشتر رفته است. بنظر میرسد عامل بارندگی متناوب و همچنین تغییر سطح سفره آب و جهت شیب منطقه عامل تغییرات ایجاد شده در تمامی مدل‌ها می‌باشد.



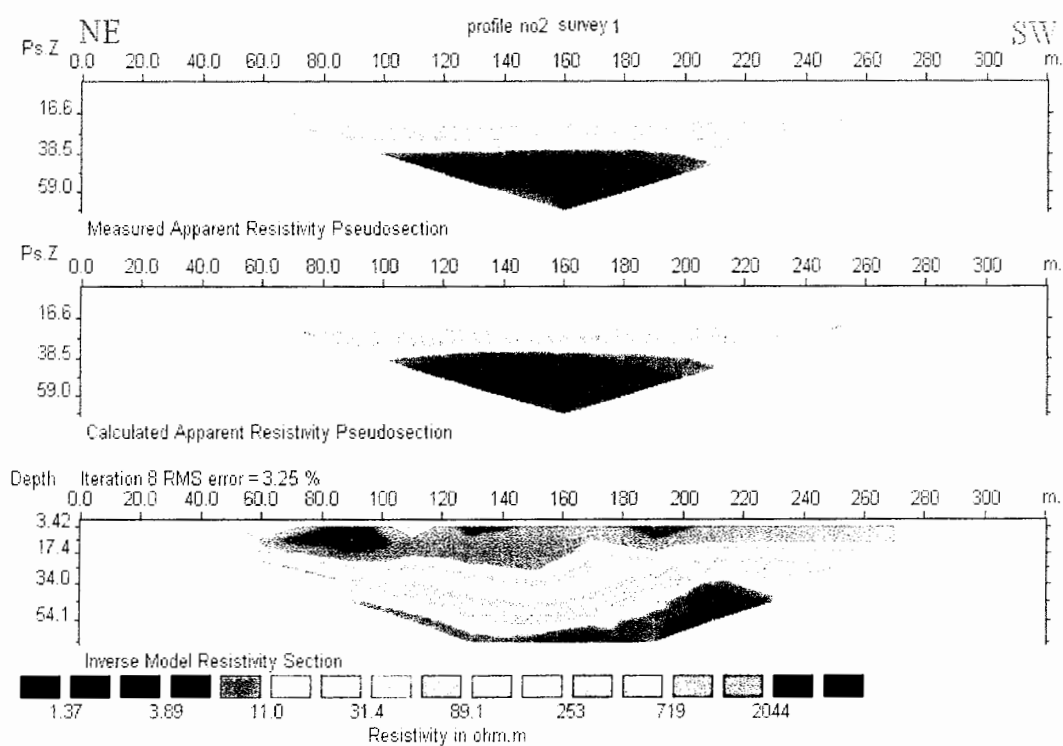
شکل ۴-۲۵-۴- مدل‌های تغییرات مقاومت ویژه در برداشت‌های مختلف نسبت به برداشت اول مربوط به پروفیل ۱

**۲-۸-۴- تفسیر و ارائه مدل‌های پروفیل ۲**

پروفیل دوم نیز همانند پروفیل قبلی با استفاده از آرایه دو قطبی – دو قطبی برداشت گردید. فاصله الکترودها در این پروفیل ۴۰ متر در نظر گرفته شد. برای بررسی تغییرات مقاومت ویژه در ابتدا تصمیم بر این شد که ۴ برداشت در زمانهای مختلف صورت گیرد. ولی متأسفانه بدلیل گسترش دمپ باطله‌ها و دفن باطله‌های جدید برداشت‌های سوم و چهارم امکان پذیر نبود.

**۲-۸-۴-۱- پروفیل ۲ برداشت اول**

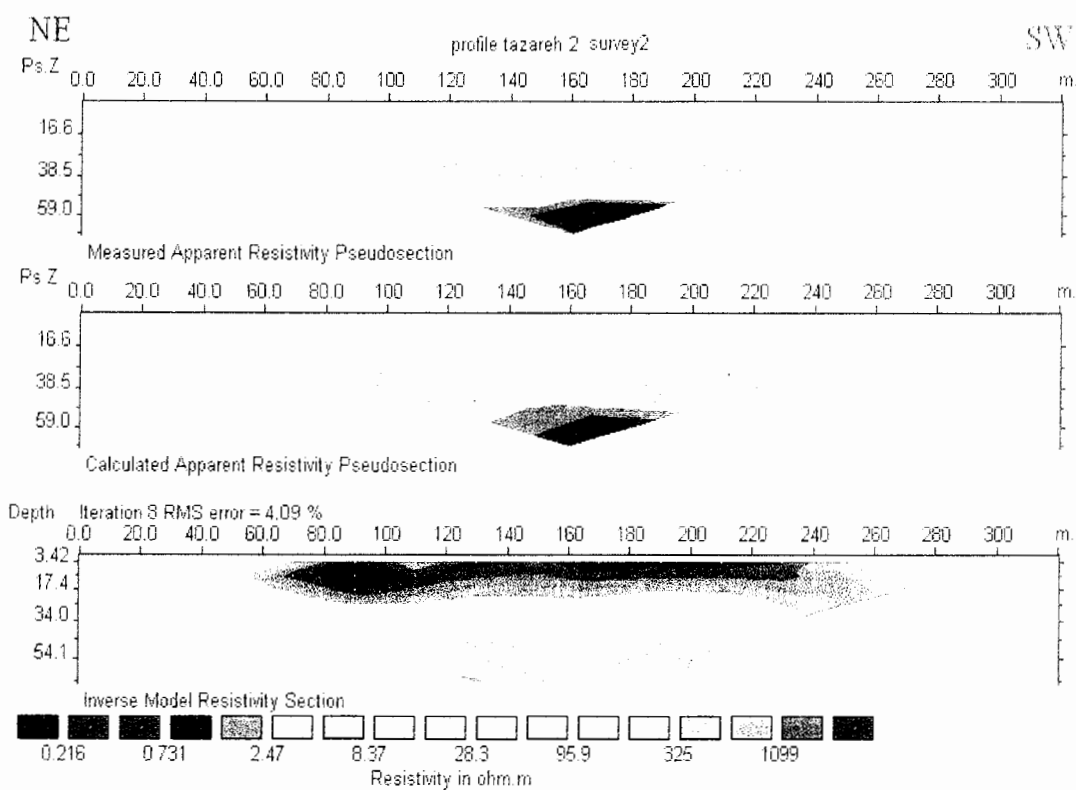
همانطور که در شکل ۲۶-۴ دیده می‌شود روند کاهش مقاومت ویژه از سطح به عمق بخوبی دیده می‌شود. قسمتهای با مقادیر مقاومت ویژه بالا با رنگ‌های قهوه‌ای تا سبز روشن در مدل نشان داده شده است. در حد فاصل ۹۰ تا ۳۰۰ متری روی مدل زون هادی ناشی از آلودگی احتمالی در بازه عمقی ۴۵ تا ۵۵ متری دیده می‌شود. این قسمت با رنگ آبی روشن تا آبی تیره و با مقاومت ویژه کم (زیر ۱۰) اهم مترا مشخص شده است. قابل ذکر است که خطای مدل‌سازی کمتر از  $3/25$  درصد می‌باشد.



شکل ۲۶-۴- مقاطع از بالا به پایین عبارتند از: شبه مقطع مقاومت ویژه ظاهری اندازه گیری شده، شبه مقطع مقاومت ویژه ظاهری محاسبه شده و مدل معکوس پروفیل ۲ مربوط به برداشت اول

#### ۲-۸-۴- پروفیل ۲ برداشت دوم

همانطور که در شکل ۲۷-۴ دیده می شود، روند کاهش مقاومت ویژه از سطح به عمق بخوبی دیده می شود. قسمتهای با مقاومت ویژه بالا می باشد با رنگهای قهوه ای تا سبز روشن در مدل نشان داده شده است. در حد فاصل ۹۰ تا ۱۴۰ متری روی مدل، زون حاوی آبودگی در عمق تقریبی ۴۵ متری دیده می شود. این قسمت با رنگ آبی روشن تا آبی تیره و با مقاومت ویژه کم زیر ۱۰ اهم متر مشخص شده است. البته به نظر می رسد که آبودگی از منطقه مورد نظر حرکت کرده و به اعمق بیشتری راه یافته است. همانگونه که شکل ۲۷-۴ نشان می دهد خطای مدل سازی ۴/۰۹ درصد محاسبه شده است.

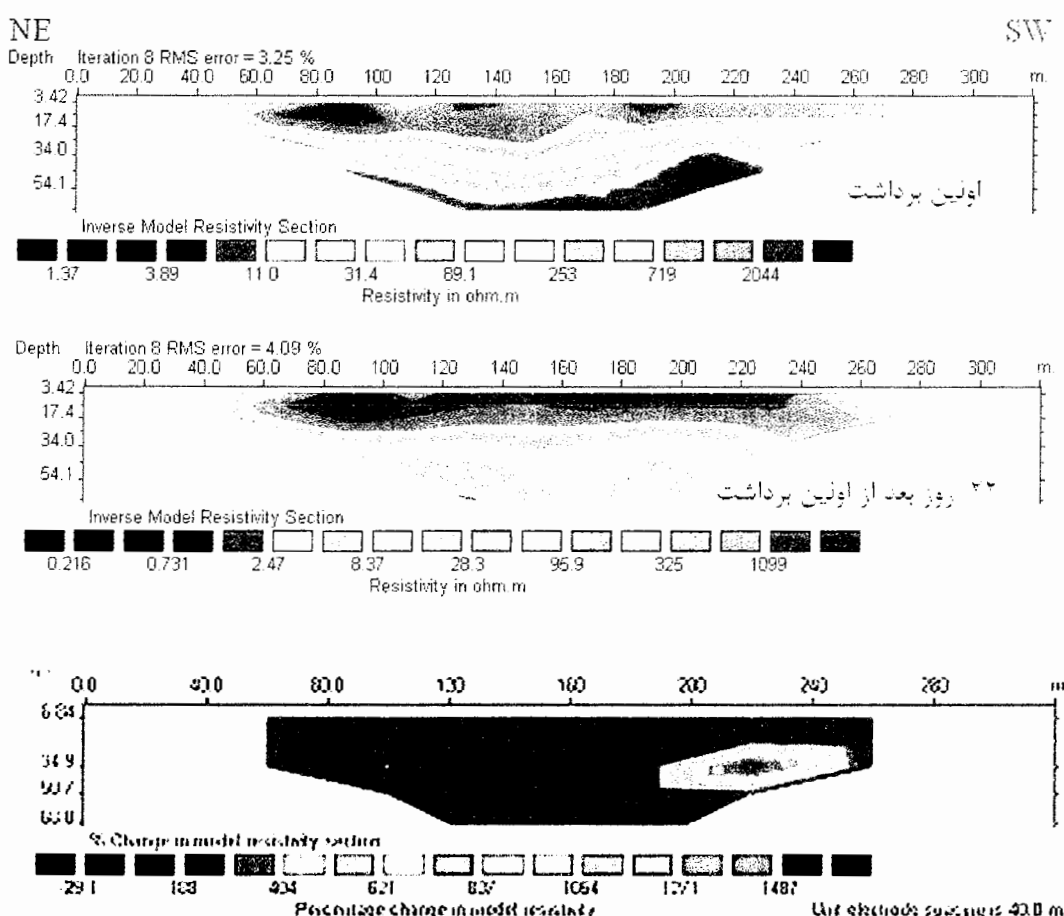


شکل ۴-۲۷- مقاطع از بالا به پایین عبارتند از: شبیه مقطع مقاومت ویژه ظاهری اندازه گیری شده، شبیه مقطع مقاومت ویژه ظاهری محاسبه شده و مدل معکوس پروفیل ۲ مربوط به برداشت دوم

### ۳-۸-۴- معکوس سازی داده های مقاومت ویژه پروفیل ۲ با استفاده از روش Time-Laps

با توجه به شکل ۲۸-۴ به نظر می رسد که مدل دوم نسبت به مدل اول دارای تغییرات بسیار زیادی است. قسمتهای سطحی افزایش مقاومت ویژه را نشان می دهند. آلوگی ایجاد شده در مدل اول از منطقه مورد نظر حرکت کرده و یا به اعماق بیشتر حرکت نموده است. در قسمت پایین شکل ۲۸-۴ درصد تغییرات مقاومت ویژه مدل دوم نسبت به مدل اول ارائه شده است. کل مدل به مقدار زیادی دچار تغییر شده است ولی میزان تغییرات مقاومت در فاصله ۱۸۰ متری تا ۲۵۰ متری روی پروفیل و عمق ۳۵

متري نسبت به کل مدل زياد بوده که احتمالاً اين امر بخاطر می باشد که بخاطر حرکت آلودگی و يا راه يافتن آن به عمق بيشتر می باشد. بحث و نتيجه گيري بيشتر روی مدلها همراه با سایر اطلاعات در فصل پيانى مى آيد.



شكل ۲۸-۴- مدلهاي معکوس مقاومت ويژه و درصد تغييرات مقاومت ويژه در مدل دوم نسبت به برداشت اول

## فصل پنجم

نمونه برداری و تعیین درصد پیریت

باقیمانده در باطله

## ۱- نمونه برداری

انتخاب نمونه ها و انجام عملیات نمونه برداری نقش مهمی در آزمایشها و تفسیر نتایج بازی می کند. نمونه ها براساس حجم سنگها و مشخصات آنها و با توجه به قسمتهای قابل معدنکاری و زمین شناسی محل معدن، انتخاب می گردد. در مورد باطله های فرآوری، نمونه باید از عمق های مختلف گرفته شود تا مشخص گردد آیا فرآیند اکسیداسیون روی پیریت همراه زغال رخ داده است یا نه؟ بهترین روش جمع آوری نمونه ها از باطله، حفاری از نقاط مختلف کپه های باطله می باشد [انجمن حمایت از محیط زیست آمریکا (EPA)، ۱۹۹۴]. با توجه به عدم امکان حفاری و محدودیتهای موجود در منطقه، به منظور نمونه برداری از یک دستگاه لودر استفاده گردید. نمونه برداری در محل انباشت باطله جیگ قدیمی در سه محل روی دمپ باطله صورت گرفته است. انجام نمونه برداری، به صورت دستی و به گونه ای صورت گرفت که نمونه ها به صورت معروف<sup>۱</sup> باشند. نمونه های برداشت شده هر کدام دارای وزنی به میزان حداقل یک کیلوگرم بودند و در هر نقطه، نمونه های برداشت شده مربوط به عمق های متفاوت از یکدیگر بودند. به منظور جلوگیری از اختلاط نمونه ها، نمونه های برداشت شده داخل کيسه های

1- Representative sample

دربسته قرار گرفتند. مشخصات مربوط به تعداد نمونه ها و عمق نمونه گیری در جدول ۱-۵ آورده شده است.

مراحل انجام نمونه برداری و آنالیز مربوط به تعیین درصد پیریت باقیمانده در نمونه های گرفته شده از اعماق مختلف در شکل ۱-۵ نشان داده شده است.

جدول ۱-۵ - مشخصات نمونه های برداشت شده

نقطه ۳		نقطه ۲		نقطه ۱	
تعداد	عمق نمونه (m)	تعداد	عمق نمونه (m)	تعداد	عمق نمونه (m)
۱	سطحی	۱	سطحی	۱	سطحی
۱	۰/۲	۱	۰/۲	۱	۰/۲
۱	۰/۵۰	۱	۰/۵۰	۱	۰/۵۵
۱	۱/۱	۱	۱/۱	۱	۱/۱
۱	۱/۵	۱	۱/۵	۱	۱/۵
۱	۱/۶۵	۱	۱/۶	۱	۱/۷۵

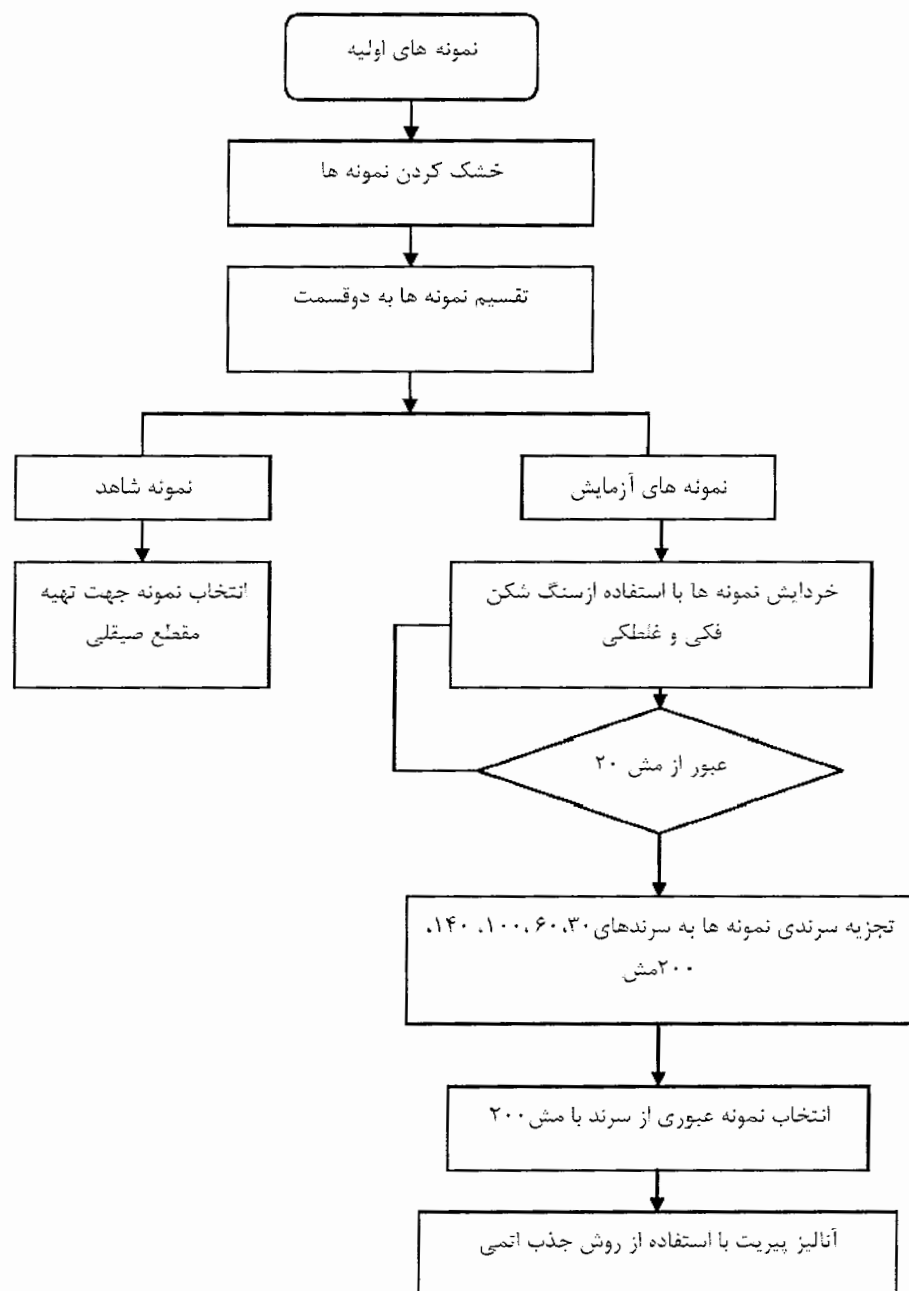
### ۱-۱-۵ - آماده سازی نمونه ها

نمونه های گرفته شده از منطقه به آزمایشگاه کانه آرائی دانشگاه صنعتی شهرد منقول گردید.

مراحل آماده سازی نمونه ها به قرار زیر است.

### ۱-۱-۱-۵ - خشک کردن نمونه ها

جهت خشک کردن نمونه های اولیه، به مدت ۲ روز در دسیکاتور با دمای  $105^{\circ}\text{C}$  قرار گرفت.



شکل ۱-۵ - فلوچارت مراحل آماده سازی نمونه ها و آنالیز پیریت موجود در آنها

**۲-۱-۱-۵- تقسیم نمونه ها**

نمونه های خشک شده به دو قسمت تقسیم گردید:

الف- نمونه های آزمایش

ب- نمونه های شاهد

**۳-۱-۱-۵- خردايش**

به منظور انجام تجزیه آزمایش شیمیایی به روش جذب اتمی<sup>۱</sup>، تعیین میزان پیریت باقیمانده در نمونه ها و تهیه مقطع صیقلی، نمونه های آزمایش با استفاده از سنگ شکن فکی و غلطکی طوری خرد شدند تا همگی ذرات نمونه از سرند ۲۰ مش عبور کنند. خردايش به نحوی انجام شد که حداقل نرمه تولید گردد [عبداللهی و همکار، ۱۳۸۳].

**۴-۱-۱-۵- تجزیه سرندي**

جهت تجزیه سرندي از سرندهای ۳۰، ۶۰، ۱۰۰، ۱۴۰ و ۲۰۰ مش استفاده گردید. برای این منظور نمونه خرد شده در حالت قبل، به مدت ۱۵ دقیقه بر روی شیکر قرار گرفت. سپس نمونه های قرار گرفته در روی هر سرند، توزین گردید و درصد قرارگیری نمونه ها محاسبه گردید. جداول ۴-۵ تا ۴-۵ نتایج تجزیه سرندي نمونه های برداشت شده از دمپ باطله را نشان می دهند.

1 -Atomic absorption method

فصل پنجم

نمونه برداری و تعیین درصد پیریت باقیمانده در باطله

جدول ۵-۲- نتایج تجزیه سرندي نمونه برداشت شده از نقطه ۱

عمق نمونه برداشت شده نقطه ۱ (متر)						دهانه سرندي (مش)
۱/۷۵	۱/۵	۱/۱	۰/۵۵	۰/۲۰	سطحی	
درصد قرار گیری نمونه ها بروی سرند (%)						
۲۰/۵۲	۲۳/۹۱	۲۲/۱۶	۲۶/۲۵	۲۶/۲۱	۲۲	+۳۰
۳۳/۳۹	۳۲/۰۵	۳۱/۴۹	۳۷/۲۸	۳۵/۱۲	۳۴	+۶۰
۲۶/۸۲	۲۵/۱۷	۱۷/۵۴	۲۶/۳۹	۱۸/۲۵	۲۰/۱۰	+۱۰۰
۶/۱۳	۷/۱۸	۱۱/۲۵	۵/۸۱	۶/۰۵	۱۱/۳	+۱۴۰
۴/۶۲	۶/۵۸	۶/۶۶	۲/۵۷	۴/۵۶	۶/۶	+۲۰۰
۸/۵۲	۵/۱۱	۱۰/۹	۱/۷	۹/۹۱	۶	-۲۰۰

جدول ۵-۳- نتایج تجزیه سرندي نمونه برداشت شده از نقطه ۲

عمق نمونه برداشت شده نقطه ۲ (متر)						دهانه سرندي (مش)
۱/۶۵	۱/۵	۱/۱	۰/۵۰	۰/۲۰	سطحی	
درصد قرار گیری نمونه ها بروی سرند (%)						
۳۰/۸۸	۳۰/۲۵	۲۳/۰۸	۲۶/۰۶	۲۴/۴۱	۲۸/۱۶	+۳۰
۲۳/۷۶	۲۵/۰۴	۴۰/۰۹	۳۱/۶۸	۳۳/۸۹	۲۹/۴۱	+۶۰
۲۴/۲۶	۲۵/۸۱	۱۶/۱۸	۱۷/۱۱	۱۶/۴۵	۲۰/۵۸	+۱۰۰
۶/۵۵	۶/۶۶	۸/۷	۱۰/۱	۸/۶۹	۸/۸۶	+۱۴۰
۶/۰۳	۵/۳۹	۵/۳۵	۵/۹۱	۷/۹۹	۴/۷	+۲۰۰
۸/۵۲	۶/۸۵	۶/۶	۹/۱۱	۸/۵۸	۸/۲۹	-۲۰۰

جدول ۴-۵- نتایج تجزیه سرندي نمونه برداشت شده از نقطه ۳

عمق نمونه برداشت شده نقطه ۳ (متر)						دهانه سرندي (مش)
۱/۶۵	۱/۵	۱/۱	۰/۵۰	۰/۲۰	سطحی	
درصد قرار گیری نمونه ها بروی سرند (%)						
۲۲/۲۵	۲۴/۸۵	۱۹/۹	۲۹/۵۶	۳۱/۳۸	۲۷/۹۶	+۳۰
۳۱/۶۴	۲۴/۲۶	۳۱/۸۸	۲۴/۱۴	۲۴/۹۸	۳۲/۰۵	+۶۰
۱۷/۴۷	۱۸/۹۲	۱۶/۴	۱۹/۹۹	۱۸/۸۸	۱۵/۱۳	+۱۰۰
۱۰/۰۸	۱۰/۴۷	۱۰/۰۵	۷/۳۸	۹/۱۲	۸/۷۹	+۱۴۰
۹/۰۵	۶/۹۶	۶/۵۷	۶/۳۴	۶/۳۸	۵/۴۷	+۲۰۰
۹/۵۱	۱۴/۵۴	۱۵/۲	۱۲/۵۹	۹/۲۶	۱۰/۶	-۲۰۰

**۵-۱-۱-۵- انتخاب نمونه جهت تعیین میزان پیریت باقیمانده**

برای این منظور از نمونه های معرف زیر سرند ۲۰۰ مش برای آنالیز و تعیین درصد میزان پیریت

باقیمانده در نمونه ها استفاده گردیده است.

**۵-۲- روش های تعیین میزان پیریت**

برای محاسبه مقدار پیریت و بررسی کمی و کیفی میزان تغییرات آن در اعماق مختلف از دو روش

متفاوت استفاده گردید.

- ۱- بررسی کمی تعیین میزان پیریت با استفاده از آنالیز شیمیایی به کمک روش جذب اتمی
- ۲- بررسی کیفی تعیین میزان پیریت با استفاده از تهیه مقاطع صیقلی و مشاهده پیریت در زیر نور

انعکاسی

**۵-۲-۱- تعیین نوع سولفور**

همانطور که قبل اشاره شد سولفور به سه شکل می تواند در زغال سنگ وجود داشته باشد:

۱- سولفور غیر ارگانیکی

۲- سولفور پیریتی ( $FeS_2$ )

۳- سولفور ارگانیکی

*ASTM* و *ISO* روش های استانداردی برای تعیین سولفور ارگانیکی ارائه کرده اند که از نظر اصولی

مشابه یکدیگر می باشند. در هر دو روش پیشنهادی برای خارج کردن سولفور غیر ارگانیکی که به صورت

سولفات می باشد از اسید رقیق کلریدریک استفاده شده است و برای سولفور که به صورت پیریت در

زغال وجود دارد از اسید نیتریک رقیق استفاده می شود و برای تعیین سولفور ارگانیکی از رابطه زیر

استفاده می کنند [اصانلو، ۱۳۷۸]:

$$S_O = S_t - (S_{NO} + S_P) \quad (1-5)$$

که در رابطه بالا:

$S_O$ : مقدار سولفور ارگانیکی که بعضاً تا ۱۰ درصد کل سولفور را تشکیل می دهد

$S$ : کل سولفور موجود در زغال اعم از سولفور ارگانیکی، به صورت پیریت و سولفات

$S_{NO}$ : سولفور غیر ارگانیکی که به صورت سولفات ظاهر می شود.

$S_P$ : سولفور که به صورت پیریت در زغال وجود دارد.

آنچه که برای ما از اهمیت زیادی برخوردار است میزان پیریت موجود در باطله های زغال سنگ

می باشد. برای تعیین گوگرد پیریتی می توان از دستورالعمل های  $2792$  *ASTM* و  $157$  *ISO* استفاده

نمود [اصانلو، ۱۳۷۸]. در روش پیشنهادی با دستورالعمل ISO157 حدود ۰/۵ گرم نمونه آزمایشگاهی را که به صورت نرمه درآمده است (از سرند ۰/۰۲ میلیمتر گذشته باشد) را ابتدا در کوره با دمای  $105^{\circ}\text{C}$  خشک و سپس آن را به منظور ایجاد فعل و انفعالات شیمیائی در داخل فلاسک مخصوص به همراه اتانول<sup>۱</sup>، ۱۵ گرم روی و ۰/۱ گرم کروم قرار می‌دهند. ترکیبات فوق الذکر را به گونه‌ای داخل فلاسک قرار می‌دهند که فضای براز و مواد وجود داشته باشد. بر روی این ترکیب داخل فلاسک یک ظرف قیفی شکل که داخل آنرا با اسید کلریدریک پر کرده اند جای می‌دهند به گونه‌ای که امکان اضافه کردن مقدار کمی اتانول وجود داشته باشد. سپس سیستم را به کپسول حاوی دی اکسید کربن وصل می‌کنند و اجزا داده می‌شود تا اسید کلریدریک با محتوی فلاسک به مدت ۱۰ دقیقه فعل و انفعال انجام دهد. بعد از ۱۵ تا ۲۰ دقیقه که از این مرحله گذشت و تغییرات اساسی و مورد انتظار در هیدروژن پدید آمد، فلاسک توسط دی اکسید کربن تخلیه و همه هیدروژن سولفید را ( $\text{H}_2\text{S}$ ) از سیستم خارج می‌کنند. سپس با استفاده از تعیین میزان سولفور در پیریت آزمایش را ادامه می‌دهند.

امروزه ASTM به دلیل طولانی بودن آزمایش به روش بالا، روش جذب اتمی را پیشنهاد می‌کند [عبداللهی و همکار، ۱۳۸۳]. در این روش همانطور که در بالا اشاره شد، بر این اساس استوار است که سولفاتها بر خلاف پیریت در اسید کلریدریک رقیق حل می‌شوند و با استفاده از اسید نیتریک رقیق می‌توان پیریت را به صورت محلول از زغال سنگ خارج نمود. با اندازه گیری میزان آهن موجود در محلول به روش جذب اتمی می‌توان میزان پیریت را محاسبه نمود [عبداللهی و همکار، ۱۳۸۳].

1- Ethanol

**۲-۲-۵- نحوه انجام آنالیز**

الف- انتخاب نمونه

ب- آماده سازی محلولها

ج- اندازه گیری میزان آهن با استفاده از دستگاه جذب اتمی

د- تعیین میزان پیریت با استفاده از میزان آهن موجود در فاز گوگردی

**۲-۲-۱- انتخاب نمونه**

همانطور که قبلاً اشاره شد، نمونه های معرف به میزان  $0/2$  گرم از نمونه عبوری سرند  $200$  مش

(زیر  $75$  میکرون) از نمونه های آماده سازی شده، انتخاب گردید. باید توجه کرد که این نمونه ها شامل

تمامی نمونه های آماده سازی شده مربوط به اعمق مختلف است که در مراحل قبل از نقاط  $1$ ،  $2$  و  $3$

أخذ شده‌اند.

**۲-۲-۲- آماده سازی محلولها**

هر یک از نمونه های معرف  $0/2$  گرمی اخذ شده در مرحله قبل در محلولی که شامل  $10$  میلی

لیتر اسید کلریدریک غلیظ ( $37$  درصد حجمی) و  $15$  میلی لیتر آب مقطر است ریخته، تا زمان رسیدن به

حجم  $10$  میلی لیتر مخلوط حاصل حرارت داده شد. این کار به این خاطر صورت می گیرد که تمام نمونه

در اسید کلریدریک حل شده باشد. سپس رسوبات حل نشده با استفاده از کاغذ صافی جدا شده و آنها را

با  $20$  میلی لیتر آب شستشو می دهند. سپس رسوب حاصل در محلولی که از  $7$  میلی لیتر اسید نیتریک

غلیظ(۶۵ درصد وزنی) و ۵۰ میلی لیتر آب می باشد قرار داده می شود. مخلوط حاصل را به کمک شعله چراغ به مدت ۵۰ دقیقه حرارت داده تا اطمینان حاصل گردد که تمامی پیریت موجود در زغال حل شده باشد. ناخالصی های حل نشده بر روی کاغذ صافی با استفاده از قیف شیشه ای جدا می گردد. محلول موجود در زیر کاغذ صافی که حاوی آهن می باشد را در بالن ژوژه به حجم ۱۰۰ میلی لیتر می رسانند تا با استفاده از دستگاه جذب اتمی مقدار آهن اندازه گیری شود. باید توجه داشت که این کار برای تمامی نمونه های گرفته شده از اعمق مختلف در نقاط ۱، ۲ و ۳ انجام شده است.

#### ۳-۲-۲-۵- اندازه گیری میزان آهن با استفاده از دستگاه جذب اتمی

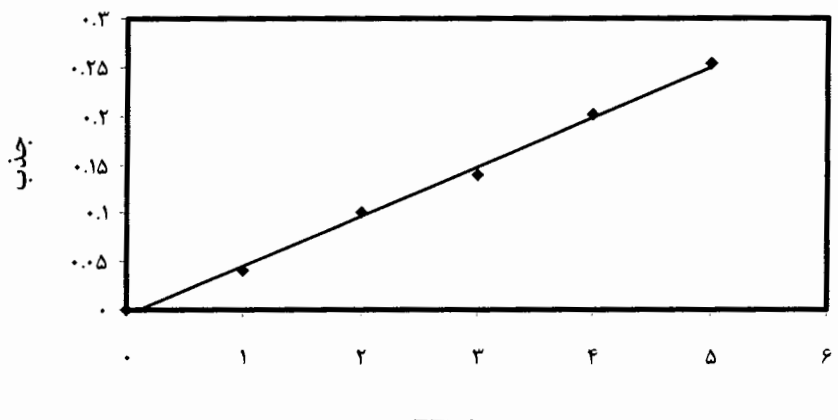
شرط لازم برای تولید طیفهای فرابنفش یا مرئی عناصر این است که نمونه های آزمایشی به اتم تبدیل شوند. در این فرآیند، اجزای تشکیل دهنده نمونه آزمایشی تجزیه شده و به ذرات بنیادی گازی (اتمهای یا یونها) تبدیل می شوند. سپس، طیف جذبی، نشری، یا فلئورسانس اتمها یا یونهای حاصل به عنوان مبنای تجزیه کیفی و کمی عناصر موجود در نمونه به کار می روند. در روش جذب اتمی، اتم سازی در شعله، یا بر روی سطحی که به طریق الکتریکی داغ می شود، صورت می گیرد. سپس بخار حاصل از نمونه آزمایشی وارد مسیر طیف نور می شود. در این حالت، محل و موقعیت خطوط جذبی برای شناسایی اجزای سازنده نمونه آزمایشی به کار می رود. جذب یک خط، معمولاً با غلظت گونه جاذب متناسب است.

خطوط جذب اتمی، به طور قابل ملاحظه ای باریک هستند و برای هر عنصری اختصاصی هستند، از این رو عامل بالقوه برای این ویژگی خیلی بالاست. برای هر عنصر (یا برخی اوقات، گروهی از عناصر)، یک

منبع لامپ جداگانه مورد نیاز است. دستگاه جذب اتمی نیز باید از توان فراهم کردن پهنهای نوار به قدر کافی برخوردار باشد. دلیل این امر آن است که خط انتخاب شده جهت اندازه گیری، از سایر خطوطی که ممکن است تداخل کنند یا حساسیت تجزیه را کاهش دهند، به میزان مطلوبی تفکیک گردد [سلاجقه و همکار، ۱۳۷۰].

#### ۴-۲-۲-۵- انجام آنالیز جذب اتمی

ابتدا محلولهایی با غلظت معین از آهن شامل ۱، ۲، ۳، ۴ و ۵ ppm تهیه گردید و مقدار جذب آنها توسط دستگاه جذب اتمی اندازه گیری شد، پس از آن نمودار بین غلظت و جذب به صورت خطی به دست آمد (شکل ۲-۵).



شکل ۲-۵- نمودار خطی غلظت - جذب آهن جهت تجزیه پیریت با دستگاه جذب اتمی

سپس جذب محلولهای آماده شده نمونه ها اندازه گیری شد و با استفاده از نمودار خطی، غلظت آهن آنها تعیین شد که نتایج مربوط به آنالیز مقدار آهن نمونه های تهیه شده در نقاط ۱ تا ۳ در جدول ۵-۵ تا

۷-۵ آورده شده است.

### ۵-۲-۲-۵- تعیین میزان پیریت با استفاده از میزان آهن موجود در فاز گوگردی

با توجه به مقدار آهن بدست آمده در فاز گوگردی می‌توان میزان پیریت را محاسبه نمود. مقادیر

پیریت در نمونه‌های گرفته شده از دپوی زغال سنگ در جداول زیر آورده شده است:

جدول ۵-۵- مقدار نمونه، آهن و درصد پیریت موجود در نمونه ۱

درصد پیریت باقیمانده	مقدار پیریت باقیمانده (mgr)	مقدار $\text{Fe}^{+2}$ (m gr)	مقدار $\text{Fe}^{+2}$ (ppm)	نمونه (عمق بر حسب متر)
۱/۶۵	۳/۷۷	۱/۷۵	۲/۴۶	.
۱/۶۴	۳/۲۸	۱/۵۷	۲/۲	۰/۲
۱/۴۲	۲/۰۲	۰/۹۴	۱/۳۲	۰/۵۵
۱/۸۱	۳/۵۴	۱/۶۵	۲/۳۱	۱/۱
۱/۷۳	۳/۱۴	۱/۴۱	۱/۹۸	۱/۵۰
۱/۷۵				۱/۷۵

جدول ۵-۶- مقدار نمونه، آهن و درصد پیریت موجود در نمونه ۲

درصد پیریت باقیمانده	مقدار پیریت باقیمانده (mgr)	مقدار $\text{Fe}^{+2}$ (mgr)	مقدار $\text{Fe}^{+2}$ (ppm)	نمونه (عمق بر حسب متر)
۰/۸۷	۱/۸	۰/۸۴	۱/۱۷	.
۱/۱	۲/۸	۱/۳۳	۱/۸۷	۰/۲
۱/۴۱	۲/۷	۱/۲۹	۱/۶۸	۰/۵
۱/۴۶	۳/۶	۱/۶۹	۲/۳۱	۱/۱
۱/۶۴	۵/۹	۲/۷۷	۳/۸۸	۱/۵۰
۱/۶۴	۵/۹۵	۲/۸	۳/۹	۱/۶

جدول ۵-۷- مقدار نمونه، آهن و درصد پیریت موجود در نمونه ۳

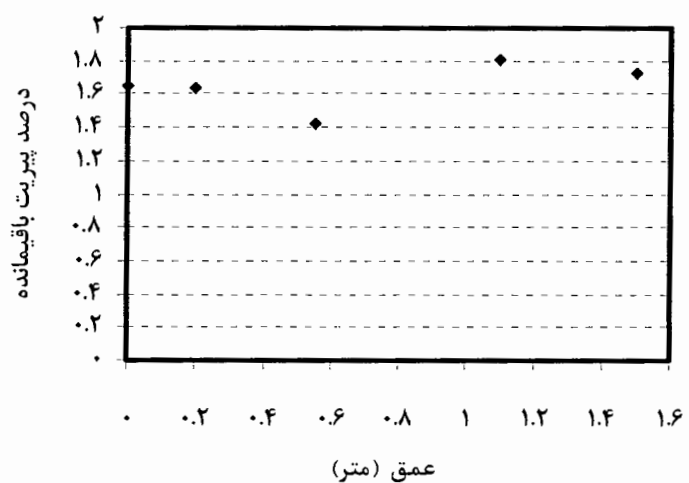
## فصل پنجم

### نمونه برداری و تعیین درصد پیریت باقیمانده در باطله

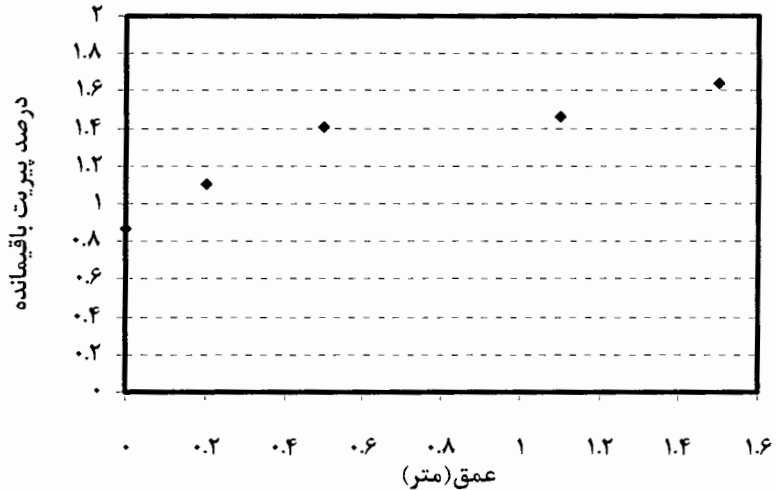
درصد پیریت باقیمانده	مقدار پیریت باقیمانده (mgr)	$\text{Fe}^{+3}$ مقدار (mgr)	$\text{Fe}^{+3}$ مقدار (ppm)	عمق نمونه (بر حسب متر)
۱	۲/۵	۱/۱۶	۱/۶۳	۰
۱/۳۲	۲/۷۵	۱/۲۹	۱/۸۱	۰/۲
۱/۵۳	۲/۷	۱/۲۷	۱/۷۹	۰/۵۰
۱/۶	۲/۸۸	۱/۳۴	۱/۸۸	۱/۱
۱/۶۲	۳/۷	۱/۷۲	۲/۴۱	۱/۵۰

نتایج به دست آمده از میزان پیریت در نمونه باطله زغال با توجه به عمق نمونه برداری در شکل‌های ۳-۵ و

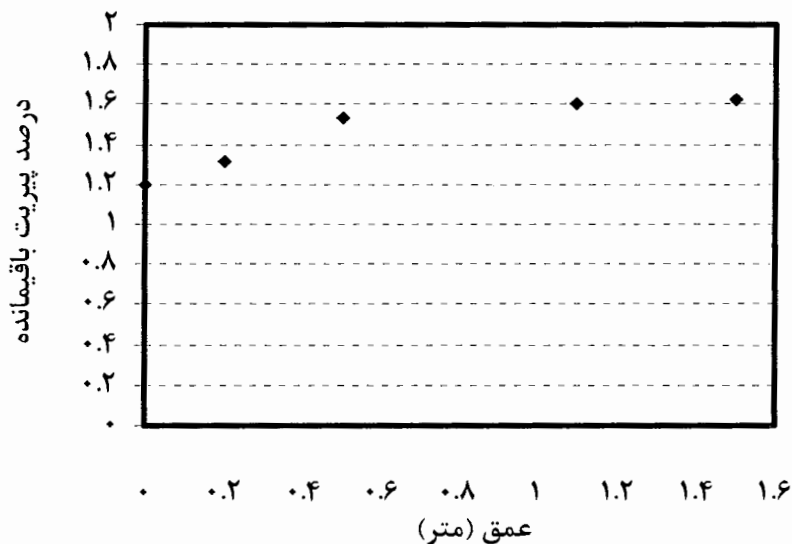
۴-۵ و ۵-۵ نشان داده شده اند:



شکل ۳-۵- تغییرات درصد پیریت باقیمانده نسبت به عمق در نمونه ۱



شکل ۴-۵- تغییرات درصد پیریت باقیمانده نسبت به عمق در نمونه ۲

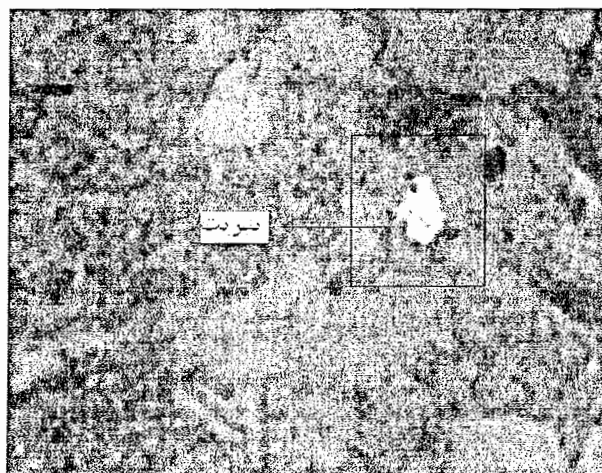


شکل ۵-۵- تغییرات درصد پیریت باقیمانده نسبت به عمق در نمونه ۳

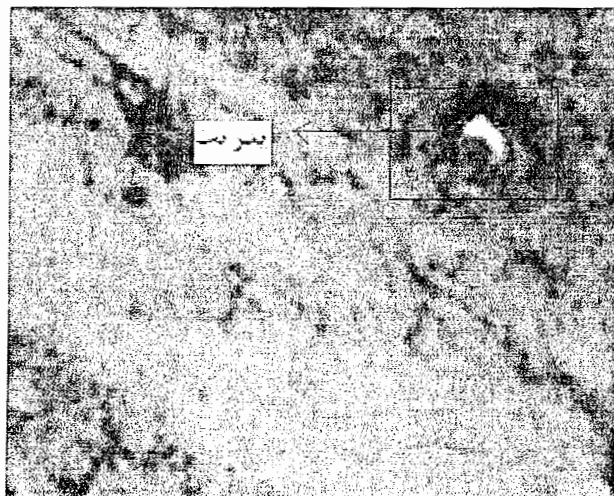
همانطور که در شکل های ۳-۵ تا ۵-۵ دیده می شود درصد پیریت کمتری در سطح باطله ها باقی می ماند و هر چقدر عمق باطله زیاد شود، میزان پیریت به تدریج افزایش یافته و پس از رسیدن به مقدار ماکزیمم به صورت ثابت در می آید. این روند افزایش درصد پیریت باقیمانده نسبت به عمق در مورد نمونه های ۲ و ۳ به خوبی دیده می شود. در مورد نمونه اول این روند منطقی دقیقاً قابل پیگیری نمی باشد. دلیل این امر شاید از اختلاط نمونه های گرفته شده در اعمق مختلف نمونه برداری و یا مربوط به خطای آزمایش ناشی شده باشد. با توجه به اینکه آزمایشات مربوط به کیفیت تعیین درصد پیریت توسط دستگاه جذب اتمی تکرار گردید، احتمال مربوط به خطای آزمایش حداقل می باشد. در این نمونه، میزان پیریت در سطح  $1/6$  درصد و ماکزیمم مقدار آن  $1/8$  در عمق  $1/1$  متری می باشد. با افزایش عمق از  $1/1$  متر تا  $1/75$  متر، کاهش درصد پیریت باقیمانده از  $1/8$  درصد به  $1/75$  درصد مشاهده می شود. در نمونه دوم، میزان پیریت در سطح  $1/87$  که کمترین مقدار آن می باشد و میزان ماکزیمم پیریت در عمق  $1/5$  متری و به میزان  $1/64$  درصد می رسد و پس از آن تقریباً روند ثابتی را طی می کند. در مورد نمونه سوم، درصد پیریت باقیمانده در نمونه سطحی  $1/2$  درصد بوده با ادامه افزایش عمق تا  $1/1$  متر این درصد به  $1/65$  افزایش یافته و پس از آن عمق تقریباً روند ثابتی را نشان می دهد. علت اینکه درصد پیریت باقیمانده در نمونه های سطحی در سه نقطه متفاوت هستند این است که احتمالاً باطله ها در این نقاط در زمان های متفاوت ریخته شده اند.

### ۳-۵- تهیه مقاطع صیقلی و مشاهده پیریت در زیر نور انعکاسی

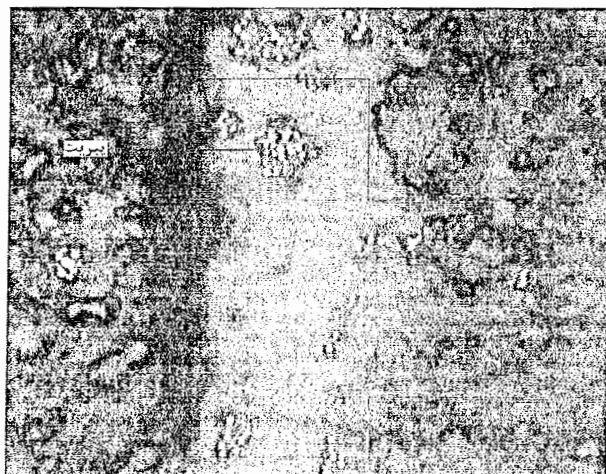
به منظور بررسی کیفی میزان پیریت از نمونه های اخذ شده، مقطع صیقلی نیز تهیه شد و برای انجام مطالعات بیشتر، در زیر نور انعکاسی مورد بررسی قرار گرفت. مقاطع تنها برای نمونه سوم و مربوط به اعماق نمونه برداری سطحی،  $0/5$  متری و  $1/5$  متری تهیه شد. تصاویر تهیه از مقاطع در شکل های ۶-۵ تا ۸-۵ آورده شده است.



شکل ۶-۵- تصویر مقطع صیقلی مربوط به نمونه ۳ که از سطح تهیه شده است و کانی پیریت به وضوح در آن دیده می شود. تصویر با بزرگنمایی  $\times 200$  گرفته شده و میزان پیریت کمتر از ۱ درصد است.



شکل ۷-۵- تصویر مقطع صیقلی مربوط به نمونه ۳ که از عمق ۰/۵ متر تهیه شده است و کانی پیریت به وضوح در این شکل نیز دیده می شود. تصویر با بزرگنمایی  $\times 200$  گرفته شده و میزان پیریت کمتر از ۱ درصد است.



عکس ۸-۵- تصویر مقطع صیقلی مربوط به نمونه ۳ که از عمق ۱/۵ متر تهیه شده است و کانی پیریت به صورت پراکنده وضوح دیده می شود. تصویر با بزرگنمایی  $\times 200$  گرفته شده و میزان پیریت (۲-۴ درصد) است.

همانطور که در شکل های بالا دیده می شود، هرچقدر عمق نمونه برداری بیشتر می شود، میزان پیریت افزایش نشان می دهد. تصاویر دیگری از مقطع صیقلی در پیوست د آورده شده است.

#### ۴-۵- تعیین نفوذپذیری محل انباشت باطله

به منظور مشخص نمودن معادلات و خصوصیات نفوذ آب به درون دپوی باطله در منطقه آزمایش نفوذپذیری با استفاده از روش اندازه گیری سرعت نفوذ آب به سطح دپو با استفاده از روش استوانه مضاعف<sup>۱</sup> انجام گرفت.

#### ۴-۱- نفوذپذیری<sup>۲</sup>

به نفوذ قائم آب از سطح خاک نفوذپذیری گفته می شود. سرعت نفوذ آب به خاک با گذشت زمان کاهش می یابد و پس از مدتی به حد نسبتاً ثابتی می رسد که به آن سرعت نفوذ پایه<sup>۳</sup> اطلاق می گردد. عوامل زیادی در نفوذپذیری مؤثرند. از جمله این عوامل می توان به بافت، ساخت، رطوبت اولیه، فشردنگی خاک و... اشاره نمود.

به تجربه ثابت شده است که سرعت نفوذ لحظه ای<sup>۴</sup> با زمان رابطه ای نمایی به صورت زیر دارد [استاندارد صنعت آب، ۱۳۶۹]:

$$I = at^n + b \quad (۴-۵)$$

که در آن:

$I$ : سرعت نفوذ لحظه ای بر حسب سانتیمتر در ساعت

: زمان تجمعی یا زمان سپری شده از آغاز آزمایش بر حسب دقیقه

- 
- 1- Double ring method
  - 2- Infiltration
  - 3- Basic infiltration rate
  - 4- Instantaneous infiltration rate

$n, b, a$  : مقادیری هستند که بسته به نوع خاک متفاوت می باشند

مقدار  $n$  می تواند منفی باشد.  $b$  در مدت زمانی کوتاه برابر با صفر بوده و سرعت نفوذ لحظه ای در دراز

مدت به سمت صفر میل می کند.

نفوذ تجمعی یا مقدار کل آب نفوذ یافته از ابتدا تا هر لحظه مشخص را می توان از رابطه زیر به دست آورد

[استاندارد صنعت آب، ۱۳۶۹]:

$$D = ct^m \quad (3-5)$$

که در آن :

$D$  : نفوذ تجمعی آب بحسب سانتیمتر

$t$  : زمان تجمعی بحسب دقیقه

$c, m$  : مقادیری هستند که به نوع خاک بستگی دارند.

باید توجه داشت که:

$$c = \frac{a}{60(n+1)} \quad (4-5)$$

$$m = n + 1 \quad (5-5)$$

همانطوری که گفته شد با گذشت زمان، سرعت نفوذ لحظه ای کاهش یافته و به حد ثابتی می رسد که

به آن سرعت نفوذ پایه گفته می شود. هرگاه میزان تغییرات سرعت نفوذ لحظه ای نسبت به زمان معادل

۱۰ درصد سرعت نفوذ لحظه ای گردد، این سرعت نفوذ را می توان سرعت نفوذ پایه فرض نمود.

بنابراین:

$$\frac{dI}{dt} = \frac{d}{dt}(at^n) = ant^{n-1} = \frac{1}{10} I = \frac{1}{10} at^n \quad (6-5)$$

و یا:

$$t = 10 | n | \quad (7-5)$$

زمان نفوذ پایه با  $t_b$  نشان داده شده و هرگاه بر حسب دقیقه بیان گردد، رابطه فوق به صورت زیر در

می آید :

$$t_b = 600 | n | \quad (8-5)$$

و سرعت نفوذ پایه از رابطه زیر بدست می آید:

$$I_b = at_b^n \quad (9-5)$$

که در رابطه بالا :

$I_b$ : سرعت نفوذ پایه بر حسب سانتیمتر در ساعت است.

#### ۲-۴-۵- بیان توصیفی نفوذپذیری

نفوذ پذیری به صورت کیفی را می توان بر اساس میزان سرعت نفوذ پایه به شرح جدول ۸-۵ طبقه بندی

کرد:

جدول ۵-۸- طبقه بندی توصیفی نفوذ پذیری [استاندارد صنعت آب، ۱۳۶۹]

نفوذ پذیری	سرعت نفوذ پایه (میلیمتر در ساعت)
خیلی سریع	بیشتر از ۲۰
سریع	۲۰ تا ۱۰
متوسط	۱۰ تا ۵
آهسته	۵ تا ۲
خیلی آهسته	کمتر از ۲

### ۴-۳-۵- محل انجام آزمایش نفوذ پذیری

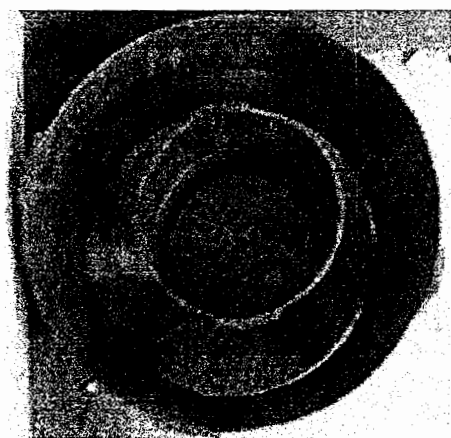
آزمایش مورد نظر بر سطح دپوی اصلی زغال و در سه نقطه مختلف انجام پذیرفت. نقاط طوری انتخاب شدند تا تقریباً تمام سطح دپوی مورد نظر را پوشش دهد. همچنین به منظور تعیین میزان نفوذ پذیری خاک در محدوده بررسی ژئوفیزیک نیز در ۲ نقطه آزمایش انجام پذیرفت.

### ۴-۳-۴-۱- روش انجام آزمایش نفوذ پذیری

آزمایش نفوذ پذیری با استفاده از استوانه مضاعف دانشکده زمین شناسی دانشگاه صنعتی شاهروod که شامل دو استوانه میانی و بیرونی می باشد و انجام پذیرفت. استوانه میانی دستگاه بر روی سطح دپوی مورد نظر قرار می گیرد و با کمک دست به داخل زغالها و یا خاک فرو برده می شود. دریوش فلزی بر روی آن قرار می گیرد. سپس با چکش چند ضربه به آن وارد می گردد. باید دقّت نمود که استوانه ها به صورت قائم و یکنواخت به داخل سطح فرو رود، در غیر این صورت باید استوانه را از سطح مورد نظر خارج کرد و آزمایش را در محلی نزدیک به محل مورد نظر انجام داد. استوانه خارجی نیز به همین ترتیب نصب

می گردد. استوانه میانی تا عمقی در حدود ۱۰۰ تا ۱۲۵ میلیمتر از آب پر می شود و به کمک اشل مهندسی عمق آب اندازه گیری می شود. اولین اندازه گیری باید هرچه سریعتر انجام شود (اندازه گیری در زمان صفر).

برای جلوگیری از تبخیر آب از سطح، بایستی دهانه استوانه میانی در فاصله بین اندازه گیریها به کمک نایلون پوشیده شود. در فواصل زمانی مناسب اندازه گیریها تکرار می شود. عموماً بایستی در ابتدا فاصله بین قرائتها کوتاه باشد (حدود ۵ تا ۱۰ دقیقه). پس از ۴ تا ۵ بار اندازه گیری می توان فاصله قرائتها را افزایش داد. البته باید توجه داشت که حداقل زمان آزمایش مورد نظر ۶۰ دقیقه می باشد و فواصل بین قرائتها را می توان با توجه به سرعت نفوذ تعديل نمود. شکل ۹-۵ نمایی از دستگاه اندازه گیری نفوذپذیری را نشان می دهد.



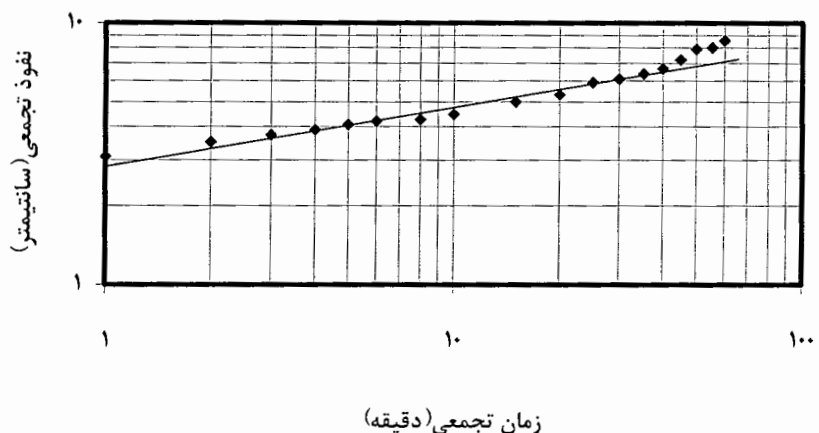
شکل ۹-۵- نمایی از استوانه مضاعف

## ۴-۳-۲-۱- انجام محاسبات برای تعیین نفوذپذیری

نفوذ تجمعی در زمانهای مختلف محاسبه می‌گردد. میزان تغییرات نفوذ تجمعی نسبت به زمان برای هر آزمایش ببروی مقیاس لگاریتمی نشان داده می‌شود و بهترین خطی که از بین نقاط می‌گذرد رسم می‌گردد. مقادیر  $c$  و  $m$  به ترتیب با مشخص نمودن عرض از مبداء و شیب خط بدست می‌آید.

$a$  و  $n$  با استفاده از روابط (۴-۵) و (۵-۵) حاصل می‌شوند. زمان رسیدن به سرعت نفوذ پایه با استفاده از رابطه (۸-۵) و مقدار سرعت نفوذ پایه از رابطه (۹-۵) به دست می‌آید. سرعت نفوذ پایه در هر محل مطابق جدول (۸-۵) طبقه‌بندی می‌گردد.

نتایج بدست آمده از آزمایش نفوذپذیری بر روی سطح دپوی اصلی زغال در نقطه شماره ۱ در شکل ۱۰-۵ و جدول ۹-۵ نشان داده شده است:



شکل ۱۰-۵- تغییرات نفوذ تجمعی نسبت به زمان جهت آزمایش نفوذپذیری دمپ باطله در نقطه ۱

جدول ۹-۵- مقادیر محاسبه شده از انجام آزمایش نفوذپذیری در نقطه ۱ دمپ باطله

مقدار	پارامتر
۲/۸	c
۰/۲۴	m
-۰/۷۶	n
۴۰/۹۲۳	a
۴۵۳/۸۵ (دقیقه)	$t_b$
۰/۴۰ (ساعت / سانتیمتر)	$I_b$

با توجه به اینکه مقدار  $I_b = ۴/۰۰\ ۱۷۸ \text{ mm/h}$  به دست آمده است، بنابراین با توجه به جدول ۸-۵ نفوذ

پذیری از لحاظ کیفی جزء طبقه بندی آهسته قرار می گیرد. مقادیر نفوذپذیری مربوط به آزمایش های ۲

و ۳ در محل دمپ باطله به ترتیب عبارتند از :  $۵۳/۶۲ \text{ mm/h}$  و  $۲۳/۱۷ \text{ mm/h}$  که با توجه به جدول

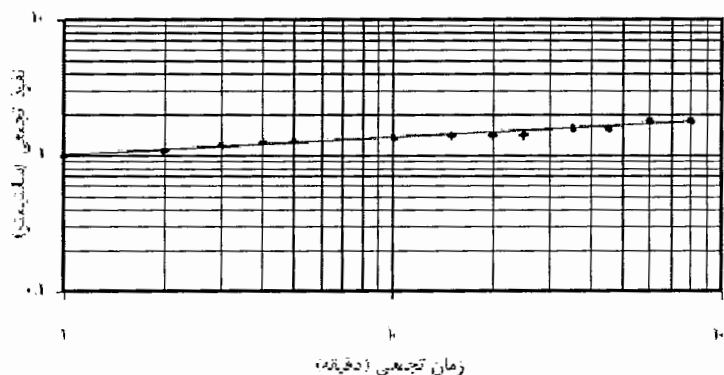
۸-۵ نفوذپذیری دپوی باطله ها از لحاظ کیفی خیلی سریع طبقه بندی می شود. مشاهده می شود که در

نقاط مختلف سه گانه نتایج متفاوتی برای نفوذپذیری حاصل شده است. نمودارها و جداول مربوط به

محاسبات نفوذپذیری در نقاط ۲ و ۳ در پیوست ه ارائه می گردند. نتایج بدست آمده از آزمایش

نفوذپذیری در محدوده بررسی ژئوفیزیک واقع در نقطه ۱ در شکل ۱۱-۵ و جدول ۱۰-۵ نشان داده شده

است.



شکل ۱۱-۵- تغییرات نفوذ تجمعی نسبت به زمان جهت آزمایش نفوذپذیری خاک در محدوده بررسی ژئوفیزیک

جدول ۱۰-۵- مقادیر محاسبه شده از انجام آزمایش نفوذپذیری در نقطه ۱ در محدوده بررسی ژئوفیزیک

مقدار	پارامتر
۱	c
۰/۱۲	m
-۰/۸۸	n
۷/۴۱	a
۸۲۵/۸۱ (دقیقه)	t <sub>b</sub>
۰/۰۳ (ساعت / سانتیمتر)	I <sub>b</sub>

با توجه به اینکه مقدار نفوذپذیری پایه در نقطه اول  $I_b = 0/03 \text{ mm/h}$  به دست آمده است، بنابراین نفوذ پذیری از لحاظ کیفی جزء طبقه بندی خیلی آهسته قرار می گیرد. مقدار نفوذپذیری آزمایش ۲ محاسبه گردید. که با این نتیجه نفوذپذیری خاک محل برداشت جزء طبقه بندی خیلی آهسته قرار می گیرد. مشاهده می شود که نتایج آزمایشات نشان دهنده این است که خاک دارای

نفوذپذیری کمی در محدوده برداشت داده های ژئوفیزیکی می باشد.

### ۵-۵- میزان بارندگی

مقدار بارندگی سالیانه در ناحیه مورد نظر، یکی دیگر از داده های مهم می باشد که در پیش بینی انتقال آلودگی در عمق با توجه به میزان نفوذپذیری در دپوی ناحیه مورد نظر مهم و ضروری می باشد. میانگین باران سالیانه مجموع بارندگی در ماههای مختلف سال می باشد. براین اساس میزان بارندگی در منطقه طزره و در منطقه شاهرود به ترتیب در جداول ۱۱-۵ و ۱۲-۵ آورده شده است.

جدول ۱۱-۵ میزان بارندگی سالیانه در منطقه طزره [سالانه آماری اداره هواشناسی، ۱۳۸۵]

سال	بارندگی سالیانه (میلیمتر)
۱۳۷۵	۳۲۱/۴
۱۳۷۶	۱۶۴/۶
۱۳۷۷	۳۵۲/۹
۱۳۷۸	۲۰۸/۵
۱۳۷۹	۲۷۰/۳
۱۳۸۰	۱۹۶
۱۳۸۱	۲۵۶/۶
۱۳۸۲	۲۸۸/۶
۱۳۸۳	۲۷۰
میانگین	۲۵۸/۸

جدول ۵-۱۲ - میزان بارندگی سالیانه در منطقه شاهروود [سالانه آماری اداره هواشناسی، ۱۳۸۵]

سال	بارندگی سالیانه (میلیمتر)
۱۳۷۵	۱۴۷/۷
۱۳۷۶	۱۸۵/۴
۱۳۷۷	۸۵/۵
۱۳۷۸	۱۹۲
۱۳۷۹	۱۰۹/۲
۱۳۸۰	۹۱
۱۳۸۱	۱۲۷/۶
۱۳۸۲	۱۷۹/۹
۱۳۸۳	۱۶۱/۳
میانگین	۱۳۱/۰۶

حال که میزان درصد پیریت و نفوذپذیری نمونه ها در محل دپوی باطله ها تعیین شد در فصل بعد با مدلسازی ریاضی چگونگی اکسیداسیون پیریت و نقش آنها در گسترش آلودگی ها را بررسی می نمائیم.

## فصل ششم

مدلسازی ریاضی جملت بررسی اکسید اسید اسیون بزرگ و تولید آبودگی

**۶-۱- مقدمه**

در این فصل ابتدا به اختصار به معرفی انواع مدل های زیست محیطی اشاره شده است. سپس معادلات ریاضی حاکم بر اکسیداسیون پیریت و نفوذ اکسیژن در باطله های زغال ارائه شده است. در ادامه نتایج مدلسازی با استفاده از نرم افزار PHOENICS با نتایج آنالیز نمونه های صحرایی مقایسه شده است.

**۶-۲- انواع مدل ها<sup>۱</sup>**

مدل ها به عنوان یک ابزار مناسب در پیش بینی بسیاری از پیامد های زیست محیطی نقش اساسی دارند. هدف اصلی مدل سازی افزایش درک و بینش بین پارامتر های مؤثر در فرآیندهایی است که در داخل سیستم واقعی در حال وقوع می باشد. در واقع مدل الگو و نشان دهنده روابط بین متغیرها و پاسخ در یک سیستم واقعی است [دولتی و همکاران، ۱۳۸۴]. انواع مدل ها به شرح زیر می باشند:

<sup>۲</sup>- مدل های مفهومی

<sup>۳</sup>- مدل های فیزیکی

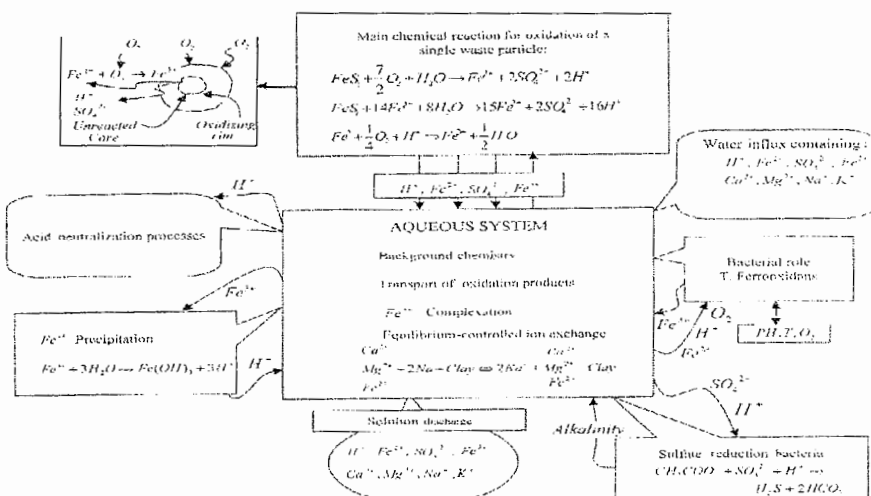
- 
- 1- Types of models
  - 2- Conceptual models
  - 3- Physical models

۳- مدل های ریاضی<sup>۱</sup> (تحلیلی)۴- مدل عددی<sup>۲</sup>

## ۶-۱- مدل های مفهومی

این مدل ها به صورت کیفی فرآیندهایی که داخل یک سیستم واقعی اتفاق می افتد را تشریح می نمایند. به عنوان مثال شکل ۱-۶ نمونه ای از مدل مفهومی ارائه شده برای تشریح کیفی فرآیندهایی که در باطله های معادن نواری بکفیل شده<sup>۳</sup> اتفاق می افتد را بیان می دارد. در این مدل مفهومی واکنش های اکسیداسیون پیریت و تولید آلودگی در سیستم جریان آب زیرزمینی تشریح شده اند. مدل های مفهومی می توانند در مرحله بعد در ارائه مدل های ریاضی برای فرآیند مورد بررسی مورد استفاده قرار

گیرند [دولتی، ۲۰۰۳].



شکل ۱-۶- مدل مفهومی برای فرآیند اکسیداسیون پیریت و تولید پساب اسیدی معادن و انتقال آلودگی در معادن نواری بکفیل شده استرالیا [دولتی، ۲۰۰۳].

- 1- Mathematical models
- 2- Numerical methods
- 3 - Backfilled strip mines

## ۲-۲-۶- مدل‌های فیزیکی

این مدل‌ها نیز جهت درک صحیح و شبیه سازی مشکلات زیست محیطی به کار گرفته شده‌اند.

مدل‌های فیزیکی ممکن است دامنه و محدوده‌ای<sup>۱</sup> را برای تغییر دادن سیستماتیک هر پارامتر انتخابی فراهم نماید تا فرآیند مورد مطالعه را به صورت کیفی شبیه سازی نماید. مشکلات اساسی مدل‌های فیزیکی هزینه بالا در زمان بکارگیری مدل و ناتوانی مدل در شبیه سازی مشکلات زیست محیطی و هیدروژئولوژیکی پیچیده می‌باشند [دولتی و همکاران، ۱۳۸۴].

## ۳-۲-۶- مدل‌های ریاضی

برای حل کردن یک مشکل زیست محیطی، در مرحله اول باید مدل مفهومی آن مشخص گردد سپس با استفاده از مدل‌های ریاضی رفتار سیستم به صورت کمی مورد بررسی قرار می‌گیرد. در این روش یک معادله ریاضی که تشریح کننده مکانیزم رفتار فرآیند است بیان می‌گردد. معادلات مناسب نیز در صورت امکان به صورت تحلیلی یا عددی با استفاده از یک الگوریتم مناسب و یا به کمک نرم افزار کامپیوتری، برای یک متغیر انتخابی که سیستم مورد مطالعه را تعریف می‌کند، حل می‌شوند.

## ۴-۲-۶- مدل‌های عددی

روش‌های عددی دارای کاربرد گسترده‌ای در پیش‌بینی بسیاری از مسائل زیست محیطی و هیدروژئولوژیکی دارد. متدالول ترین روش‌های عددی عبارتند از: روش‌های تفاوت‌های محدود<sup>۲</sup>، اجزاء

1 - Scope

2 - Finite difference method

محدود<sup>۱</sup> و المان های حجمی محدود.

نرم افزار های CFD (دینامیک سیالات محاسباتی) همچون PHOENICS، FLUENT

FLOW3D با استفاده از تکنیک های محاسباتی مختلفی که مورد استفاده قرار می دهند می توانند

فرآیند های آلودگی که سبب تولید معدن می شوند را به صورت دقیق مورد بررسی و مطالعه قرار دهند.

در این پایان نامه سعی شده تا با بکارگیری یک مدل ریاضی جهت تشریح فرآیندهای اکسیداسیون

پیریت، نفوذ اکسیژن و تولید آلودگی در محل دمپ باطله با استفاده از نرم افزار PHOENICS (چم

۰۰۳)، تشریح گردد.

### ۶-۳- مراحل کلی در آنالیز های (CFD) و مدول های استفاده شده در نرم افزار PHOENICS

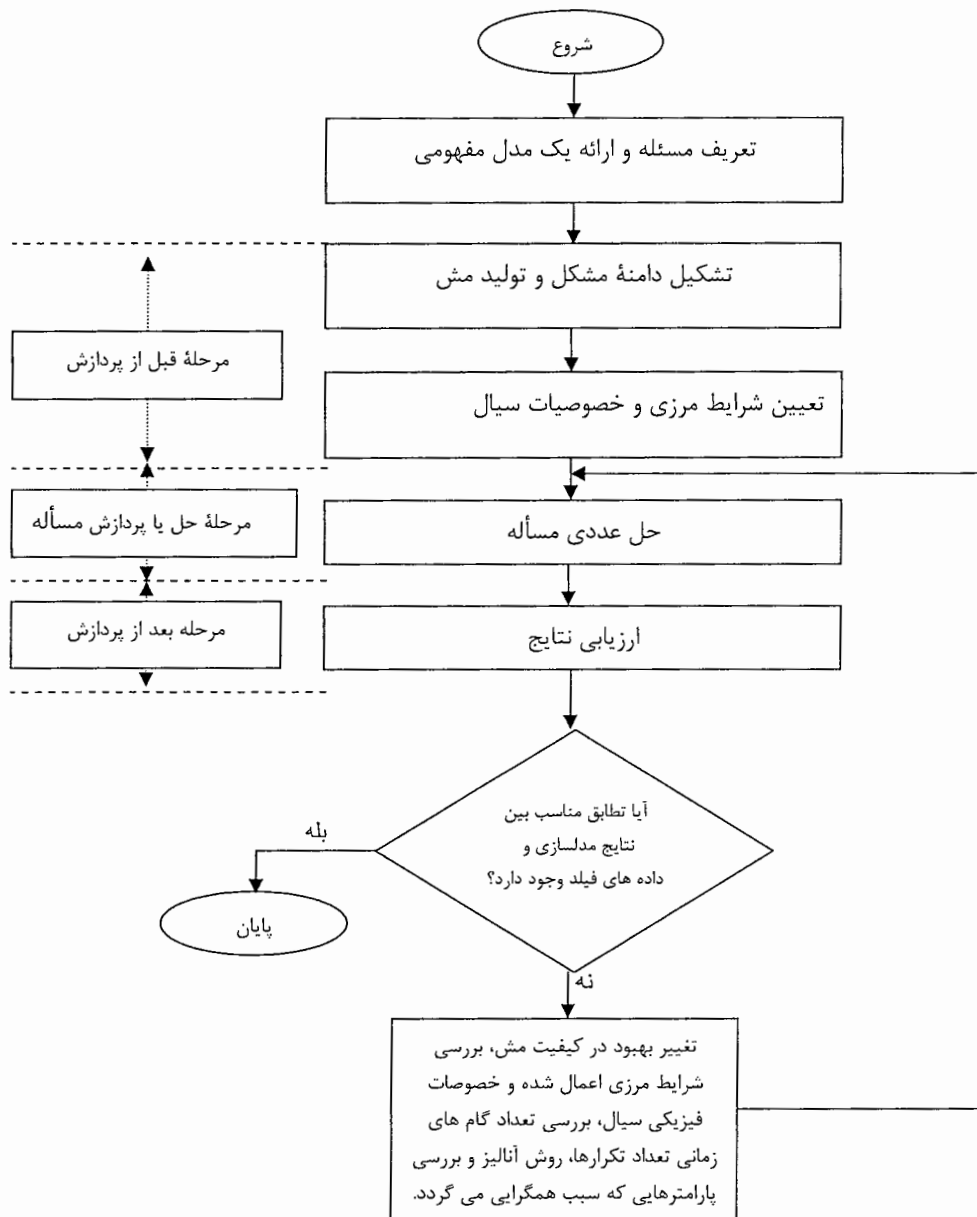
به منظور ایجاد تصویر دقیقی از جزئیات حل مشکلات حل با نرم افزار CFD، تعدادی مراحل کلیدی

PHOENICS باید معرفی گردد. شکل ۲-۶ مراحل اصلی در آنالیز های متداول CFD را نشان

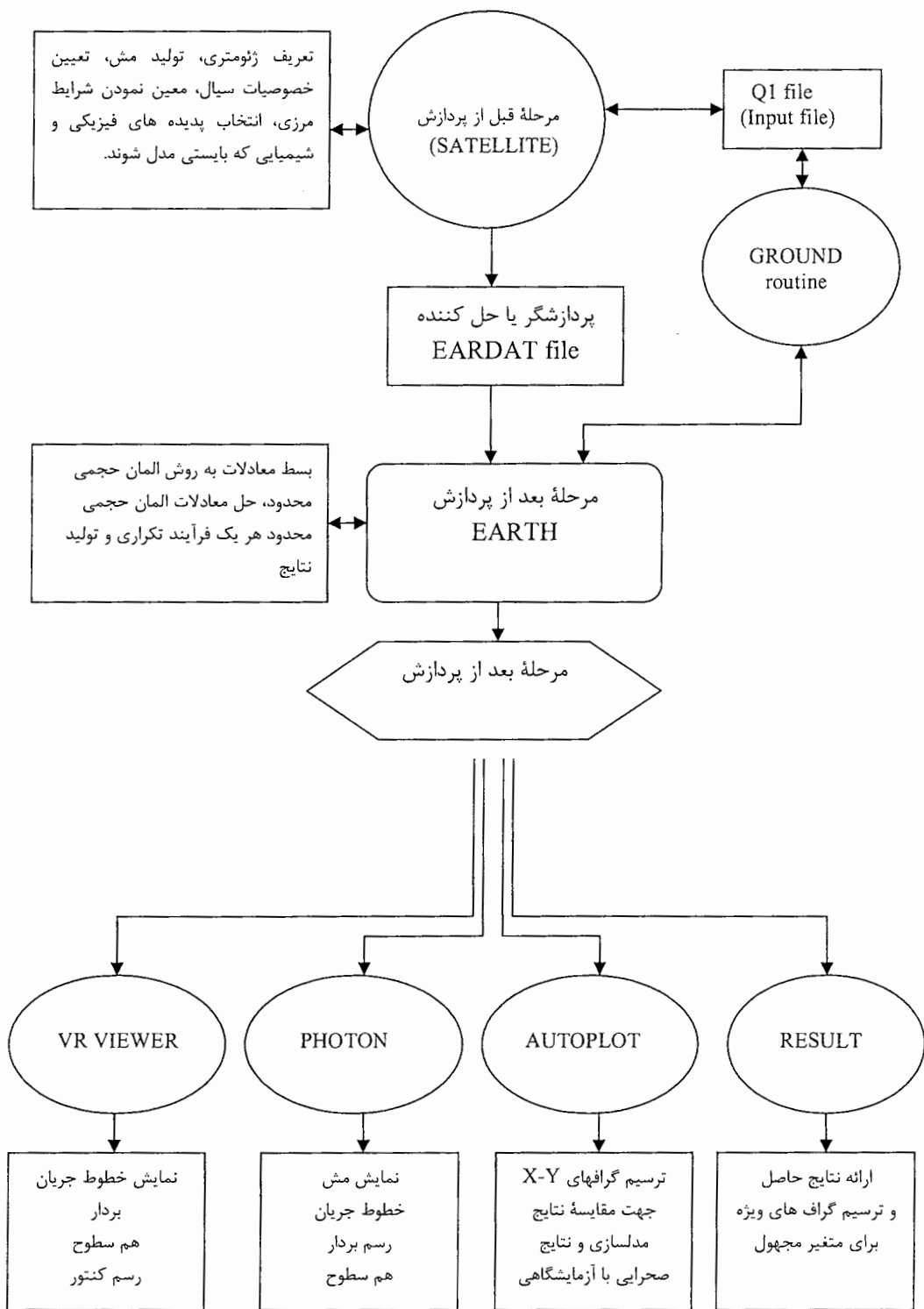
می دهد. در شکل ۳-۶ نیز نحوه حل مسئله توسط نرم افزار PHOENICS را نشان می دهد.

---

۱ - Finite element method



شکل ۲-۶- فلوچارت انجام مراحل اصلی در آنالیزهای CFD [دولتی و همکاران، ۲۰۰۴]



شکل ۶-۳-۶- مراحل حل مسئله توسط نرم افزار PHOENICS [دولتی و همکاران، ۲۰۰۴]

همانطور که در شکل ۳-۶ دیده می شود، نرم افزار PHOENICS در طی فرآیند حل مسئله، از تعدادی مدول‌های متفاوت مانند SATELLITE و EARTH و در مرحله پردازش توسط کامپیوتر از RESULT و AUTOPLLOT، PHOTON، VR VIEWER استفاده می نماید.

#### ۴-۶- معادله نفوذ اکسیژن در باطله های زغال

در حالت کلی نرخ تولید اسید با مقدار اکسیژن در سطح سولفید همراه باطله های زغال کنترل می شود. باید در نظر داشت که نفوذ مولکولی مخصوصاً در فضاهای خالی هوا مهمترین مکانیزم حمل اکسیژن می باشد. جریان اکسیژن به صورت گرادیان کاهش اکسیژن همراه با افزایش عمق می باشد. سرعت اکسیداسیون کانی سولفیدی به دو عامل سینتیک واکنش و نرخ نفوذ اکسیژن بستگی دارد. دیویس و ریچی اکسیداسیون کانی سولفیدی را با مدل مغزه منقبض شونده<sup>۱</sup>، شبیه سازی نموده‌اند. سرعت اکسیداسیون با دیفیوژن اکسیژن از سطح تا عمق باطله ها کنترل می شود. فرآیند اکسیداسیون منجر به کاهش سطح مغزه منقبض شونده می شود. در مدل ارائه شده، معادله نفوذ اکسیژن در شرایط پایا<sup>۲</sup> حل می گردد. پارامترهای‌های اصلی به کار رفته در مدل به صورت خلاصه شده در جدول ۱-۶ آورده شده‌اند.

1 - Shrinking core model  
2 - Steady state

#### ۶-۱-۴-۱- معادله ریاضی مدل نفوذ اکسیژن در باطله‌ها

در مدل‌سازی نفوذ اکسیژن فرض شده که تنها فرآیند مؤثر در حرکت اکسیژن در باطله‌ها، نفوذ گازی است. البته آب نیز از عوامل مهم و تأثیر گذار در مهاجرت اکسیژن می‌باشد که در این مدل از آن صرف‌نظر شده است. نفوذ اکسیژن در باطله، در شرایط پایا بر اساس قانون اول فیک<sup>۱</sup> به صورت زیر بیان می‌گردد. [البرلینگ و همکاران، ۱۹۹۳]:

$$J_D = - D_e \frac{dC}{dz} \quad (1-6)$$

که در رابطه بالا:

$J_D$  : جریان<sup>۲</sup> نفوذ اکسیژن در فاز گازی

$D_e$  : ضریب نفوذ مؤثر

$C$  : غلظت اکسیژن در فاز گازی

$z$  : عمق.

در این مدل باطله‌ها به صورت هموژن فرض شده‌اند و به همین دلیل ضریب نفوذ در زمانها و عمق‌های مختلف ثابت فرض شده است.

معادله انتقال اکسیژن در شرایط ناپایا که از مفهوم پیوستگی نتیجه می‌شود، به قرار زیر است

[البرلینگ و همکاران، ۱۹۹۳]:

---

1- Fick first law  
2- Flux

$$\frac{dC}{dt} = - \frac{dJ_D}{dz} - G \quad (2-6)$$

که در رابطه بالا:

$G$ : حجم اکسیژن مصرفی ( $\text{mol m}^{-3}\text{s}^{-1}$ ).

با فرض ثابت بودن  $D_e$  در معادله ۱-۶ و قرار دادن آن در معادله ۲-۶ رابطه زیر به دست می‌آید [البرلینگ

و همکاران، ۱۹۹۳]:

$$\frac{dC}{dt} = D_e \frac{d^2C}{dz^2} - G \quad (3-6)$$

به نظر می‌رسد در رابطه بالا، میزان اکسیژن مصرفی  $G$  وابسته به زمان و فضا می‌باشد.

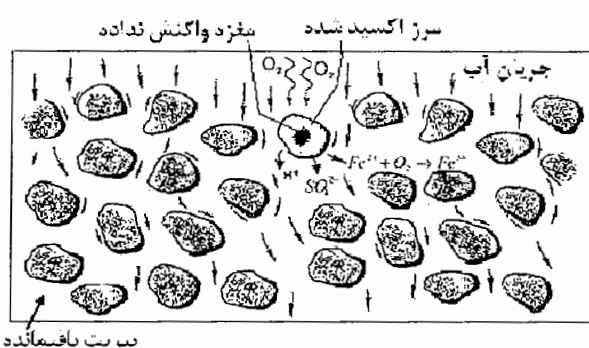
#### ۶-۵- مدل معادله اکسیداسیون پیریت در باطله‌های زغال

همانطور که در فصول قبل نیز اشاره شد، پیریت از جمله کانی‌های سولفیدی است که اکسید

شدن آن سبب تولید اسید می‌گردد. اکسیداسیون پیریت از مدل مغزه منقبض شونده پیروی می‌کند. در

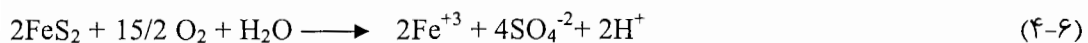
شکل ۶-۴ به صورت شماتیکی اکسیداسیون پیریت و تولید آلدگی و انتقال آلاینده‌ها در باطله‌های

معدن روباز نشان داده شده است.



شکل ۶-۴- تصویر شماتیک از اکسیداسیون پیریت و نشت آلاینده در باطله‌های معدن روباز [دولتی و همکاران، ۲۰۰۴].

واکنش اکسیداسیون پیریت به صورت زیر بیان می‌گردد:



در واکنش بالا فرض شده است که اکسیژن تنها عامل اکسیدکننده است و اکسیداسیون پیریت تنها ناشی از مصرف اکسیژن می‌باشد. در باطله‌ها، پیریت به صورت ذرات جدا و هموزن قرار دارند. به منظور سادگی، اندازه ذرات پیریت در ابتدا یکسان فرض شده است. پس از اینکه ذرات اکسید شدند، اندازه سطح آنها برای هر ذره به دلیل پدیده انقباض کمتر شده و در نهایت حجم اکسیژن مصرفی با گذشت زمان کاهش می‌یابد. با استفاده از واکنش اکسیداسیون پیریت از (رابطه ۴-۶) ضریب استوکیومتری اکسیژن مصرفی در فرآیند اکسیداسیون پیریت حاصل شده است.

واکنش سینتیکی مرتبه اول اکسیداسیون پیریت با معادله زیر نشان داده می‌شود [البرلینگ و همکاران،

: ۱۹۹۳]

$$-\frac{d[\text{FeS}_2]}{dt} = -4/15 \frac{d[\text{O}_2]}{dt} = KSC^n \quad (5-6)$$

که در رابطه بالا:

K: ثابت واکنش غیر بیولوژیکی

S: مساحت سطح در واحد حجم

C: غلظت اکسیژن

n معمولاً دارای مقداری بین صفر تا یک می‌باشد. برای بیان مناسب سینتیک درجه اول باید مقدار n را

در غلظت های پایین اکسیژن یک در نظر گرفت [البرلینگ و همکاران، ۱۹۹۳].

در فشار ۲۱/۰ اتمسفر و دمای ۲۵ درجه سانتیگراد، غلظت اکسیژن ۹ مول بر متر مکعب است و ثابت K

دارای مقدار  $10^{-10} \text{ mol O}_2 \text{ m}^{-2} \text{ S}^{-1}$  و  $5/9 \pm 2/1 \times 10^{-11} \text{ mol FeS}_2 \text{ m}^{-2} \text{ S}^{-1}$  می باشد.

معادله اساسی برای بیان حمل اکسیژن در باطله های زغال در حالت پایا به صورت زیر نوشته می شود

[البرلینگ و همکاران، ۱۹۹۳]:

$$D_e \frac{d^2 C}{dz^2} - KC = 0 \quad (6-6)$$

که در رابطه بالا به ازای هر مرحله زمانی و با کاهش مساحت سطح پیریت، مقدار K بایستی دوباره مورد

محاسبه قرار می گیرد. مساحت سطح هر ذره بعد از هر مرحله زمانی t از رابطه ۶-۷ محاسبه می گردد

[البرلینگ و همکاران، ۱۹۹۳]:

$$S_t = S_{t-1} - K_X dt / D_{PY} \quad (7-6)$$

که در آن:

$$\left( \frac{\text{mol}}{\text{m}^3} \right) = \text{دانسیتۀ مولی} = D_{PY}$$

= گام زمانی (ثانیه)  $= dt$

= ثابت واکنش  $= K$

$t = \text{مساحت ذره پیریت در گام زمانی } t$

## ۶-۶- پارامترهای ورودی مدل

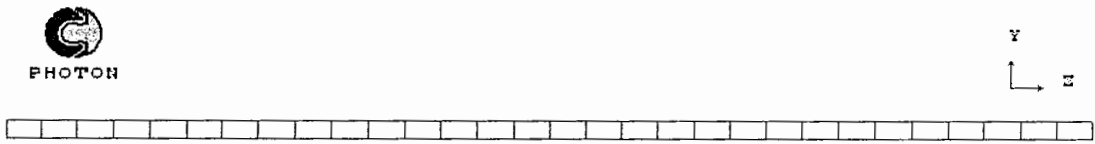
به منظور بررسی فرآیند اکسیداسیون پیریت، مدل سازی یک بعدی با استفاده از نرم افزار PHOENICS version 3.6.1 (CHAM, 2006) شرکت CHAM انگلستان تهیه شده و توسط پژوهشکده صنایع رنگ ایران خریداری شده و مورد استفاده قرار گرفته است. پارامترهای ورودی مدلسازی در جدول ۱-۶ آورده شده است.

جدول ۱-۶- پارامترهای ورودی مدل

طول مدل	
مدت زمان شبیه سازی	۵ متر (در امتداد Z)
تعداد گام های زمانی	۲-۵ سال
بستگی زمانی مدل	۲۴
تعداد المانهای حجمی	نایپایا
ضریب نفوذ مؤثر اکسیژن	۳۰ (طول یکسان ۰/۱۷ متر)
درصد پیریت	متغیر ( $\frac{m^2}{s}$ ) $1 \times 10^{-4} - 1 \times 10^{-6}$ [البرلینگ و همکاران، ۱۹۹۳]
دانسیتۀ باطله	[البرلینگ و همکاران، ۱۹۹۳] $2300 \text{ kg/m}^3$
دانسیتۀ پیریت	[البرلینگ و همکاران، ۱۹۹۳] $5900 \text{ kg/m}^3$
ضریب نفوذپذیری باطله	متغیر (mm/hr) $(4-54 \text{ mm/hr})$
سطح پیریت به واحد حجم باطله	$100 \text{ (1/m}^3\text{)}$
قطر ذرات حاوی پیریت	$2 \times 10^{-6} \text{ m}$
ثابت سینتیک درجه اول برای $O_2$	[البرلینگ و همکاران، ۱۹۹۳] $2/21 \times 10^{-9} (\text{mol O}_2/\text{m}^2\text{s})$
ثابت سینتیک درجه اول برای $FeS_2$	[البرلینگ و همکاران، ۱۹۹۳] $5/9 \times 10^{-10} (\text{mol FeS}_2/\text{m}^2\text{s})$
بارندگی متوسط سالیانه	[نشریه آمار سالیانه هواشناسی، ۱۳۸۵] $0.25(\text{m/yr})$
تعداد تکرارها	۵۰۰

## ۷-۶- شرایط مرزی

پروفیل باطله ها با عمق تقریبی ۵ متر را به عنوان مدل انتخابی به ۳۰ المان هم اندازه با طول ۱۷/۰ متر تقسیم می نماییم. شکل ۶-۵ نمایی از مدل انتخابی را نشان می دهد. مدل مورد نظر در امتداد محور Z مختصات دکارتی قرار گرفته است.



شکل ۶-۵- نمایی از مدل یک بعدی باطله های زغال

شرایط مرزی اعمال شده در مدل های نفوذ اکسیژن و اکسیداسیون پیریت در ادامه مورد بررسی قرار گرفته است.

### ۷-۱- شرایط مرزی برای مدل اکسیژن

شرط مرزی نوع اول:

در شرط مرزی نوع اول مقدار اکسیژن در ورودی مدل معادل با مقدار اکسیژن در اتمسفر در نظر گرفته می شود یعنی:

$$C(Z=0, t) = 0.21 \quad (8-6)$$

شرط اولیه:

مقدار اکسیژن قبل از فرآیند مدلسازی در طول مدل صفر در نظر گرفته شده و به صورت رابطه ۹-۶ خواهد بود:

$$C(Z, 0) = 0, \quad t=0, \quad Z>0 \quad (9-6)$$

شرط مرزی نوع اول در مرز خروجی مدل:

در انتهای مدل غلظت اکسیژن را معادل مقدار اولیه اش در پروفیل قرار می دهند و به صورت رابطه ۶-۱۰

خواهد بود:

$$C(\infty, t) = 0 \quad (10-6)$$

#### ۶-۷-۲- شرایط مرزی و اولیه برای مدل اکسیداسیون پیریت

برای مدل اکسیداسیون پیریت تنها یک شرط اولیه وجود دارد که بیانگر درصد پیریت اولیه

موجود در باطله ها می باشد. قابل ذکر است که تعیین درصد پیریت، باطله های جیگ قدیمی به دست

آمده است:

$$C(Z, 0) = C_i = (1/6 - 1/8) / . \quad (11-6)$$

که در آن:

$C_i$ : درصد اولیه پیریت در باطله ها

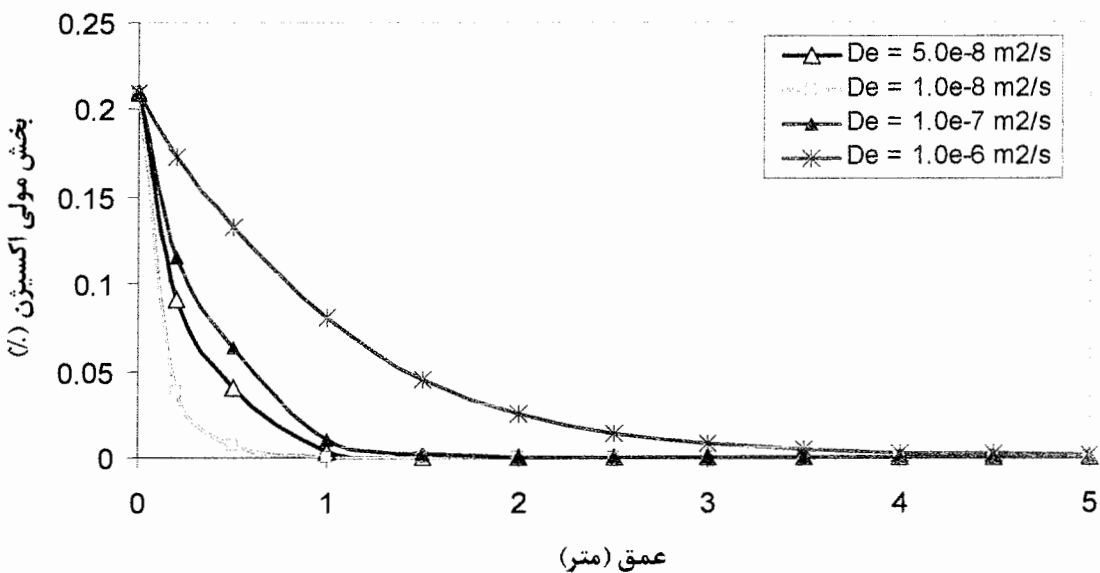
پس از اعمال شرایط مرزی و اولیه مناسب مدل های نفوذ اکسیژن و اکسیداسیون پیریت به روش المان

حجمی محدود توسط نرم افزار PHOENICS حل شدند.

## ۶-۸- نتایج مدلسازی نفوذ اکسیژن در باطله

پس از اعمال شرایط مرزی و اولیه مناسب مدل های نفوذ اکسیژن و اکسیداسیون پیریت به روش المان حجمی محدود توسط نرم افزار PHOENICS حل شدند. همانطور که قبل اشاره شد میزان اکسیژن در طول مدل تغییر می کند. در نتیجه میزان اکسیداسیون پیریت بسته به مقدار اکسیژن موجود در پروفیل متفاوت خواهد بود. در فرآیند مدلسازی تغییرات بخش مولی اکسیژن<sup>۱</sup> بر حسب درصد با توجه به ضرایب نفوذ مؤثر مختلف مورد بررسی قرار گرفت. نتایج مربوط به مدلسازی در شکل ۶-۶ آورده شده است. بهترین ضریب نفوذ مؤثر در مدل  $10^{-8}$  متر مربع بر ثانیه انتخاب شد. این انتخاب بر اساس تحقیقات انجام شده روی سدهای باطله که در آن، ذرات باطله ابعاد مشابه ای با ابعاد باطله کارخانه فرآوری منطقه مورد مطالعه دارند، صورت پذیرفته است. بعلاوه اینکه با این ضریب نفوذ مؤثر انطباق مناسب بین داده های صحرایی و نتایج مدلسازی برای مدل اکسیداسیون پیریت به دست آمد. در سطح دمپ میزان بخش مولی اکسیژن  $21/0$  درصد می باشد با افزایش عمق و نفوذ اکسیژن در باطله ها اکسیژن مصرف می شود به طوریکه با ضریب نفوذ  $10^{-8}$  متر مربع بر ثانیه تا عمق بیشتر از  $1/5$  متر نمی تواند نفوذ کند و تمامی آن مصرف می شود. هرچقدر ضریب نفوذ مؤثر افزایش یابد، اکسیژن تا عمق بیشتری در دمپ باطله نفوذ می کند و میزان مصرف اکسیژن با سرعت کمتری انجام می پذیرد.

1 - Model fraction of oxygen



شکل ۶-۶- تغییرات درصد اکسیژن در طول مدل با ضرایب نفوذ مؤثر مختلف

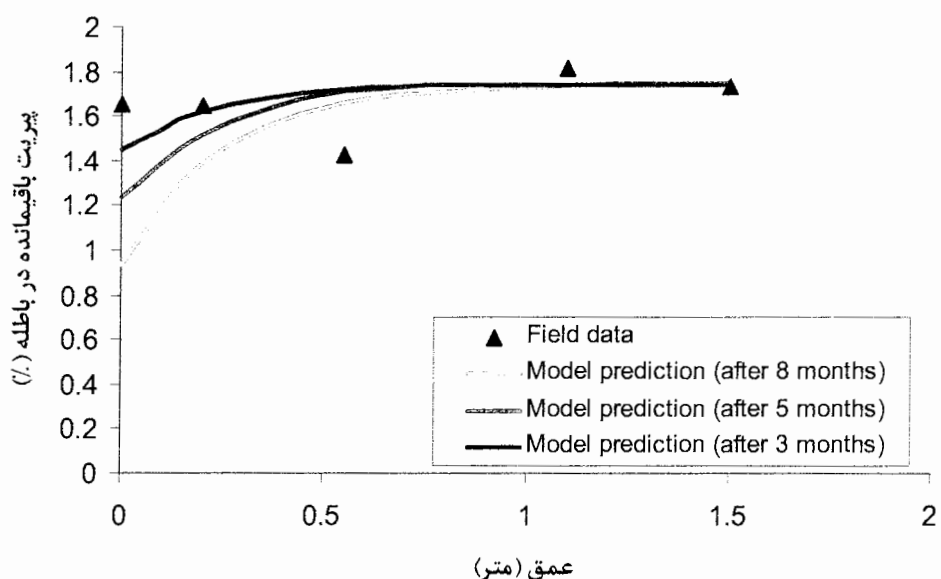
#### ۶-۹- نتایج به دست آمده مدلسازی اکسیداسیون پیریت باطله ها

با استفاده از نرم افزار PHOENICS، مدل معزء انقباضی اکسیداسیون پیریت بطور همزمان با مدل نفوذ اکسیژن حل شد و نتایج مدل سازی عددی با نتایج آنالیز جذب اتمی برای تعیین پیریت باقیمانده در محل های نمونه برداری روی دمپ باطله های فرآوری مقایسه گردید که ذیلاً مورد بررسی باقیمانده در محل های نمونه برداری روی دمپ باطله های فرآوری مقایسه گردید که ذیلاً مورد بررسی باقیمانده در محل های نمونه برداری روی دمپ باطله های فرآوری مقایسه گردید که ذیلاً مورد بررسی قرار می گیرند.

#### ۶-۹-۱- نتایج مدلسازی اکسیداسیون پیریت در نمونه ۱

شکل ۷-۶، مقدار پیریت باقیمانده در باطله ها را نسبت به عمق باطله برای مدت ۸ ماه نشان می دهد. در این شکل نتایج مدل سازی عددی با داده های صحرایی مقایسه شده است. در مورد نمونه شماره ۱ تطابق مناسب بین داده های صحرایی و نتایج مدل سازی پس از ۸ ماه از آغاز اکسیداسیون حاصل شد. مقدار پیریت باقیمانده در نمونه های سطحی حدود ۱/۶ درصد است که این مقدار درصد

تطابق مناسبی با داده های صحرایی قرار دارد. این به معنی آن است که پروفیل شماره ۱ در محل انتخاب شده که باطله ها عمر چندانی ندارند و مدت زمانی طولانی از آغاز اکسیداسیون پیریت سپری نشده است.

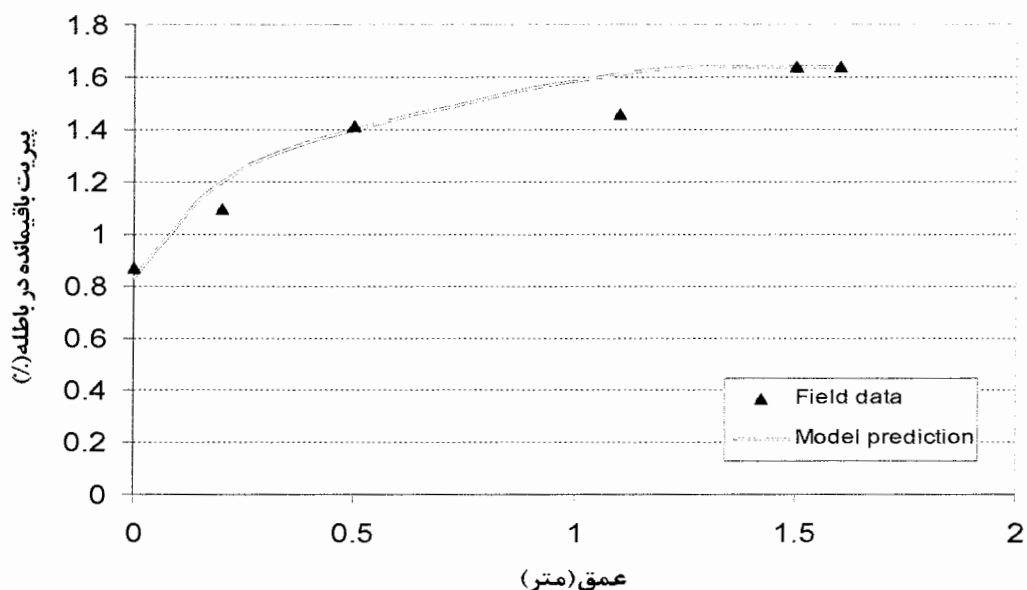


شکل ۸-۶- مقایسه داده های صحرایی و نتایج مدل عددی برای تعیین درصد پیریت باقیمانده نسبت به عمق باطله در زمانهای متفاوت مربوط به نمونه اول

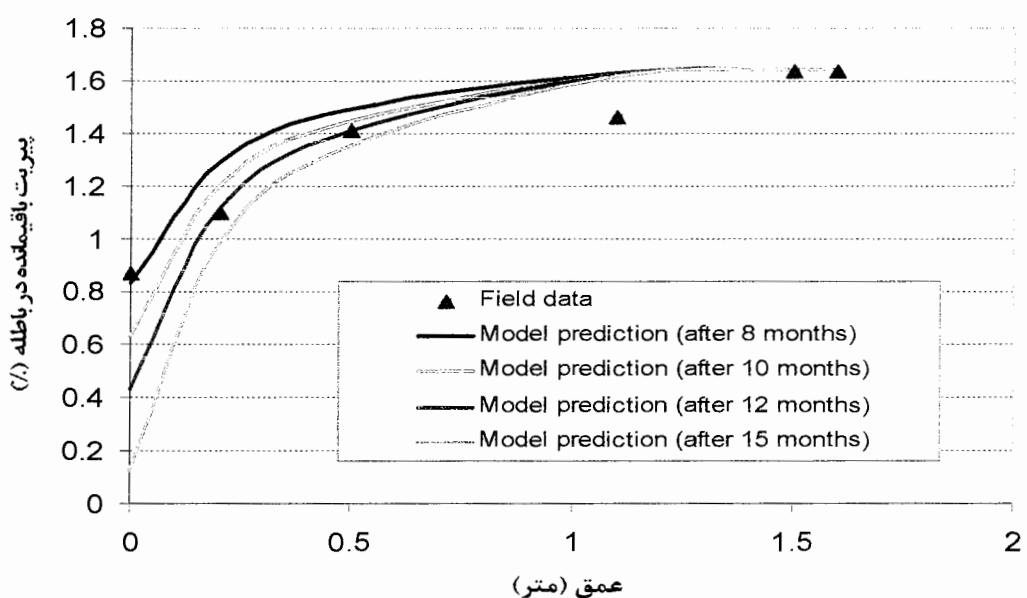
#### ۶-۹-۲- نتایج مدلسازی اکسیداسیون پیریت در نمونه ۲

در شکل ۹-۶ نتایج حاصل از مدل عددی برای درصد پیریت باقیمانده در باطله ها نسبت به عمق، با داده های صحرایی مربوط به پروفیل شماره ۲ برای مدت زمان ۸ ماه مقایسه شده است. با توجه به شکل ملاحظه می گردد که با افزایش عمق پروفیل، درصد پیریت باقیمانده در باطله ها بتدريج از ۰/۸۷ درصد (سطح باطله) به ۱/۶۴ درصد در عمق حدود ۱/۵ متری می رسد. تنها در عمق ۱/۱ متری درصد پیریت به دست آمده از نتایج آزمایشگاهی در تطابق خوبی با پيش بينی مدل قرار ندارد که آن هم ممکن است به دليل وجود خطأ در آزمایشات باشد. همچنان خطا ممکن است از نمونه برداری و مخلوط

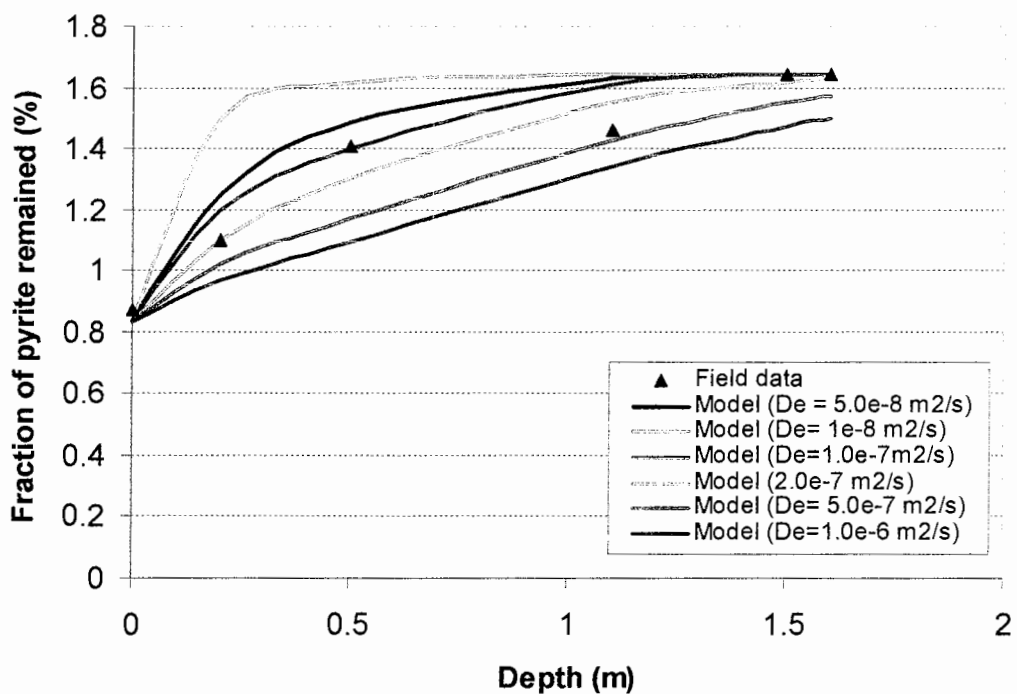
شدن نمونه ها حاصل شده باشد. در مجموع پیش بینی مدل برای تعیین میزان اکسیداسیون پیریت نسبت به عمق پروفیل در انطباق خوبی با داده های صحرایی برخوردار است. با افزایش عمق پروفیل، مقدار پیریت اکسید شده به دلیل کاهش مقدار اکسیژن نفوذی کاهش می یابد بطوری که در اعمق تقریبی  $1/5$  متر به بعد عدم حضور اکسیژن فرآیند اکسیداسیون پیریت تقریباً متوقف می گردد. در شکل ۱۰-۱، تأثیر زمان دپوی باطله ها را روی نتایج مدل عددی برای تعیین درصد پیریت باقیمانده نسبت به عمق پروفیل نشان داده شده است. مقایسه نتایج مدل سازی عددی با داده های صحرایی حاکی از آن است که باطله ها در محدوده پروفیل شماره ۲ دارای عمر بین ۸ ماه تا ۱۲ ماه می باشد. در شکل ۱۱-۶ تأثیر ضرایب نفوذ مؤثر اکسیژن در باطله ها بر روی فرآیند اکسیداسیون پیریت مورد بررسی قرار گرفته است. همانطوریکه از نمودار مربوطه مشخص است با کاهش ضرایب نفوذ مؤثر، درصد پیریت بیشتری در باطله ها باقی می ماند. بطوریکه پیریت باقیمانده با شبیه نسبتاً کندی در اعمق کم افزایش یافته و بلافاصله به مقدار اولیه خود در باطله ها می رسد. با افزایش ضرایب نفوذ مؤثر، مقدار اکسیژن بیشتری را در اعمق فراهم می سازد. این مسئله سبب می شود که شبیه منحنی های پیریت باقیمانده در باطله ها، با افزایش ضریب نفوذ مؤثر کم کم کاهش می یابد. این به آن معنی است که با افزایش ضریب نفوذ مؤثر برای مدل اکسیژن، پیریت بیشتری اکسید می گردد. با توجه به مدل های به دست آمده در شکل ۱۱-۶ مناسب ترین ضریب نفوذ مؤثر برای اکسیژن  $5 \times 10^{-8}$  متر مربع بر ثانیه انتخاب گردید. که با این ضریب نتایج آنالیز داده های صحرایی در انطباق نسبتاً خوبی با نتایج و پیش بینی های مدل قرار دارند.



شکل ۹-۶- مقایسه داده های صحرایی و پیش بینی مدل برای تعیین درصد پیریت باقیمانده نسبت به عمق باطله مربوط به نمونه دوم



شکل ۱۰-۶- مقایسه داده های صحرایی و پیش بینی های مدل برای تعیین درصد پیریت باقیمانده نسبت به عمق باطله در زمانهای مختلف مربوط به نمونه دوم



شکل ۱۱-۶- مقایسه داده های صحرایی و پیش بینی های مدل برای تعیین درصد پیریت باقیمانده نسبت به عمق باطله ها به صورت تابعی از ضریب نفوذ مؤثر اکسیژن در باطله ها، مربوط به نمونه دوم

### ۶-۹-۳- نتایج مدلسازی اکسیداسیون پیریت در نمونه ۳

شکل ۱۲-۶ پیش بینی مدلسازی عددی را با نتایج آنالیز داده های صحرایی جهت تعیین درصد پیریت باقیمانده در باطله های زغال نسبت به عمق پروفیل برای یک دوره ۸ ماهه مقایسه می نماید. همانطوری که شکل نشان می دهد انطباق بین داده های صحرایی و نتایج مدلسازی بسیار مناسب می باشد. میزان پیریت در سطح ۱ درصد می باشد بتدریج با افزایش عمق میزان پیریت نیز افزایش می یابد بطوریکه عمق  $1/6$  دارای بیشترین میزان پیریت  $1/64$  درصد است. مقدار پیریت باقیمانده با شیب حدود ۴۵ درجه نسبت به عمق افزایش یافته تا اینکه در عمق تقریبی  $0/25$  متر به مقدار  $1/3$  درصد می رسد. پس از این عمق، پیریت باقیمانده در باطله ها به دلیل عدم حضور اکسیژن کافی، نسبت به

باطله ها به یکباره تبدیل به اسید نمی شود. بنابراین محاسبه میزان سولفات و اسید با فرضیاتی نیز همراه می باشد. در این قسمت تلاش شده است تا با توجه به ابعاد دمپ و درصد میزان پیریت که با استفاده از روش تجزیه شیمیایی و آنالیز دستگاهی به دست آمده و نیز با پیش بینی های مدل عددی چک شده است، میزان کل پیریت در دمپ باطله برآورد گردد و سپس با در نظر گرفتن میزان کل پیریت موجود و بارندگی سالیانه، تجزیه و تحلیلی بر روی میزان اسید و سولفات تولید شده صورت گیرد. بدیهی است که به منظور بررسی اسید تولیدی نیاز به انجام آزمایشات دقیقتر و بیشتری از قبیل آزمایشات سینتیکی و استاتیکی بر روی دمپ باطله می باشد [شهرابی و همکاران، ۱۳۸۳]. البته باید توجه داشت که در اینجا میزان اسید تولیدی با فرض اینکه تنها حاصل از اکسیداسیون پیریت می باشد مورد محاسبه قرار گرفته است.

همانگونه که در رابطه ۴-۶ نشان داده شد، پس از مصرف اکسیژن و در حضور با آب اکسید شده و اسید سولفوریک تولید می نماید. با استفاده از روابط و پارامترهایی که در جدول ۲-۶ آورده شده است، میزان سولفات تولیدی مورد محاسبه قرار گرفته است.

جدول ۶-۲- پارامترهای مورد استفاده در تعیین میزان سولفات‌تولید شده در دمپ

مساحت دمپ باطله جیگ قدیمی	$250 \times 550 \text{ (m)}$
ارتفاع دمپ باطله	$20 \text{ (m)}$
دانسیته باطله	$2300 \text{ kg/m}^3$
حجم آب	$18 \text{ gr}$
حجم اسید سولفوریک تولیدی	$98 \text{ gr}$
حجم پیریت	$120 \text{ gr}$
درصد پیریت نمونه ۲	متغیر ( $164\% - 187\%$ )
میزان بارندگی سالیانه	$253 \text{ mm}$
حجم بارندگی سالیانه	$3/4375 \times 10^4 \text{ m}^3$

جهت تعیین میزان سولفات‌تولیدی در دمپ باطله، از نتایج آنالیز پیریت نمونه دوم استفاده شده

است<sup>۱</sup>. با استفاده از نتایج جدول ۵-۶ و اینکه میزان مصرف پیریت در حدفاصل سطح دمپ تا عمق  $1/6$

مشخص است، به همین دلیل ابتدا به تغییرات میزان درصد پیریت مصرفی در هریک از بازه‌های عمقی

نمونه برداری در فاصله سطح تا عمق  $1/6$  متری وزن داده شد. مقادیر وزنی در جدول ۳-۶ آورده شده

است. سپس با توجه به عمق نمونه برداری میزان مصرف پیریت در دمپ مورد محاسبه قرار گرفته است و

در انتها با توجه به مقدار آب ورودی به دمپ باطله که حاصل از بارندگی می‌باشد و استفاده از رابطه ۶-۶

۱۳ میزان تناز و غلظت سولفات‌تولیدی در دمپ مورد محاسبه قرار گرفت و در جدول ۶-۶ ارائه شده

است.

$$C = \frac{M}{V} \quad (13-6)$$

که در رابطه بالا:

C: غلظت سولفات (مول بر لیتر)

۱- رجوع شود به فصل ۵، جدول ۶-۵

M: میزان سولفات تولید شده (گرم)

V: حجم آب وارد شده در دمپ (لیتر)

جدول ۶-۳- ضرایب وزنی در نظر گرفته شده برای تعیین ضریب وزنی تغییرات درصد پیریت با توجه به عمق نمونه برداری

ضریب وزنی	بازه تغییر عمق (متر)	پیریت باقیمانده (%)	عمق نمونه (متر)
۰/۴۲	۰/۲-۰	۰/۸۷	۰
۰/۳۷	۰/۵-۰/۲	۱/۱	۰/۲
۰/۰۳	۱/۱-۰/۵	۱/۴۱	۰/۵
۰/۱۸	۰/۵-۱/۱	۱/۴۶	۱/۱
		۱/۶۴	۱/۵۰

جدول ۶-۴- محاسبه میزان و غلظت سولفات تولید شده در دمپ باطله

غلظت سولفات (مول بر لیتر)	حجم آب وارد شده در دمپ (لیتر)	جرم سولفات تولید شده (تن)	جرم پیریت مصرف شده (تن)
۰/۶	$۳/۴۳ \times ۱ \cdot ۰^۴$	$۱/۹۸۴ \times ۱ \cdot ۰^۳$	$۱/۲۴ \times ۱ \cdot ۰^۳$

## ۱۱-۶- تعیین pH دمپ باطله

اندازه گیری pH بر اساس روش [رابینس<sup>۱</sup> و همکار، ۱۹۹۰] انجام شده است. برای این منظور ۱۰

گرم از باطله زغال داخل بشر ریخته و ۰۱۵ میلی لیتر آب به آن اضافه می گردد. سپس مخلوط حاصل را

به کمک شعله چراغ حرارت داده تا مخلوط حاصل بجوشد. این کار را به مدت یک ساعت ادامه داده و هر ۱۵ دقیقه اندازی آب به آن اضافه می‌گردد. سپس به منظور جدا سازی مخلوط سوسپانسیون از قیف شیشه‌ای همراه با صافی استفاده می‌گردد. این کار را آنقدر ادامه می‌دهیم تا محلول شفاف به دست آید. در انتها با استفاده از pH متر می‌توان میزان pH دمپ را اندازه‌گیری نمود. باید توجه کرد که به منظور کالیبره کردن pH متر از محلول بازی ۴/۵ هیدروژن فنالکات پتابسیم و محلول بافری ۹ بوراکس استفاده می‌گردد. در نهایت پس از انجام آزمایش فوق میزان pH دمپ، ۵/۷۴ اندازه‌گیری گردید. pH اندازه‌گیری شده مؤید اکسیداسیون پیریت و تولید یون  $H^+$  در اثر این فرآیند اکسیداسیون می‌باشد.

البته pH تعیین شده کمی بزرگتر از حد انتظار است که جای بررسی بیشتر را می‌طلبد.

#### ۱۲-۶- تلفیق نتایج مدل‌های ژئوالکتریک و مدل‌سازی ریاضی

به منظور تأیید صحت نتایج مدل‌سازی ژئوفیزیکی مبنی بر انتقال آلدگی (سولفات تولید شده) محدوده پائین دست دمپ، با استفاده از مدل‌سازی یک بعدی استفاده شد. جهت مقایسه، مدل تغییر مقاومت ویژه برداشت سوم نسبت به برداشت اول مربوط به پروفیل اول انتخاب گردید. معادله مدل تحلیلی مورد استفاده به قرار زیر است [دولتی و همکاران، ۱۳۸۴]:

$$C(x,t) = \frac{C_0}{2} \left\{ erfc\left(\frac{X - V_x t}{2\sqrt{D_x t}}\right) + \exp\left(\frac{V_x X}{D_x}\right) erfc\left(\frac{X + V_x t}{2\sqrt{D_x t}}\right) \right\} \quad (14-6)$$

که در رابطه بالا:

C: غلظت آلاینده (سولفات تولید شده) دمپ (۰/۶ مول بر لیتر)

$t$ : زمان(ثانیه)

V: سرعت انتقال آلدگی است که مقدار تقریبی سرعت انتقال آلدگی مطابق شکل ۱۳-۶، از روی زمان برداشت داده های ژئوفیزیک و فاصله ای که آلدگی طی نموده، تخمین زده شد.

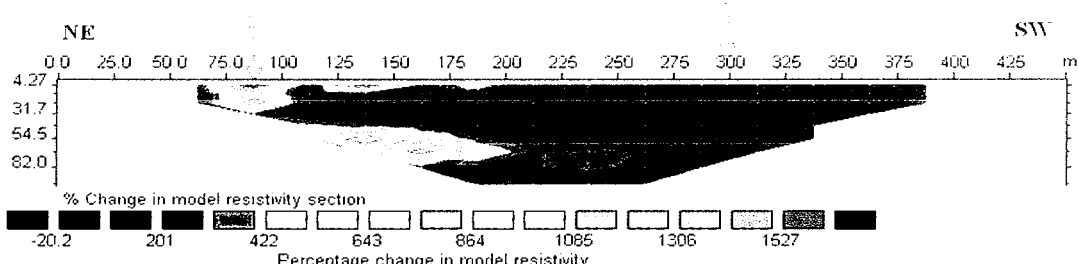
$D_x$ : پراکندگی هیدرودینامیکی طولی است و مقدار آن از رابطه (۱۵-۶) به صورت زیر محاسبه می شود [دولتی و همکاران، ۱۳۸۴]:

$$D = \alpha_L V_x + D_{dif} \quad (15-6)$$

که در رابطه بالا:

$\alpha_L$ : ضریب پراکندگی طولی محیط  
[۱۳۸۴]: ضریب پخش که مقدار آن  $10^{-9}$  متر مربع بر ثانیه فرض شده است [دولتی و همکاران،

V<sub>x</sub>: سرعت انتقال آلدگی (متر بر ثانیه) می باشد.  
مدل تحلیلی ۱۴-۶، پدیده های پراکندگی هیدرودینامیکی و پهنه رفت را در انتقال آلدگی در نظر می گیرد. جهت مقایسه نتایج مدلسازی ریاضی نقاط ۱ و ۲ شکل ۱۳-۶ در فاصله ۸۵ متری و ۳۰۰ متری از (زیر دمپ) قرار گرفته اند، انتخاب گردیدند.



شکل ۱۳-۶- مدل تغییرات مقاومت ویژه برداشت سوم نسبت به برداشت اول در پروفیل اول. نقاط ۱ و ۲ محل های هستند که در آنجا نتایج مدلسازی ریاضی با داده های ژئوفیزیک مقایسه شده است.

با توجه به رابطه ۱۴-۶ میزان سولفات در نقطه اول بعد از ۸۷ روز مقدار ۰/۰۶ مول بر لیتر محاسبه گردید که نشان دهنده انطباق خوب نتایج ژئوالکتریک و مدلسازی ریاضی منطبق بر حضور آلودگی در این نقطه می باشد. در نقطه دوم نیز با توجه به رابطه ۱۴-۶ در فاصله ۳۰۰ متری از دمپ و در مدت زمان مذکور مقدار ۰ برای غلظت سولفات حاصل شد که نشان دهنده عدم حضور آلودگی می باشد که این با مدل ژئوفیزیکی کاملاً منطبق است.

## فصل هفتم

نتیجه گیری و پیشنهادات

### ۷-۱- جمع بندی و نتیجه گیری مطالب

پس از استخراج زغال، برای بالا بردن کیفیت آن، شستشوی زغال امری اجتناب ناپذیر می باشد. در مرحله بعد لازم است زغال با کیفیت پایین که مصرف صنعتی ندارد در محلی انباشت شود. عموماً انباشت باطله ها با توجه به حجم قابل توجه آن در نزدیکترین نقاط ممکن انجام می گردد تا میزان هزینه های انباشت از نظر اقتصادی قابل توجیه باشد. محل های انباشت باطله ها برای مدت زمان طولانی در مجاورت با هوا و ریزش های جوی و سایر عوامل قرار می گیرد. از آنجا که زغال دارای ترکیبات سولفیدی بویژه پیریت می باشد، در اثر تماس با اکسیژن هوا و آب و نیز با گذشت زمان دچار تغییر شده و طی یکسری فرآیند های شیمیایی ایجاد پساب اسیدی می کند. پساب های اسیدی غالباً سبب بروز مشکلات عدیده آلودگی های زیست محیطی می گردد. در ایران، معادن ناحیه البرز شرقی یکی از مراکز مهم تولید زغال سنگ به شمار می رود. وظیفه انجام مرحله شستوى زغال بر عهده کارخانه زغالشویی البرز شرقی است که در ناحیه شمال مهماندوست دامغان قرار دارد. در این پایان نامه سعی شده است که مطالعات زیست محیطی در اطراف ناحیه کارخانه زغالشویی البرز شرقی با استفاده از

روش های ژئوفیزیکی و مدل سازی ریاضی فرآیند های اکسیداسیون پیریت در محل دمپ باطله ها، صورت گیرد. برای این منظور جهت محل مطالعات و اندازه گیری بازدید مقدماتی از منطقه صورت گرفت. باطله های کارخانه زغالشویی البرزشرقی به دو صورت ایجاد می شوند: باطله های حاصل از مرحله فلوتاسیون و باطله های ایجاد شده توسط جیگ قدیمی.

باید توجه داشت که در اطراف محل دمپ باطله های جیگ قدیمی آلودگی زیست محیطی بخوبی مشاهده می شود بطوری که چهره محیطی را ناهمگون کرده است ولی در اطراف سد فلوتاسیون آثاری از قبیل رشد و نمو گیاهان مشاهده شد. نکته قابل توجه این است که هیچگونه مطالعه و بررسی برای انتخاب محل انباست باطله ها انجام نگرفته است. حتی برای کنترل بار آلودگی ایجاد شده فعالیتهای متداولی که همچون ریختن آهک برای خنثی سازی اسید تولیدی در باطله ها و یا زیر سازی سد باطله صورت نگرفته است و از آنجایی که پیریت با توجه به وزن مخصوص بالای خود(۵۹۰۰ کیلوگرم بر متر مکعب) عموماً در قسمت جیگ قرار می گیرد، باطله های ایجاد شده توسط این مرحله شامل باطله های جدید و قدیمی و همچنین محل دمپ های باطله های جیگ که در قسمت شمال شرقی کارخانه قرار دارد مورد توجه قرار گرفت. باید به این نکته توجه کرد که زمان تشکیل دمپ باطله ها بر روی میزان آلودگی تأثیر گذار است لذا با در نظر گرفتن تمامی جوانب بالا قدیمی ترین دمپ باطله ها که دارای قدمتی بین ۰ تا ۱۰ سال و با ابعادی با مشخصات ۵۵۰ متر عرض، ۲۵۰ متر طول و ۲۰ متر ارتفاع می باشد، انتخاب گردید. پس از انتخاب دمپ باطله مطالعات لازم برای بررسی پتانسیل تولید آلودگی

صورت گرفت. در ابتدا برای بررسی وجود و یا عدم وجود آلودگی در منطقه از روش VLF که از روش های الکترو مغناطیسی می باشد، استفاده شد. از مزایای این روش می توان به سادگی روش، سرعت عمل و کم هزینه بودن آن اشاره نمود. از طرفی یکی دیگر از مزایای این روش کارآمد بودن این روش و تحلیل راحت نتایج آن با استفاده از نرم افزار RAMAG می باشد. در روش VLF با توجه به وسعت منطقه، برداشت داده ها بر روی ۶ پروفیل موازی با هم انجام شد. فواصل پروفیل ها از یکدیگر ۱۰ متر و ایستگاه های اندازه گیری بر روی پروفیل ها به فواصل ۵ متر انتخاب شدند. پس از برداشت داده ها، تعبیر و تفسیر مدل های حاصل از برداشت VLF انجام پذیرفت. که مدل های تهیه شده شامل نمودارهای خام داده ها، نمودارهای فیلتر شده داده ها و مقاطع عرضی بودند. در تهیه مدل ها از فیلتر کاروس- هجلت استفاده شد. عمق فیلتر داده ها ۶۰ متر انتخاب گردید. در نهایت دو زون حاوی آلودگی با جهت های شمال شرقی- جنوب غربی در منطقه مورد بررسی شناسایی گردید. در مرحله بعد، از روش ژئو الکتریک برای انجام مطالعات دقیقتر استفاده گردید. مطالعات انجام شده بر روی دو پروفیل و با استفاده از روش دوقطبی- دو قطبی که شامل اندازه گیری مقادیر مقاومت ویژه و IP می باشد، انجام پذیرفت. طول پروفیل اول ۵۰۰ متر و طول پروفیل دوم ۳۶۰ متر انتخاب گردید. به منظور بررسی میزان تغییرات مقاومت ویژه در طول زمان، برداشت ژئوالکتریک به شیوه Time Laps انجام گردید. در این روش با ثابت در نظر گرفتن پروفیل ها، وضعیت قرارگیری الکترودها و فواصل الکترودی برداشت داده ها در فواصل زمانی مختلف انجام گرفت. بر این اساس، تعداد ۴ برداشت ژئوالکتریک در یک پریود زمانی بالغ بر ۶ ماه برای

هريق از پروفيل ها در نظر گرفته شد. ولی متأسفانه به دليل فعاليت ماشين آلاتي از قبيل لودر و کاميون به منظور گسترش دبوی باطله، امكان برداشت پروفيل دوم بطور كامل وجود نداشت. نتایج حاصل از برداشت ها توسط نرم افزار RES2DINV معکوس سازی گردید. مدلهاي معکوس مقاومت ويزه تهيه شده با ميزان خطاي پايین حاكى از انطباق خوب مدل ها با مقادير اندازه گيرى شده صحرائي مى باشد. در تمامى مدل هاي ژئوفيزيكى، وجود آلدگى احتمالى با توجه با کاهش مقادير مقاومت ويزه با افزایش عمق بخوبى مشهود است. با مقابسه مدل ها مى توان گسترش و عمق قرارگيرى مرکز آلدگى احتمالى را مورد توجه قرار داد. مدلهاي به دست آمده حاكى از راه پيدا کردن آلدگى به آب زير زمينى در منطقه مى باشد. كه اين امر در آينده اي نه چندان دور مى تواند سبب بروز مشكلات جدي زیست محيطى برای مناطق اطراف گردد.

به موازات انجام بررسى هاي ژئوفيزيك، نمونه بردارى عميقى در امتداد قائم از دمپ جهت تجزيء نمونه ها برای تعیین درصد پیريت باقیمانده و نفوذپذيری انجام پذيرفت. برای نمونه برداری سه نقطه روی دمپ باطله به گونه اي انتخاب گردید که تقریباً تمامی سطح دمپ را در برگیرد. نمونه برداری به صورت دستی از اعماق مختلف صورت گرفت. سپس به منظور آنالیز نمونه ها از روش جذب اتمی استفاده گردید. پس از مراحل آماده سازی و طبقه بندي نمونه ها، به کمک تجزيء سرندي، از روش جذب اتمی به منظور تعیین درصد پيريت باقیمانده نمونه ها استفاده گردید. نتایج حاصل از آناليزها نشان دهنده افزایش ميزان پيريت باقیمانده نمونه ها با افزایش عمق نمونه برداری بود.

گام‌های زمانی مختلف و با در نظر گرفتن پدیده کاهش سطح پیریت ضمن انجام فعالیت‌های اکسیداسیون، حل شدند. نتایج پیش‌بینی شده توسط مدل سازی ریاضی برای اکسیداسیون پیریت با نتایج آنالیز صحرایی مقایسه گردید و تأثیر پذیری مدل ارائه شده در مقابل عواملی از قبیل ضریب نفوذ مؤثر در مدل انتقال اکسیژن به درون باطله، و مدت زمان دپوی باطله‌ها مورد بررسی قرار گرفت. نتایج به دست آمده حاکی از انطباق خوب بین داده‌های صحرایی و پیش‌بینی‌های مدل ریاضی ارائه شده، می‌باشد. اختلاف موجود نیز ممکن است به دلیل خطای نمونه برداری و خطای آنالیز نمونه‌ها باشد. یا اینکه باطله‌ها در زمان‌های متفاوتی روی دمپ دپو شده‌اند. به عنوان مثال با توجه به مدل به دست آمده از نمونه اول می‌توان اینگونه استنباط کرد که زمان قرار گیری باطله برروی دمپ نمی‌تواند بیشتر از سه ماه و یا در نمونه دوم بیشتر از ۸ ماه باشد. سپس در انتهای با توجه به میزان درصد پیریت نمونه‌ها غلظت و میزان سولفات حاصل از دمپ که به ترتیب ۱۹۸۴ تن سولفات و غلظت ۰/۶ مولار می‌باشد، محاسبه گردید. در واقع غلظت سولفات تولیدی معادل آلودگی ایجاد شده از دمپ می‌باشد. مقدار pH دمپ نیز اندازه گیری شد و مقدار ۵/۷۴ بدست آمد. میزان pH دمپ نشان دهنده اسیدی بودن محل دمپ می‌باشد. با توجه به میزان سولفات تولیدی و همچنین میزان pH بنظر می‌رسد که می‌تواند سبب حل شدن فلزات سنگین در آبهای زیرزمینی منطقه شده و باعث کاهش مقادیر مقاومت ویژه در پایین دست محل دپوی باطله‌ها در طول زمان گردد. در انتهای نیز نتایج مدل‌های بدست آمده ژئوالکتریک (تعییرات مقادیر مقاومت ویژه در برداشت سوم نسبت به برداشت اول بر روی پروفیل اول) و مدل‌سازی ریاضی با

رشد گیاهان آبی بر روی آنها، سبب کاهش نرخ نفوذ اکسیژن در خاک شده و در نهایت سبب کاهش تولید اسید می گردد.

- خنثی سازی پساب های اسیدی با استفاده از عوامل خنثی کننده همچون ریختن آهک بر روی دمپ باطله ها یکی از راههای متداول کنترل پساب های اسیدی می باشد که با توجه به حجم باطله ها از لحاظ اقتصادی نیز توجیه پذیر می باشد.

- یکی از راههای جلوگیری از ایجاد آلودگی در سد فلوتاسیون انجام زیر سازی مناسب در محل سد فلوتاسیون می باشد.

- کاشت گیاهان و درختان به منظور زیبا سازی محیط که نظیر چنین کاری در اکثر نقاط دنیا انجام شده که به عنوان مثال می توان به ایالت اویدو<sup>1</sup> اسپانیا اشاره نمود.

### ۲-۳- انجام مطالعات بیشتر در محل دمپ

به منظور انجام مطالعات بیشتر و بررسی دقیقتر در دمپ باطله ها راهکارهای زیر ارائه می گردد:

- نمونه های بیشتری از تمامی نقاط سطح دمپ باطله ها گرفته شود.  
- در نمونه برداری عمقی نمونه ها از روش حفاری اوگر استفاده گردد تا خطای نمونه برداری میزان کمتری شود.

- به منظور بررسی بهتر روند اکسیداسیون پیریت در دمپ باطله ها، پیشنهاد می گردد که نمونه هایی با عمق بیشتر گرفته شود.

<sup>1</sup> oviedo

- به منظور بررسی بهتر روند اکسیداسیون پیریت آنالیز اکسیژن در نمونه ها انجام گیرد تا عمق نفوذ اکسیژن به صورت تجربی هم مورد بررسی قرار گیرد.
- بررسی رفتار باکتریها در روند اکسیداسیون پیریت مورد توجه قرار گیرد که مشابه چنین کاری در محل دمپ های باطله معدن سرچشمه در حال انجام است.
- استفاده از آزمایش های استاتیکی و سینتیکی در دمپ باطله ها به منظور بررسی پتانسیل تولید پساب اسیدی.
- به منظور تلفیق نتایج حاصل از مطالعات ژئوفیزیک و مدل سازی ریاضی به صورت کمی لازم است که مدل سازی دو بعدی ریاضی انجام پذیرد.
- انجام برداشت های ژئوالکتریک به صورت Time Laps برای مدت زمان دو سال و یا بیشتر تا سبب جمع آوری اطلاعات کاملتری در روند انتقال آلودگی حاصله گردد.
- کم کردن فواصل الکترودی و افزایش طول پروفیل های ژئوالکتریک در پایین دست دمپ به منظور بررسی و مطالعات دقیقتر زونهای آلوده.
- نمونه برداری از آب با استفاده از حفر گمانه در نزدیک محل دمپ باطله ها و در محل پروفیل های ژئوالکتریک و مقایسه نتایج به دست آمده از آنالیز ها با مدل های ژئوالکتریک و یا نتایج مدل های ریاضی.
- نمونه برداری از آب های زیرزمینی در بخش های مناطق مسکونی پایین دست دپو و همچنین نقاط بالا دست دمپ ها به منظور بررسی و مطالعه دقیقتر روند افزایش آلودگی ناشی از دمپ باطله.

- استفاده از روش‌های ژئوفیزیکی و یا حتی حفر پیزومترها در محدوده دمپ به منظور تعیین سرعت جریان آب زیرزمینی در منطقه تا روند انتقال آلودگی در سیستم جریان آب زیرزمینی بهتر مطالعه شود.

# فهرست مراجع و مراجع

فهرست مراجع و منابع فارسی:

اصانلو، م. سلطان محمدی، و اکبری، ح. (۱۳۸۳). بررسی تأثیر پیریت بر دمپهای باطله معدن مس سرچشمه، کنفرانس مهندسی معدن، جلد دوم، ۱۴۰۱-۱۴۱۱ ص

اصانلو، م. (۱۳۷۸). مهندسی زغال سنگ، انتشارات ناقوس، چاپ اول، ۳۰-۱ ص

آرشیو شرکت زغالسنگ البرز شرقی. (۱۳۸۵)، اداره آموزش زغالسنگ البرز شرقی

اداره آب زیرزمینی دامغان. (۱۳۸۵). گزارش وضعیت آب منطقه مهماندوست و البرز شرقی

شرکت زغالسنگ البرز شرقی، اکتشافات تفضیلی منطقه زغالی رزمجا. (۱۳۶۰). گروه تهیه گزارشات دفتر فنی اکتشافات، ۱-۵۰ ص

جدیری شکری، ب. (۱۳۸۵). مشکلات زیست محیطی پساب های اسیدی معدن و روش پیش بینی پتانسیل آلودگی در ارتباط با آنها، سمینار کارشناسی ارشد، دانشگاه صنعتی شاهروod

حاجب حسینیه، ح، زمردیان، ح. (۱۳۷۵). ژئوفیزیک کاربردی [مؤلف: تلفورد و همکاران ۱۹۷۴]، انتشارات دانشگاه تهران، جلد دوم، چاپ دوم، ۳۶۰-۱ ص

دولتی ارده جانی، ف؛ شفائی تنکابنی، سید.ض؛ میر حبیبی، ع و بدیعی، خ. (۱۳۸۳). بیوتکنولوژی، ژئوشیمی زیست محیطی و مدیریت پساب ها: جلد اول - پساب های معدنی، پژوهشکده صنایع رنگ ایران، چاپ دانشگاه صنعتی شاهروod، ۲۴۸-۱ ص.

زارع، پ، توانا، ب، (۱۳۸۲)، بررسی گستره آلودگی آبهای زیر زمینی با استفاده از روش ژئو الکتریک، "IranCivilCenter.com - Technical and Educational Website of Iranian Engineers" ۱-۸ ص

سازمان زمین شناسی شناسی و اکتشافات معدنی کشور، (۱۳۸۰). نقشه زمین شناسی منطقه شاهروod

- سازمان فضایی ایران. (۱۳۸۵). عکس ماهواره‌ای منطقه مهماندost دامغان  
اداره کل آمار و فناوری اطلاعات، سالنامه آماری هواشناسی ناشر سازمان هواشناسی کشور. (۱۳۷۵-۱۳۸۵).
- سلامقه، ع و نخعی، ا. (۱۳۷۰). مبانی شیمی تجزیه، مرکز نشر دانشگاهی تهران، جلد دوم، ۳۹۷-۳۷۶ ص
- سهرابی، و، قادری، م، سالاری راد، م، (۱۳۸۳). بررسی پتانسیل تولید زهاب اسیدی از باطله‌های زغالشویی کارخانه البرز شرقی با استفاده از آزمایش ABA اصلاح شده، کنفرانس مهندسی معدن، جلد دوم، ۱۴۲۷-۱۴۱۱ ص
- عبداللهی، م و شهبازی، ب. (۱۳۸۳). بررسی پارامترهای مؤثر در حذف مغناطیسی پیریت از زغال سنگ طبیعی با استفاده از طراحی آزمایشها، کنفرانس مهندسی معدن، جلد دوم، ۱۰۶۰-۱۰۵۱ ص
- قادری، م. (۱۳۸۳). قابلیت تولید پتانسیل زهاب اسیدی باطله‌های کارخانه زغالشویی البرز شرقی، پایان نامه کارشناسی ارشد، دانشگاه صنعتی امیرکبیر، فصل سوم، موقعیت جغرافیایی منطقه کلاغری، ع. (۱۳۷۱). اصول اکتشافات ژئوفیزیکی، انتشارات تابش، ۲۶۰-۱۵۵ ص
- مرادزاده، ع. (۱۳۸۳). طرح پژوهشی اکتشاف آب زیرزمینی در استان سمنان (مطالعه دشت‌های اطراف شهرود)، دانشگاه صنعتی شهرود و سازمان مدیریت و برنامه‌ریزی، ۵۰ ص
- مؤسسه جغرافیایی ایران. (۱۳۸۰). اطلس راه‌های ایران، مؤسسه جغرافیایی و کارتوگرافی و گیتوشناسی وزارت نیرو، امور آب. (۱۳۶۹). دستورالعمل اندازه‌گیری سرعت نفوذ آب به خاک به روش استوانه مضاعف، استاندارد صنعت آب، ۱-۱۹ ص

فهرست مراجع و منابع انگلیسی:

"**Abandoned Minesite Characterization and Clean up Handbook**".(2001).

EPA.[www.epa.gov/superfund/resources/remedy/pdf/amscch](http://www.epa.gov/superfund/resources/remedy/pdf/amscch).

ABEM Interpretation Guide, (1989). **ABEM WADI VLF Interpretation**. p 1-36

ABEM Instrument AB, (1991). **Theory and case history for VLF operation**

Apparao, A., (1997). **Developments in geoelectrical methods**, first edition, A.A.Balkema/Rotterdam/Brookfield. p 156-182.

Benson A. K., Payne K. L., and Stubben M. A. (1997), **Mapping groundwater contamination using dc resistivity and VLF geophysical methods—A case study** GEOPHYSICS, VOL. 62, NO. 1; pp. 80–86

Berhard.D. (2000)."Basic Concepts in Environmental Geochemistry of Sulfide Mine Waste ".UNESKO Society of Economic Geologists(SEG).

Carpenter, P.J., Kaufman, R.S. and Price, B., (1990). **Use of resistivity soundings to determine landfill structure**. Ground Water, 28. pp. 569-575.

Cathles, L.M. and Apps, J.A. (1975). **A model of the dump leaching process that incorporates oxygen balance, heat balance and air convection**. Metallurgical Transactions B. Volume 6B. pp.617-624.

Cathles, L.M. and Apps, J.A. (1975). **A model of the dump leaching process that incorporates oxygen balance, heat balance and air convection**. Metallurgical Transactions B. Volume 6B. pp.617-624.

Davis, G.B. (1983). **Mathematical modelling of rate-limiting mechanisms of pyritic oxidation in overburden dumps**. Ph.D. Thesis, University of Wollongong, Australia, 159p.

Davis, G.B. and Ritchie, A.I.M. (1986). **A model of oxidation in pyritic mine wastes: part 1: Equations and approximate solution**. Applied Mathematical Modelling, 10 (5), pp.314-322.

Dennis. S. (2001). **Generation and Impact of Acid Mine Drainage and Treatment by Passive Systems**. MSc. Thesis, Liverpool University, England.

- Doulati Ardejani F. (2003). **Hydrogeological investigations of backfilled surface coal mine sites**, ph.D. Theses, University of Wolongong, NSW, Australia, pp 43 - 49
- Doulati Ardejani F., Singh R.N. and Baafi E.Y. (2002). **A numerical finite volume model for prediction of pollution potential of open cut mine backfill**. 6th Annual Environmental Engineering Research Event 2002 conference, Blackheath NSW, Australia, ISBN: 0-9580158-1-3.
- Doulati Ardejani, F., Singh, R.N. (2004). **Two-Dimensional simulation of pyrite oxidation and pollutant transport in backfilled open cut coal mines**. International Mine Water Association Symposium, Proceedings of the Symposium: Mine Water 2004- Process, Policy and Progress, A.P. Jarvis, Dudgeon and P.L. Younger (Eds.), University of Newcastle, Newcastle upon Tyne, United Kingdom, 19<sup>th</sup> – 23<sup>th</sup> September 2004, Volume 1, pp.121- 132.
- Doulati Ardejani, F., Singh, R.N. and Baafi, E.Y. (2004). **Use of PHOENICS for solving one dimensional mine pollution problems**. The PHOENICS Journal: Computational Fluid Dynamics & its applications, Volume 16, CHAM, UK, p 23.
- Diz.H.R. (1998). **"Chemical and Biological Treatment of Acid Mine Drainage for The Removal of Heavy Metals and Acidity"** . www.scholar. lib.vt.edu /theses /available/etd-81697-135443/unrestricted/etd.
- Elberling, B., NICHOLSON, R.V., Scharer J.m. (1994). **A combined kinetic and diffusion model for pyrite oxidation in tailing: a change in controls with time**, Journal of Hydrology 157,p 47-60
- Fahringer P. (2002). **Shallow EM investigations of AMD at an abandoned coal mine in northern west Virginia**, the LEDING Edge, p 478- 481
- Gray, W.G. and Pinder, G.F. (1974). **Galerkin approximation of the time derivative in the finite element analysis of groundwater flow**. Water Resources Research, 10 (4), pp.821-828.
- Jaynes, D.B. (1983). **Atmosphere and temperature within a reclaimed coal-stripmine and a numerical simulation of acid mine drainage from stripmined lands**. Ph.D. dissertation, Pa. State Univ., University Park, pp.161-170
- Jaynes, D.B., Rogowski, A.S. and Pionke, H.B., (1984). **Acid mine drainage from reclaimed coal strip mines**, 1, Model description. Water Resources Research, 20 (2), pp.233-242.

- Kamkar Rouhani, A., (2001). **Developments in Resistivity Methods for Detection of Subsurface Pollution**, Proceedings of the 31st Congress of International Association of Hydrogeologists (IAH), pp.734-738.
- Kleinmann.R.L.P. (2001). "Prediction of Water Quality at Surface Coal Mines".The National Mine Land Reclamation Center.
- Lock, M.H., (1999). **Time lapse resistivity imaging inversion**, proceedings of the 5<sup>th</sup> Metting of the EEGS European Section, EM1.
- Lock, M.H., (2002). **Res2dinv ver.3.5**, Geotomo software, p 1-112.
- Lock, M.H., (1999). **Electrical imaging surveys for environmental and engineering studies**, A practical guide to 2-D and 3-D surveys, p 1-58
- McGinnes. S. (1999). "Treatment of Acid Mine Drainage ".Science and Environment Section, House of Commons Library, www. Pardiament. uk/commons/lib/research/rp99.
- McNeill J.D., Labson V.F., (1975). **Geological Mapping using VLF Radio Fields ,** [Electromagnetic methods in applied geophysics, Edited by Nabighian M.N. ,Vol.2 , 1991 chapter7, society of exploration geophysics.p
- Mills.C. (2002). " Acid Rock Drainag Prediction".www.edumine.com
- Milson.J, (2002). Field geophysics, 3 Edition, Cambridge university press.
- Mitchell.P. (2000). "Prediction,Prevention Control, and Treatment of Acid Rock Drainage In:Enviromental Policy in Mining Corporate Strategy and Planning for Clousure".Edited by :Warhurst.A,Noronha.L, Chapter 7, p.p.117-144.Lewies publishers.
- Mooney, H.M., (1980), **Handbook of engineering geophysics**, volume 2, first edition, Bison instruments, inc. and Minneapolis, Minnesota, p.1-31.
- RAMAG instruction manual, (2002). **VLF survey planning and interpretation software**, p 1-18
- Reynolds, J.M. (1997). **An Introduction to applied and environmental geophysics**. John wiley & Sons Ltd, chapter 7, pp 422-423

Robins, C.W. and C.L. Wiegend. (1990). Field and Laborotory measurements. ASCE manuals and Reports No. 71, American Society of Civil Engineers, pp 201-219

Rogowski, A.S., Pionke, H.B., and Broyan, J.G. (1977). **Modelling the impact of strip mining and reclamation processes on quality and quantity of water in mined areas:** A review. Journal of Environmental Quality, 6 (3), pp.237-244

Salmone . S-PhD student . (2001)."Case Study: Modelling of Acid Mine Drainage (AMD)". Land and Water Resources Engineering Environmental Dynamics:Chemical Processes.

Seinmaus.M. (2006)." Acid Mine Drainage",Monday Creek Resoration Project , [www.mondaycreek.org](http://www.mondaycreek.org).

Singh, R.N., Doulati Ardejani, F. (2003). **Evaluation of factors affecting pyrite oxidation and subsequent pollutant generation in backfilled open cut coal mines.** 8<sup>th</sup> International Congress on Mine Water and the Environment, Johannesburg, South Africa, 19<sup>th</sup> – 22<sup>nd</sup> October 2003, pp.173-186.

Singh, R.N., Doulati Ardejani, F. (2004). **Finite volume discretisation for solving acid mine drainage problems.** Archives of Mining Science, 49 (4), pp. 531-556.  
"Submarine Tailing Disposal, Toolkit Introduction".  
(2003).[www.moles.org/projectunderground/reports/stdtoolkit\\_0702](http://www.moles.org/projectunderground/reports/stdtoolkit_0702)

"Technical Document: Acid Mine Drainage Prediction".(1994). U.S.Environmental Protection Agency Office of Solid Waste ,EPA 530-94-036.

Telford W.M., Geldart L.P. and Sheriff R.E., 1998, **Applied geophysics**, second edition, Cambridge university press, p 45-47 and 522-560.

Walter, A.L., Frind, E.O., Blowes, D.W., Ptacek, C.J. and Molson, J.W. (1994). **Modelling of multicomponent reactive transport in groundwater**, 1, Model development and evaluation. Water Resources Research, 30(11), pp.3137-3148.

Yuval, Douglas W. Oldenburg, (1996). **DC resistivity and IP methods in acid mine drainage problems:results from the Copper Cliff mine tailings impoundments**, Journal of Applied Geophysics 34, p 187-198

پیوست الف

VLF

**الف-۱- ارائه داده های برداشت VLF**

داده های برداشت شده بر روی پروفیل ها در جداول زیر آورده شده است. همان طور که مشاهده می شود روی پروفیل های ۱، ۲، ۳، ۴، ۵ و ۶ به ترتیب ۵۹، ۵۸، ۷۰، ۹۷، ۱۰۵ و ۳۴ نقطه برداشت شده است.

جدول الف-۱- نقاط برداشت شده روی ۳ پروفیل های شماره ۱، ۲ و ۳ را نشان می دهد.

profile no:1	مؤلفه حقيقی (%)	مؤلفه مجازی (%)	Profile No:2	مؤلفه حقيقی (%)	مؤلفه مجازی (%)	Profile No:3	مؤلفه حقيقی (%)	مؤلفه مجازی (%)
23.4								
0	-49.1	15.5	0	9.2	13.7	0	-41	15.7
5	-27.1	10.1	5	-2.9	7.8	5	-8	11.1
10	-4.5	6.2	10	-17.9	11.2	10	-6.2	12.2
15	-21.2	9.7	15	-9.1	10.8	15	-9.2	10.5
20	-5	6	20	-14.5	7.4	20	-17.3	9.3
25	5.8	4.7	25	0.3	6.7	25	-23.5	4.9
30	5.4	6.1	30	13.2	7.9	30	2.9	6.2
35	4.1	5.2	35	-0.5	9.9	35	-1.6	4.8
40	-2.1	5.5	40	-26.3	4.5	40	-2.9	5.7
45	2.6	5.2	45	-10.1	3.9	45	6.3	2.6
50	-6.5	4.9	50	2.4	2.7	50	1.6	3.5
55	4	4.5	55	28.2	2.4	55	28.1	0.2
60	5.2	3.2	60	9.4	2.9	60	13.5	2.1
65	4.6	2.8	65	-1.4	1.7	65	4.4	0.8
70	6.2	2.6	70	13	2	70	10.5	0.7
75	3.6	2.1	75	7	-0.1	75	9.1	0.7
80	14.9	1.9	80	13.3	0.9	80	12.8	0.2
85	-4.6	1	85	21.3	-0.6	85	15.8	-0.2
90	18.7	-2.3	90	8.1	0.6	90	17.8	-0.7
95	6.3	-0.4	95	-0.5	1.2	95	9.8	1.3
100	16.5	-3.2	100	12.7	-0.8	100	13.8	-1.7
105	4.2	-1.1	105	7.5	-0.6	105	18.5	1.5
110	8.9	-1.7	110	3.1	-3.1	110	16.9	-1.5
115	3.6	0.7	115	0.5	0.1	115	23.6	1.9
120	11.1	-3.4	120	15.1	-0.9	120	-8.3	-0.3
125	9	-3.5	125	-5.8	-0.7	125	14	-1.7
130	7.6	0.7	130	-7.9	-0.1	130	18.6	-1.7
135	7.6	-1.1	135	-5.1	0.8	135	-1.2	-0.2
140	-3.2	0	140	-11.6	0.7	140	12.2	-1.3

ادامه جدول الف - ١

profile no:1	مؤلقة حقيقي (%)	مؤلقة مجازي (%)	Profile No:2	مؤلقة حقيقي (%)	مؤلقة مجازي (%)	Profile No:3	مؤلقة حقيقي (%)	مؤلقة مجازي (%)
145	-4.4	-0.5	145	-0.8	-0.5	145	11	-1.1
150	9.1	0.3	150	6.6	0.2	150	5.3	-1.4
155	19.5	-2.3	155	5.1	2	155	11.6	0
160	5.6	-0.4	160	4.2	1.5	160	3.7	0
165	0.8	-1.8	165	5.7	1.4	165	11.2	-0.7
170	-2.6	0.5	170	-3.6	-2.8	170	14.1	-1.6
175	2.5	-2.4	175	3.4	-1.2	175	6.8	-3.6
180	33.8	-7	180	14.1	0.9	180	3.8	0.8
185	15.4	-2.5	185	1.7	-2	185	9	-0.8
190	20	-1.6	190	6.1	0.3	190	12.4	-1.6
195	7.5	-1.7	195	1.9	-0.2	195	0.7	0.8
200	8	-0.5	200	7.1	0.7	200	-7.7	1.7
205	5.2	-2.7	205	-2.7	3.5	205	-6.1	1.8
210	4.9	-2.1	210	7.2	1.3	210	-15.6	-3.7
215	10.4	-2.6	215	9.9	1.6	215	6.2	-1.9
220	7.4	-2.6	220	0.2	0	220	-3.7	-6.6
225	16.2	-1.5	225	-9.5	1.8	225	-10.1	-2.8
230	11.1	-3.6	230	6.1	1	230	9.7	-2.7
235	10.7	-0.6	235	1.6	2.7	235	-6.5	-0.3
240	4.6	-0.6	240	-6	1.1	240	-17	1.7
245	0.9	-0.3	245	2.7	-1.1	245	-16	1.2
250	-2.9	-1.3	250	8.4	-0.5	250	13.1	-0.7
255	6.2	1	255	4.1	1.2	255	21.6	-1.1
260	0.9	0	260	2	-0.3	260	8.1	-1
265	9.2	-0.8	265	-0.5	-2.9	265	9.1	-0.7
270	0.1	1.5	270	-5.7	0.1	270	16.4	-0.9
275	2.5	1.6	275	2	0	275	5.2	0
280	16.3	-4.1	280	2	-1.2	280	10.7	-1.2
285	3.3	-3	285	0	-0.5	285	9.1	-0.8
290	0.5	-3.5	290	0.8	-0.9	290	9.2	-0.2
295	4.7	0.3	295	1	-1.6	295	21.9	-1.6
300	1.3	1.3	300	1	-0.5	300	13.7	-3
305	0.5	-1.9	305	5.8	-2.4	305	11.1	-3.3
310	4.7	-3.2	310	2.8	0.6	310	8.8	-2.1
315	7.7	-2.9	315	4.5	-0.7	315	4.9	-1.3
320	9.5	-1.2	320	-0.1	0.3	320	8.5	0.3
325	7.4	-5.2	325	3.5	-0.8	325	-17.2	-0.1
330	4.6	-4.3	330	10.9	-0.3	330	13	-0.2
335	9.8	-1.6	335	0.9	-1	335	0	-2

ادامه جدول الف - ۱

profile no:1	مؤلفة حقيقى (%)	مؤلفة مجازى (%)	profile no:2	مؤلفة حقيقى (%)	مؤلفة مجازى (%)	profile no:3	مؤلفة حقيقى (%)	مؤلفة مجازى (%)
340	8.5	-4.8	340	-4.3	0.7	340	10.6	
345	4.4	-2.3	345	-3	0.7	345	12	3.2
350	10.5	-4.1	350	6.3	0.2			
355	21.6	-4.5	355	5.2	0.2			
360	16.6	-0.3	360	8.1	-1.3			
365	19.6	-3.9	365	7.6	0.6			
370	20.9	-3.8	370	-4.7	-0.3			
375	16.8	-2.8	375	5.3	-3.2			
380	20.2	-2.5	380	0	-0.4			
385	17.1	-1.7	385	1.4	-0.4			
390	16.3	-2.6	390	-5.1	0.5			
395	4.6	-4.8	395	-18.8	1.3			
400	1.2	-3.6	400	-2.1	-1.8			
405	-5.8	-4.1	405	2.4	-2			
410	-0.4	-2.2	410	-1.7	1.4			
415	16.1	-4.6	415	5	0.9			
420	-6.2	-2.5	420	-7.5	-0.9			
425	12.8	-5.3	425	-26.6	1.8			
430	6.5	-6.2	430	1.5	2.3			
435	6	-3.2	435	-4.9	0.5			
440	-4.5	-2.1	440	-7.9	-1			
445	-2.9	-0.8	445	-17.3	2.2			
450	-5.3	1	450	-21.1	0.1			
455	-19.9	0.4	455	-17.5	1.5			
460	3.8	0	460	11	1.5			
465	-5.7	-1.4	465	12.6	-1			
470	-10.1	-2.3	470	8.6	1.9			
475	0.5	-3	475	14.6	-0.9			
480	13.4	-1.9	480	4.8	2.7			
485	5.1	-2.8						
490	0.4	-2.7						
495	-3.7	2						
500	5.9	-2.1						
505	10.1	-0.3						
510	9.6	-3.7						
515	-2.1	-1.6						
520	20.4	-1.2						

**پیوست الف**

VLF

جدول الف-۲- نقاط برداشت شده روی ۳ پروفیل شماره های ۴، ۵ و ۶ را نشان می دهد.

profile no:4	مؤلفه حقيقی (%)	مؤلفه مجازی (%)	Profile No:5	مؤلفه حقيقی (%)	مؤلفه مجازی (%)	Profile No:6	مؤلفه حقيقی (%)	مؤلفه مجازی (%)
4			5			6		
4E			5E			6E		
23.4			23.4			23.4		
58			59			34		
0	18.2	2.4	0	-29.5	3	0	21	-0.3
5	26.3	3.1	5	-24.2	5	5	36.8	-2.2
10	26.2	2.3	10	-26.6	1.3	10	18.9	-5.1
15	33.2	4.5	15	-32.5	4.3	15	22.9	-2.5
20	29.6	3.2	20	-28.8	8.9	20	21.6	-6.3
25	29	6.4	25	-28.5	2.1	25	25.1	-5.4
30	23.5	3.8	30	-22.6	5.1	30	34.2	-3.3
35	31.1	5.2	35	-28.2	3.2	35	32.7	-4.2
40	32.5	2.6	40	-18.9	2.1	40	23.4	-5
45	33.3	3.4	45	-24.2	1.8	45	25.5	-5.2
50	38	0.4	50	-16.3	6.6	50	27.2	-3.5
55	37.2	0	55	-19	4.3	55	25.3	0
60	49	1.3	60	-18.9	4.9	60	26.7	-3.5
65	36.4	2.2	65	-11.9	5.2	65	28.3	-5.2
70	41.5	0	70	-7.6	4.4	70	26.7	-4.8
75	32.5	3.7	75	-23.6	6.1	75	43.8	0.5
80	46.2	1.5	80	-16.4	5.1	80	22.1	-2.7
85	35.3	0	85	-4.9	6	85	35.4	-0.4
90	35.7	1.5	90	-25.8	1.3	90	25	-3
95	39.3	1.4	95	-24.8	3.2	95	32.4	-6.3
100	30.8	-1.4	100	-3.7	0	100	36.5	-1.4
105	28.3	0	105	-26.1	-5.1	105	33.8	-4.6
110	26.4	2.1	110	-35.9	0.6	110	36.6	-6.4
115	25	1.7	115	-18.5	-2.1	115	26.4	-1.1
120	30.3	2	120	-25.3	2.6	120	25.3	0.8
125	26.6	4.1	125	-24.8	-2	125	27.6	-1.7
130	28.6	3.5	130	-22.5	1.1	130	22.5	-2.5
135	30.4	6.4	135	-13.8	-0.9	135	27.7	-2.2
140	24.5	1.4	140	-22.1	4.1	140	31	-4.3
145	7	4	145	-29.8	4.3	145	26.3	-1.1

ادامه جدول الف - ۲

profile no:4	مؤلفة حقيقى	مؤلفة مجازى	profile no:5	مؤلفة حقيقى	مؤلفة مجازى	profile no:6	مؤلفة حقيقى	مؤلفة مجازى
150	13.1	1.5	150	-23.8	-1.4	150	28.6	0.2
155	30.3	-1.6	155	-26.4	2.7	155	23	-0.2
160	9.2	0.5	160	-30.2	3.5	160	29.1	-4.3
165	8.9	-0.8	165	-29.2	1.9	165	34.2	-4.4
170	25.4	2.1	170	-23.8	4.2			
175	8.2	3.1	175	-27.1	-0.7			
180	20.4	2.3	180	-24.1	2.6			
185	28.2	5.5	185	-31.7	5.1			
190	13.1	1.7	190	-24.3	1.1			
195	5.2	1.7	195	-26	5.1			
200	7.9	1.6	200	-23.7	5.2			
205	15.3	3.9	205	-17.3	3.1			
210	15.7	3.8	210	-26	7.9			
215	5.7	3.5	215	-23.5	2.6			
220	36.9	3.8	220	-20.1	1.6			
225	5.8	0.7	225	-27.7	5.6			
230	3.9	3.9	230	-31.6	4.6			
235	30.1	0.5	235	-24.1	2.1			
240	5.5	1.9	240	-5.4	-0.3			
245	5.2	4.1	245	-13.4	-2			
250	7.1	-2	250	-14.7	0.5			
255	12.8	3.5	255	-26.2	2.9			
260	2.6	0.4	260	-25	1.3			
265	-7.7	2	265	-22.7	3.6			
270	3.1	0.2	270	-23.7	0.9			
275	32.7	2.7	275	-26.6	3.1			
280	34.3	-2.6	280	-35.9	6.7			
285	33	2.4	285	-26.1	4.1			
			290	-29.1	1.7			

## الف - ۲ - روش‌های فیلتر داده‌ها

در فیلتر کردن داده‌ها معمولاً از دو روش فریزر و کاروس - هجلت استفاده می‌شود که در ادامه به تشریح روش کاروس - هجلت پرداخته می‌شود:

### الف - ۲ - روش فیلتر کاروس - هجلت

کاروس - هجلت با استفاده از قانون بیو - ساوار کارخود را برای شرح میدان مغناطیسی حاصل از نشر جریان در سطح تحت ارضی دو بعدی شروع کردند و از تئوری فیلتر کردن خطی برای حل دستگاه معادلات نشر این جریان استفاده نمودند. آنها همچنین فرض کردند که میدان مغناطیسی در یک صفحه افقی از تغییرات چگالی جریان قراردارد و عمق آن برابر با فاصله بین ایستگاه‌های اندازه گیری می‌باشد. با انتخاب نقاط داده در فواصل دورتر، چگونگی رفتار پخش جریان در صفحه فرضی را، در عمق های بیشتر (با فواصل بیشتر)، می‌توان استنباط کرد.

فیلتر ارائه شده از کاروس - هجلت به صورت زیر می‌باشد [راهنمای تفسیر ABEM، ۱۹۸۹]:

$$\frac{\Delta Z}{2\pi} I_0 \left( \frac{\Delta x}{2} \right) = -0.205H_{-2} + 0.323H_{-1} - 1.446H_0 + 1.446H_1 - 0.323H_2 + 0.205H_3 \quad (\text{الف-1})$$

که در رابطه بالا:

$\Delta Z$ : ضخامت فرضی صفحه جریان

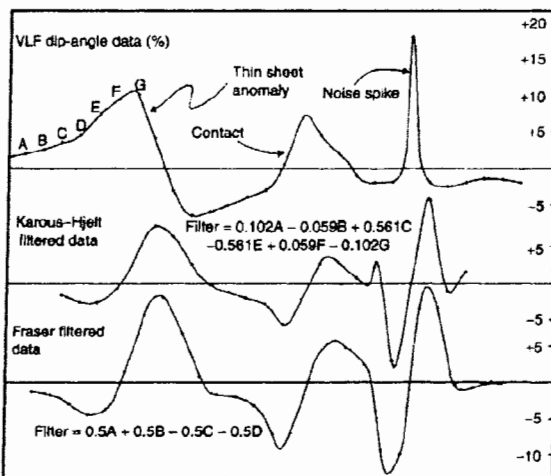
$\Delta X$ : فاصله بین نقطه داده‌ها و عمق صفحه جریان

$H$ : آنومالی میدان مغناطیسی قائم که برای هر کدام از ۶ نقطه داده نرمال شده است.

ولی معمولاً در بیشتر مواقع برای سهولت کار از فرمول زیر برای احتساب داده های فیلتر شده استفاده می گردد [راهنمای تفسیر ABEM، ۱۹۸۹]:

$$(K - H)Filter = 0.102H_{-3} - 0.059H_{-2} + 0.561H_{-1} + 0 \times H_0 \\ - 0.561H_1 + 0.059H_2 - 0.102H_3 \quad (\text{الف-۲})$$

نمودار کاروس - هجلت دارای پیک های بیشتر یا به عبارت دیگر دارای شکستگی های بیشتری نسبت به فیلتر فریزر می باشد، که می تواند به خاطر این باشد که فیلتر کاروس ۶ جلت از داده های بیشتری نسبت به فیلتر فریزر استفاده می کند. (فیلتر کاروس ۶ جلت از ۴ داده استفاده می کند در حالی که فیلتر فریزر از ۴ داده استفاده می کند [میلسون، ۲۰۰۲]).



شکل الف-۱- روش فیلتر فریزر و کاروس هجلت [میلسون، ۲۰۰۲]

برای تفسیر آسانتر داده ها، عموماً داده های فیلتر شده ترجیح داده می شود، با این وجود برخی اوقات استفاده از داده های خام به داده های فیلتر شده ترجیح داده می شود، که این انتخاب می تواند به دلایل زیر باشد [راهنمای تفسیر ABEM، ۱۹۸۹]:

- ✓ فیلتر کردن ممکن است پیک آنومالی را اندکی در طول خط پروفیل تغییر مکان دهد و برای تعیین مکان درست آنومالی، داده های خام قابل اعتمادترند.
- ✓ زمانی که آنومالی پیچیدگی شدیدی داشته باشد (به عنوان مثال، آنومالی جمع چند ساختار باشد)، جزئیات داده های خام اساساً در داده های فیلتر شده می‌تواند تغییر کند.
- ✓ عمل فیلتر کردن سبب می شود که آنومالی ناشی از کن tact ها (همبری‌ها) شبیه آنومالی یک زون هادی خطی شود.
- ✓ مقادیر آنومالی فیلتر شده نسبت به ضخامت همبری غیر حساس می‌باشد، ولی در مقادیر آنومالی خام اینگونه نیست.

در نتیجه برای تفسیر داده‌ها بهتر است که از هر دو داده خام و فیلتر شده استفاده گردد.

### الف-۳- تکنیک های اندازه گیری<sup>۱</sup>

- برای داشتن تفسیر قابل اعتماد، بایستی داده ها با کیفیت مطلوبی برداشت گردد. در زیر به چند نکته مهم برای برداشت بهتر داده ها اشاره شده است [راهنمای تفسیر ABEM، ۱۹۸۹]:
- ✓ داشتن اطلاعات کلی از زمین شناسی و زمین شناسی ساختمانی منطقه
  - ✓ پروفیل‌ها بر ساختارهای مدب نظر عمود باشند.
  - ✓ اگر قرائت در چند پروفیل مدب نظر می‌باشد از یک سیستم موقعیت‌یابی استفاده شود و پروفیل‌ها با هم موازی باشند.

1- Measurement techniques

- ✓ بعد از اینکه پروفیل ها انتخاب شدن باید یک فرستنده مناسب انتخاب شود باید توجه داشت که امتداد انتشار امواج حتماً باید بر پروفیل عمود باشد.
- ✓ امتداد پروفیل باید ثابت باشد و حتی در صورت مواجه شدن با مانع امتداد مورد نظر را نباید تغییر داد.
- ✓ فاصله بین ایستگاه های اندازه گیری باید با دقّت انتخاب شود. معمولاً فاصله ۱۰ متری بین ایستگاه ها مناسب می باشد ولی در صورت نیاز به مطالعات و اکتشافات و به سطحی فاصله ۵ متری مناسب تر است.
- ✓ آتن دستگاه در زمان انجام قرائت ها، باید به صورت عمود باشد.
- ✓ طول پروفیل به اندازه کافی بزرگ باشد تا آنومالی مطلوبی حاصل گردد، معمولاً پروفیلی با طول ۲۰۰ متر مناسب می باشد.

#### الف-۴- نویزهای مؤثر در برداشتهای VLF

به طور کلی می توان انواع نویزهای<sup>۲</sup> مؤثر در برداشتهای VLF را به صورت زیر طبقه بندی نمود [مک

نیل و لابسون، ۱۹۷۵]:

✓ نویزهای اتمسفری مؤثر بر فرکانس های<sup>۳</sup> VLF

✓ تأثیر توپوگرافی روی پاسخ میدان مغناطیسی<sup>۴</sup> VLF<sup>۴</sup>

2- Noises

3- Atmospheric Noise at VLF Frequencies

1- Effects of Topography on VLF magnetic field response

## ✓ سایر نویزها

**الف-۴-۱- نویزهای اتمسفری موثر بر فرکانس‌های VLF**

نویزهای ایجاد شده در گیرنده‌های VLF در دامنه‌ای قرار می‌گیرند که سیگنال‌های VLF در آن یافت می‌گردند، که این از محاسن دستگاه محسوب می‌گردد. این نویزها توسط میدان مغناطیسی تولید شده از دشارژ الکتریکی اتمسفر نشر پیدا می‌کند و دراثر فعالیت‌های تندی اتمسفر که با دو عامل موقعیت آن بر روی سطح زمین و زمان تغییر می‌کنند، چندین تراز مختلف از نویزها ایجاد می‌شود. زمانی که امواج ارسالی الکترومغناطیسی با جریان قائم تولید شده از دشارژ الکتریکی روزانه تداخل می‌کند، سبب کاهش انتقال مؤلفه‌های میدان (مؤلفه الکتریکی قائم و مؤلفه مغناطیسی افقی) در فضای زمین - یونسفر می‌شوند و در نتیجه آن سیگنال‌های ارسالی از فرستنده‌های VLF تحت تأثیر قرار می‌گیرند. یکی از موارد پیشنهادی برای کاهش میزان نویزهای دریافتی این است که برداشت‌ها در زمان‌های مناسبی در طول روز انجام پذیرند. بهترین زمان برای انجام برداشت‌های الکترومغناطیسی اولین ساعت صبح تا اوایل شب می‌باشد [مک نیل و لابسون، ۱۹۷۵].

**الف-۴-۲- سایر نویزها**

عواملی مانند، کابل‌ها، لوله‌های فلزی مدفون در زمین، حصارهای الکتریکی و سایر ممکن است بر روی آنومالی‌های حاصل از برداشت‌های VLF تأثیر داشته باشند. یکی از راه‌های از بین بردن آنها، برداشت پروفیل به موازات کابل‌ها و لوله‌های فلزی است [مک نیل و لابسون، ۱۹۷۵].

پیوست ب

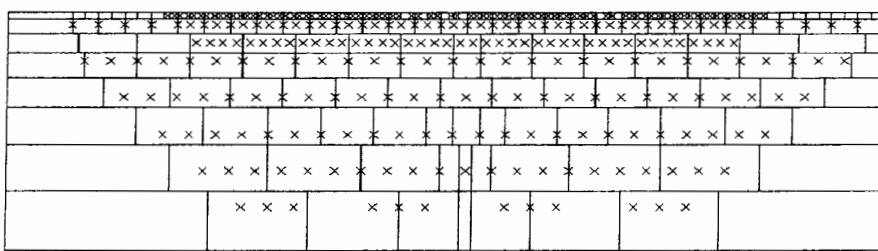
معرفی نرم افزار

Res2dinv

### ب-۱- معرفی نرم افزار Res2dinv

نرم افزار Res2dinv از جمله برنامه های کامپیوترا است که به صورت خودکار مدل دو بعدی داده های حاصل از مشاهدات صحرایی را رسم می کند. این برنامه تحت ویندوز عمل نموده و محیط گرافیکی مناسبی دارد. این برنامه توانایی معکوس سازی تعداد زیادی داده (از ۲۰۰ تا ۶۵۰۰) را دارا می باشد. مدل دو بعدی که توسط نرم افزار مذکور است بکار برده می شود، شامل تعدادی بلوک مستطیلی است

(شکل ب-۱)



شکل ب-۱- مدل دو بعدی در نرم افزار Res2dinv (علامت ضرب محل داده ها را نشان می دهد) [لوک، ۱۹۹۹]

توزيع و اندازه بلوک ها به صورت خودکار توسط برنامه طراحی می گردد. برای این منظور توزیع داده ها را به عنوان مبنای به کار می برد. معمولاً داده ها را منظم، با فواصل ثابت و بر روی یک خط برداشت می کنند. اما این برنامه، حتی قادر به معکوس سازی داده هایی است، که با فاصله غیر یکسان از هم برداشت شده اند. این نرم افزار شامل برنامه ای است که با استفاده از تئوری مدلسازی پیشرو قادر به محاسبه مقادیر مقاومت ویژه ظاهری مدل محاسبه شده است. Res2dinv روش کمترین مربعات غیر خطی را بکار می برد و محاسبات عددی را با روش های تفاضل محدود<sup>۱</sup> و اجزاء محدود<sup>۱</sup> انجام می دهد.

<sup>۱</sup> Finite - Difference

این برنامه می تواند برای روش های ونر، دوقطبی - دوقطبی، قطبی - دو قطبی، قطبی - قطبی، ونر - شلومبرژه و آرایش مستطیلی بکار بردشود. به علاوه این برنامه قادر است داده های به دست آمده از آرایش های غیر متداول که محدودیتی از نظر نوع آرایش الکترود ها ندارند، مدل سازی نماید. این برنامه علاوه بر روش های الکتریکی روی زمین، برداشت های زیر آب و درون چاهی را نیز تحت پوشش قرار می دهد. مضافاً اینکه داده های حاصل از برداشت به روش IP را نیز مدل سازی می نماید [لوک، ۲۰۰۲].

## ب-۲- تئوری بکار بردشده در نرم افزار Res2dinv

تکنیکی را که این نرم افزار بکار استفاده می نماید، بر اساس روش کمترین مربعات هموار مقید شده<sup>۱</sup> می باشد. رابطه ریاضی این روش به صورت زیر بیان می گردد [لوک، ۲۰۰۲]:

$$(J^T J + uF)d = J^T g \quad (ب-۱)$$

در رابطه ب-۱ مقدار F به صورت زیر می باشد:

$$F = f_x f_x^T + f_z f_z^T \quad (ب-۲)$$

$f_x$ : فیلتر تخت افقی

$f_z$ : فیلتر تخت قائم

$J$ : ماتریس ژاکوبین

$u$ : فاکتور تعدیل

$d$ : بردار آشفتگی مدل

$g$ : بردار همگرایی

این برنامه برای انجام مدل سازی روش کمترین مربعات و روش عددی گاوسی - نیوتون را به کار

1 Finite - Element

2 Smoothness – constrained Least - Squares

می برد. روش کمترین مجموع مربعات در هر بار تکرار، بر خلاف روش گاوس - نیوتون، ماتریس ژاکوبین ساخته نمی شود، بلکه ماتریس قبلی تصحیح می گردد. لذا ۱۰ مرتبه سریع تر است و حافظه کمتری را برای انجام محاسباتی خود اختصاص می دهد. در ضمن روش سنتی گاوس - نیوتون را نیز می توان در این برنامه بکار برد. این روش دقیق تر است و برای نواحی که اختلاف مقاومت ویژه بین آنها زیاد است، جواب بهتری می دهد. این برنامه این قابلیت را نیز دارد که ۲ یا ۳ تکرار اول را با روش گاوس - نیوتون انجام دهد[لوک، ۲۰۰۲]. این برنامه زمین را به تعدادی بلوك مستطیلی شکل تقسیم می کند (شکل ب-۱) و هدف از این کار محاسبه مقاومت ویژه هر بلوك است و در نهایت مدل توزیع مقاومت ویژه واقعی محاسبه می گردد. ضخامت اولین لایه بلوك ها برای قطبی - دو قطبی و دو قطبی - دوقطبی به ترتیب  $۶/۰$  و  $۰/۳$  فاصله الکترودی می باشد و بعد از آن با افزایش عمق، ضخامت لایه به صورت نرمال به مقدار  $۱۰\%$  یا  $۲۵\%$  و یا به اندازه ای که کاربر بخواهد افزایش می یابد. روش بهینه سازی میزان اختلاف ما بین مقاومت های ظاهری محاسبه شده و اندازه گیری شده را با تنظیم مدل های بلوكی کاهش می دهد.

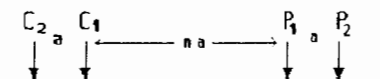
مقادیر اختلاف موجود معمولاً با روش کمترین مجموع مربعات محاسبه می شود. که به عنوان مقدار RMS<sup>۱</sup> از آن نام برده می شود. برنامه در هر بار تکرار خطای RMS را محاسبه می کند و سعی در کاهش آن دارد. بایستی به این نکته دقت شود که مدل با کمترین خطای ممکن است تغییرات غیر طبیعی و بسیار زیادی را در مقاومت ویژه نشان دهد و بنابراین مدل با کمترین خطای همیشه بهترین جواب نیست[لوک، ۲۰۰۲]

1- Root – mean - squared

### ب-۳- فایل داده ها با استفاده از روش دوقطبی - دو قطبی و IP

جهت انجام مدلسازی ابتدا داده ها را توسط فایلی با پسوند DAT به برنامه می دهنند. راهنمای برنامه، نحوه ساختن فایل حاوی اطلاعات را در اختیار کاربر قرار می دهد.

فرمت داده های برداشت دوقطبی - دوقطبی با توجه به نحوه قرارگیری الکتروودها در شکل ب-۲ به ترتیبی است که در ادامه آورده شده است.



شکل ب-۲- ترتیب قرار گیری الکتروودها در روش دو قطبی - دو قطبی [لوک، ۲۰۰۳] که در این شکل:

$C_1, C_2$ : الکتروودهای جریان

$P_1, P_2$  : الکتروود های پتانسیل

۱: فاصله بین دو الکتروود جریان ( $C_1$  و  $C_2$ ) یا فاصله بین دو الکتروود پتانسیل ( $P_1$ ,  $P_2$ )

۲: فاصله بین الکتروود های جریان و پتانسیل(فاکتور جدا سازی قطب ها<sup>۱</sup>)

مقدار ابتدایی  $m$ ، ۱ می باشد و سپس افزایش پیدا می کند. عموماً مقدار ماکزیمم  $m$ ، ۴ و یا ۶ می باشد. استفاده از مقادیر بزرگتر از ۶ عموماً توصیه نمی شود، زیرا زمانی که فاکتور جدا سازی قطب ها افزایش می یابد، پتانسیل اندازه گیری شده بین  $P_1$  و  $P_2$  به سرعت کاهش می یابد.

فرمت فایل ورودی داده ها به صورت زیر می باشد:

خط اول : عنوانی که می خواهیم بالای مدل نوشته شود (در این پروژه نام پروفیل مورد نظر وارد شده

1- Diopole separation factor

است).

خط دوم: فاصله الکترودی که در این تحقیق به ترتیب در پروفیل اول و پروفیل دوم ۵۰ و ۴۰ متر است

خط سوم: نوع آرایش بکار رفته که با یک عدد مشخص می شود. آرایش دو قطبی - دو قطبی با عدد ۳ مشخص می گردد.

خط چهارم: تعداد داده ها

خط پنجم: در صورتی که بر اساس موقعیت افقی اولین الکترود داده شده باشد، عدد ۱ و اگر بر اساس موقعیت نقطه میانی (بین الکترود های پتانسیل و جریان) داده شده باشد عدد صفر.

خط ششم: برای داده های IP عدد ۱ و در غیر این صورت عدد صفر وارد می گردد.

خط هفتم: به دلیل وجود داده های IP در این خط نوع داده های IP با عبارت Chargeability باید وارد گردد.

خط هشتم: واحد IP که در اینجا msec می باشد.

خط دهم: زمان تاخیر و زمان مجموع که به ترتیب به شکل روبرو نوشته می شود: ۰/۱ و ۱/۰.

خط یازدهم: از اینجا به بعد داده ها را به صورت زیر وارد می کنیم:

ستون اول: موقعیت افقی x-locxation

ستون دوم: مقدار فاصله a که در پروفیل اول و دوم به ترتیب دارای مقادیر ۵۰ و ۴۰ انتخاب شده است.

ستون سوم: مقدار فاکتور n

ستون چهارم: مقدار مقاومت ویژه ظاهری.

ستون پنجم: مقدار IP.

به همین ترتیب تمام داده ها را وارد می کنیم.

- در صورت وجود، داده های توپوگرافی این مقادیر را وارد می کنیم

- در انتهای تعدادی صفر وارد می شود.

مقادیر IP می تواند به صورت فرمت های مختلف مورد استفاده قرار گیرد:

✓ مقادیر اندازه گیری شده در حوزه زمان<sup>۱</sup>.

✓ مقادیر اندازه گیری شده درصد فرکانس موثر در حوزه فرکانس<sup>۲</sup>.

✓ مقادیر اندازه گیری شده در فاز زاویه ای<sup>۳</sup>.

✓ مقادیر فاکتور فلزی<sup>۴</sup>.

معمولًا از داده های نوع اول در معکوس سازی استفاده می شود که در مطالعه حاضر نیز داده های IP از

این نوع می باشند. واحد اندازه گیری زمان میلی ثانیه<sup>۵</sup> است

فرآیند معکوس سازی در این روش می تواند به دو شکل زیر انجام گیرد:

در روش اول، معکوس سازی مقادیر مقاومت ویژه و IP به صورت جداگانه صورت می گیرد. در این

روش بعد از اتمام معکوس سازی مقاومت ویژه، معکوس سازی داده های IP صورت می گیرد. در این

روش مدل مقاومت ویژه ظاهری به دست آمده در آخرین مرحله تکرار معکوس سازی مقاومت ویژه (که

1 - Time domain chargeability measurements

2 - Frequency domain percent frequency effect measurements

3 - Angle phase measurements

4- Metal factor

5- milisecond

معمولًاً دارای کمترین مقدار RMS می باشد) برای معکوس سازی IP به کار گرفته می شود. معمولًاً برنامه Res2dinv از این روش در معکوس سازی استفاده می کند و روش مناسبی می باشد. در روش دوم، فرآیند معکوس سازی مقاومت ویژه ظاهری و مقادیر IP به طور همزمان انجام می گیرد. در این روش پس از هر مرحله تکرار در معکوس سازی مقاومت ویژه ظاهری بلافصله معکوس سازی مقادیر IP صورت می گیرد. باید توجه کرد که در صورت داشتن مقادیر غیر نرمال IP یعنی مقادیر خیلی بالا و یا خیلی پائین باید این مقادیر را کنترل نمود برای این منظور، ابتدا باید شبه مقطع مقاومت ویژه ظاهری را کنترل نمود. در صورتی که مقادیر مقاومت ویژه اندازه گیری شده نویزی باشد، در این صورت مقادیر IP نیز غیر قابل اعتماد خواهند بود. پس از چک نمودن مقادیر مقاومت ویژه ظاهری باید مقادیر IP را نیز کنترل نمود. نکته مهم دیگر در مدل های معکوس سازی شده IP این است که RMS در این مدل ها ممکن است مقدار زیادی داشته باشد. معمولًاً مقدار RMS داده های IP نسبت به RMS داده های مقاومت ویژه مقدار بیشتری دارد.

#### **ب-۴- فایل داده ها با استفاده از روش Time- laps**

در این پایان نامه داده ها با استفاده از روش دو قطبی- دوقطبی برداشت شدند و جهت بررسی تغییرات زمانی این برداشت ها در طول زمان با استفاده از Time Laps مدل سازی شده است. فرمت فایل ورودی داده ها برای انجام سه برداشت در زمانهای مختلف به صورت زیر می باشد:

خط اول: عنوانی که می توان بالای مدل نوشت (در تحقیق حاضر نام پروفیل مورد نظر در Time- Laps وارد شده است).

خط دوم: فاصله الکترودی که به ترتیب در پروفیل اول ۵۰ متر و در پروفیل دوم ۴۰ متر انتخاب شده است.

خط سوم : نوع آرایش بکار رفته در این روش که با یک عدد مشخص می شود. آرایش دو قطبی - دو قطبی با عدد ۳ مشخص می گردد.

#### خط چهارم : تعداد داده ها

خط پنجم : برای موقعیت افقی نقطه میانی (بین الکترود های پتانسیل و جریان) عدد ۱ انتخاب گردد.

خط ششم : به دلیل اینکه بدون استفاده از داده های IP معکوس سازی صورت گرفته است، عدد صفر وارد شد.

خط هفتم : عنوان معرفی کننده داده های time- laps که دقیقاً باید با فرمت زیر نشان داده می شود:

" Time sequence data"

خط هشتم: عنوان و دقیقاً باید با فرمت زیر نشان داده می شود:

" Number of time section "

خط نهم : واحد به کار رفته در اندازه گیری زمان، که در این پروژه با ساعت(Hours) مشخص شده است.

خط دهم : عنوان و دقیقاً باید با فرمت زیر نشان داده می شود:

" Second time section interval "

خط یازدهم: اختلاف زمانی در برداشت دوم.

خط دوازدهم: اختلاف زمانی در برداشت سوم.

خط سیزدهم: از اینجا به بعد داده ها را به صورت زیر وارد می کنیم:

## ستون اول: موقعیت افقی x-locxation

ستون دوم: مقدار فاصله a که در مورد پروفیل های اول و دوم به ترتیب مقادیر ۵۰ و ۴۰ وارد شده است.

## ستون سوم: مقدار فاکتور n

ستون چهارم: مقدار مقاومت ویژه ظاهری در برداشت اول

ستون پنجم: مقدار مقاومت ویژه ظاهری در برداشت دوم

ستون ششم: مقدار مقاومت ویژه ظاهری در برداشت سوم.

به همین ترتیب تمام داده ها را وارد می کنیم.

- در انتهای تعدادی صفر وارد می شود.

باید توجه کرد که نرم افزار Res2dinv با version 3.2 در معکوس سازی داده ها با روش Time- Laps

متأسفانه قابلیت معکوس سازی داده های IP را نداشته و فقط برای معکوس سازی داده های مقاومت

ویژه ظاهری استفاده می گردد [لوک، ۱۹۹۹].

فرآیند معکوس سازی ممکن است به این شکل باشد که ابتدا معکوس سازی سری اول داده ها انجام

می پذیرد یعنی کلیه تکرارهای آن انجام شود و سپس معکوس سازی سری داده های بعدی انجام می شود

و یا اینکه پس از هر بار تکرار معکوس سازی سری اول داده ها، از این مجموعه به عنوان مدل مرجع جهت

معکوس سازی مجموعه داده های بعدی استفاده گردد. البته باید به خاطر داشت که برنامه این قابلیت را

نیز دارد که اجازه انتخاب مدل مرجع را تحت عنوان preceding data set به ما می دهد. در این حالت

اولین مجموعه داده ها به عنوان مدل مرجع برای داده های مجموعه دوم و مجموعه داده های دوم به

عنوان مدل مرجع برای مجموعه داده های سوم انتخاب می گردد.

پیوست ج

مدل های معکوس قطبیش القابی

### ج-۱- پلاریزاسیون القائی<sup>۱</sup>

طبق تعریفی که سامر در سال ۱۹۷۶ برای پلاریزاسیون القائی ارائه نمود، این پدیده الکتریکی در حقیقت تابعی از ولتاژ رو به زوال مواد مختلف درون زمین پس از قطع جریان مستقیم (DC) تزریقی می‌باشد که بین الکترود های پتانسیل اندازه گیری می‌شود. تجربیات نشان می‌دهد که بعد از قطع ناگهانی جریان، اختلاف پتانسیل بین الکترودهای پتانسیل فوراً صفر نمی‌گردد، بلکه بعد از یک کاهش اولیه، به تدریج روبه زوال می‌گذارد. در چنین مواردی زمین در واقع به مانند یک خازن عمل کرده و بار الکتریکی را هنگام وصل جریان به صورت انرژی شیمیایی ذخیره می‌کند. در اندازه گیری مقاومت ویژه اگر به جای جریان مستقیم از جریان متناوب استفاده کنیم، مقاومت ویژه ظاهری با افزایش فرکانس کاهش می‌باید زیرا خاصیت خازنی زمین در برابر عبور جریان مستقیم مقاومت نموده و در مقابل جریان متناوب به مانند یک خازن، مقاومت کمتری از خود نشان می‌دهد.

اندازه گیری IP به شکل های زیر انجام می‌گیرد:

✓ اندازه گیری در حوزه زمان<sup>۲</sup>

✓ اندازه گیری در حوزه فرکانس<sup>۳</sup>

مقدار قابلیت بارپذیری (M) که نسبت سطح زیر نمودار منحنی رو به زوال ولتاژ در فاصله زمانی  $t_1-t_2$

در هنگام قطع جریان به مقدار ولتاژ قبل از قطع جریان  $\Delta V_s$  که مطابق شکل ج-۱ به صورت زیر تعریف

<sup>۱</sup> - Inducted Polarization

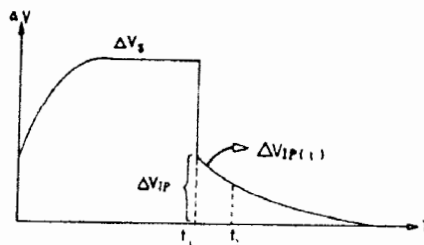
<sup>۲</sup> - Time domain

<sup>۳</sup> -Frequency domain

می شود:

$$\mathbf{M} = \frac{A}{\Delta V_S} = \frac{1}{\Delta V_S} \cdot \int_{t_1}^{t_2} V(t) \cdot dt \quad (ج-1)$$

برای جلوگیری از جفت شدگی<sup>۴</sup> الکترومغناطیسی و کاهش اثرات آن بر روی اندازه گیری قابلیت بارپذیری جسم، اندازه گیری سطح زیر منحنی نباید بلا فاصله بعد از قطع جریان باشد [مرادزاده، ۱۳۸۳].



شکل ج-۱ نحوه اندازه گیری IP در حوزه زمان [کلاغری، ۱۳۷۱]

## ج-۲- مدل های معکوس سازی شده قطبش القائی مربوط به پروفیل ۱

در شکل ج-۲ مدل های معکوس IP در برداشت های مختلف بر روی پروفیل اول آورده شده است. باید

توجه دارد که در تمامی مدلها میزان خطای مدلها بسیار کم می باشد که نشان دهنده تطابق خوب داده

های صحرایی با نتایج مدل معکوس می باشد. برای مشخص نمودن آلودگی ایجاد شده، باید توجه کرد که

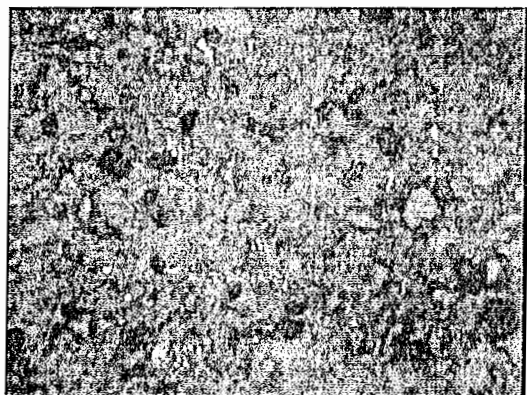
این زون با افزایش در مقدار شارژabilite همراه است. مدل های حاصل از IP از هماهنگی مطلوبی با مدل های

مقاومت ویژه برخوردار است. در تمامی مدلها تغییرات شارژabilite بخوبی دیده می شود. به عنوان مثال در

برداشت دوم مقادیر شارژabilite از فاصله ۱۵۰ متری تا ۳۵۰ متری دارای افزایش مقدار می باشد.

پوست د

تصاویر مقاطع صیقلی



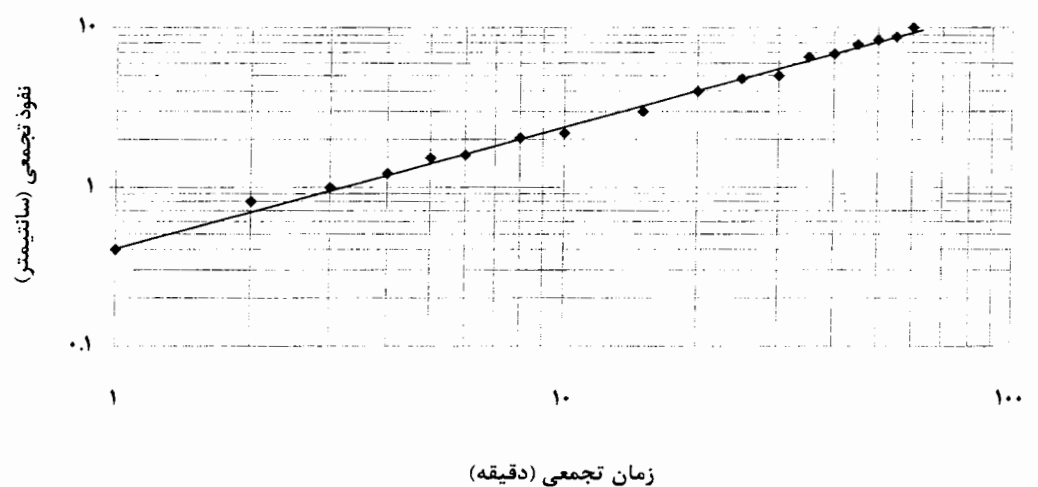
شکل د-۴- تصویر مقطع صیقلی مربوط به نمونه ۳ که از عمق ۱/۵ امتري تهیه شده است.



شکل د-۵- تصویر مقطع صیقلی مربوط به نمونه ۳ که از عمق ۱/۵ امتري تهیه شده است.



شکل د-۶- تصویر مقطع صیقلی مربوط به نمونه ۳ که از عمق ۱/۵ امتري تهیه شده است.



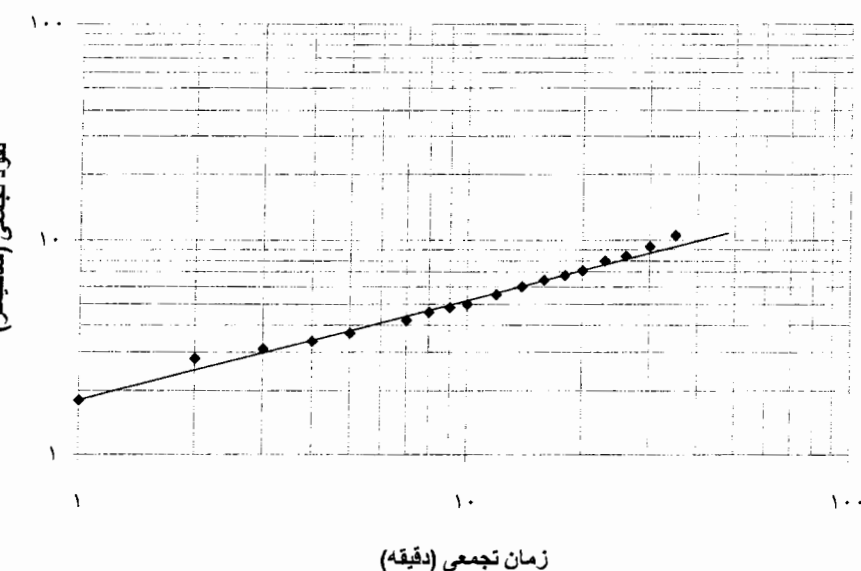
شکل ۵-۱- تعیین نفوذ پذیری دمپ باطله ها در نقطه ۲

جدول ۵-۱- مقادیر محاسبه شده تعیین نفوذ پذیری در نقطه ۲ واقع بر دمپ باطله ها

مقدار	پارامتر
۰/۷۶	$m$
-۰/۲۴	$n$
۱۸/۱۴	$a$
۱۴۶/۵۷ (دقیقه)	$t_b$
۵/۳۶ (ساعت / سانتیمتر)	$I_b$

با توجه به مقادیر محاسبه شده در جدول ۵-۱ و جدول ۵-۸، نفوذ پذیری دمپ از لحاظ کیفی جزء طبقه بندی خیلی سریع قرار می گردد.

## تعیین نفوذ پذیری



شکل ۵-۲- تعیین نفوذ پذیری دمپ باطله ها در نقطه ۳

جدول ۵-۲- مقادیر محاسبه شده تعیین نفوذ پذیری در نقطه ۳ واقع بر دمپ باطله ها

پارامتر	مقدار
$m$	۰/۴۷
$n$	۰/۵۳
$a$	۵۰/۳۶
$t_b$ (دقیقه)	۳۲۰/۲۱۱
$I_b$ (ساعت / سانتیمتر)	۲/۳۲

با توجه به مقادیر محاسبه شده در جدول ۵-۲ و جدول ۵-۸، نفوذ پذیری دمپ از لحاظ کیفی جزء طبقه بندی خیلی سریع قرار می گردد.

پیوست و

فایل های GroundQ

## GROUND و Q1 فایلهای

```

TALK=T;RUN( 1, 1)
Q1 FILE
*****
    Q1 created by Behshad Jodeiri, Version 3.6, Date 21/06/06
    CPVNAM=VDI;SPPNAM=Core
*****
    Echo DISPLAY / USE settings
*****
IRUNN =      1 ;LIBREF =      0
*****
Group 1. Run Title
TEXT(No title has been set for this run.  )
*****
Group 2. Transience
STEADY=F
    * Set overall time and no. of steps
RSET(U,0.000000E+00,6.307200E+07,24)
    * Modify regions
RSET(T,1,24,1.000000E+00)
*****
Groups 3, 4, 5 Grid Information
    * Overall number of cells, RSET(M,NX,NY,NZ,tolerance)
RSET(M,1,1,30)
*****
Group 6. Body-Fitted coordinates
*****
Group 7. Variables: STOREd,SOLVEd,NAMED
ONEPHS = T
NAME(148) =DEN1
    * Solved variables list
SOLVE(C1 ,C2 )
    * Stored variables list
STORE(DEN1)

*****
Group 8. Terms & Devices
TERMS (C1 ,N,N,N,Y,Y,Y)
TERMS (C2 ,N,N,Y,N,N,Y)
*****
Group 9. Properties
PRESS0 = 1.000000E+05 ;TEMP0 = 2.730000E+02
    * Domain material is: 67 WATER at 20. deg C
SETPRPS(1, 67)
RHO1 = 1.000000E+00
ENUL = 1.000000E+00
ENUT = 0.000000E+00
DVO1DT = 1.180000E-04
PRNDTL(C2 ) = -5.000000E-08
*****
Group 10. Inter-Phase Transfer Processes
*****
Group 11. Initialise Var/Porosity Fields
FIINIT(C1 ) = 3.150000E+02 ;FIINIT(C2 ) = 0.000000E+00
No PATCHes used for this Group

```

```

INIADD = F
*****
Group 12. Convection and diffusion adjustments
No PATCHes used for this Group
*****
Group 13. Boundary & Special Sources

** C2 = oxygen fraction
PATCH (INSOUR ,CELL ,2,0,0,0,0,0,1,24)
COVAL (INSOUR ,C2 ,FIXVAL , 2.100000E-01)

PATCH (C2SINK ,CELL ,0,0,0,0,0,0,1,24)
COVAL (C2SINK ,C2 ,2.210000E-09, 0.000000E+00)

***C1 = pyrite fraction

PATCH (C1SINK ,CELL ,0,0,0,0,0,0,1,24)
COVAL (C1SINK ,C1 ,FIXFLU , GRND    )

EGWF = T
*****
Echo InForm settings for Group 13
inform13begin
inform13end
*****
Group 14. Downstream Pressure For PARAB
*****
Group 15. Terminate Sweeps
LSWEEP = 500
RESFAC = 1.000000E-03
*****
Group 16. Terminate Iterations
*****
Group 17. Relaxation
*****
Group 18. Limits
*****
Group 19. EARTH Calls To GROUND Station
USEGRD = T ;USEGRX = T
ASAP = T
PARSOL = T
CONWIZ = T
IDISPB = 1 ;IDISPC = 5000
RG( 1)= 5.900000E-10
RG( 3)= 2.000000E-03
RG( 4)= 2.100000E+00
RG( 5)= 5.000000E+00
*****
Group 20. Preliminary Printout
ECHO = T
*****
Group 21. Print-out of Variables
*****
Group 22. Monitor Print-Out
IXMON = 1 ;IYMON = 1 ;IZMON = 3

```

```

NPRMON = 100000
NPRMNT = 1
TSTSWP = -1
*****
Group 23. Field Print-Out & Plot Control
NPRINT = 100000
NTPRIN = 100000 ;ISTPRF = 1 ;ISTPRL = 10000
ISWPRF = 1 ;ISWPRL = 100000
No PATCHes used for this Group
*****
Group 24. Dumps For Restarts
IDISPA = 1 ;IDISPB = 1 ;IDISPC = 5000
CSG1 ='M'

GVIEW(P,0.000000E+00,-9.950042E-01,9.983341E-02)
GVIEW(UP,0.000000E+00,9.983341E-02,9.950042E-01)

> DOM, SIZE, 1.000000E-01, 1.000000E-01, 5.000000E+00
> DOM, MONIT, 5.000000E-02, 5.000000E-02, 4.166670E-01
> DOM, SCALE, 1.000000E+00, 1.000000E+00, 1.000000E+00
> DOM, SNAPSIZEx, 1.000000E-02
> GRID, RSET_Z_1, 30, 1.000000E+00

> OBJ, NAME, OUT
> OBJ, POSITION, 0.000000E+00, 0.000000E+00, 5.000000E+00
> OBJ, SIZE, 1.000000E-01, 1.000000E-01, 0.000000E+00
> OBJ, GEOMETRY, cube12t
> OBJ, ROTATION24, 1
> OBJ, TYPE, OUTLET
> OBJ, PRESSURE, 0.000000E+00
> OBJ, TEMPERATURE, SAME
> OBJ, COEFFICIENT, 1.000000E+03
> OBJ, TIME_LIMITS, ALWAYS_ACTIVE

> OBJ, NAME, IN
> OBJ, POSITION, 0.000000E+00, 0.000000E+00, 0.000000E+00
> OBJ, SIZE, 1.000000E-01, 1.000000E-01, 9.000000E-02
> OBJ, GEOMETRY, default
> OBJ, ROTATION24, 1
> OBJ, TYPE, CELLCYPE
STOP
</strong></pre></body></html>

```

C      Ground file

```

C.... FILE NAME GROUND.FTN-----240802
      SUBROUTINE GROUND
      include '/phoenics/d_includ/farray'
      INCLUDE '/phoenics/d_includ/satear'
      INCLUDE '/phoenics/d_includ/grdloc'
      INCLUDE '/phoenics/d_includ/satgrd'
      INCLUDE '/phoenics/d_includ/grdear'
      INCLUDE '/phoenics/d_includ/grdbfc'
      COMMON/IDATA/IDFL(118)
      COMMON/GENI/NXNY,IGFIL(8),NFM,IGF(21),IPRL,IBTAU,ILTLS,IGFIL(15),
      1 ITEM1,ITEM2,ISPH1,ISPH2,ICON1,ICON2,IPRPS,IRADX,IRADY,IRADZ,IVFOL
      COMMON/DRHODP/ITEMP,IDEN/DVMOD/IDVCGR
      COMMON/HBASE/IH01,IH02,KH01,KH01H,KH01L,KH02,KH02H,KH02L,L0H012
      COMMON /NAMFN/NAMFUN,NAMSUB
      CHARACTER*6 NAMFUN,NAMSUB
      LOGICAL EF,NF,HF,EF0,NF0,HF0
CXXXXXXXXXXXXXXXXXXXXXXXXXXXXXX USER SECTION STARTS:
C
C 1 Set dimensions of data-for-GROUND arrays here. WARNING: the
C corresponding arrays in the MAIN program of the satellite
C and EARTH must have the same dimensions.
C PARAMETER (NLG=100, NIG=200, NRG=200, NCG=100)
C
C      COMMON/LGRND/LG(NLG)/IGRND/IG(NIG)/RGRND/RG(NRG)/CGRND/CG(NCG)
C      LOGICAL LG
C      CHARACTER*4 CG
C          DIMENSION UUGV1(20,40),UUGPOT(20,40)
C      DATA NXDIM,NYDIM/40,20/
C
C 2 User dimensions own arrays here, for example:
C      DIMENSION GUH(10,10),GUC(10,10),GUX(10,10),GUZ(10)
C
C 3 User places his data statements here, for example:
C      DATA NXDIM,NYDIM/10,10/
C
C 4 Insert own coding below as desired, guided by GREX examples.
C Note that the satellite-to-GREX special data in the labelled
C COMMONs /RSG/, /ISG/, /LSG/ and /CSG/ can be included and
C used below but the user must check GREX for any conflicting
C uses. The same comment applies to the EARTH-spare working
C arrays EASP1, EASP2,...,EASP20. In addition to the EASPs,
C there are 10 GRound-earth SPare arrays, GRSP1,...,GRSP10,
C supplied solely for the user, which are not used by GREX. If
C the call to GREX has been deactivated then all of the arrays
C may be used without reservation.
C
C*****
C
      IXL=IABS(IXL)
      IF(IGR.EQ.13) GO TO 13
      IF(IGR.EQ.19) GO TO 19
      GO TO (1,2,3,4,5,6,25,8,9,10,11,12,13,14,25,25,25,25,19,20,25,
      121,23,24),IGR
      25 CONTINUE

```

```

    RETURN
C*****
C
C--- GROUP 1. Run title and other preliminaries
C
    1 GO TO (1001,1002,1003),ISC
C
    1001 CONTINUE
C
    C * -----GROUP 1 SECTION 3 -----
C--- Use this group to create storage via MAKE, GXMAKE etc which it is
C   essential to dump to PHI (or PHIDA) for restarts
C   User may here change message transmitted to the VDU screen
    IF(.NOT.NULLPR.AND.IDVCGR.EQ.0)
    1 CALL WRYT40('GROUND file is GROUND.F of: 240802 ')
C
    RETURN
C * -----GROUP 1 SECTION 3 -----
C--- Use this group to create storage via GXMAKE which it is not
C   necessary to dump to PHI (or PHIDA) for restarts
C
    1003 CONTINUE
    GO TO 25
    1002 CONTINUE
    RETURN
C*****
C
C--- GROUP 2. Transience; time-step specification
C
    2 CONTINUE
    RETURN
C*****
C
C--- GROUP 3. X-direction grid specification
C
    3 CONTINUE
    RETURN
C*****
C
C--- GROUP 4. Y-direction grid specification
C
    4 CONTINUE
    RETURN
C*****
C
C--- GROUP 5. Z-direction grid specification
C
    5 CONTINUE
    RETURN
C*****
C
C--- GROUP 6. Body-fitted coordinates or grid distortion
C
    6 CONTINUE
    RETURN
C*****

```

```

C * Make changes for this group only in group 19.
C--- GROUP 7. Variables stored, solved & named
C*****
C
C--- GROUP 8. Terms (in differential equations) & devices
C
    8 GO TO (81,82,83,84,85,86,87,88,89,810,811,812,813,814,815,816)
    1,ISC
    81 CONTINUE
C * ----- SECTION 1 -----
C For U1AD.LE.GRND--- phase 1 additional velocity. Index VELAD
    RETURN
    82 CONTINUE
C * ----- SECTION 2 -----
C For U2AD.LE.GRND--- phase 2 additional velocity. Index VELAD
    RETURN
    83 CONTINUE
C * ----- SECTION 3 -----
C For V1AD.LE.GRND--- phase 1 additional velocity. Index VELAD
    RETURN
    84 CONTINUE
C * ----- SECTION 4 -----
C For V2AD.LE.GRND--- phase 2 additional velocity. Index VELAD
    RETURN
    85 CONTINUE
C * ----- SECTION 5 -----
C For W1AD.LE.GRND--- phase 1 additional velocity. Index VELAD
    RETURN
    86 CONTINUE
C * ----- SECTION 6 -----
C For W2AD.LE.GRND--- phase 2 additional velocity. Index VELAD
    RETURN
    87 CONTINUE
C * ----- SECTION 7 ---- Volumetric source for gala
    RETURN
    88 CONTINUE
C * ----- SECTION 8 ---- Convection fluxes
C--- Entered when UCONV =.TRUE.; block-location indices are:
C LD11 for east and north (accessible at the same time),
C LD12 for west and south (accessible at the same time),
C LD2 for high (which becomes low for the next slab).
C User should provide INDVAR and NDIREC IF's as appropriate.
    RETURN
    89 CONTINUE
C * ----- SECTION 9 ---- Diffusion coefficients
C--- Entered when UDIFF =.TRUE.; block-location indices are LAE
C for east, LAW for west, LAN for north, LAS for
C south, LD11 for high, and LD11 for low.
C User should provide INDVAR and NDIREC IF's as above.
C EARTH will apply the DIFCUT and GP12 modifications after the user
C has made his settings.
C
    RETURN
    810 CONTINUE
C * ----- SECTION 10 --- Convection neighbours
    RETURN

```

```

811 CONTINUE
C * ----- SECTION 11 --- Diffusion neighbours
    RETURN
812 CONTINUE
C * ----- SECTION 12 --- Linearised sources
    RETURN
813 CONTINUE
C * ----- SECTION 13 --- Correction coefficients
    RETURN
814 CONTINUE
C * ----- SECTION 14 --- User's own solver
    RETURN
815 CONTINUE
C * ----- SECTION 15 --- Change solution
    RETURN
816 CONTINUE
C * ----- SECTION 16 --- Change DVEL/DPs
    RETURN
C
C * See the equivalent section in GREX for the indices to be
C used in sections 7 - 16
C
C * Make all other group-8 changes in GROUP 19.
*****
C
C--- GROUP 9. Properties of the medium (or media)
C
C The sections in this group are arranged sequentially in their
C order of calling from EARTH. Thus, as can be seen from below,
C the temperature sections (10 and 11) precede the density
C sections (1 and 3); so, density formulae can refer to
C temperature stores already set.
  9 GO TO (91,92,93,94,95,96,97,98,99,900,901,902,903,904,905),ISC
*****
C
  900 CONTINUE
C * ----- SECTION 10 -----
C For TMP1.LE.GRND----- phase-1 temperature Index TEMP1
    RETURN
  901 CONTINUE
C * ----- SECTION 11 -----
C For TMP2.LE.GRND----- phase-2 temperature Index TEMP2
    RETURN
  902 CONTINUE
C * ----- SECTION 12 -----
C For EL1.LE.GRND----- phase-1 length scale Index LEN1
    RETURN
  903 CONTINUE
C * ----- SECTION 13 -----
C For EL2.LE.GRND----- phase-2 length scale Index LEN2
    RETURN
  904 CONTINUE
C * ----- SECTION 14 -----
C For SOLVE(TEM1)----- phase-1 specific heat
    RETURN
  905 CONTINUE
C * ----- SECTION 15 -----

```

```

C  For SOLVE(TEM2)----- phase-2 specific heat
    RETURN
    91 CONTINUE
C * ----- SECTION 1 -----
C  For RHO1.LE.GRND--- density for phase 1      Index DEN1
    RETURN
    92 CONTINUE
C * ----- SECTION 2 -----
C  For DRH1DP.LE.GRND--- D(LN(DEN))/DP for phase 1
    Index D1DP
    RETURN
    93 CONTINUE
C * ----- SECTION 3 -----
C  For RHO2.LE.GRND--- density for phase 2      Index DEN2
    RETURN
    94 CONTINUE
C * ----- SECTION 4 -----
C  For DRH2DP.LE.GRND--- D(LN(DEN))/DP for phase 2
    Index D2DP
    RETURN
    95 CONTINUE
C * ----- SECTION 5 -----
C  For ENUT.LE.GRND--- reference turbulent kinematic viscosity
    Index VIST
    RETURN
    96 CONTINUE
C * ----- SECTION 6 -----
C  For ENUL.LE.GRND--- reference laminar kinematic viscosity
    Index VISL
    RETURN
    97 CONTINUE
C * ----- SECTION 7 -----
C  For PRNDTL( ).LE.GRND--- laminar PRANDTL nos., or diffusivity
    Index LAMPR
    RETURN
    98 CONTINUE
C * ----- SECTION 8 -----
C  For PHINT( ).LE.GRND--- interface value of first phase
    Index FII1
    RETURN
    99 CONTINUE
C * ----- SECTION 9 -----
C  For PHINT( ).LE.GRND--- interface value of second phase
    Index FII2
    RETURN
C*****
C
C--- GROUP 10. Inter-phase-transfer processes and properties
C
    10 GO TO (101,102,103,104,105),ISC
    101 CONTINUE
C * ----- SECTION 1 -----
C  For CFIPS.LE.GRND--- inter-phase friction coeff.
    Index INTFRC
    RETURN
c

```

```

102 CONTINUE
C * ----- SECTION 2 -----
C For CMDOT.EQ.GRND- inter-phase mass transfer Index INTMDT
RETURN
103 CONTINUE
C * ----- SECTION 3 -----
C For CINT( ).EQ.GRND--- phase1-to-interface transfer coefficients
C Index COII
RETURN
104 CONTINUE
C * ----- SECTION 4 -----
C For CINT( ).EQ.GRND--- phase2-to-interface transfer coefficients
C Index COI2
RETURN
105 CONTINUE
C * ----- SECTION 5 -----
C For CVM.EQ.GRND--- virtual mass coefficient
C Index LD12
RETURN
C*****
C
C--- GROUP 11. Initialization of variable or porosity fields
C Index VAL
11 CONTINUE
RETURN
C*****
C
C--- GROUP 12. Convection and diffusion adjustments
C
12 CONTINUE
RETURN
C*****
C
C--- GROUP 13. Boundary conditions and special sources
C Index for Coefficient - CO
C Index for Value - VAL
13 CONTINUE
GO TO (130,131,132,133,134,135,136,137,138,139,1310,
11311,1312,1313,1314,1315,1316,1317,1318,1319,1320,1321),ISC
130 CONTINUE
C----- SECTION 1 ----- coefficient = GRND
IF((INDVAR.EQ.C1).AND.(NPATCH.EQ.'C1SINK'))THEN
LFCO = L0F(CO)
DO 1301 IY = IYF,IYL
DO 1301 IX = IXF,IXL
ICELL = IY + (IX-1)*NY
F(LFCO+ICELL)=0.001732
1301 CONTINUE
ENDIF
RETURN
131 CONTINUE
C----- SECTION 2 ----- coefficient = GRND1
RETURN
132 CONTINUE
C----- SECTION 3 ----- coefficient = GRND2
RETURN

```

```

133 CONTINUE
C----- SECTION 4 ----- coefficient = GRND3
    RETURN
134 CONTINUE
C----- SECTION 5 ----- coefficient = GRND4
    RETURN
135 CONTINUE
C----- SECTION 6 ----- coefficient = GRND5
    RETURN
136 CONTINUE
C----- SECTION 7 ----- coefficient = GRND6
    RETURN
137 CONTINUE
C----- SECTION 8 ----- coefficient = GRND7
    RETURN
138 CONTINUE
C----- SECTION 9 ----- coefficient = GRND8
    RETURN
139 CONTINUE
C----- SECTION 10 ----- coefficient = GRND9
    RETURN
1310 CONTINUE
C----- SECTION 11 ----- coefficient = GRND10
    RETURN
1311 CONTINUE
C----- SECTION 12 ----- value = GRND
    IF((INDVAR.EQ.C1).AND.(NPATCH.EQ.'C1SINK')) THEN
        L0VAL = L0F(VAL)
        L0C2 = L0F(C2)
        DO 13111 IY = IYF,IYL
        DO 13111 IX = IXF,IXL
        ICELL = IY + (IX-1)*NY
        c      GC11 = VARYX(OLD(C1))
        c      GSUR=(10)*RG(4)*((RG(3)*VARYX(OLD(C1)))*RG(4)/RG(5))
        c  &**0.67
        c      GSUR1=GSUR*100.0
        GC1=RG(1)*100*F(L0C2+ICELL)
        F(L0VAL+ICELL)=-1.0*GC1
13111 CONTINUE
    ENDIF
    RETURN
1312 CONTINUE
C----- SECTION 13 ----- value = GRND1
    RETURN
1313 CONTINUE
C----- SECTION 14 ----- value = GRND2
    RETURN
1314 CONTINUE
C----- SECTION 15 ----- value = GRND3
    RETURN
1315 CONTINUE
C----- SECTION 16 ----- value = GRND4
    RETURN
1316 CONTINUE
C----- SECTION 17 ----- value = GRND5
    RETURN

```

```

1317 CONTINUE
C----- SECTION 18 ----- value = GRND6
    RETURN
1318 CONTINUE
C----- SECTION 19 ----- value = GRND7
    RETURN
1319 CONTINUE
C----- SECTION 20 ----- value = GRND8
    RETURN
1320 CONTINUE
C----- SECTION 21 ----- value = GRND9
    RETURN
1321 CONTINUE
C----- SECTION 22 ----- value = GRND10
    RETURN
C***** ****
C
C--- GROUP 14. Downstream pressure for PARAB=.TRUE.
C
    14 CONTINUE
    RETURN
C***** ****
C* Make changes to data for GROUPS 15, 16, 17, 18 GROUP 19.
C***** ****
C
C--- GROUP 19. Special calls to GROUND from EARTH
C
    19 GO TO (191,192,193,194,195,196,197,198,199,1910,1911),ISC
    191 CONTINUE
C * ----- SECTION 1 ---- Start of time step.
    RETURN
    192 CONTINUE
C * ----- SECTION 2 ---- Start of sweep.
    RETURN
    193 CONTINUE
C * ----- SECTION 3 ---- Start of iz slab.
    RETURN
    194 CONTINUE
C * ----- SECTION 4 ---- Start of iterations over slab.
    RETURN
    1911 CONTINUE
C * ----- SECTION 11---- After calculation of convection
C           fluxes for scalars, and of volume
C           fractions, but before calculation of
C           scalars or velocities
    RETURN
    199 CONTINUE
C * ----- SECTION 9 ---- Start of solution sequence for
C           a variable
    RETURN
    1910 CONTINUE
C * ----- SECTION 10---- Finish of solution sequence for
C           a variable
    RETURN
    195 CONTINUE
C * ----- SECTION 5 ---- Finish of iterations over slab.

```

---

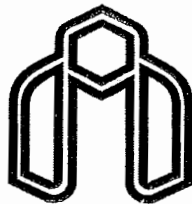
```

    RETURN
196 CONTINUE
C * ----- SECTION 6 ---- Finish of iz slab.
    RETURN
197 CONTINUE
C * ----- SECTION 7 ---- Finish of sweep.
    RETURN
198 CONTINUE
C * ----- SECTION 8 ---- Finish of time step.
C
    RETURN
*****
C
C--- GROUP 20. Preliminary print-out
C
    20 CONTINUE
    RETURN
*****
C--- GROUP 21. Special print-out to screen
    21 CONTINUE
    GO TO 25
*****
C* Make changes to data for GROUP 22 only in GROUP 19.
C*****
C
C--- GROUP 23. Field print-out and plot control
    23 CONTINUE
    RETURN
*****
C
C--- GROUP 24. Dumps for restarts
C
    24 CONTINUE
    END
c

```

## **Abstract**

Mining activities and subsequent mineral processing programs produce a number of environmental problems. Coal is considered to be a major mineral which is used to generate energy. The coal produced by mining activity should be processed in order to raise its quality and remove any impurity. The waste produced by coal processing plant often contains pyrite which may be oxidised and produce acid mine drainage (AMD) if it is exposed to the atmosphere. AMD is often characterised by high concentrations of iron, high sulphate and low pH and it is considered to be a major cause of long-term poor water quality and is the source of many environmental problems. In this present study, the pollution problems associated with the waste produced by Alborz Sharghi coal processing plant was investigated by the combination of geophysical method and mathematical modeling. The study area is located in 11 km to Razmjah coal region and 45 km to Tehran-Mashhad road. After preliminary observations and selecting the appropriate waste dump, the geophysical survey using VLF method was performed on 6 profiles in the downstream of the waste dump in order to investigate the likely polluted zones due to leaching from the waste dump. The measured data was then processed by the use of RAMAG computer-based software. The results of interpretation detected two polluted zones. Furthermore, the Geo-electrical survey incorporating Dipole-Dipole array and Time-Laps technique was carried out for a time period of 6 months in order to consider time dependence transportation of pollutants leached from waste dump. A computer model called RES2DINV was used to perform an inverse modeling on the measured Geo-electrical data. The results of inverse modeling and Time-Laps method successfully showed the pollutant transportation process. In three points on the waste dump, samples were taken from different depths in order to investigate pyrite oxidation and pollution generation. The samples were analyzed using atomic absorption to determine the fraction of pyrite remained within the waste particles. Furthermore, in order to study the samples qualitatively, thin sections were prepared and studied under polarized light; defining the presence of pyrite within the samples. A numerical finite volume model using PHOENICS as a computational fluid dynamic (CFD) package has been developed to simulate pyrite oxidation and pollution generation from the Alborz Sharghi coal processing waste dump. The pyrite oxidation reaction is described by the shrinking-core model. Gaseous diffusion is considered to be the main mechanism for the transport of oxygen through the waste. It was assumed that the oxygen is the only participant in the oxidation of pyrite. No bacterial activity was allowed to take place within the waste materials. The results obtained from the numerical modeling were compared with the results of field observations and close agreement was achieved. A simple mathematical model incorporating advection and hydrodynamic dispersion processes was also presented in order to verify the results of geophysical Time-Laps method showing transportation of the pollutants through the downstream of the waste dump. Both mathematical model and geophysical Time-Laps method are agreed in the identification of pollutant transport emanated from the waste dump. Although the oxidation of pyrite in the presence of air and water, pollution generation and transportation associated with coal processing waste dump is almost unavoidable, the results of such investigations can be used for designing an effective environmental management program in order to minimise environmental effects arising from both active and abandoned waste dumps.



Shahrood University of Technology  
Faculty of Mining and Geophysics

**A mathematical modeling and environmental geophysical studies  
on pollutants leaching in Alborz Sharghi coal processing plant**

A thesis submitted in fulfilment of the requirements  
for the award of the degree

**Master of Engineering in Mining Exploration**

By:

**Behshad Jodeiri**  
(B.Sc. in Mining Engineering)

**Supervisors:**  
**Dr. Faramarz Doulati Ardejani**  
**Dr. Ali Moradzadeh**

**Consultant:**  
**Dr. Majid Ansari**

**July 2006**